

Prirodoslovno matemati ki fakultet  
Sveu ili-te u Splitu

# Klasi na mehanika

Skripta

Prof. fieljko Antunovi

# KLASIČNA MEHANIKA

<b>1. Newtonova mehanika</b>	<b>5</b>
1.1 Koordinatni sustavi	5
1.2 Galilejeve transformacije	9
1.3 Newtonovi postulati	12
1.4 Zakoni o uvanja	14
1.5 Neinercijalni referentni sustavi	21
1.6 Linearni harmoni ki oscilator	28
<b>2. Lagrangeov formalizam</b>	<b>37</b>
2.1 Veze, sile reakcije, d'Alembertov princip, Lagrangeove jednadžbe	37
2.2 Zakoni o uvanja	57
<b>3. Hamiltonov formalizam</b>	<b>61</b>
3.1 Hamiltonov princip	61
3.2 Hamiltonove (kanonske) jednadžbe	67
3.3 Zakoni o uvanja	71
3.4 Poissonove zgrade	73
3.5 Analogija sa kvantnom mehanikom	75
3.6 Kanonske transformacije	76
3.7 Invarijantnost Poissonovih zagrada pri kanonskim transformacijama	80
3.8 Hamilton-Jacobieva jednadžba	83
<b>4. Centralne sile</b>	<b>87</b>
4.1 Problem dva tijela	87
4.2 Keplerov problem	89
4.3 Runge-Lenz vektor	100
4.4 Mehanika tijela kona nih dimenzija	102
4.5 Raspr-enje estica u centralnom polju sila	105
4.6 Kinematika raspr-enja	105
4.7 Dinamika raspr-enja	110
4.8 Rutherfordovo raspr-enje	115
<b>5. Gibanje krutog tijela</b>	<b>120</b>
5.1 Tenzor inercije (tromosti) krutog tijela	123
5.2 Eulerovi kutovi i Lagrangeove jednadžbe	134
<b>6. Male oscilacije</b>	<b>144</b>
6.1 Male oscilacije sustva	144
6.2 Jednadžba svojstvenih vrijednosti	147
6.3 Normalne koordinate	153
6.4 Male oscilacije trostrukog njihala	156
6.5 Titranje linearne troatomske molekule	162
6.6 Titranje molekule vode	168
<b>7. Mehanika kontinuuma</b>	<b>175</b>
7.1 Prijelaz na kontinuirani sustav	175
7.2 Lagrangeova formulacija za kontinuirane sustave	178
7.3 Jednadžbe gibanja u teoriji polja	182
7.4 O uvane veli ine (struje) u teoriji polja	187
7.5 Jednadžbe gibanja u mehanici kontinuuma	193
Popis rje-enih primjera	197
Literatura	199

Klasi na mehanika izu ava problem gibanja materijalnih objekata i predstavlja temelj klasi ne fizike. Tehnolo-ka primjena zakona klasi ne fizike izazvala je industrijsku revoluciju i omogu ila razvoj modernog dru-tva. U teorijskoj fizici stvaramo matemati ke modele, koje nazivamo fizikalnim teorijama, iji je zadatak opisivanje gibanja fizikalnih sustava koji nas zanimaju. Svaka fizikalna teorija je ustvari aproksimativni matemati ki model dijela svemira (fizikalnog sustava) ije gibanje razmatramo. To nost predikcija teorije mora biti jednaka ili bolja od rezolucije najboljih mjernih instrumenata koje imamo na danom stupnju tehnolo-kog razvoja. Klasi na fizika je jedna takva teorija koja se dijeli na

- klasi nu mehaniku,
- klasi nu elektrodinamiku i
- klasi nu stati ku fiziku.

Po etkom XX stolje a domena primjenjivosti klasi ne fizike zna ajno se smanjila otkri em teorije relativnosti i kvantne mehanike. Tako je klasi na fizika od fundamentalne fizikalne teorije, za koju se vjerovalo da to no opisuje sve fizikalne sustave (djelove svemira), postala samo aproksimativno to na teorija gibanja makroskopskih objekata nerelativisti kim brzinama. Ali, unutar svoje domene valjanosti, klasi na fizika je izuzetno to na teorija ije predikcije se izvrsno slafu s eksperimentalnim rezultatima. Na primjer, ak i u uvenom eksperimentu rotacije perihelia Merkura koji dokazuje ispravnost Op e teorije relativnosti nasuprot Newtonova zakona gravitacije, relativna «pogre-ka» klasi ne mehanike je manja od  $10^{-67}$ , a za sve ostale planete «pogre-ka» je jo-i puno manja. Povijesno, Newtonova klasi na mehanika je prva fizikalna teorija koja je utemeljila fiziku kao posebnu znanost. Matemati ka i logi ka struktura klasi ne mehanike pretstavlja model za bilo koju fizikalnu teoriju.

U teorijskoj fizici kaflemo da klasi na mehanika izu ava problem gibanja (makroskopskih) fizikalnih sustava. Pri tome, pod fizikalnim sustavom podrazumjevamo bilo koji skup (klasi nih) estica. estica je matemati ka idealizacija jako malog tijela, tj. materijalna to ka mase m, bez ikakve unutarnje strukture i ije su sve tri prostorne dimenzije nula. Klasi nu esticu moflemo zamisliti kao si u-no kruto tijelo (kao zrnce pra-ine mikronskih dimenzija) ije deformacije i strukturu tijekom gibanja moflemo zanemariti. Danas znamo da se materija sastoji od realnih estica ó u razli itim fizikalnim teorijama to su ili molekule ili atomi ili elementarne estice. Elementarne estice su najsitniji djeli i materije za koje znamo (u svim mjerjenjima izgledaju nam kao to ke) i nazivamo ih: kvarkovi, leptoni i šgaugeo bozoni. Takve realne estice nazivamo kvantnim esticama jer se njihovo gibanje ne može objasniti zakonima klasi ne fizike, nego zakonima kvantne fizike (jednadflba gibanja kvantne estice je Schrondingerova jednadflba, a ne drugi Newtonov zakon). Ali, fundamentalni teorem kvantne fizike tvrdi da se pri opisu gibanje makropskih sustava (sustava velikog broja kvantnih estica) predikcije kvantne i klasi ne fizike nemjerljivo razlikuju (precizno: u limesu beskona nog broja kvantnih estica predikcije kvantne teorije su identi ne predikcijama klasi ne fizike).

Prema tipu sustava koje izu ava klasi na mehanika se dijeli na:

- mehaniku sustava estica ó sustavi s maksimalno prebrojivo mnogo stupnjeva slobode gibanja i
- mehaniku kontinuma ó sustavi s neprebrojivo mnogo stupnjeva slobode gibanja (fluidi i elasti na tijela).

Jednostavnosti radi, razmatra smo klasi nu mehaniku sustava estica.

Gibanje je promjena položaja estice u prostoru i vremenu. Vrijeme je homogen, a prostor homogen i izotropan skup točaka. Po definiciji, u klasi nož fizici uzimamo da je prostor trodimenzionalni Euklidski (kvadrat udaljenosti među točkama dat je pošto enjem Pitagorina teorema na tri dimenzije) prostor  $R^3$ , a vrijeme je jedno-dimenzionalni Euklidski prostor  $R$ .

U klasi nož mehanici, stanje fizikalnog sustava u jednom trenutku vremena potpuno je određeno položajem i brzinama svih estica tog sustava.

Klasi na mehaniku, kao i cjelokupna fizika uostalom, bazira se na genijalnoj Newtonovoj realizaciji da interakcije među esticama (sile) određuju kako će se estica gibati, što se može matematički izraziti jednadžbom gibanja estice. Jednadžbe gibanja estica su diferencijalne jednadžbe drugog reda po vremenu. Rješavanje jednadžbe gibanja estice uz pomoć uvjeta o početni položaj i početnu brzinu, onda kompletno određuje putanje estice. Na taj način se može rješiti problem gibanja svakog fizikalnog sustava. Osnovna ideja fizike je:

**Ako znamo interakcije (sile) među česticama nekog (izoliranog) fizikalnog sustava i stanje sustava u jednom (početnom) trenutku vremena, znat ćemo stanje tog sustava u bilo kojem trenutku vremena (naravno, uspijemo li rješiti jednadžbe gibanja).**

Jedna od najvažnijih karakteristika klasične mehanike je postojanje nekoliko različitih ekvivalentnih formulacija teorije:

- Newtonova formulacija mehanike,
- Lagrangeov formalizam,
- Hamiltonov formalizam,
- Hamilton-Jacobijeva teorija.

U principu, svaki problem može se rješiti korištenjem bilo koje od ovih formulacija, ali različite formulacije prilagođene su različitim tipovima problema. Npr., gibanje sustava s vezama (constraints) lako je rješavati Lagrangeovim, nego Newtonovim formalizmom.

Danas se Hamiltonova (kanonska) formulacija klasične mehanike smatra prototipom za bilo koju fizikalnu teoriju.

Slijedeći povijest, razmotrimo prvo ukratko Newtonovu formulaciju klasične mehanike.

# 1. Newtonova mehanika

Definirajmo prvo neke od osnovnih matematičkih koncepata neophodnih za razmatranje gibanja sustava estica.

## 1.1 Koordinatni sustavi

Poloftaj estice u bilo kojem trenutku vremena t je to ka u trodimenzionalnom Euklidskom prostoru  $R^3$ . Da bi odredili poloftaj estice moramo specificirati prostorni koordinatni sustav (prostorni dio referentnog sustava) koji je određen izborom ishodišta i tri me usobno okomitim koordinatnim osima kroz ishodište.

Od različitih mogu ih opisati ortogonalnih koordinatnih sustava, najčešće se koriste Kartesijev, koji je najjednostavniji, ili cilindrični ili sferski koordinatni sustav. Bazis prostora ima tri jedinična vektora koordinatnih osi sustava S, tj.

$$S : \{ \hat{e}_1, \hat{e}_2, \hat{e}_3 \},$$

koji zadovoljavaju uvjete ortonormiranosti i kompletnosti:

$$\hat{e}_i \cdot \hat{e}_j = \delta_{ij} \quad - \text{uvjet ortonormiranosti}$$

$$\sum_{j=1}^3 \hat{e}_i \cdot \hat{e}_j = 1 \quad - \text{uvjet kompletnosti.}$$

Vektor poloftaja ili radijus vektor  $\vec{r}$  koji je u prostoru je vektor koji je početak u ishodištu, a kraj u zadanoj točci prostora. U koordinatnom sustavu S radijus vektor je jednoznačno određen razvojem po bazisu prostora, tj. svojim komponentama  $r_i$  duž koordinatnih osi:

$$\vec{r} = \sum_i \hat{e}_i r_i ; \quad r_i = \vec{r} \cdot \hat{e}_i . \quad (1.1)$$

Eksplicitno, za Kartezijev sustav (x,y,z) je:

$$\vec{r} = x \hat{i} + y \hat{j} + z \hat{k},$$

za cilindrični sustav ( $\rho, \varphi, z$ ) je:

$$\vec{r} = \hat{e}_\rho + z \hat{e}_z,$$

a, za sferski sustav ( $r, \theta, \varphi$ ) je:

$$\vec{r} = r \hat{e}_r.$$

Ponekad je korisno radijus vektor da prikazati kao uređenu trojku realnih brojeva ili kao  $3 \times 1$  matricu na jeziku linearne algebre

$$\vec{r} = \begin{pmatrix} r_1 \\ r_2 \\ r_3 \end{pmatrix}. \quad (1.2)$$

U svakom trenutku estica je u nekoj točci prostora. Radij vektor estice je radij vektor točke u kojoj se nalazi estica. Gibanje estice je promjena njenog položaja u prostoru. Matematički to prikazujemo radijus vektorom estice koji je funkcija vremena  $\vec{r}(t)$ , što je u bilo kojem ortogonalnom koordinatnom sustavu daje parametarsku (pomoću parametra  $t$ ) jednadžbu putanje estice:

$$\vec{r} = \vec{r}(t) \Leftrightarrow \begin{cases} r_1 = r_1(t) \\ r_2 = r_2(t) \\ r_3 = r_3(t) \end{cases}$$

Brzina  $\vec{v}$  i akceleracija  $\vec{a}$  estice su prva i druga derivacija po vremenu radijus vektora estice respektivno, tj.

$$\vec{v} = \dot{\vec{r}} = \frac{d\vec{r}}{dt}; \quad \vec{a} = \ddot{\vec{r}} = \frac{d^2\vec{r}}{dt^2} = \dot{\vec{v}}. \quad (1.3)$$

Npr. za slobodni pad estice u blizini površine Zemlje (gibanje duž z-osi pod djelovanjem samo tečnine estice) su akceleracija, brzina i jednadžba putanje:

$$\begin{aligned} \vec{a}(t) &= \ddot{\vec{r}}(t) = -g \hat{k} \\ \vec{v}(t) &= \dot{\vec{r}}(t) = v_{0x} \hat{i} + v_{0y} \hat{j} + (-gt + v_{0z}) \hat{k} \\ \vec{r}(t) &= (v_{0x} t + x_0) \hat{i} + (v_{0y} t + y_0) \hat{j} + \left(-\frac{1}{2}gt^2 + v_{0z}t + z_0\right) \hat{k}. \end{aligned}$$

Pravac brzine estice je tangenta na putanju u svakoj točci, tj.  $\vec{v} = v \hat{t}$ , što se lako vidi iz

$$\vec{v} = \dot{\vec{r}} = \frac{d\vec{r}}{dt} = \frac{d\vec{r}}{ds} \frac{ds}{dt} = \hat{t} s' = v \hat{t},$$

gdje je  $ds$  diferencijal duljine luka prostorne krivulje koja je putanja estice, a  $\hat{t}$  je jedini vektor tangente na putanju estice

$$\hat{t} = \frac{d\vec{r}}{ds}.$$

Akceleracija estice ima uopće slavajuće tangencijalnu i radikalnu (centripetalnu) komponentu:  $\vec{a} = a_t \hat{t} + a_r \hat{n} = \dot{v} \hat{t} + \frac{v^2}{R} \hat{n}$ , gdje su  $\hat{t}$  i  $\hat{n}$  jedini vektori tangente i glavne normale na krivulju koja je putanja estice, a  $R$  je radijus zakrivljenosti putanje.

Brzina estice u svakom trenutku ima pravac tangente na putanju, dok pravac akceleracije može tvoriti bilo koji kut u odnosu na putanju.

Za ra unanje komponenti brzine i ubrzanja estice, tj. pri deriviranju izraza (1.1) treba voditi ra una o derivacijama bazis vektora jer je:

$$\dot{\vec{r}} = \sum_i (\ddot{\vec{e}}_i \vec{r}_i + \vec{e}_i \dot{\vec{r}}_i). \quad (1.4)$$

Samo u Kartezijevom sustavu su sva tri jedini na vektora koordinatnih osi konstantni vektori ije derivacije su nula, tj.

$$\hat{i} = \begin{pmatrix} 1 \\ 0 \\ 0 \end{pmatrix}, \quad \hat{j} = \begin{pmatrix} 0 \\ 1 \\ 0 \end{pmatrix}, \quad \hat{k} = \begin{pmatrix} 0 \\ 0 \\ 1 \end{pmatrix}.$$

U bilo kojem ortogonalnom koordinatnom sustavu ije su koordinate  $\{q_1, q_2, q_3\}$  brzina estice je:

$$\vec{v} = \sum_{i=1}^3 v_i \hat{e}_i.$$

Komponente brzine estice su:

$$v_i = h_i \dot{q}_i, \quad (i = 1, 2, 3),$$

dok je kvadrata brzine estice:

$$v^2 = \vec{v} \cdot \vec{v} = \sum_i h_i^2 \dot{q}_i^2, \quad (1.5)$$

gdje su Lameovi koeficijenti  $h_i = \left| \frac{d\vec{r}}{dq_i} \right|$ . Eksplisitno, Lameovi koeficijenti su:

Kartezijev sustav:  $h_x = h_y = h_z = 1$ ,

cilindri ni sustav:  $h_\rho = 1; h_\phi = \rho; h_z = 1$ ,

sferni sustav:  $h_r = 1; h_\theta = r; h_\phi = r \sin\theta$ ,

-to omogu uje ra unanje u svakom koordinatnom sustavu.

Razmotrimo sad rotaciju koordinatnog sustava.

Neka imamo dva prostorna koordinatna sustava S i S' koji su zarođirani jedan u odnosu na drugi. Jednostavnosti radi zamislimo da su im ishodi-ta u istoj to ci prostora (prostornom translacijom ishodi-te jednog koordinatnog sustava moglo se uvek premjestiti u to ku koja je ishodi-te drugog sustava). Komponente nekog vektora  $\vec{r}$  u dva sustava odre ene su izrazima:

$$\vec{r} = \sum_i \ddot{\vec{e}}_i \vec{r}_i = \sum_i \ddot{\vec{e}}_i \vec{r}'_i. \quad (1.6)$$

Množte i gornju relaciju s  $\hat{e}_j'$  i koriste i uvjet ortonormiranosti jedinih vektora odmah se dobija

$$\vec{r} \hat{e}_j' = \sum_i r_i' \hat{e}_i' \hat{e}_j' = r_j' = \sum_i \hat{e}_i \hat{e}_j' r_i = \sum_i R_{ji} r_i.$$

Kako gornja relacija vrijedi za proizvoljni vektor, mora vrijediti:

$$r_j' = \sum_i R_{ji} r_i = \sum_i (\hat{e}_j' \hat{e}_i) r_i,$$

ili u vektorskoj notaciji  $\vec{r}' = R \vec{r}$ , gdje je R matrica rotacije. Kako za proizvoljno  $r_i$  vrijedi

$$\vec{r} = \sum_j r_j \hat{e}_j = \sum_{ij} R_{ji} r_i \hat{e}_j = \sum_i r_i \hat{e}_i,$$

slijedi da pri rotaciji koordinatnog sustava među bazisnim vektorima dva sustava postoji matrična relacija:

$$\hat{e}_i = \sum_j \hat{e}_j R_{ji}; \quad \hat{e}_i' = \sum_j \hat{e}_j R_{ji}^T; \quad R_{ij} = \hat{e}_i' \hat{e}_j. \quad (1.7)$$

Kako pri rotaciji intenzitet vektora ostaje nepromjenjen, vrijedi

$$\begin{aligned} r'^2 &= \vec{r}' \cdot \vec{r}' = \sum_i r_i' r_i' = \sum_{ijk} r_j R_{ji} R_{ik} r_k = \sum_{ijk} r_j (R^T)_{ji} R_{ik} r_k = \sum_{ik} r_j (R^T R)_{ik} r_k = \sum_{ij} r_i \delta_{ij} r_j \\ &= \sum_i r_i r_i = \vec{r} \cdot \vec{r} = r^2, \end{aligned}$$

ili u matričnoj notaciji

$$RR^T = R^T R = I \quad \text{i} \quad \det R = 1, \quad (1.8)$$

tj. matrica rotacije R je realna ortogonalna  $3 \times 3$  matrica i njeni elementi su kosinusi pravaca koordinatnih osi jednog sustava u odnosu na drugi.

Relacija koja povezuje koordinate vektora  $\vec{r}$  u dva sustava je onda:

$$\vec{r} = \sum_i \hat{e}_i r_i = \sum_{ij} \hat{e}_j R_{ji} r_i = \sum_j \hat{e}_j' r_j' \Rightarrow r_j' = \sum_i R_{ji} r_i.$$

U jednostavnijoj, matričnoj notaciji zadnja relacija je:

$$\vec{r}' = R \vec{r} \quad \text{iли} \quad \vec{r} = R^T \vec{r}'. \quad (1.9)$$

## 1.2 Galilejeve transformacije

U mehanici postoje samo tri osnovne fizikalne veličine (svaka druga fizikalna veličina može se izvesti iz njih):

- Duljina, osnovna jedinica metar: m
- Vrijeme, osnovna jedinica sekunda: s
- Masa, osnovna jedinica kilogram: kg.

Kako je svako gibanje relativno, razmatranje problema gibanja bilo kojeg fizikalnog sustava zahtijeva da svaki promatrač (fizičar) definira svoj referentni sustav u njegov prostorni i vremenski koordinatni sustav. U praksi je to obično sustav vezan za laboratorij u kome se vrše mjerenja. Specijalna klasa referentnih sustava u kojima zakoni mehanike imaju naj-jednostavniju formu su inercijalni referentni sustavi.

### Definicija: Inercijalni referentni sustav

Referentni sustav u odnosu na koji je:

- prostor homogen i izotropan,
- vrijeme homogeno,

je inercijalni referentni sustav.

Homogenost znači da nema specijalnih točaka u prostoru ili trenutaka u vremenu, dok izotropnost prostora znači ekvivalentnost svih pravaca. Time se osigurava da se bilo koja točka prostora ili vremena može odabrati za ishodište, kao i da bilo koji pravac u prostoru promatrač može odabrati za koordinatnu os.

U homogenom i izotropnom prostoru i vremenu, bilo koja dva inercijalna referentna sustava (IRS-a)  $S$  i  $S'$  mogu se razlikovati samo po 4 elementa:

1. Išodišta prostornih sustava su u različitim točkama prostora,
2. Išodišta vremenskih sustava su različiti vremenski trenutci,
3. Prostorne koordinatne osi nisu paralelne i
4. Jedan sustav se giba konstantnom brzinom  $\vec{V}$  u odnosu na drugi!

Ako želimo dva proizvoljna IRS-a dovesti do poklapanja, ili prije ili iz jednog u drugi IRS, kako se kaže, dovoljno je napraviti četiri prostorno-vremenske transformacije:

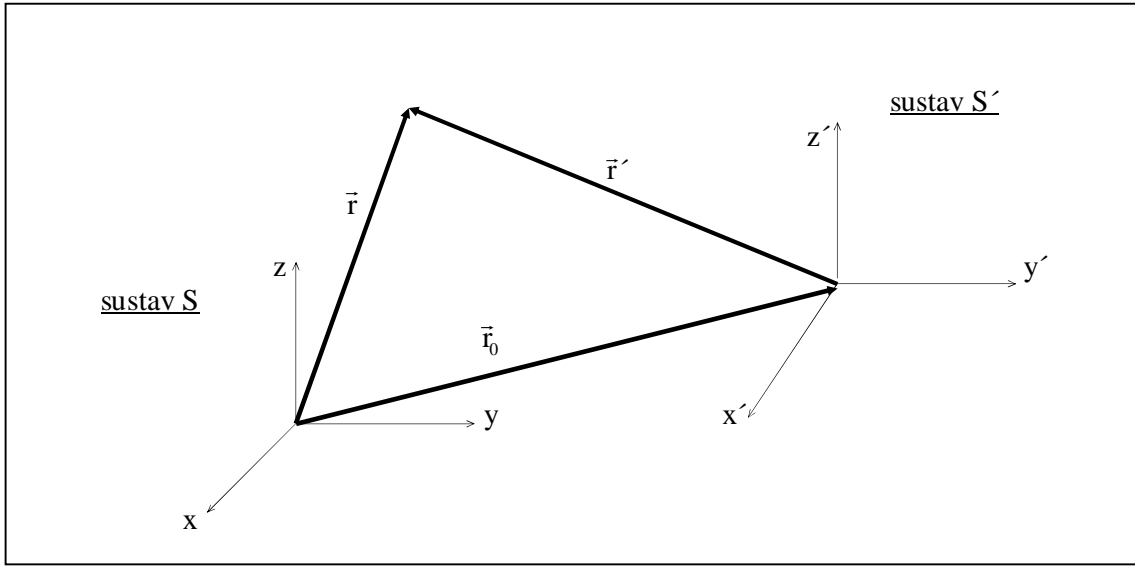
1. Prostornu translaciju svih točaka u prostoru za vektor  $OO'$  (udaljenost dvaju išodišta) da bi išodišta prostornih koordinata bila u istoj točki,
2. Vremensku translaciju da se poklope išodišta vremenskih koordinata,
3. Prostornu rotaciju oko neke osi kroz išodišta da se poklope koordinatne osi i
4. Specijalnu Galilejevu transformaciju (potisak) određenu brzinom  $\vec{V}$ .

Skup svih takvih prostorno-vremenskih transformacija tvori grupu koja se naziva Galilejeva grupa. To je 10-parametarska kontinuirana grupa, koja pojednostavljeno govore i, sadrži etiri podgrupe:

1. Grupu prostornih translacija (3 parametra neophodna da jednoznačno odrede element grupe ili tri komponente vektora translacije),
2. Grupu vremenskih translacija (1 parametar),
3. Grupu prostornih rotacija (3 parametra) i
4. Grupu specijalnih Galilejevih transformacija, tj. potisaka (3 parametra).

Transformacije koordinata i vremena kojima se prelazi iz jednog u drugi IRS u klasi noj mehanici nazivaju se Galilejeve transformacije.

Zamislimo da imamo dva IRS-a. Jedan uvjetno mirni  $S$ , koji su prostorno-vremenske koordinate  $(\vec{r}, t) = (x, y, z, t)$  i drugi  $S'$  s paralelnim osima, u kojemu su odgovarajuće koordinate  $(\vec{r}', t') = (x', y', z', t')$ . Neka se sustav  $S'$  giba brzinom  $\vec{V} = \text{const.}$  u odnosu na  $S$  kao na Slici 1.



Slika 1.

Ishodi-te  $O'$  sustava  $S'$  u  $S$  određuje raduis vektor  $\vec{r}_0(t) = \vec{V}t + \vec{q}$ , gdje je  $\vec{q}$  udaljenost dva ishodišta u trenutku  $t = 0$ . Transformacije iz  $S$  u  $S'$  su oto:

$$\begin{aligned} x' &= x + V_x t + q_x \\ y' &= y + V_y t + q_y \\ z' &= z + V_z t + q_z \\ t' &= t + t_0 \end{aligned} \quad \text{ili u vektorskom obliku:} \quad \begin{aligned} \vec{r}' &= \vec{r} - \vec{V}t - \vec{q} \\ t' &= t + t_0 \end{aligned} \quad (1.10)$$

Zadnji redak u relaciji (1.10) znači da vrijeme te istom brzinom i u  $S$  i u  $S'$ , ali se vremenska ishodišta dva sustava ne poklapaju, po analogiji s prostornim ishodištim. Bez

gubitka op enitosti, lako je zamisliti da su napravljene neophodne vremenske ( $t_0 = 0$ ) i prostorne translacije ( $\vec{q} = 0$ ) tako da se ishodi-ta oba sustava poklapaju u po etnom trenutku:  $t = t' = 0$ . Zato se Galilejeve transformacije naj e- e pi-u bez ovih konstanti u obliku:

$$\begin{aligned} x' &= x + V_x t \\ y' &= y + V_y t \\ z' &= z + V_z t \quad \text{ili u vektorskom obliku:} \\ t' &= t \end{aligned} \quad \begin{aligned} \vec{r}' &= \vec{r} - \vec{V} t \\ t' &= t \end{aligned} \quad (1.11)$$

Dva IRS-a su potpuno ravnopravna, pa je iz (1.11) lako na i inverznu transformaciju iz sustava  $S'$  u sustav  $S$  (zamijeniti "crtane" i "necrtane" koordinate te promijeniti  $\vec{V}$  u  $-\vec{V}$ ):

$$\begin{aligned} x &= x' + V_x t' \\ y &= y' + V_y t' \\ z &= z' + V_z t' \quad \text{ili u vektorskom obliku:} \\ t &= t' \end{aligned} \quad \begin{aligned} \vec{r} &= \vec{r}' + \vec{V} t' \\ t &= t' \end{aligned} \quad (1.11')$$

Galilejeve transformacije za bilo koje dvije to ke u prostoru:  $\vec{r}_2' = \vec{r}_2 - \vec{V} t$  i  $\vec{r}_1' = \vec{r}_1 - \vec{V} t$ , oduzimanjem daju:

$$\vec{r}'_{12} \equiv \vec{r}'_2 - \vec{r}'_1 = \vec{r}_2 - \vec{r}_1 \equiv \vec{r}_{12}, \quad t'_{12} \equiv t'_2 - t'_1 = t_2 - t_1 \equiv t_{12}, \quad (1.12)$$

ili u infinitezimalnom obliku:

$$d\vec{r}' = d\vec{r} \quad i \quad dt' = dt. \quad (1.12')$$

Proizilazi da su udaljenost dviju to aka i duljina vremenskih intervala invarijantni pri Galilejevim transformacijama ova tvrdnja se ponekad naziva apsolutnost prostora i vremena u klasi noj fizici. Ovo je potpuno u skladu s na-im svakodnevnim iskustvom i intuicijom u makrosvijetu – kad specificiramo dimenzije tijela i duljine trajanja vremenskih intervala podrazumijevamo da su to jednozna ne veli ine i ne moramo razmi-ljati gdje, kada i kako su te veli ine mjerene.

Za opis gibanja trebaju nam pored poloflaja jo-i brzina i akceleracija estica. Iz relacije (1.12') slijedi da je  $d/dt = d/dt'$ , pa deriviranjem po vremenu iz (1.11) ili (1.11') dobijamo:

$$\vec{v} = \vec{v}' + \vec{V}. \quad (1.13)$$

Kako je  $\vec{V} = \overrightarrow{\text{const.}}$  za ubrzanje nalazimo

$$\vec{a}' = \vec{a}. \quad (1.14)$$

Iraz (1.13) je zakon slaganja brzina u klasi noj mehanici o brzina estice u mirnom sustavu jednaka je zbroju brzine estice u pokretnom sustavu i brzine samog pokretnog sustava. Jednakost (1.14) pokazuje invarijantnost akceleracija pri Galilejevim transformacijama.

Napomena: Na pitanje da li je neki odre eni sustav referencije inercijalni ili neinercijalni može se odgovoriti samo eksperimentom o ako vafle Newtonovi postulati sustav je inercijalni!

Za svaku esticu definira se njen impuls (koli inu gibanja).

Definicija: **Impuls čestice**  $\vec{p}$

Impuls estice mase  $m$  i brzine  $\vec{v}$  je:  $\vec{p} = m \vec{v} = m \vec{r}$ .

Impuls sustava estica je vektorski zbroj impulsa svih pojedinih estica.

### 1.3 Newtonovi postulati

Sir Isaac Newton (1643-1727) je 1687. u svom glavnom djelu: «Philosophiae naturalis principia mathematica» formulirao skup fundamentalnih postulata koji predstavljaju temelj klasi ne mehanike. Iako se naj e-e govori o Newtonovim zakonima, logi ki primjereniji termin je postulat, jer se radi o osnovnim tvrdnjama teorije koje ne slijede iz nekih elementarnijih i ija valjanost se može samo uspore ivati s rezultatima eksperimenata. Za jednu esticu (najjednostavniji fizikalni sustav) Newtonovi zakoni su:

#### Newtonovi postulati

##### Zakon inercije (lex prima)

U inercijalnom referentnom sustavu impuls slobodne estice, tj. estice na koju je ukupna sila nula, je o uvan (zakon o uvanja impulsa)

$$\vec{F} = 0 \Leftrightarrow \vec{p}(t) = \text{const.} \quad (1.15)$$

##### Jednadžba gibanja (lex secunda)

U inercijalnom referentnom sustavu promjena (derivacija po vremenu) impulsa estice jednaka je ukupnoj sili koja djeluje na esticu.

$$\frac{d\vec{p}}{dt} = \vec{F}_{uk}. \quad (1.16)$$

##### Zakon akcije i reakcije (lex tertia) - definicija sile

Sile  $\vec{F}_{ij}$  (akcija) i  $\vec{F}_{ji}$  (reakcija) kojima estice šiõ i šjõ djeluju jedna na drugu zadovoljavaju

$$\vec{F}_{ij} = -\vec{F}_{ji}. \quad (1.17)$$

U originalnom Newtonovom djelu definicija ukupne sile (rezultante) je nazvana postulatom ó sila je vektorska veli ina, a zbrajanje sila koje djeluju na esticu je uobi ajena operacija zbrajanja vektora koju danas ne nazivamo zakonom.

##### Princip superpozicije (lex quarta)

Sile su vektori i ukupna sila  $\vec{F}_{uk}$  na esticu šiõ je vektorski zbroj svih sila koje na nju djeluju

$$\vec{F}_{uk} = \sum_i \vec{F}_{ij}. \quad (1.18)$$

Prvi zakon je o igledno specijalni slu aj drugog. Newtonovi zakoni su formulirani za najjednostavniji fizikalni sustav ó jednu esticu. Koriste i princip superpozicije napravi emo poop enje na sustav estica.

Drugi Newtonov zakon je jednadžba gibanja estice:  $\vec{F} = m \frac{d}{dt} \dot{\vec{r}} = m \ddot{\vec{r}}$  ( $m = \text{const.}$ ). Sile su funkcije samo poloflaja i brzina estica (i možda eksplisitna funkcija vremena), pa je jednadžba gibanja (klasi ne) estice:

$$m \ddot{\vec{r}} = \vec{F}(\vec{r}, \dot{\vec{r}}, t), \quad (1.19)$$

obi na diferencijalna jednadžba II reda (vektorska) ije rješenje putanja je estice  $\vec{r} = \vec{r}(t)$ . Najvažnije sile u klasi noj fizici su funkcije samo relativne udaljenosti estica. To su gravitacijska, električna sila ili elektrostatička sila:

$$\vec{F}_{ij} = -G m_i m_j \frac{\vec{r}_i - \vec{r}_j}{|\vec{r}_i - \vec{r}_j|^3}; \quad \vec{F}_{ij} = \frac{Q_i Q_j}{4\pi_0} \frac{\vec{r}_i - \vec{r}_j}{|\vec{r}_i - \vec{r}_j|^3}; \quad \vec{F}_{ij} = -k [|\vec{r}_i - \vec{r}_j| - \vec{r}_0].$$

Postoje i komplikirane sile, kao magnetska sila, koje zavise i od brzina estica. Zbog atomističke građe tvari u klasi noj fizici se koriste i razne fenomenološke sile koje su rezultat astronomskog broja atomske/molekularnih interakcija ili sila otpora podloge, napetosti niti, sile trenja i sile uzgona.

Napomena: U II Newtonovom zakonu pojavljuje se «inercijalna» masa  $m_{in}$  estice, a u Newtonovom zakonu gravitacije «gravitacijska» masa  $m_{gr}$  estice. Eksperimentalno je utvrđeno da su ova dva tipa mase proporcionalna ako odaberemo sustav jedinica u kome je  $m_{in} = m_{gr}$ , onda je gravitacijska konstanta  $G = (6,67259 \pm 0,00085) \times 10^{-11} \text{ Nm}^2 \text{kg}^{-2}$ . U klasi noj fizici nema objašnjenja za ovu jednakost. Jednakost inercijalne i gravitacijske mase naziva se Princip ekvivalencije. To je bio po etni korak u Einsteinovom razvoju nove teorije gravitacije ili Opće teorije relativnosti (1916.).

Treći Newtonov zakon uz princip superpozicije omogućuje laku generalizaciju na sustav estica. Ako imamo sustav od  $N$  estica s masama  $m_i$  ( $i = 1, 2, \dots, N$ ) jednadžba gibanja za  $i$ -tu esticu je:

$$m_i \ddot{\vec{r}}_i = \sum_{\substack{j=1 \\ (j \neq i)}}^N \vec{F}_{ij} + \vec{F}_i^{\text{ext}}, \quad (1.20)$$

gdje je  $\vec{F}_i^{\text{ext}}$  ukupna spoljašnja sila na  $i$ -tu esticu, a  $\vec{F}_{ij}$  je unitarna sila kojom  $j$ -ta estica djeluje na  $i$ -tu esticu. Ako je sustav izoliran, nema spoljašnjih sile  $\vec{F}_i^{\text{ext}} = 0$ . Tada je desna strana jednadžbe gibanja  $i$ -te estice (1.20) funkcija samo relativnog poloflaja  $\vec{r}_{ij} = \vec{r}_i - \vec{r}_j$  i relativnih brzina estica  $\vec{v}_{ij} = \dot{\vec{r}}_{ij} = \dot{\vec{r}}_i - \dot{\vec{r}}_j$ , ali nije eksplisitna funkcija vremena.

Koristeći (1.12) ili (1.14) lako se pokazuje invarijantnost Newtonovih postulata, tj. jednadžbi gibanja estica (1.20), pri Galilejevim transformacijama.

Kako Galilejeva grupa ima 10 parameta, prema Noether teoremu (dokaz u odjeljku 2.) očekujemo da će izolirani fizikalni sustav imati 10 očuvanih veličina! Očuvane veličine su naravno: energija, ukupni impuls, ukupni moment impulsa (angularni moment) i zakon gibanja centra mase.

## 1.4 Zakoni očuvanja

Direktna posljedica II Newtonovog zakona (ili I zakon) je zakon o očuvanju impulsa.

### Zakon očuvanja impulsa čestice:

Ako je ukupna sila na čestici jednaka nuli, impuls čestice je očuvana veličina.

$$\vec{F} = 0 \Leftrightarrow \vec{p} = \text{const.} \quad (1.21)$$

Definirajmo rad, snagu i kinetičku energiju.

### Definicija: Rad W, snaga P i kinetička energija T

- Element rada dW sile  $\vec{F}(\vec{r}, \dot{\vec{r}}, t)$  pri infinitezimalnom pomaku čestice  $d\vec{r} = \dot{\vec{r}} dt$  je:

$$dW = \vec{F} d\vec{r} = F d\vec{r} \cos \angle(\vec{F}, d\vec{r})$$

Pri pomaku čestice iz položaja  $\vec{r}_1$  u položaj  $\vec{r}_2$  duž krivulje C rad sile  $\vec{F}$  je:

$$W(\vec{r}_1, \vec{r}_2, C) = \int_{\vec{r}_1, C}^{\vec{r}_2} dW = \int_{\vec{r}_1}^{\vec{r}_2} \vec{F} d\vec{r} = \int_{t_1}^{t_2} \vec{F} \dot{\vec{r}} dt. \quad (1.22)$$

- Snaga P je rad u jedinici vremena, tj:

$$P(t) = \frac{dW}{dt} = \vec{F} \dot{\vec{r}}. \quad (1.23)$$

- Kinetička energija T čestice je:

$$T(t) = \frac{\vec{p}^2(t)}{2m} = \frac{1}{2} m \dot{\vec{r}}^2. \quad (1.24)$$

Kinetička energija sustava čestica je zbroj kinetičkih energija svake pojedine čestice.

Iz (1.22) i II Newtonovog zakona odmah slijedi:

### Teorem o radu i kinetičkoj energiji:

Rad ukupne sile na česticu jednak je promjeni njene kinetičke energije. Zaista,

$$W(\vec{r}_1, \vec{r}_2, C) = \int_{t_1}^{t_2} \vec{F}_{uk} \dot{\vec{r}} dt = \int_{t_1}^{t_2} m \ddot{\vec{r}} \dot{\vec{r}} dt = \int_{t_1}^{t_2} dt \frac{d}{dt} \left( \frac{m \dot{\vec{r}}^2}{2} \right) = T_2 - T_1. \quad (1.25)$$

Specijalno vafna klasa sila koje ne zavise od vremena, niti od brzina estica, ve samo od poloflaja estica, su **konzervativne sile**. Najvaflnije sile u klasi noj mehanici upravo su konzervativne sile. Ako su sve sile koje djeluju na estice nekog fizikalnog sustava konzervativne kafemo da je taj sustav konzervativan. Za konzervativne sustave vafli zakon o uvanja energije.

**Definicija: Konzervativne sile**

Slijede i iskazi su me usobno ekvivalentni:

1. Sila  $\vec{F}(\vec{r})$  je konzervativna.
2.  $\text{rot } \vec{F}(\vec{r}) = \nabla \times \vec{F}(\vec{r}) = 0$ .
3. Konzervativna sila  $\vec{F}(\vec{r})$  je negativni gradijent skalarnog polja  $V(\vec{r})$  koje se naziva potencijal, tako da je:

$$\vec{F}(\vec{r}) = -\nabla V(\vec{r}) \Rightarrow V(\vec{r}) = - \int_{\vec{r}_0}^{\vec{r}} \vec{F}(\vec{r}') d\vec{r}'. \quad (1.26)$$

Ovaj iskaz se naj e-e navodi kao definicija konzervativne sile.

Potencijal je definiran do na proizvoljnu aditivnu konstantu  $\Leftrightarrow$  odabir to ke  $\vec{r}_0$ .

4. Rad konzervativne sile ne zavisi od puta, ve samo od po etnog i krajnjeg poloflaja:

$$W(\vec{r}_1, \vec{r}_2, C) = W(\vec{r}_1, \vec{r}_2) = - \int_{\vec{r}_1}^{\vec{r}_2} \nabla V(\vec{r}) d\vec{r} = - [V(\vec{r}_2) - V(\vec{r}_1)]. \quad (1.27)$$

5. Diferencijal rada konzervativne sile  $dW = \vec{F}(\vec{r}) d\vec{r}$  je totalni diferencijal.

Napomena: Potencijal je potencijalna energija po estici. Potencijalna energija zavisi od poloflaja para estica, a potencijal je funkcija poloflaja samo jedne estice. Npr. gravitacijska potencijalna energija para estica  $m_1$  i  $m_2$  je:

$$U(\vec{r}_1, \vec{r}_2) = -G \frac{m_1 m_2}{r_{12}} = -G \frac{m_1 m_2}{|\vec{r}_1 - \vec{r}_2|}, \quad (1.28)$$

a, gravitacijski potencijal  $V(\vec{r}_1)$  estice š1đ u gravitacijskom polju estice š2đ je  $U(\vec{r}_1, \vec{r}_2)$  promatran kao funkcija samo od  $\vec{r}_1$ , tako da je gravitacijska sila na esticu š1đ:

$$\vec{F}_{12} = -\nabla V(\vec{r}_1) = -\nabla_1 U(\vec{r}_1, \vec{r}_2).$$

Zbog antisimetrinosti vektora relativnog poloflaja estica  $\vec{r}_{12}$ , je naravno:

$$\vec{F}_{21} = -\nabla V(\vec{r}_2) = -\nabla_2 U(\vec{r}_1, \vec{r}_2) = -\vec{F}_{12}.$$

Iz (1.25) i (1.27) odmah slijedi:

### Zakon očuvanja energije za česticu:

Ako na česticu djeluju samo konzervativne sile, energija čestice je očuvana veličina:

$$E = T + U = \text{const.} \quad (1.29)$$

U slučaju rotacionog gibanja važe su angularne (kutne) veličine.

### Definicija: Moment impulsa (angularni moment) $\vec{l}$ i moment sile $\vec{M}$

- Moment impulsa čestice je:  $\vec{l}(t) = \vec{r}(t) \times \vec{p}(t)$ . (1.30)

- Moment sile  $\vec{F}$  je:  $\vec{M} = \vec{r} \times \vec{F}$ . (1.31)

Množte i slijeva s radijus vektorom, II Newtonov zakon daje:

$$\vec{M}(t) = \frac{d\vec{l}(t)}{dt}. \quad (1.32)$$

Iz (1.32) odmah slijedi zakon očuvanja angularnog momenta.

### Zakon očuvanja momenta impulsa čestice:

Ako je moment ukupne sile na česticu jednak nuli, moment impulsa čestice je očuvana veličina.

$$\vec{M} = 0 \Leftrightarrow \vec{l} = \text{const.} \quad (1.33)$$

Moment ukupne sile na česticu je nula ako je ukupna sila nula ili ako je sila centralna. Sila je centralna ako je paralelna (antiparalelna) radijus vektoru čestice. Angularni moment čestice na koju djeluju samo centralne sile je očuvan.

Najvažnije sile u klasi noj fizici su centralne konzervativne sile (gravitacijska i električna sila na primjer). Za takve sile je:

$$\vec{r} \times \vec{F} = -\vec{r} \times \nabla U(\vec{r}) = 0.$$

U sfernim koordinatama je:  $\vec{r} = r \hat{e}_r$  i  $\nabla U = \hat{e}_r \frac{\partial U}{\partial r} + \frac{\hat{e}}{r} \frac{\partial U}{\partial \theta} + \frac{\hat{e}}{r \sin \theta} \frac{\partial U}{\partial \phi}$ , pa zadnja jednadžba

daje:  $\frac{\partial U}{\partial \theta} = \frac{\partial U}{\partial \phi} = 0$ , što znači da potencijalna energija konzervativne centralne sile zavisi samo od intenziteta radijusa vektora:  $U = U(r)$ . Za takav potencijal (pot. energiju) možemo da je rotaciono invarijantan ili da je sferno simetričan.

Općenito, potencijalna energija para estica šiš i šiš koje jedna na drugu djeluju konzervativnim centralnim silama zavisi samo od intenziteta vektora relativnog položaja estica  $\vec{r}_{ij}$ , tj.  $U_{ij} = U_{ij}(|\vec{r}_{ij}|)$ , kao u (1.28). Negativni gradijent  $\nabla_i$  takve potencijalne energije po komponentama radijusa vektora i-te estice daje konzervativnu centralnu силу  $\vec{F}_{ij}$  na i-tu esticu, tj.

$$\vec{F}_{ij} = \vec{F}_{ij}(r_{ij}) = -\nabla_i U_{ij}(|\vec{r}_i - \vec{r}_j|). \quad (1.34)$$

koja djeluje duž pravca  $\vec{r}_{ij}$ .

Svi zakoni o uvanju lako se generaliziraju na sustav estica.

Za svaki fizikalni sustav postoji jedna točka koja se naziva centar mase sustava.

### Definicija: Centar mase $\vec{r}_c$ sustava čestica

Radius vektor  $\vec{r}_c$  centra mase sustava N estica s masama  $m_i$  je:

$$\vec{r}_c(t) = \frac{1}{M} \sum_{i=1}^N m_i \vec{r}_i(t), \quad M = \sum_{i=1}^N m_i. \quad (1.35)$$

Na primjer, centar mase sustava dviju estica je na segmentu pravca određenog tim esticama bliske esticama veće mase.

Za sustav sa kontinuiranom distribucijom mase (neprebrojivo mnogo estica) gustoća  $\rho(\vec{r}, t)$  sumacija po esticama u (1.35) prelazi u volumeni integral:

$$\vec{r}_c(t) = \frac{1}{M} \int d^3r \vec{r} \rho(\vec{r}, t), \quad M = \int d^3r \rho(\vec{r}, t) = \text{const.} \quad (1.35')$$

U problemima u kojima nas zanima samo gibanje sustava kao cijeline, tj. ako možemo zanemariti gibanje jedne estice u odnosu na drugu, u prvoj aproksimaciji, cijeli sustav estica možemo smatrati jednom esticom mase M iji je položaj određen radijus vektorom centra mase  $\vec{r}_c$ .

Za svaki fizikalni sustav, osnovne fizikalne veličine sustava estica (kinetička energija i moment impulsu) sustava na prirodan način se razlažu na zbroj dva člana, jednog koji predstavlja gibanje centra mase i drugog koji predstavlja gibanje u odnosu na centar mase.

Radius vektor  $\vec{r}_i$  svake estice može razložiti na zbroj radius vektora centra mase  $\vec{r}_c$  i radius vektor  $\vec{r}'_i$  u odnosu na koordinatni sustav s ishodištem u centru mase:

$$\vec{r}_i = \vec{r}_c + \vec{r}'_i, \quad (1.36)$$

-to deriviranjem za brzine estica daje:

$$\dot{\vec{r}}_i = \dot{\vec{r}}_c + \dot{\vec{r}}'_i. \quad (1.37)$$

Prema definiciji (1.35) je:

$$\sum_i m_i \dot{\vec{r}}_i = 0 \quad i \quad \sum_i m_i \dot{\vec{r}}'_i = \frac{d}{dt} \left( \sum_i m_i \vec{r}'_i \right) = 0,$$

pa je impuls sustava estica jednak impulsu centra mase:

$$\bar{P} = \sum_i m_i \dot{\vec{r}}_i = \sum_i m_i \left( \dot{\vec{r}}_c + \dot{\vec{r}}'_i \right) = M \dot{\vec{r}}_c.$$

Koristeći (1.36) i (1.37), kinetička energija sustava je:

$$T = \frac{1}{2} \sum_i m_i \dot{\vec{r}}^2 = \frac{1}{2} \sum_i m_i \left( \dot{\vec{r}}_c + \dot{\vec{r}}'_i \right)^2 = \frac{1}{2} M \dot{\vec{r}}_c^2 + \frac{1}{2} \sum_i m_i \dot{\vec{r}}'^2 = T_c + T', \quad (1.38)$$

a, angularni moment je:

$$\vec{L} = \sum_i m_i \left( \vec{r}_c + \vec{r}'_i \right) \times \left( \dot{\vec{r}}_c + \dot{\vec{r}}'_i \right) = M \vec{r}_c \times \dot{\vec{r}}_c + \sum_i m_i \vec{r}'_i \times \dot{\vec{r}}'_i = \vec{L}_c + \vec{L}'. \quad (1.39)$$

Relacija (1.38) pokazuju da je kinetička energija sustava estica zbroj kinetičke energije  $T_c$  centra mase i kinetičke energije  $T'$  za gibanje u odnosu na centar mase. Analogan rezultat za angularni moment sustava estica je relacija (1.39).

Ako zbrojimo jednadžbe gibanja (1.20) svih estica sustava dobijamo:

$$\dot{\vec{P}} = \sum_i \dot{\vec{p}}_i = \sum_i m_i \ddot{\vec{r}}_i = \frac{1}{2} \sum_{i,j} \left( \vec{F}_{ij} + \vec{F}_{ji} \right) + \sum_i \vec{F}_i^{\text{ext.}} = \vec{F}^{\text{ext.}} \quad (1.40)$$

pa impuls cijelog sustava zavisi samo od vanjskih sila i vrijedi zakon o učvanju impulsa:

### Zakon očuvanja impulsa $\vec{P}$ sustava čestica (I Newtonov zakon):

Ako je ukupna spoljašnja sila na sustav estica nula, impuls  $\vec{P}$  fizikalnog sustava je očuvan veličina.

$$\vec{F}^{\text{ext.}} = 0 \quad \Rightarrow \quad \vec{P} = \text{const.} \quad (1.41)$$

Prema (1.35) impuls sustava je:

$$\bar{P} = M \dot{\bar{r}}_C, \text{ pa slijedi: } \vec{F}^{\text{ext.}} = M \ddot{\bar{r}}_C, \quad (1.42)$$

–to zna i da se centar mase giba kao imaginarna estica na koju djeluje ukupna spolja–nja sila i ija masa je masa cijelog sustava. Ako je sustav izoliran ili ako je ukupna vanjska sila nula,  $\ddot{\bar{r}}_C = 0$ , te se centar mase sustava estica giba konstantnom brzinom  $\dot{\bar{r}}_C = \text{const.}$  Iz (1.42) odmah slijedi:

**Zakon gibanja centra mase sustava čestica:**

Centar mase izoliranog sustava ( $\vec{F}^{\text{ext.}} = 0$ ) giba se tako da je

$$M \bar{r}_C - t \bar{P} = \text{const.} \quad (1.43)$$

o uvana veli ina.

Angularni moment fizikalnog sustava je zbroj angularnih momenata pojedinih estica, tj.

$$\vec{L} = \sum_i \vec{l}_i = \sum_i m_i \bar{r}_i \times \dot{\bar{r}}_i. \quad (1.44)$$

Ukupni moment unutarnjih centralnih sila je nula, jer je za njih  $\vec{F}_{ij} \uparrow \downarrow \vec{r}_{ij}$ , pa je:

$$\sum_i \bar{r}_i \times \sum_j \vec{F}_{ij} = \frac{1}{2} \sum_{i,j} (\bar{r}_i - \bar{r}_j) \times \vec{F}_{ij} = 0,$$

te je ukupni moment sile na sustav estica jednak ukupnom momentu spolja–njih sila i prema (1.20) i (1.44) je:

$$\vec{M} = \sum_i \bar{r}_i \times \vec{F}_i^{\text{ext.}} = \sum_i \bar{r}_i \times m_i \ddot{\bar{r}}_i = \frac{d\vec{L}}{dt}. \quad (1.45)$$

Iz (1.45) odmah slijedi:

**Zakon očuvanja agularnog momenta (momenta impulsa)  $\vec{L}$  sustava čestica:**

Ako je ukupni moment spolja–njih sila koje djeluju na sustav estica nula (i ako su sve unutarnje sile centralne) ukupni moment impulsa  $\vec{L}$  fizikalnog sustava je o uvana veli ina.

$$\vec{M} = 0 \Rightarrow \vec{L} = \text{const.} \quad (1.46)$$

Pomnimo li jednadžbu gibanja i-te estice (1.20) njenom brzinom  $\dot{\vec{r}}_i$  i zbrojimo po svim esticama za konzervativni fizikalni sustav dobijamo:

$$\begin{aligned}\frac{dT}{dt} = \frac{d}{dt} \left( \frac{1}{2} \sum_i m_i \dot{\vec{r}}_i^2 \right) &= \frac{1}{2} \sum_{i,j} (\dot{\vec{r}}_i - \dot{\vec{r}}_j) \vec{F}_{ij} + \sum_i \dot{\vec{r}}_i \vec{F}_i^{\text{ext.}} = -\frac{1}{2} \sum_{i,j} \dot{\vec{r}}_{ij} \nabla_{ij} U_{ij}(\vec{r}_{ij}) - \sum_i \dot{\vec{r}}_i \nabla_i U_i^{\text{ext.}}(\vec{r}_i) = \\ &= -\frac{d}{dt} \left( \frac{1}{2} \sum_{i,j} U_{ij} \right) - \frac{d}{dt} \left( \sum_i U_i^{\text{ext.}} \right) = -\frac{dU}{dt},\end{aligned}$$

gdje je ukupna potencijalna energija sustava estica zbroj potencijalnih energija unutarnjih i spoljašnjih konzervativnih sila:

$$U = \frac{1}{2} \sum_{i,j} U_{ij}(\vec{r}_{ij}) + \sum_i U_i^{\text{ext.}}. \quad (1.47)$$

Gravitacijska, električna ili elektrostatična potencijalna energija para estica šije su:

$$U_{ij} = -G \frac{m_i m_j}{|\vec{r}_i - \vec{r}_j|}; \quad U_{ij} = \frac{1}{4\pi\epsilon_0} \frac{Q_i Q_j}{|\vec{r}_i - \vec{r}_j|}; \quad U_{ij} = \frac{1}{2} k \left[ |\vec{r}_i - \vec{r}_j| - r_0 \right]^2.$$

Gornji izraz odmah daje:

#### Zakon očuvanja energije E sustava čestica:

Energija konzervativnog fizikalnog sustava je očuvana velicina.

$$E = T + U = \text{const.} \quad (1.48)$$

Konačno možemo zaključiti da se svaki izolirani konzervativni fizikalni sustav giba tako da postoji 10 očuvanih velicina:

#### Zakoni očuvanja za izolirani konzervativni fizikalni sustav:

- $\vec{P} = \text{const.}$  – očuvanje impulsa sustava, (1.41)

- $M\vec{r}_C - t\vec{P} = \text{const.}$  – gibanje centra mase, (1.43)

- $\vec{L} = \text{const.}$  – očuvanje angularnog momenta, (1.46)

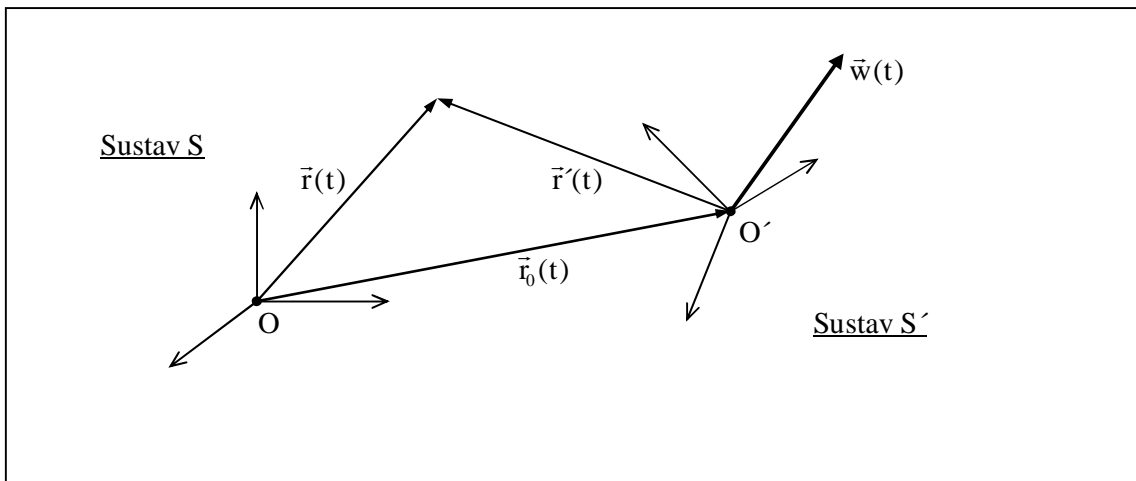
- $E = T + U = \text{const.}$  – očuvanje energije. (1.48)

## 1.5 Neinercijalni referentni sustavi

Newtonovi zakoni vafle u bilo kojem inercijalnom referentnom sustavu. Razli iti inercijalni referentni sustavi gibaju se bez akceleracije, zna i konstantnom brzinom, jedan u odnosu na drugi. Klasi ni princip relativnosti zahtjeva da fizikalni zakoni ostaju invarijantni pri promjeni inercijalnog referentnog sustava, -to vodi na invarijantnost zakona mehanike pri Galilejevim transformacijama (1.10) kojima se u klasi noj fizici prelazi iz jednog u drugi inercijalni referentni sustav (iz mirnog u pokretni IRS).

No, nisu svi referentni sustavi inercijalni. <sup>T</sup>Ma e se dogoditi ako neki promatra odabere neinercijalni referentni sustav, tj. precizno, kako izgledaju jednadflbe gibanja fizikalnog sustava u neinercijalnom referentnom sustavu?

Neka imamo jedan inercijalni referentni sustav  $S$  i jedan neinercijalni (ubrzani) sustav  $S'$ . U op em slu aju ubrzano gibanje sustava  $S'$  u odnosu na  $S$  sastoji se od rotacije i translacije. Rotacija neinercijalnog sustava  $S'$  je rotacija oko neke osi koja prolazi kroz njegovo ishodi-te  $O'$ , a translatorno gibanje sustava  $S'$  u odnosu na  $S$  može se opisati kao promjena vektora  $\vec{r}_0(t)$  koji spaja ishodi-ta, kao na Slici 2.



Slika 2.

Razmotrimo prvo slu aj iste rotacije sustava  $S'$  u odnosu na sustav  $S$ . Jednostavnosti radi, a bez gubitka op enitosti možemo pretpostaviti da su ishodi-ta dva sustava u istoj to ci, tj. da je  $\vec{r}_0(t) = 0$ , te kasnije dodati translaciju ishodi-ta.

Kao -to smo ve vidjeli u **1.1** dva koordinatna sustava  $S:\{\vec{e}_1, \vec{e}_2, \vec{e}_3\}$  i  $S':\{\vec{e}'_1, \vec{e}'_2, \vec{e}'_3\}$  koji rotiraju jedan u odnosu na drugi povezuje vremenski zavisna ( $3 \times 3$ ) ortogonalna matrica rotacije  $R(t)$  koja zadovoljava relacije (1.7) i (1.8). Deriviranjem po vremenu iz (1.8) slijedi:

$$\dot{R}^T R + R^T \dot{R} = 0,$$

-to zna i da je matrica  $\Omega = R^T \dot{R}$  realna antisimetri na ( $3 \times 3$ ) matrica te se može predstaviti u obliku:

$$\Omega = R^T \dot{R} = \begin{pmatrix} 0 & w_3 & -w_2 \\ -w_3 & 0 & w_1 \\ w_2 & -w_1 & 0 \end{pmatrix}, \quad (1.49)$$

tj.

$$\Omega_{jk} = \sum_{i=1}^3 \epsilon_{ijk} w_i, \quad w_i \in R. \quad (1.49)$$

gdje je  $\epsilon_{ijk}$  potpuno antisimetri ni tenzor tre eg reda. Mnofle i (1.49) sa  $\epsilon_{ijk}$  i koriste i relaciju:  $\epsilon_{ijk} \epsilon_{kjm} = -2 \delta_{im}$  lako se invertira relacija (1.49):

$$w_i = \frac{1}{2} \sum_{j,k=1}^3 \epsilon_{ijk} \Omega_{jk}. \quad (1.50)$$

Pokaflimo da je  $\vec{w} = \sum_i \hat{e}_i w_i$  vektor trenutne kutne brzine rotacije sustava  $S'$  u odnosu na sustav  $S$ . fielimo na i relacije koje povezuju vremenske promjene fizikalnih veli ina u dva koordinatna (referentna) sustava. Pri tome nas ne zanima totalna derivacija po vremenu (1.4), ve samo vremenska promjena komponenti vektora koju bi izmjerili promatra i u dva sustava (bez uzimanja u obzir promjene bazisnih vektora sustava). Da istaknemo razliku u odnosu na uobi ajenu potpunu vremensku derivaciju  $\frac{d}{dt}$ , takvu vremensku derivaciju ozna imo sa  $D$ , tj. definiramo:

$$D\vec{r} = \sum_i \hat{e}_i \dot{r}_i; \quad D'\vec{r} = \sum_i \hat{e}_i \dot{r}'_i, \quad (1.51)$$

gdje su  $r_i$  i  $r'_i$  komponente radijus vektora proizvoljne to ke u dva sustava.

Prema (1.7) i (1.9) je

$$\begin{aligned} D'\vec{r} &= \sum_i \hat{e}_i \dot{r}'_i = \sum_{i,j} \hat{e}_i (R_{ij} \dot{r}_j + \dot{R}_{ij} r_j) = \sum_j \hat{e}_j \dot{r}_j + \sum_{k,i,j} \hat{e}_k R^T_{ki} \dot{R}_{ij} r_j = \\ &= D\vec{r} + \sum_{k,j} \hat{e}_k \Omega_{kj} r_j = D\vec{r} - \sum_{k,i,j} \hat{e}_k \epsilon_{kij} w_i r_j = D\vec{r} - \vec{w} \times \vec{r}, \end{aligned}$$

tj. vrijedi:

### Coriolisov teorem

Vremenska derivacija proizvoljnog vektora  $\vec{r}$  u sustavu  $S'$  koji rotira trenutnom kutnom brzinom  $\vec{w}$  u odnosu na inercijalni sustav  $S$  je:

$$D'\vec{r} = D\vec{r} - \vec{w} \times \vec{r}. \quad (1.52)$$

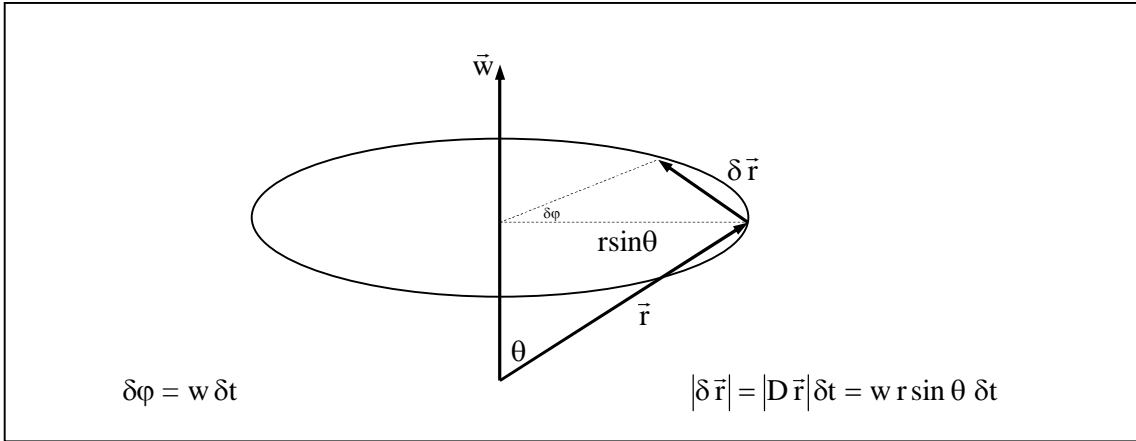
Posljedica: Vremenska derivacija trenutne kutne brzine rotacije ne zavisi od referentnog sustava, tj.

$$D'\vec{w} = D\vec{w}. \quad (1.53)$$

Zna enje Coriolisovog teorema postaje o igledno ako za  $\vec{r}$  odaberemo konstantni vektor u sustavu  $S'$  tj. uzmememo:

$$D'\vec{r} = 0 \Rightarrow D\vec{r} = \vec{w} \times \vec{r}. \quad (1.54)$$

U inercijalnom sustavu  $S$  infinitezimalna promjena  $\delta\vec{r}$  vektora  $\vec{r}$  za vrijeme  $\delta t$  je onda:  $\delta\vec{r} = \vec{w} \times \vec{r} \delta t$  -to je vektor okomit i na  $\vec{w}$  i na  $\vec{r}$  i predstavlja rezultat rotacije vektora  $\vec{r}$  oko pravca paralelnog s pravcem  $\vec{w}$  za kut  $|\vec{w}| \delta t$  kao na Slici 3.,



Slika 3.

pa je jasno da je  $\vec{w} = \dot{\phi}$  trenutna kutna brzina rotacije neinercijalnog sustava  $S'$ .

Lako je uključiti i translatoryno gibanje sustava  $S'$  jer je prema Slici 2. za proizvoljnu točku u prostoru:  $\vec{r}'(t) = \vec{r}(t) - \vec{r}_0(t)$ .

Kako je sustav  $S$  inercijalni u njemu važe Newtonovi zakoni, tj. jednadžba gibanja estice je:

$$m D^2 \vec{r} = \vec{F}. \quad (1.55)$$

Coriolisov teorem (1.52) onda daje:

$$\begin{aligned} \frac{\vec{F}}{m} &= D^2 \vec{r} = D^2 \vec{r}' + D^2 \vec{r}_0 = D(D\vec{r}' + \vec{w} \times \vec{r}') + D^2 \vec{r}_0 = \\ &= D(D\vec{r}' + \vec{w} \times \vec{r}') + \vec{w} \times (D\vec{r}' + \vec{w} \times \vec{r}') + D^2 \vec{r}_0 = \\ &= D^2 \vec{r}' + (D\vec{w}) \times \vec{r}' + 2\vec{w} \times D\vec{r}' + \vec{w} \times (\vec{w} \times \vec{r}') + D^2 \vec{r}_0. \end{aligned}$$

Iz ovog izraza lako je vidjeti kako glasi II Newtonov zakon u neinercijalnom sustavu  $S'$ :

### Jednadžba gibanja čestice u neinercijalnom referentnom sustavu:

Neka su  $\vec{r}$  i  $\vec{r}'$  radijus vektori čestice u inercijalnom sustavu S i u neinercijalnom sustavu S' koji se ubrzano giba u odnosu na S. Jednadžbe gibanje čestice u dva sustava su:

$$m D^2 \vec{r} = \vec{F} \quad (1.56)$$

$$m D'^2 \vec{r}' = \vec{F} + \vec{F}_T + \vec{F}_F + \vec{F}_C + \vec{F}_L, \quad (1.57)$$

gdje su dodatne inercijalne sile:

- $\vec{F}_T = -m D^2 \vec{r}_0$  – translaciona sila,
- $\vec{F}_F = -m \vec{w} \times (\vec{w} \times \vec{r}')$  – centrifugalna sila,
- $\vec{F}_C = -2m \vec{w} \times D \vec{r}'$  – Coriolisova sila i
- $\vec{F}_L = -m(D' \vec{w}) \times \vec{r}'$  – linearna sila.

U općem slučaju, u neinercijalnom referentnom sustavu u jednadžbi gibanja čestice pojavljuju se dodatne inercijalne sile (pseudo sile) koje su rezultat odabira ubrzanog referentnog sustava, a ne rezultat interakcija s drugim česticama. Zakoni fizike jednostavniji su u inercijalnim sustavima referencije.

**Klasični princip relativnosti zahtjeva da II Newtonov zakon, tj. jednadžba gibanja čestice, bude form-invarijantan (ima istu formu) u bilo kojem inercijalnom referentnom sustavu.** Prema (1.57) taj zahtjev je ekvivalentan uvjetima:  $\vec{F}_T = \vec{F}_F = \vec{F}_C = \vec{F}_L = 0$ , to je ispunjeno ako vrijedi:

$$D^2 \vec{r}_0 = 0, \quad \vec{w} = 0. \quad (1.58)$$

Najopćenitije rješenje je:

$$\vec{r}_0(t) = \vec{V}t + \vec{q}, \quad R(t) = R, \quad \vec{V}, \vec{q}, R = \text{const.}, \quad (1.59)$$

–to znači da u općem slučaju, inercijalni sustav S' može samo givati konstantnom brzinom u odnosu na sustav S ili biti zarotiran za fiksni kut. Ako dodatno, sila  $\vec{F}$  ne zavisi eksplicitno od vremena, –to je uvijek slučaj u izoliranom fizikalnom sustavu, vremensko ishodište sustava S' može se translirati do poklapanja sa sustavom S.

Tako se dobija najopćenitiji oblik prostorno-vremenskih transformacija koje tvore Galilejevu grupu:

### Galilejeva grupa

Najop enitije transformacije kojima se u klasi noj mehanici prelazi iz jednog u drugi inercijalni referentni sustav su:

$$\mathbf{r}_i \rightarrow \mathbf{r}'_i = R_{ij} \mathbf{r}_i + V_i t + q_i, \quad t \rightarrow t' = t + t_0, \quad (1.60)$$

gdje je:

$$R, \vec{V}, \vec{q}, t_0 = \text{const.}; \quad RR^T = 1; \quad \det R = 1. \quad (1.61)$$

Ove transformacije tvore 10 parametarsku Lie grupu koju nazivamo Galilejeva grupa. Transformacije (1.10) ne uklju uju rotacije ( $R = 1$ ) i predstavljaju specijalni slu aji takozvanih «pravih» (proper) Galilejevih transformacija kojima se prelazi u pokretni IRS.

Newtonovi zakoni su form-invarijantni u svim inercijalnim referentnim sustavima, tj. kaflemo da je Newtonova mehanika Galileo invarijantna.

Najvaftnije sile u klasi noj fizici su gravitacijske, elektri ne i elasti ne sile koje su konzervativne centralne sile. Ako na esticu djeluju samo takve sile, prema (1.34), ukupna sila na esticu je negativni gradijent rotaciono (tj. sforno) simetri nog potencijala  $V(r) = V(|\vec{r}|)$ :

$$\vec{F} = -\nabla V = -\frac{dV}{dr} \frac{\vec{r}}{|\vec{r}|}. \quad (1.62)$$

Druga vaftna klasa potencijala su homogeni potencijali (potencijalne energije).

### Definicija: Homogeni potencijal

Homogeni potencijal je rotaciono invarijantni potencijal oblika

$$V(r) = V(|\vec{r}|) = \alpha |\vec{r}|^k, \quad k \in \mathbb{R}. \quad (1.63)$$

Za esticu na koju djeluje konzervativna centralna sila opisana homogenim potencijalom je:

$$\frac{d}{dt} \left( m \vec{r} \dot{\vec{r}} \right) = m \left( \dot{\vec{r}}^2 + \vec{r} \ddot{\vec{r}} \right) = 2T + \vec{r} \vec{F}. \quad (1.64)$$

Usrednjavanje po vremenu za interval  $\tau$  daje:

$$\frac{m}{\tau} \left[ \vec{r}(\tau) \dot{\vec{r}}(\tau) - \vec{r}(0) \dot{\vec{r}}(0) \right] = 2\langle T \rangle + \langle \vec{r} \vec{F} \rangle, \quad \langle T \rangle = \frac{1}{\tau} \int_0^\tau T dt.$$

Ako je gibanje estice periodi no s periodom  $\tau$ , tj. ako je:  $\vec{r}(\tau) = \vec{r}(0)$ ,  $\dot{\vec{r}}(\tau) = \dot{\vec{r}}(0)$ , vafli virijalni teorem:

$$\langle T \rangle = -\frac{1}{2} \langle \vec{r} \vec{F} \rangle. \quad (1.65)$$

Za konzervativne centralne sile  $\vec{F} = -\nabla V(r)$ , koje su odreene homogenim potencijalom (1.63) je:

$$\langle \vec{r} \vec{F} \rangle = -\frac{\alpha}{\tau} \int_0^\tau dt \vec{r} \nabla |\vec{r}|^k = -\frac{\alpha}{\tau} \int_0^\tau dt k |\vec{r}|^k = -k \langle V \rangle,$$

pa vafli:

### Virijalni teorem za homogeni potencijal

Za esticu koja se giba pod djelovanjem centralnih sila koje su opisane homogenim potencijalom (1.63) je:

$$\langle T \rangle = \frac{k}{2} \langle V \rangle. \quad (1.66)$$

Napomena: Virijalni teorem vafli i opunitije, ne samo za periodi no, ve i za bilo kakvo ograničeno gibanje estice (za svako vezano stanje), tj. ako poloflaj i brzina estice ostaju konačni kad  $\tau \rightarrow \infty$ .

Homogeni potencijali oblika (1.63) imaju jedno vafno svojstvo. Oni su invarijantni ne samo pri rotacijama, ve i pri transformacijama skale (konformnim transformacijama).

### Konformne transformacije za homogene potencijale

Jednadžba gibanja estice na koje djeluje sila opisana homogenim potencijalom (1.63)

$$m \frac{d^2 \vec{r}}{dt^2} = -\nabla V(r) = -\alpha k |\vec{r}|^{k-2} \vec{r}, \quad (1.67)$$

invarijantna je pri konformnim transformacijama (transformacijama skale) oblika:

$$\vec{r} \rightarrow \lambda \vec{r}', \quad t \rightarrow \lambda^{\frac{2-k}{2}} t'. \quad (1.68)$$

Kako je:  $\frac{d^2\vec{r}}{dt^2} = \lambda^{k-1} \frac{d^2\vec{r}'}{dt'^2}$  i  $\nabla V(r) = \lambda^{k-1} \nabla' V(r')$ , zaista vrijedi i:  $m \frac{d^2\vec{r}'}{dt'^2} = -\nabla' V(r')$ .

Ako su  $T$  i  $T'$  određeni vremenski intervali (periodi titraja, na primjer), a odgovarajuće udaljenosti (npr. amplitude gibanja)  $R$  i  $R'$  za dva tipa gibanja estice koji su povezani konformnom transformacijom (1.68), onda vrijedi:

$$V(r) = \alpha |\vec{r}|^k \Rightarrow \left(\frac{T'}{T}\right)^2 = \left(\frac{R'}{R}\right)^{2-k}. \quad (1.69)$$

Za gravitacijske i električne sile je:  $k = -1$ , pa odmah slijedi:

$$\left(\frac{T'}{T}\right)^2 = \left(\frac{R'}{R}\right)^3, \quad (1.70)$$

–to znači da je III Keplerov zakon direktna posljedica konformne invariantnosti Newtonovog zakona gravitacije.

Na kraju rezimirajmo kako se prema Newtonovom receptu u klasi noj fizici rjeavanja problem gibanja bilo kojeg fizikalnog sustava:

### Osnovni problem dinamike

Neka imamo sustav od  $N$  (klasičnih) estica masa  $m_i$  ( $i = 1, 2, \dots, N$ ). Ako znamo:

- sve sile koje djeluju na sustav, tj. znamo ukupnu silu  $\vec{F}_i = \vec{F}_i(\vec{r}_i, \dot{\vec{r}}_i, t)$  na  $i$ -tu esticu,
- mehaničko stanje sustava u trenutku  $t = 0$ , tj. početni položaj  $\vec{r}_{i_0}$  i početnu brzinu  $\dot{\vec{r}}_{i_0}$  svih estica sustava,

onda rjeavanjem jednadžbi gibanja sustava:

$$\dot{\vec{p}}_i = \vec{F}_i, \quad (i = 1, 2, \dots, N),$$

nalazimo mehaničko stanje sustava svakom trenutku, tj. znamo položaj svake estice  $\vec{r}_i(t)$  u bilo kojem trenutku vremena  $t$ .

## 1.6 Linearni harmonički oscilator

Kao primjer razmotrimo najvažniji sustav u teorijskoj fizici – linearni harmonički oscilator (LHO). Jednodimenzionalni linearni harmonički oscilator je estica mase  $m$  na koju djeluje elastična sila  $F_{el.} = -kx$ , gdje je  $k > 0$  konstanta sile (konstanta opruge), a  $x$  je elongacija estice, tj. udaljenost od stabilnog ravnotešnog položaja estice  $x = 0$ . Smjer takve restitucione sile uvijek je ka ravnotešnom položaju. Naravno, na esticu mogu djelovati i dodatne sile, od kojih su najvažnije: sila otpora proporcionalna brzini estice  $F_{tr.} = -\eta \dot{x}$  i prinudna, vremenski zavisna sila. Najjednostavniju realizaciju LHO predstavlja estica vezana za idealnu oprugu konstante  $k$ .

Elastična sila je konzervativna i elastična potencijalna energija estice je:  $U = \frac{1}{2}kx^2$ , tako da je:  $\vec{F}_{el.} = -\nabla U = -\frac{dU}{dx}\vec{i} = -k\vec{x}$ . Jednadžba gibanja je:  $m\ddot{x} = F_{el.} + F_{tr.}$ , tj:

$$\ddot{x} + \frac{\omega_0^2}{m}x = 0, \text{ gdje je: } \omega_0^2 = \frac{k}{m}. \quad (1.71)$$

- Razmotrimo prvo slučaj kad nema sile otpora  $\gamma = 0$ . Jednadžba gibanja je:

$$\ddot{x} + \omega_0^2 x = 0, \quad (1.72)$$

gdje je svojstvena frekvencija oscilatora  $\omega_0 = \sqrt{\frac{k}{m}}$ . Obična linearna diferencijalna jednadžba II reda s konstantnim koeficijentima (1.72), rješava se smjenom  $x(t) = e^{\lambda t}$ , koja daje kvadratnu jednadžbu:  $\lambda^2 + \omega_0^2 = 0$  za parametar  $\lambda$  sa rješenjem:  $\lambda_{1,2} = \pm i\omega_0$ . Opreme rješenje jednadžbe gibanja je:

$$x(t) = C_1 e^{i\omega_0 t} + C_2 e^{-i\omega_0 t} \quad \text{ili} \quad x(t) = A_1 \cos \omega_0 t + A_2 \sin \omega_0 t, \quad (1.73)$$

gdje su  $C_{1,2}$  ili  $A_{1,2}$  neodređene konstante. Odabirom:  $A_1 = A \cos \varphi$  i  $A_2 = -A \sin \varphi$ , oporek rješenje (1.73) može se napisati u obliku prostog harmoničkog titranja:

$$x(t) = A \cos(\omega_0 t + \varphi), \quad (1.74)$$

gdje je  $A$  amplituda (maksimalna elongacija), a  $\varphi$  početna faza, koje se određuju iz početnih uvjeta:

početnog položaja:  $x(t=0) = A \cos \varphi$  i početne brzine:  $\dot{x}(t=0) = -A \sin \varphi$ .

Gibanje estice je periodično osciliranje oko ravnotešnog položaja kutnom frekvencijom  $\omega_0$ , tj. period titraja je:

$$T = \frac{2\pi}{\omega_0} = 2\pi \sqrt{\frac{m}{k}}. \quad (1.75)$$

- Ako na oscilator djeluje i nekonzervativna sila otpora  $F_{tr.} = -\eta \dot{x}$ , op e rje-enje jednadflbe gibanja (1.71) je:  $x(t) = C_1 e^{-t} + C_2 e^{-\gamma t}$ , gdje je:  $\omega_{1,2} = -\pm\sqrt{\omega_0^2 - \gamma^2}$ . Gibanje ovakvog prigu-enog harmoni kog oscilatora je aperiodi no, tj. rje-enje je linearna kombinacija realnih opadaju ih eksponencijalnih funkcija u slu aju jakog ( $\gamma > \omega_0$ ) i kriti nog ( $\gamma = \omega_0$ ) prigu-enja. Samo u slu aju slabog prigu-enja ( $\gamma < \omega_0$ ) gibanje je kvazi-periodi no titranje:

$$x(t) = Ae^{-t} \cos(\omega_0 t + \phi), \quad (1.76)$$

sa eksponencijalno opadaju om amplitudom  $A(t) = Ae^{-t}$  i kvazi-periodom:

$$T = \frac{2\pi}{\omega_0} = \frac{2\pi}{\sqrt{\omega_0^2 - \gamma^2}}. \quad (1.77)$$

- Ako na oscilator djeluje jo- i neka prinudna sila  $F_{pr.} = f(t)$  ovisna o vremenu jednadflba gibanja je:

$$m\ddot{x} + 2m\dot{x} + m\omega_0^2 x = f(t), \quad (1.78)$$

-to je nehomogena obi na linearna diferencijalna jednadflba II reda. Metod Greenove funkcije je najjednostavniji na in rjeavanja svake nehomogene linearne diferencijalne jednadnadjlbe. Op e rje-enje (1.78) može se napisati u obliku:

$$x(t) = x_h(t) + \int dt' G(t, t') f(t'), \quad (1.79)$$

gdje je  $x_h(t)$  op e rje-enje odgovaraju e homogene jednadflbe, a pomo na Greenova funkcija  $G(t, t')$  daje partikularno rje-enje nehomogene jednadflbe. Iz (1.79) i (1.78) lako se vidi da je Greenova funkcija rje-enje jednadflbe:

$$m\ddot{G}(t, t') + 2m\dot{G}(t, t') + m\omega_0^2 G(t, t') = \delta(t - t'). \quad (1.80)$$

Fourierov transform omogu uje da se gornja jednadflba transformira u algebarsku. Kako je:

$$(t - t') = \frac{1}{\sqrt{2}} \int d\omega e^{i\omega(t-t')}, \text{ definirajmo: } G(t, t') = \frac{1}{\sqrt{2}} \int d\omega g(\omega) e^{i\omega(t-t')}, \quad (1.81)$$

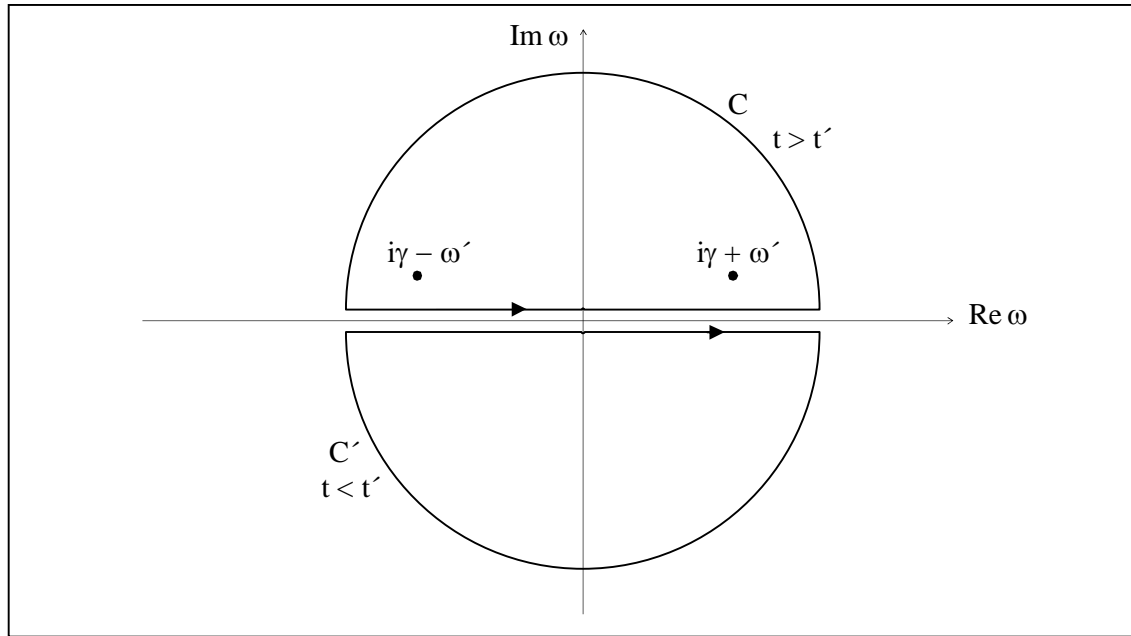
-to uvr-tavanjem u (1.80) za Fourierov transform  $g(\omega)$  Greenove funkcije daje:

$$g(\omega) = -\frac{1}{m\sqrt{2}} \frac{1}{\omega^2 - 2i\omega - \omega_0^2} = -\frac{1}{m\sqrt{2}} \frac{1}{(-i + \omega)(-i - \omega)}, \quad \omega = \sqrt{\omega_0^2 - \gamma^2}, \quad (1.82)$$

pa je Greenova funkcija:

$$G(t, t') = \frac{1}{2m} \int d\omega \frac{e^{i\omega(t-t')}}{(-i + \omega)(-i - \omega)}. \quad (1.83)$$

Integral (1.83) rauna se kompleksnom  $\omega$ -integracijom po zatvorenim konturama  $C$  i  $C'$  sa Slike 4. koriste i Cauchy-ev teorem o reziduima kompleksne funkcije.



Slika 4.

Pri integraciji se mora voditi rauna o slijede em:

- Podintegralna funkcija u (1.83) ima dva pola prvog reda za  $\omega_0^2 \neq \omega^2$ , a jedan pol drugog reda za  $\omega_0^2 = \omega^2$  u gornjoj kompleksnoj poluravnini ( $\text{Im } \omega = \varepsilon > 0$ ).
- Za  $t - t' > 0$ , za integraciju moramo odabrati zatvorenu konturu  $C$ , osiguravaju i da doprinos integralu sa polukruvnice tefli nuli u limesu kad radijus kruvnica  $R \rightarrow \infty$ . Analogno, za  $t - t' < 0$  biramo zatvorenu konturu  $C'$ , to osigurava da je zadovoljen uvjet kauzalnosti:

$$G(t, t') = 0 \quad \text{za } t < t',$$

(stanje sustava u trenutku  $t$  zavisi samo od njegove prolosti  $t' < t$ ).

- Raunaju i rezidue nalazi se Greenova funkcija prigu-enog harmoni kog oscilatora:

– Slabo prigu-enje:  $\omega_0^2 > \omega^2$ ,

$$G(t, t') = \frac{1}{m} e^{-\sqrt{\omega_0^2 - \omega^2}(t-t')} \sin[\sqrt{\omega_0^2 - \omega^2}(t-t')], \quad \gamma = \sqrt{\omega_0^2 - \omega^2}, \quad (1.84)$$

– Jako prigu-enje:  $\omega_0^2 < \omega^2$ ,

$$G(t, t') = \frac{1}{m} e^{-\sqrt{\omega^2 - \omega_0^2}(t-t')} \operatorname{sh}[\sqrt{\omega^2 - \omega_0^2}(t-t')], \quad \gamma = \sqrt{\omega^2 - \omega_0^2}, \quad (1.85)$$

– Kritično prigu-enje:  $\omega_0^2 = \omega^2$ ,

$$G(t, t') = \frac{t-t'}{m} e^{-\sqrt{\omega_0^2}(t-t')}. \quad (1.86)$$

Razmotrimo sad komplikiraniji slučaj gibanja u dvije dimenzije. Dvodimenzioni linearni harmonički oscilator je estica mase  $m$  na koju djeluje elastična sila:  $\vec{F}_{\text{el.}} = -k\vec{r} = -kx\hat{i} - ky\hat{j}$ , gdje jednostavnosti radi uzimamo:  $k_x = k_y = k$ . Jednadžba gibanja je:

$$\frac{d}{dt}(m\dot{\vec{r}}) = -k\vec{r}, \quad \text{tj.} \quad \begin{aligned} m\ddot{x} &= -kx \\ m\ddot{y} &= -ky \end{aligned},$$

sa rješenjem:

$$\begin{aligned} x(t) &= A \cos(\omega_0 t + \varphi_1) \\ y(t) &= B \cos(\omega_0 t + \varphi_2) \end{aligned}. \quad (1.87)$$

Konstante  $A$ ,  $B$ ,  $\varphi_1$ ,  $\varphi_2$  određuju se iz početnih uvjeta. Eksplicitna jednadžba putanje dobija se eliminacijom vremena. Uvodeći novu konstantu  $\varphi = \varphi_1 - \varphi_2$  lako se dobija:

$$y = \frac{B}{A}x \cos \varphi \pm \left(1 - \frac{x^2}{A^2}\right)^{\frac{1}{2}} \sin \varphi.$$

Kvadriranjem dobijemo kvadratnu funkciju dviju varijabli:

$$B^2x^2 - 2AB\cos\varphi xy + A^2y^2 = A^2B^2 \sin^2\varphi, \quad (1.88)$$

koja predstavlja jednadžbu konusnih presjeka: elipse, parabole i hiperbole. Iz (1.87) je očigledno da su obe koordinate ograničene:  $|x| \leq A$ ,  $|y| \leq B$ , što znači da je putanja dvodimenzionalnog harmoničkog oscilatora:

- Kruglica za  $A = B$  i  $\varphi = \pm\frac{\pi}{2}$ ,
- Segment pravca za  $\varphi = 0, \pm\pi$  i proizvoljno  $A$  i  $B$ ,
- Elipsa za sve ostale vrijednosti  $\varphi$ ,  $A$  i  $B$ .

Razmotrimo na kraju i trodimenzionalni slučaj.

Izotropni linearni harmonički oscillator je estica mase  $m$  na koju djeluje sila:

$$\vec{F}_{\text{el.}} = -k\vec{r} = -k\vec{r}\hat{\epsilon}_r. \quad (1.89)$$

Izvor sile je u ishodištu koje je ravnotežni položaj estice. Za  $t = 0$  početni položaj i početna brzina estice neka su:  $\vec{r}_0$  i  $\vec{v}_0$ .

Prema II Newtonovom zakonu u početnom trenutku je i ubrzanje estice kolinearno s  $\vec{r}_0$ , pa estica uvijek ostaje u početnoj ravnini odnosno s  $\vec{r}_0$  i  $\vec{v}_0$  (ako su kojim slučaju  $\vec{r}_0$  i  $\vec{v}_0$  kolinearni gibanje je jednodimenziono duž pravca odnosno enog tim vektorima).

Da je gibanje izotropnog linearne harmoni kog oscilatora u dvije dimenzije u po etnoj ravnini, mofle se vidjeti i na slijede i na in.

Sila je konzervativna i centralna (uvijek usmjerena k ishodi-tu), tj. mofle se izvjesti iz potencijala koji zavisi samo od  $r$  :

$$\vec{F} = -\nabla U(r), \text{ gdje je : } U(r) = \frac{1}{2}kr^2. \quad (1.90)$$

pa vafle zakoni o o uvanja energije i angularnog momenta, tj:

$$\frac{dE}{dt} = \frac{d}{dt}(T + U) = \frac{d}{dt}\left(\frac{1}{2}m\dot{r}^2 + \frac{1}{2}kr^2\right) = \frac{1}{2}m\ddot{r}\dot{r} + \frac{1}{2}k\dot{r}\dot{r} = \frac{1}{2}m(-k\ddot{r})\dot{r} + \frac{1}{2}k\ddot{r}\dot{r} = 0,$$

$$\frac{d\vec{l}}{dt} = \frac{d}{dt}(\vec{r} \times \vec{p}) = \vec{r} \times \frac{d\vec{p}}{dt} = \vec{r} \times (-k\ddot{r}) = 0 \Rightarrow \vec{l} = \vec{r} \times \vec{p} = \text{const.} = \vec{r}_0 \times \vec{p}_0 = \vec{l}_0,$$

-to zna i da su vektori  $\vec{r}$  i  $\vec{p} = m\dot{\vec{r}} = m\vec{v}$  uvijek okomiti na konstantni vector  $\vec{l}_0$ , tj.  $\vec{r}$  i  $\vec{v}$  su uvijek u ravnini okomitoj na  $\vec{l}_0$ .

Odaberimo referentni sustav tako da je angularni moment dufl z-osi, pa je gibanje u xy-ravnini ( $= \frac{1}{2}$  u sfernim koordinatama):

$$l_0 = l_z = mr^2 \frac{d}{dt} \Rightarrow \frac{d}{dt} = \frac{l_0}{mr^2}, \quad (1.91)$$

-to se lako pokazuje polaze i od  $l_z = m(xv_y - yv_x)$ .

Ukupna energija oscilatora je onda:

$$E = T + U = \frac{1}{2}m(\dot{r}^2 + r^2\dot{\theta}^2) + \frac{1}{2}kr^2 = \frac{1}{2}m\dot{r}^2 + \frac{l_0^2}{2mr^2} + \frac{1}{2}kr^2 = \text{const.} \geq 0. \quad (1.92)$$

Za svaku pozitivnu vrijednost energije, udaljenost  $r$  od ishodi-ta je kona na, -to zna i da na putanji mora postojati to ka povrata (turning point)  $\vec{r}_{\text{pov.}}$  gdje je radikalna komponenta brzine nula  $\dot{r}_{\text{pov.}} = 0$ , tako da je energija oscilatora:

$$E = \frac{l_0^2}{2mr_{\text{pov.}}^2} + \frac{1}{2}kr_{\text{pov.}}^2. \quad (1.93)$$

Bez gubitka op enitosti moflemo uzeti da je oscilator u po etnom trenutku u to ci povrata, tj. da je  $\vec{r}_0 = \vec{r}_{\text{pov.}}$  (to je ustvari odabir pravca x-osi koordinatnog sustava).

Zakon o uvanja energije (1.92) za radijalnu komponentu brzine daje diferencijalnu jednadžbu prvog reda:

$$\frac{dr}{dt} = \left[ \frac{2E}{m} - \frac{l_0^2}{m^2 r^2} - \frac{\omega_0^2 r^2}{m} \right]^{\frac{1}{2}},$$

gdje je svojstvena frekvencija oscilatora:  $\omega_0^2 = \frac{k}{m}$ . Separacijom varijabli i integracijom od  $t = 0$  do nekog trenutka  $t$  je:

$$t = \int_{r_0}^{r(t)} dr \left[ \frac{2E}{m} - \frac{l_0^2}{m^2 r^2} - \frac{\omega_0^2 r^2}{m} \right]^{-\frac{1}{2}}. \quad (1.94)$$

Smjenom  $x = r^2$  gornji integral se svodi na kanonski oblik:

$$\int \frac{dx}{\sqrt{a + bx + cx^2}}, \text{ gdje je: } c = -\omega_0^2 \text{ i } \Delta = b^2 - 4ac = \left( \frac{l_0^2}{2mr_0^2} - \frac{1}{2}kr_0^2 \right)^2 \geq 0,$$

-to daje:

$$\frac{1}{2} \int dx \left[ \frac{2E}{m} x - \frac{l_0^2}{m^2} - \frac{\omega_0^2 x^2}{m} \right]^{-\frac{1}{2}} = \frac{1}{2} \arcsin \left[ \frac{m \omega_0^2 x - E}{(E^2 - l_0^2 / m^2)^{\frac{1}{2}}} \right].$$

Koristeći gornji izraz dobijemo rješenje jednadžbe gibanja oscilatora:

$$2\omega_0 t = \arcsin \left[ \frac{m \omega_0^2 r^2(t) - E}{E - m \omega_0^2 r_0^2} \right] - \arcsin[-1],$$

i kako je  $\arcsin[-1] = -\frac{\pi}{2}$ , parametarska jednadžba putanje oscilatora u  $(r, \varphi)$  ravnini je:

$$r(t) = \left[ \frac{E}{m \omega_0^2} - \left( \frac{E}{m \omega_0^2} - r_0^2 \right) \cos 2\omega_0 t \right]^{\frac{1}{2}}. \quad (1.95)$$

Period oscilatora je  $T = \frac{2\pi}{\omega_0} = \sqrt{\frac{m}{k}}$ , a putanja je elipsa ije karakteristike zavise od o uvanih veliina  $E$  i  $\vec{l}_0$ . Ako je npr.  $\varphi$ -komponenta brzine jednaka svojstvenoj frekvenciji oscilatora, tj.  $\dot{\varphi} = \omega_0$ , iz izraza za energiju i putanju dobijamo:

$$r(t) = \left( \frac{E}{m r_0^2} \right)^{\frac{1}{2}} = \left( \frac{l_0}{m r_0^2} \right)^{\frac{1}{2}} = r_0,$$

-to zna i da je putanja kružnica radijusa  $\left( \frac{E}{m r_0^2} \right)^{\frac{1}{2}}$ .

Ako je  $l_0 > m r_0^2$ , onda je  $\frac{E}{m r_0^2} > r_0^2$ , -to zna i da  $r(t)$  oscilira između:

$$r_{\min} = r_0 \quad \text{za } t = n \frac{\pi}{0},$$

i

$$r_{\max} = \left[ \frac{2E}{m r_0^2} - r_0^2 \right]^{\frac{1}{2}} \quad \text{za } t = \left( n + \frac{1}{2} \right) \frac{\pi}{0}.$$

Da se dobije jednadžba putanje u Kartezijevim koordinatama prvo iz (1.91), (1.92) i (1.93) treba pokazati da je:

$$\frac{E}{m r_0^2} = \frac{1}{2} r_0^2 \left[ 1 + \frac{\dot{r}_0^2}{r_0^2} \right], \quad (1.96)$$

te iz jednadžbe putanje u polarnim koordinatama (1.95) dobiti:

$$r^2(t) = r_0^2 \left[ 1 + \frac{\dot{r}_0^2}{r_0^2} \tan^2 \theta_0 t \right] \cos^2 \theta_0 t. \quad (1.97)$$

Iz (1.91) i (1.95) diferencijalna jednadžba za azimutalni kut  $\phi$  je:

$$d\phi = \frac{l_0}{m} \frac{1}{\frac{E}{m r_0^2} - \left( \frac{E}{m r_0^2} - r_0^2 \right) \cos 2 \theta_0 t} dt,$$

-to zbog (1.96) daje:

$$d\phi = \frac{l_0}{2E} \frac{dx}{1 - \cos x},$$

gdje je:  $x = 1 - \frac{m r_0^2}{E}$  i  $x = 2 \theta_0 t$ .

Koristeći tablični integral:  $\int \frac{dx}{a + b \cos x} = \frac{2}{\sqrt{a^2 - b^2}} \operatorname{arctg} \left[ \sqrt{\frac{a-b}{a+b}} \operatorname{tg} \frac{x}{2} \right]$ , dobijamo:

$$\varphi(t) - \varphi_0 = \frac{\frac{0}{0} l_0}{E \sqrt{1 - \frac{r^2}{r_0^2}}} \operatorname{arctg} \left[ \sqrt{\frac{1 + \frac{r^2}{r_0^2}}{1 - \frac{r^2}{r_0^2}}} \operatorname{tg} \frac{x}{2} \right],$$

gdje je:

$$1+ = 2 - \frac{m \frac{0}{0} r_0^2}{E} ; \quad 1- = \frac{m \frac{0}{0} r_0^2}{E} ; \quad E \sqrt{1 - \frac{r^2}{r_0^2}} = \frac{0}{0} l_0 ,$$

te:

$$\operatorname{tg}[\varphi(t) - \varphi_0] = \frac{\cdot}{0} \operatorname{tg} \frac{0}{0} t . \quad (1.98)$$

Kako je:  $\sin^2 x = \frac{\operatorname{tg}^2 x}{1 + \operatorname{tg}^2 x}$  i  $\cos^2 x = \frac{1}{1 + \operatorname{tg}^2 x}$ , iz (1.97) i (1.98) slijedi:

$$\cos^2[\varphi(t) - \varphi_0] = \frac{1}{1 + \frac{\frac{0}{0} \operatorname{tg}^2}{\frac{0}{0} t}} = \frac{r_0^2 \cos^2 \frac{0}{0} t}{r^2(t)}$$

$$\sin^2[\varphi(t) - \varphi_0] = \frac{\frac{0}{0} \operatorname{tg}^2 \frac{0}{0} t}{1 + \frac{\frac{0}{0} \operatorname{tg}^2}{\frac{0}{0} t}} = \frac{\frac{0}{0} r_0^2 \sin^2 \frac{0}{0} t}{\frac{0}{0} r^2(t)},$$

to daje:

$$\frac{r^2(t)}{r_0^2} \cos^2[\varphi(t) - \varphi_0] = \cos^2 \frac{0}{0} t \quad (1.99)$$

$$\frac{r^2(t)}{r_0^2} \sin^2[\varphi(t) - \varphi_0] = \sin^2 \frac{0}{0} t . \quad (1.100)$$

Na kraju, zbog  $x = r \cos \varphi$  i  $y = r \sin \varphi$ , zadnje dvije relacije daju jednadžbu putanje izotropnog linearne harmoničkog oscilatora u Kartezijevim koordinatama:

$$\frac{x^2(t)}{r_0^2} + \frac{y^2(t)}{\frac{r_0^2 - r_0}{2}} = 1, \quad (1.101)$$

-to predstavlja jednadžbu elipse ija je velika poluos:

$$a = \frac{1}{2}(r_{\max} + r_{\min}) = \frac{r_0}{2} \left( 1 + \frac{\dot{r}_0}{r_0} \right),$$

a ekscentritet:

$$e = \frac{r_{\max} - r_{\min}}{r_{\max} + r_{\min}} = \frac{\dot{r}_0 - r_0}{\dot{r}_0 + r_0}.$$

Fundamentalni značaj linearne harmonike oscilatora za sva grane fizike posljedica je teorema koji tvrdi da je gibanje bilo kojeg fizikalnog sustava u okolini položaja stabilne ravnoteže ekvivalentno gibanju ansambla neovisnih linearnih harmonika oscilatora. Teorememo razmatrati u Poglavlju 6. o malim oscilacijama.

## 2. Lagrangeov formalizam

Newtonova formulacija mehanike zahtijeva poznavanje svih sila koje djeluju na fizički sustav. Za sustave ija dinamika je ograničena vezama (constraints) to što nije lako. Tipičan primjer je gibanje po nekoj podlozi čije znamo da na esticu (tijelo) mora djelovati sila reakcije (otpor podloge) koja osigurava da estica ostaje u kontaktu s podlogom, ali ne znamo napisati izraz za tu silu kao funkciju položaja i brzine estica. U drugoj polovici XVII stoljeća u radovima d'Alemberta i Lagrangea nastala je nova, općenitija formulacija mehanike specijalno prilagođena rješavanju problema gibanja sustava s vezama. Temelj te nove formulacije su Lagrangeove jednadžbe gibanja koje se formulisaju u prikladno odabranom prostoru (konfiguracijski prostor) iji bazis je generalizirane koordinate fizičkog sustava. Lagrangeov formalizam omogućuje razvoj i drugih formulacija mehanike (Hamiltonov formalizam), znatno je olakšao apstraktну analizu problema gibanja fizičkih sustava i uveo u teorijsku fiziku novi standard analitičke formuliranja teorija koji vafli i u modernoj fizici.

### 2.1 Veze, sile reakcije, d'Alembertov princip, Lagrangeove jednadžbe

Razmatramo fizički sustav od  $N$  estica masa  $m_i$  i radijusa vektora  $\vec{r}_i$ , ( $i = 1, 2, \dots, N$ ) ije gibanje je ograničeno vezama.

Veza (constraint) je bilo kakvo a priorno ograničeno položaj i/ili brzina estica.

Pojednostavljeni rečenice o gibanju estice ograničene jednom vezom, tada postoji bar jedna točka u prostoru i/ili bar jedna vrijednost brzine koju estica nikako ne može dostići tijekom gibanja. To znači da za svaku vezu na esticu mora djelovati neka sila, nazivamo je silom reakcije  $\vec{R}$ , koja osigurava da estica tijekom gibanja ne naruši vezu.

U Newtonovoj formulaciji mehanike sile reakcije su problem, jer znamo kakav efekt te sile imaju na gibanje estica, ali ne znamo (prije nego rješimo problem) kako sile reakcije izraziti kao funkciju položaja i brzine estica. Za sustave ije je gibanje ograničeno vezama Newtonova jednadžba gibanja za i-tu esticu je:

$$m_i \ddot{\vec{r}}_i = \vec{F}_i + \vec{R}_i, \quad (2.1)$$

gdje je ukupna aktivna sila na i-tu esticu rastavljena na poznati  $\vec{F}_i = \vec{F}_i(\vec{r}, \dot{\vec{r}}, t)$  i nepoznati lančani ukupnu silu reakcije na i-tu esticu  $\vec{R}_i$ . Da bi rješili problem, prvo moramo iz poznavanja veza, tj. na ina kako se sustav giba, odrediti sve sile reakcije  $\vec{R}_i$  i tek onda moflemo rješavati Newtonove jednadžbe gibanja. Lagrange je za neke tipove veza uspio reformulirati problem tako da se nepoznate sile reakcije  $\vec{R}_i$  uopće ne pojavljuju u jednadžbama gibanja i stoga ih ne moramo ni određivati.

Precizno, Lagrange je našao rješenje problema gibanja sustava s holonomnim vezama (plus eventualno i homogenim linearnim diferencijalnim vezama), što upravo i jesu fizički najvažniji slučajevi. U najopćem slučaju gibanja sustava s proizvoljnim vezama, problem je toliko komplikiran da ne postoji općenito rješenje odvojeno se mora razmatrati svaki pojedini problem.

**Definicija: Holonomne veze i broj stupnjeva slobode gibanja n**

Holonomnom vezom se naziva bilo koje ograni enje koje se mogu prikazati jednadžbom koja uklju uje poloflaje estica i vrijeme, ali ne i brzine estica. Ako je gibanje sustava N estica ograni eno sa k holonomih veza, zna i da postoji k jednadžbi oblika:

$$f_l(\vec{r}_1, \vec{r}_2, \dots, \vec{r}_N, t) = 0, \quad l = 1, 2, \dots, k. \quad (2.2)$$

Poloflaj sustava N estica odre en je s  $3N$  koordinata, ali kako me u njima postoji k jednadžbi veza (2.2), samo  $3N - k$  komponenti radijus vektora estica su linearne nezavisne.

Broj nezavisnih komponenti radijus vektora poloflaja estica sustava n naziva se broj stupnjeva slobode gibanja sustava, tj.

$$n = 3N - k. \quad (2.3)$$

Sve veze koje ograni avaju, pored poloflaja, i brzine estica ili se ne mogu izraziti algebarskim jednadžbama (nego nejednadžbama, diferencijalnim ili integralnim jednadžbama, na primjer) su neholonomne.

Veze koje eksplicitno zavise od vremena nazivaju se reonomne. Stacionarne ili skleronomne veze ne zavise eksplicitno od vremena.

Gibanje po podlozi je primjer holonomne veze.

Primjer 1. Gibanje estice po sferi radijusa R.

Ako za ishodi-te Kartezijevog koordinatnog sustava odaberemo centar sfere, tada koordinate estice moraju zadovoljavati:

$$x^2 + y^2 + z^2 \leq R^2 = 0,$$

-to je stacionarna holonomna veza. Od 3 Kartezijeve koordinate estice samo dvije su linearne nezavisne i moemo odabrati bilo koje dvije. Odaberemo li kao nezavisne  $(x, y)$ , jednadžbu veze moemo napisati kao:

$$z = R^2 - \sqrt{x^2 + y^2}.$$

Bez obzira koje dvije Kartezijeve koordinate odaberemo za nezavisne, sve tri se eksplicitno pojavljuju u jednadžbi veze, tj. jednadžba veze ograni ava variranje svake Kartezijeve koordinate estice tijekom njenog gibanja po sferi, tj.  $|x| \leq R$ ,  $|y| \leq R$ ,  $|z| \leq R$ . Budu i da veza utje e na mogu e vrijednosti svake od tri Kartezijeve koordinate one o igledno nisu najbolji izbor za opis gibanja ovakve estice.

Ali, ako umjesto Kartezijevog  $(x, y, z)$ , za koordinate estice koristimo sferni koordinatni sustav  $(r, \theta, \phi)$  jednadžba veze je jednostavno:

$$\mathbf{r} \circ \mathbf{R} = 0.$$

Jednadžba veze fiksira vrijednost sferne koordinate  $r = R$ , dok uopće ne utječe na mogućnost vrijednosti dviju nezavisnih sfernih koordinata estice  $\theta$  i  $\varphi$ . Sferne koordinate su bolji izbor za opis gibanja ove estice.

Primjer 2. Gibanje dviju estica spojenih krutim -tapom po horizontalnoj podlozi.

Odaberemo li horizontalnu podlogu za xy-ravninu koordinatnog sustava, za koordinate estica  $\vec{r}_i = x_i \hat{i} + y_i \hat{j} + z_i \hat{k}$ , ( $i = 1, 2$ ) važe 3 stacionarne holonomne veze:

$$z_1 = 0; \quad z_2 = 0; \quad (x_1 - x_2)^2 + (y_1 - y_2)^2 - d^2 = 0,$$

gdje je  $d$  duljina -tapa. Sustav očigledno ima  $n = 2 \times 3 - 3 = 3$  stupnja slobode gibanja.

Svih 6 Kartezijevih koordinata estica eksplicitno se pojavljuju u jednadžbama veza. Međutim, od tih 6 koordinata važe 3 relacije očito samo tri od 4 Kartezijevih koordinate ( $x_1, x_2, y_1, y_2$ ) su nezavisne. Odaberemo li recimo  $(x_1, x_2, y_2)$  kao nezavisne, onda jednadžbe veza možemo napisati u obliku:

$$z_1 = 0; \quad z_2 = 0; \quad y_1 = y_2 + \sqrt{d^2 - (x_1 - x_2)^2}.$$

No, opet imamo isti problem. Kako god napisali jednadžbe veza u Kartezijevim koordinatama i koje god 3 odabrali kao nezavisne, svih 6 koordinata dviju estica eksplicitno se pojavljuju u jednadžbama veza, što znači da veze utječu na variranje tih koordinata tijekom gibanja sustava.

Odaberemo li cilindrični koordinatni sustav  $(\rho, \varphi, z)$  za koordinate estica  $\vec{r}_i = r_i \hat{e}_i + z_i \hat{k}$ , ( $i = 1, 2$ ) i opet horizontalnu podlogu za xy-ravninu, jednadžbe veza su:

$$z_1 = 0; \quad z_2 = 0; \quad r_1^2 + r_2^2 - 2r_1 r_2 \cos(\varphi_1 - \varphi_2) - d^2 = 0.$$

Samo 3 od cilindričnih koordinata dviju estica  $(\rho_1, \rho_2, \varphi_1, \varphi_2)$  su nezavisne dok je četvrta određena zadnjom od gornjih relacija, ali i dalje se svih 6 cilindričnih koordinata dviju estica eksplicitno pojavljuju u jednadžbama veza.

Ipak, i u ovom primjeru postoji (i to ne samo jedan) skup od 6 koordinata takav da se u jednadžbama veza eksplicitno pojavljuju samo 3 od njih, dok preostale 3 potpuno slobodno variraju tijekom gibanja sustava.

Prvo, umjesto radijusa vektora estica  $\{\vec{r}_1, \vec{r}_2\}$  definirajmo nove varijable:  $\{\vec{r}_C, \vec{r}\}$  – radijus vektor centra mase  $\vec{r}_C$  i vektor relativnog poloflaja  $\vec{r}$  relacijama:

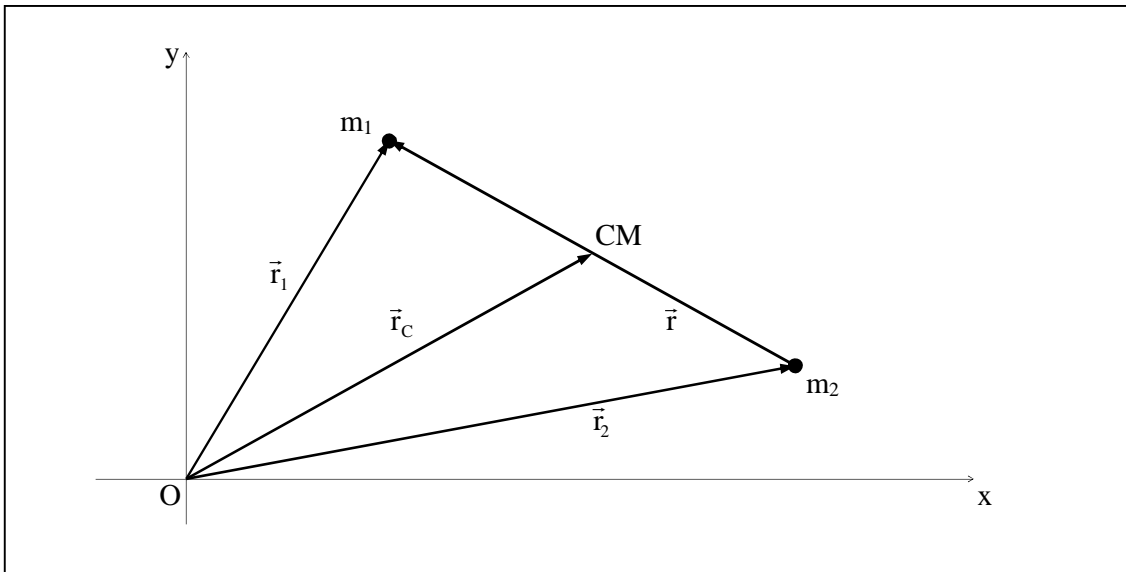
$$\vec{r}_C = \frac{m_1 \vec{r}_1 + m_2 \vec{r}_2}{m_1 + m_2}; \quad \vec{r} = \vec{r}_1 - \vec{r}_2. \quad (2.4)$$

Veza koja fiksira duljinu -tapa u novim varijablama sad je jednostavno:  $r = |\vec{r}_1 - \vec{r}_2| = d$ .

Jednostavnosti radi, bez gubitka op enitosti, uzimimo da su mase estica jednake, tako da je:

$$\vec{r}_1 = \vec{r}_C + \frac{1}{2}\vec{r} ; \quad \vec{r}_2 = \vec{r}_C - \frac{1}{2}\vec{r} .$$

kao na Slici 5. Zbog gornjih relacija, jasno je da su poloflaji obe estice jednozna no odre eni ako znamo  $\{\vec{r}_C, \vec{r}\}$ .



Slika 5.

Odaberimo sad za varijable  $\{\vec{r}_C, \vec{r}\}$  cilindri ne koordinate  $(\rho_C, \varphi_C, z_C)$  i  $(\rho, \varphi, z)$  tako da je:  
 $\vec{r}_C = \rho_C \hat{e}_c + z_C \hat{k}$  i  $\vec{r} = \rho \hat{e} + z \hat{k}$ . Jednadflbe tri holonomne veza u ovim koordinatama su:

$$z_C = 0; \quad z = 0; \quad \rho - d = 0,$$

tako da se 3 nezavisne koordinate sustava  $(\rho_C, \varphi_C, \varphi)$  uop e ne pojavljuju u jednadflbama veza. Jasno je da smo za 3 nezavisne koordinate mogli odabrat i  $(x_C, y_C, \varphi)$ , jer je poloflaj sustava u xy-ravnini jednozna no odre en poloflajem centra mase (centra -tapa) i kutom  $\varphi$  -tapa u odnosu na x-os.

Za svaki sustav N estica na koji djeluje k holonomih veza uvijek je mogu e prona i takav skup  $3N$  ó k nezavisnih koordinata koje (uz poznavanje jednadflbi veza) jednozna no odre uju poloflaj sustava, tj. poloflaj svih estica sustava, a ne pojavljuju se eksplicitno u jednadflbama veza, -to zna i da te koordinate potpuno slobodno variraju tijekom gibanja sustava. Takav skup  $n = 3N$  ó k veli ina nazivamo **generaliziranim koordinatama** fizikalnog sustava.

### Definicija: Generalizirane koordinate $q_j$

Generalizirane koordinate sustava  $N$  estica ije je gibanje ograni eno sa k holonomnih veza (2.2), je bilo koji skup od  $n = 3N$  o k linearne nezavisne velicina  $q_j$ , ( $j = 1, 2, \dots, n$ ), definiranih preko radijusa vektora estica sustava:

$$q_j = q_j(\vec{r}_1, \vec{r}_2, \dots, \vec{r}_N, t), \quad (2.5)$$

koje jednozna no odre uju bilo koji mogu i poloflaj sustava i ije variranje nikako nije ograni eno jednadfbama veza (2.2).

Zna i, poznavanje generaliziranih koordinata  $(q_1, q_2, \dots, q_n)$ , uz poznavanje jednadfbne veza (2.2), ekvivalentno je poznavanju poloflaja  $\vec{r}_i$ , ( $i = 1, 2, \dots, N$ ) svih estica sustava,

$$\vec{r}_i = \vec{r}_i(q_1, q_2, \dots, q_n, t). \quad (2.6)$$

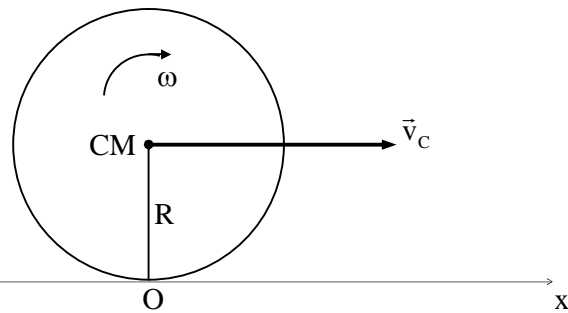
**Napomena:** Generalizirane koordinate  $q_j$  su realne funkcije vremena  $q_j(t)$  i ne moraju biti koordinate neke od estica sustava – npr. koordinate centra mase u Primjeru 2., niti moraju biti koordinate nekog op eg koordinatnog sustava (iako naj e– e jesu) o npr. pre eni put estice, niti moraju imati dimenzije duljine o npr. kut. Prednost generaliziranih koordinata je to omogu avaju rjeavanje problema dinamike u prostoru ija geometrija je prilago ena fizikalnom sustavu ije gibanje razmatramo. Taj n-dimenzionalni prostor ije osi su generalizirane koordinate  $q_j$  naziva se konfiguracijski prostor fizikalnog sustava. Zahtjev da veze ne ograni avaju varijaciju generaliziranih koordinata osigurava da svaka to ka konfiguracijskog prostora odgovara jednom i samo jednom mogu em poloflaju (koji je u skladu s vezama) fizikalnog sustava. No, skup generaliziranih koordinata za neki fizikalni sustav nije jednozna no odre en o za svaki fizikalni sustav postoji ustvari beskona no mnogo razli itih skupova generaliziranih koordinata. Pametan odabir generaliziranih koordinata daje jednostavnije jednadfbbe i omogu uje lak-e rjeavanje problema gibanja fizikalnog sustava.

Sve veze nisu holonomne. Najvaflniji slu aj neholonomih veza u klasi noj mehanici je «kotrljanje bez klizanja».

### Primjer 3. Kotrljanje diska radijusa $R$ bez klizanja po horizontalnoj podlozi.

Zamislimo disk koji se giba po horizontalnoj podlozi, na primjer, kota automobila.

Uvjet kotrljanja bez klizanja je ustvari veza koja ograni ava brzinu kota a o to ka kota a O u kontaktu s miruju om podlogom ne smije klizati, tj. mora imati trenutnu brzinu nula, kao na Slici 6.



Slika 6.

Disk rotira oko trenutne horizontalne osi kroz to ku O kutnom brzinom  $\omega = \dot{\varphi} = \frac{d\varphi}{dt}$ , pa je brzina centra mase  $v_c = \dot{x}_c = \frac{dx_c}{dt} = R \frac{d\varphi}{dt}$ , gdje je  $\varphi$  kut rotacije diska. Ovo je diferencijalna jednadžba neholonomne veze, koja se mnogde i sa  $dt$  mogu prikazati kao homogena linearna relacija među diferencijalima koordinata centra mase  $x_c$  i kuta rotacije  $\varphi$  diska, tj.

$$dx_c - Rd\varphi = 0.$$

Ovakve «kotrljanje bez klizanja» veze pripadaju klasi jednostavnih neholonomnih veza, tzv. homogenim linearnim diferencijalnim vezama, koje se mogu inkorporirati u Lagrangeov formalizam metodom mnoštva vez (Lagrange multipliers).

#### Definicija: Homogene linearne diferencijalne veze

Ako je gibanje sustava od  $N$  estica ograničeno sa  $k$  holonomih veza (2.2) i još  $r$  homogenih linearnih diferencijalnih veza, sve generalizirane koordinate  $q_j$  nisu više nezavisne jer među njima postoji  $r$  neintegrabilnih diferencijalnih relacija:

$$\sum_{j=1}^n a_{sj} dq_j + a_{st} dt = 0, \quad s = 1, 2, \dots, r. \quad (2.7)$$

Mehaničko stanje sustava u jednom trenutku određeno je poloflajem i brzinom svih estica fizikalnog sustava  $\{\vec{r}_i(t), \dot{\vec{r}}_i(t)\}$  u Newtonovoj formulaciji mehanike. Ali, u analitičkoj, tj. Lagrangeovoj formulaciji klasi ne mehanike stanje fizikalnog sustava u nekom trenutku vremena t potpuno je određeno vrijednostima generaliziranih koordinata i generaliziranih brzina  $\{q_j(t), \dot{q}_j(t)\}$ .

Prema (2.6), brzine estica su:

$$\dot{\vec{r}}_i = \sum_{j=1}^n \frac{\partial \vec{r}_i}{\partial q_j} \dot{q}_j + \frac{\partial \vec{r}_i}{\partial t}, \quad (2.8)$$

odakle slijedi:

$$\frac{\partial \vec{r}_i}{\partial q_j} = \frac{\partial \dot{\vec{r}}_i}{\partial \dot{q}_j}. \quad (2.9)$$

Ako nema trenja (sisteme u kojima postoje sile trenja razmatratemo kasnije), sile otpora podloge su okomite na podlogu. Takve sile reakcije nazivamo idealnim silama reakcije. Ukupna idealna sila reakcije  $\vec{R}_i$  na i-tu esticu, koja osigurava valjanost svih holonomnih veza  $f_l$  (2.2) tijekom gibanja sistema, je zbroj komponenti duž pravaca  $\nabla_i f_l$ ,

$$\vec{R}_i = \sum_{l=1}^k \nabla_i f_l, \quad l = 1, 2, \dots, k, \quad (2.10)$$

gdje  $\nabla_i$  označava gradijent po komponentama vektora  $\vec{r}_i$ . Rad takvih idealnih sila reakcije na svakom mogućem infinitezimalnom pomaku sistema  $\sum_{i=1}^N \vec{R}_i d\vec{r}_i$  je nula, jer su idealne sile reakcije okomite na moguće pomake estica sistema. Razliku dva moguće pomaka i-te estice sistema u istom vremenskom intervalu nazivamo virtualnim pomakom  $\delta\vec{r}_i$ , tj.:

$$\vec{r}_i = d' \vec{r}_i - d \vec{r}_i,$$

to znači da je rad idealnih sila reakcije na bilo kojem virtualnom pomaku sistema nula:

$$\sum_{i=1}^N \vec{R}_i \cdot \vec{r}_i = 0. \quad (2.11)$$

Tvrđnja (2.11) je osnova d'Alembertova (ili d'Alembert-Lagrangeova) principa koji je polazni postulat iz kojega se izvode Lagrangeove jednadžbe.

### d'Alembertov princip:

Sustav N estica na koji djeluje k idealnih holonomih veza (2.2) giba se tako da vrijedi:

$$\sum_{i=1}^N (m_i \ddot{\vec{r}}_i - \vec{F}_i) \cdot \vec{r}_i = 0. \quad (2.12)$$

Prepostavimo li vrijede Newtonovi zakoni, onda iz (2.1) i (2.11) direktno slijedi gornji izraz, što je dokaz da iz Newtonove formulacije slijedi Lagrangeova.

d'Alembertov princip je pogodna polazna osnova za razmatranje gibanja sustava s vezama jer je ekvivalentan Newtonovim zakonima, a ne sadrži eksplicitno sile reakcija. Sve jednadžbe koje izvedemo iz (2.12) ne će zahtijevati poznavanje sila reakcije! Lagrangeove jednadžbe gibanja slijede iz d'Alembertova principa ako svaki član u (2.12) prepišemo pomoću novih nezavisnih varijabli od generaliziranih koordinata  $q_j$  sustava.

Generalizirana sila  $Q_j$  pridružena generaliziranoj koordinati  $q_j$  po definiciji je:

$$Q_j = \sum_{i=1}^N \vec{F}_i \cdot \frac{\partial \vec{r}_i}{\partial q_j}. \quad (2.13)$$

Za konzervativni sustav je  $\vec{F}_i = -\nabla_i U(\vec{r}_1, \vec{r}_2, \dots, \vec{r}_N)$ , pa su konzervativne generalizirane sile:

$$Q_j = -\frac{\partial U}{\partial q_j}, \quad (2.14)$$

gdje je potencijalna energija sustava  $U = U(q_1, q_2, \dots, q_n)$ . Veličine  $Q_j$  nazivamo generalizirane sile jer imaju dimenzije sile samo ako odgovaraju generaliziranoj koordinati  $q_j$  koja ima dimenzije duljine, ali produkt  $Q_j \delta q_j$  uvijek ima dimenzije rada. Zbog (2.14) prelazak na generalizirane koordinate  $q_j$  očuvava podjelu fizikalnih sustava na konzervativne-nekonzervativne.

Općenitiji slučaj su potencijalne sile  $Q_j^P$  koje se po definiciji dobijaju deriviranjem iz generalizirane potencijalne energije  $\tilde{U}$  koja zavisi i od generaliziranih koordinata  $q_j$  i od generaliziranih brzina  $\dot{q}_j$  prema:

$$Q_j^P = \frac{d}{dt} \left( \frac{\partial \tilde{U}}{\partial \dot{q}_j} \right) - \frac{\partial \tilde{U}}{\partial q_j}. \quad (2.15)$$

Svaka generalizirana sila  $Q_j$  uvijek se može rastaviti na zbroj jedne potencijalne  $Q_j^P$  i jedne nepotencijalne  $Q_j^*$  komponente:

$$Q_j = Q_j^P + Q_j^*. \quad (2.16)$$

Virtualni pomak i-te estice izražen preko generaliziranih koordinata je:

$$\delta \vec{r}_i = \sum_{j=1}^n \frac{\partial \vec{r}_i}{\partial q_j} \delta q_j, \quad (2.17)$$

gdje se  $\delta q_j = d'q_j$  ili  $dq_j$  naziva varijacija generalizirane koordinate  $q_j$ .

Koristeći (2.13), (2.17) i (2.9), te

$$\frac{d}{dt} \left( \vec{r}_i \cdot \frac{\partial \vec{r}_i}{\partial q_j} \right) = \frac{1}{2} \frac{d}{dt} \frac{\partial \dot{\vec{r}}_i^2}{\partial \dot{q}_j} \quad i \quad \frac{d}{dt} \frac{\partial \vec{r}_i}{\partial q_j} = \frac{\partial \dot{\vec{r}}_i}{\partial q_j},$$

iz d'Alembertovog principa odmah dobijamo:

$$\sum_{j=1}^n q_j \left( \frac{d}{dt} \frac{\partial T}{\partial \dot{q}_j} - \frac{\partial T}{\partial q_j} - Q_j \right) = 0, \quad (2.18)$$

-to, zbog (2.14) i zbog linearne nezavisnosti varijacija generaliziranih koordinata, za fizikalno najvaflniji sluaj konzervativnih sustava daje:

### Lagrangeove jednadžbe za konzervativne sustave

Jednadžbe gibanja konzervativnog fizikalnog sustava sa n stupnjeva slobode na koji djeluje k idealnih holonomih veza (2.2), opisanog Lagrangianom L:

$$L = L(q_1, q_2, \dots, q_n, \dot{q}_1, \dot{q}_2, \dots, \dot{q}_n) = T - U, \quad (2.19)$$

Gdje je T kinetička, a U potencijalna energija sustava su:

$$\frac{d}{dt} \left( \frac{\partial L}{\partial \dot{q}_j} \right) - \frac{\partial L}{\partial q_j} = 0, \quad j = 1, 2, \dots, n. \quad (2.20)$$

Lagrangeove jednadžbe (2.20) ine sustav n običnih diferencijalnih jednadžbi II reda ijm rjeavanjem, uz 2n početnih uvjeta  $q_{j_0}$  i  $\dot{q}_{j_0}$ , dobijamo poloflaj sustava u svakom trenutku  $q_j(t)$ . Kad traflimo parcijalne derivacije Lagrangiana u (2.20) generalizirane koordinate  $q_j$  i generalizirane brzine  $\dot{q}_j$  smatramo nezavisnim varijablama.

Općenitije, ako generalizirane sile imaju potencijalne i nepotencijalne komponente, prema (2.15) i (2.16), je:

### Lagrangeove jednadžbe

Fizikalni sustav sa n stupnjeva slobode opisan Lagrangianom

$$L = T - \tilde{U} = L(q_1, q_2, \dots, q_n, \dot{q}_1, \dot{q}_2, \dots, \dot{q}_n, t), \quad (2.21)$$

gdje je T kinetička, a  $\tilde{U}$  generalizirana potencijalna energija sustava, na koji djeluje k idealnih holonomih veza (2.2), giba se tako da važe Lagrangeove jednadžbe:

$$\frac{d}{dt} \left( \frac{\partial L}{\partial \dot{q}_j} \right) - \frac{\partial L}{\partial q_j} = Q_j^*, \quad j = 1, 2, \dots, n. \quad (2.22)$$

Ako je sustav potencijalan na desnoj strani je  $Q_j^* = 0$ .

#### Primjer 4. Lorentzova sila

Lorentzova sila na esticu naboja e u elektri nom  $\vec{E}(\vec{r}, t)$  i magnetskom  $\vec{B}(\vec{r}, t)$  polju:

$$\vec{F} = e \vec{E} + e \vec{v} \times \vec{B}, \quad (2.23)$$

je potencijalna sila koja zavisi od brzine estice  $\vec{v} = \dot{\vec{r}}$  i može se dobiti deriviranjem iz generaliziranog potencijala:

$$\tilde{U}(\vec{r}, \dot{\vec{r}}, t) = e \Phi(\vec{r}, t) - e \dot{\vec{r}} \cdot \vec{A}(\vec{r}, t), \quad (2.24)$$

gdje su skalarni  $i \Phi(\vec{r}, t)$  vektorski  $\vec{A}(\vec{r}, t)$  potencijali definirani relacijama:

$$\vec{E} = -\nabla - \frac{\partial \vec{A}}{\partial t}, \quad \vec{B} = \nabla \times \vec{A}. \quad (2.25)$$

Odaberimo za generalizirane koordinate  $q_j = r_j$ , ( $j = 1, 2, 3$ ) Kartezijeve koordinate nabijene estice. Koriste i za totalnu derivaciju po vremenu  $\frac{d}{dt} = \frac{\partial}{\partial t} + \vec{v} \cdot \nabla$ , formule (2.15), (2.24) i (2.25) za komponente potencijalne generalizirane sile  $Q_j^P = \frac{d}{dt} \left( \frac{\partial U}{\partial r_j} \right) - \frac{\partial U}{\partial q_j}$  daju:

$$\begin{aligned} Q_j^P &= d_t \left( -e A_j \right) - e \partial_j + e \sum_{m=1}^3 \dot{r}_m \partial_j A_m = -e \partial_j - e \partial_t A_j - e \sum_{m=1}^3 \dot{r}_m \partial_m A_j + e \sum_{m=1}^3 \dot{r}_m \partial_j A_m = \\ &= e \left( -\partial_j \Phi - \partial_t A_j \right) + e \sum_{m=1}^3 \dot{r}_m \left( \partial_j A_m - \partial_m A_j \right) = e E_j + e \sum_{m=1}^3 \dot{r}_m \sum_{n=1}^3 \partial_{mn} B_n = e E_j + e \sum_{m,n=1}^3 \dot{r}_m B_n = \\ &= e E_j + e \left( \dot{\vec{r}} \times \vec{B} \right)_j = F_j \text{ u skladu sa (2.23).} \end{aligned}$$

U gornjim relacijama koriste se skraćenice:

$$d_t \equiv \frac{d}{dt}; \quad \partial_t \equiv \frac{\partial}{\partial t}; \quad \partial_m \equiv \frac{\partial}{\partial r_m}.$$

Prema tome, za fizikalno važan sustav estice mase m i naboja e u spoljašnjem elektromagnetskom polju Lagrangian je:

$$L = L(\vec{r}, \dot{\vec{r}}, t) = T - \tilde{U} = \frac{1}{2} m \dot{\vec{r}}^2 - e \Phi(\vec{r}, t) + e \dot{\vec{r}} \cdot \vec{A}(\vec{r}, t), \quad (2.26)$$

gdje eksplisitna zavisnost Lagrangiana od vremena znači da sustav nije izoliran (ne uključuje naboje koji su izvori elektromagnetskih potencijala  $\Phi$  i  $A$ ).

U najop enitijem slu aju, ako je gibanje sustava N estica ograni eno sa k holonomnih (2.2) i r neholonomih veza (2.7), jednadflbe gibanja sustava su:

$$\frac{d}{dt} \left( \frac{\partial L}{\partial \dot{q}_j} \right) - \frac{\partial L}{\partial q_j} - \sum_{s=1}^r \lambda_s a_{sj} = Q_j^*, \quad j = 1, 2, \dots, n = 3N - k,$$

$$\sum_{j=1}^n a_{sj} \dot{q}_j + a_{st} = 0, \quad s = 1, 2, \dots, r,$$
(2.27)

gdje je  $L = T - \tilde{U} = L(q_1, q_2, \dots, q_n, \dot{q}_1, \dot{q}_2, \dots, \dot{q}_n, t)$  Lagrangian sustava, a  $\lambda_s$  su mnofitelji veza.

Jednadflbe (2.27) tvore sustav od  $n + r$  obi nih diferencijalnih jednadflbi II reda za  $n$  generaliziranih koordinata  $q_j(t)$  i r nepoznatih mnofitelja veza  $\lambda_s(q_1, q_2, \dots, q_n, \dot{q}_1, \dot{q}_2, \dots, \dot{q}_n, t)$ .

Gornje jednadflbe slijede iz poop enja izraza (2.18) za slu aj kad postoji i r neholomnih veza (2.7):

$$\sum_{j=1}^n q_j \left( \frac{d}{dt} \frac{\partial T}{\partial \dot{q}_j} - \frac{\partial T}{\partial q_j} - Q_j - \sum_{s=1}^r \lambda_s a_{sj} \right) = 0,$$
(2.28)

gdje je funkcija Lagrangeovih multiplikatora  $\lambda_s$  da osiguraju da koeficijenti uz r zavisnih varijacija generaliziranih koordinata  $\delta q_j$  budu nula.

### Primjer 5. Lagrangeovi multiplikatori

Umjesto op eg dokaza, metod multiplikatora veza ilistrirajmo na jednostavnom primjeru. Neka imamo diferencijalnu jednadflbu:

$$P(x, y, z) dx + Q(x, y, z) dy + R(x, y, z) dz = 0.$$
(2.29)

Ako su  $x, y$  i  $z$  linearne nezavisne varijable jedino rje-enje je:

$$P = 0 \quad Q = 0 \quad R = 0.$$

Ali, ako me u 3 varijable  $x, y, z$  postoji jedna diferencijalna veza oblika:

$$A(x, y, z) dx + B(x, y, z) dy + C(x, y, z) dz = 0.$$
(2.30)

samo su dvije varijable, recimo  $x$  i  $y$ , linearne nezavisne. Za diferencijal  $dz$  iz jednadflbe veze slijedi:

$$dz = -\frac{A}{C} dx - \frac{B}{C} dy,$$

-to zamjenom u polaznu jednadflbu daje  $\left( P - \frac{RA}{C} \right) dx + \left( Q - \frac{RB}{C} \right) dy = 0$ ,

sa rje–enjem:

$$P - \frac{RA}{C} = 0, \quad Q - \frac{RB}{C} = 0.$$

Ako problem feliemo rje–iti metodom mnofitelja veza, svaka vezu se prvo pomnoji s neodre enim Lagrangeovim multiplikatorom  $\lambda$ :

$$\lambda A + \lambda B + \lambda C = 0$$

i potom pridoda po etnoj jednadflbi, –to daje:

$$(P + A)dx + (Q + B)dy + (R + C)dz = 0. \quad (2.31)$$

Lagrangeov multiplikator se odredi iz uvjeta da je koeficijent uz diferencijal zavisne varijable nula:

$$= -\frac{R}{C},$$

–to gornju jednadflbu prevodi u jednadflbu u kojoj se pojavljuju samo diferencijali nezavisnih varijabli:

$$(P + A)dx + (Q + B)dy = 0,$$

sa rje–enjem:

$$P + \lambda A = 0 \quad Q + \lambda B = 0.$$

Uvr–tavanjem vrijednosti Lagrangeovog multiplikatora u ovo rje–enje opet naravno dobijamo:

$$P - \frac{RA}{C} = 0 \quad Q - \frac{RB}{C} = 0.$$

Uvo enjem mnofitelja veza promjenili smo originalnu jednadflbu (2.29) u jednadflbu koja sadrfl dodatne lanove (2.31) u kojoj su koeficijenti uz diferencijale svih varijabli, i nezavisnih i zavisnih, nula. Uvjeti i–ezavanja koeficijanata uz diferencijale zavisnih varijabli upravo odre uju vrijednosti Lagrangeovih multiplikatora.

Kao i u slu aju holonomnih veza, da bi se sustav gibao u skladu sa r neholonimih veza tipa (2.7) moraju djelovati neke sile reakcije  $\vec{R}_i'$ . Ako zamislimo da su to aktivne sile koje djeluju na na in da gibanje sustava ostane nepromjenjeno, sve neholonomne veze bile bi eliminirane i umjesto (2.28) dobili bi:

$$\sum_{j=1}^n q_j \left( \frac{d}{dt} \frac{\partial T}{\partial \dot{q}_j} - \frac{\partial T}{\partial q_j} - Q_j - Q_j' \right) = 0, \quad (2.32)$$

gdje su  $Q_j$  dodatne generalizirane sile koje osiguravaju vaflenje neholonomih veza. Pored i (2.28) i (2.32) vidimo da Lagrangeovi multiplikatori odre uju generalizirane sile ije djelovanje osigurava vaflenje neholonomih veza (2.7), tj.

$$Q_j = \sum_{s=1}^r a_{sj}. \quad (2.33)$$

Primjer 6. Ekvivalentnost Lagrangeove i Newtonove formulacije mehanike.

Ve smo vidjeli da iz II Newtonovog zakona u slu aju idealnih holonomih veza slijedi d'Alembertov princip, pa onda i Lagrangeove jednadflbe koje smo iz njega izveli. Ako nema veza, pa prema tome ni sila reakcije, iz Lagrangeovih jednadflbi za sustav N estica slijede Newtonove jednadflbe. Odaberemo li Kartezijeve koordinate estica za generalizirane koordinate, Lagrangian je:

$$L = T - U = \sum_{i=1}^N \frac{m_i}{2} \dot{\vec{r}_i}^2 - U(\vec{r}_1, \vec{r}_2, \dots, \vec{r}_N, t), \quad (2.34)$$

pa je u vektorskoj notaciji:

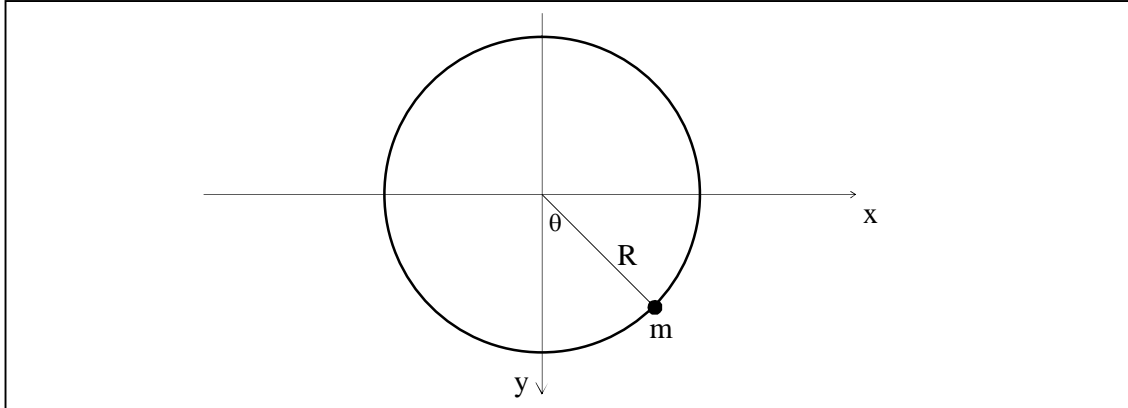
$$\nabla_{\vec{r}_i} L = -\nabla_{\vec{r}_i} U = \vec{F}_i, \quad \frac{d}{dt} \nabla_{\vec{r}_i} L = m_i \ddot{\vec{r}}_i,$$

i Lagrangeove jednadflbe zaista daju:

$$\frac{d}{dt} \nabla_{\vec{r}_i} L = \nabla_{\vec{r}_i} L \quad \Leftrightarrow \quad m_i \ddot{\vec{r}}_i = \vec{F}_i.$$

Primjer 7. Matemati ko njihalo

Kao primjer konzervativnog sustava sa idealnim holonomim vezama razmotrimo matemati ko njihalo ó esticu koja se giba po krufnici u vertikalnoj ravnini Slika 7. Na esticu djeluje teflina ó gravitacijska sila Zemlje i neka sila reakcije koja prisiljava esticu da ostane na vertikalnoj krufnici radijusa R (napetost niti  $\vec{T}$ , na primjer).



Slika 7.

Gibanje estice ograničavaju dvije idealne holonomne veze što estica mora ostati u vertikalnoj  $z = 0$  ravnini i na krugovici radijusa  $R$ . Jednadžbe veza su:

$$z = 0 \quad x^2 + y^2 = R^2,$$

pa matematičko njihalo ima samo jedan stupanj slobode  $n = 1$ . Za generaliziranu koordinatu odaberimo otklon njihala od ravnotežnog položaja  $\theta$ . Gravitacijska sila na esticu je  $+mg\hat{j}$ , te je potencijalna energija  $U(y) = -mgy + C$ . Odaberimo konstantu  $C$  tako da  $U = 0$  u ravnotežnom položaju njihala, tj.  $U(y) = mgy - mgR$ . Estica ima samo  $\theta$ -komponentu brzine, pa su kinetička i potencijalna energija izražene preko generalizirane koordinate  $\theta$ :

$$T = \frac{1}{2}mR^2\dot{\theta}^2 \quad U(\theta) = mgR(\cos\theta - 1),$$

i Lagrangian njihala je:

$$L = L(\dot{x}, \dot{y}) = \frac{m}{2}R^2\dot{\theta}^2 - mgR(\cos\theta - 1). \quad (2.35)$$

Lagrangeova jednadžba (2.20) za matematičko njihalo je:

$$\ddot{\theta} + \frac{g}{R}\sin\theta = 0. \quad (2.36)$$

Mnogo je lako je integrirati (2.36) i dobiti:

$$\frac{1}{2}\dot{\theta}^2 = \frac{g}{R}(\cos\theta + C), \quad (2.37)$$

prvi integral jednadžbe gibanja (2.36), to je naravno zakon očuvanja energije njihala:

$$E = T + U = \frac{m}{2}R^2\dot{\theta}^2 + mgR(1 - \cos\theta) = \text{const.} \quad (2.38)$$

Izrazi (2.37) i (2.38) su identični ako za konstantu integracije odaberemo:  $C = \frac{E}{mgR} - 1$ .

Vrijednost konstante  $E$  (ili  $C$ ) određuje tip gibanja matematičkog njihala:

- $C > 1 \Leftrightarrow E > 2mgR \Rightarrow \dot{\theta}^2 > 0$  – konstantna rotacija,
- $C = 1 \Leftrightarrow E = 2mgR \Rightarrow \dot{\theta}^2 \geq 0$  i  $\dot{\theta} = 0$  samo za  $\theta = \pi$  – asimptotska rotacija,
- $-1 < C < 1 \Leftrightarrow 0 < E < 2mgR \Rightarrow \dot{\theta} = 0$  za  $\alpha = \pm \arccos C$  – titranje između  $-\alpha$  i  $+\alpha$ ,
- $C = -1 \Leftrightarrow E = 0 \Leftrightarrow \dot{\theta} = 0$  – mirovanje u stabilnom ravnotežnom položaju,
- $C < -1 \Leftrightarrow E < 0 \Leftrightarrow \dot{\theta}^2 < 0$  – nefizikalni slučaj.

Fizikalno interesantan slučaj je oscilatorno gibanje za  $0 < E < 2mgR$ .

U aproksimaciji malih osilacija je  $\theta \approx 0$ , tj.  $\sin\theta \approx \theta$  i jednadžba gibanja njihala postaje:

$$\ddot{\theta} + \frac{g}{R} = 0,$$

ista kao i za linearni harmonički oscilator (1.72), sa rješenjem:

$$\theta(t) = \alpha \cos(\omega t + \varphi),$$

gdje je kutna frekvencija:  $\omega = \sqrt{\frac{g}{R}}$ , a period malih oscilacija njihala:

$$T = 2 \sqrt{\frac{R}{g}}. \quad (2.39)$$

Amplituda  $\alpha$  i početna faza  $\varphi$  određuju se iz početnih uvjeta:

$$\dot{\theta}_0 = \alpha \cos \varphi \quad \text{i} \quad \ddot{\theta}_0 = -\omega \alpha \sin \varphi.$$

U opšem slučaju, odaberemo li za konstantu  $C = -\cos\alpha$ , gdje je  $\alpha$  amplituda njihala, prvi integral jednadžbe gibanja (2.37) može se napisati u obliku:

$$\frac{d}{dt} = 2\sqrt{\frac{g}{R}} \sqrt{\sin^2 \frac{\theta}{2} - \sin^2 \frac{\theta_0}{2}},$$

-to je diferencijalna jednadžba I reda koja dozvoljava separaciju varijabli:

$$\sqrt{\frac{g}{R}} dt = \frac{d\left(\frac{\theta}{2}\right)}{\sqrt{\sin^2 \frac{\theta}{2} - \sin^2 \frac{\theta_0}{2}}},$$

sa rješenjem:

$$\sqrt{\frac{g}{R}} t = \int_0^{\theta} \frac{d\left(\frac{\theta}{2}\right)}{\sqrt{k^2 - \sin^2 \frac{\theta}{2}}}, \quad k = \sin \frac{\theta_0}{2}, \quad (2.40)$$

gdje smo, bez gubitka opšitosti, odabrali da je  $t = 0$  kad je estica u ravnotežnom položaju. Smjenom varijabli:  $\sin \frac{\theta}{2} = ku$ ,  $\cos \frac{\theta}{2} d\left(\frac{\theta}{2}\right) = k du$ ,  $d\left(\frac{\theta}{2}\right) = \frac{k du}{\sqrt{1-k^2u^2}}$ , rješenje jednadžbe gibanja matematičkih njihala postaje:

$$\sqrt{\frac{g}{R}} t = \int_0^u \frac{du}{\sqrt{(1-u^2)(1-k^2 u^2)}}. \quad (2.41)$$

Izraz na desnoj strani u (2.41) je dobro definirana funkcija gornje granice  $u$ , tj. kuta  $\theta$ . Integral se naziva eliptični integral prve vrste i ne može se izraziti pomoću elementarnih funkcija, već samo numerički računati ili postojati numeričke tabele i kompjuterski programi.

Fizikalno najinteresantniji karakteristika njihala je njegov period  $T$ . Ako njihalo u  $t = 0$  kreće iz ravnotežnog položaja  $\theta = 0$ , u položaj amplitudine  $\theta = \alpha$  dospije u trenutku  $t = \frac{T}{4}$ , pa iz (2.41) za period njihala slijedi:

$$T = 4 \sqrt{\frac{R}{g}} \int_0^1 \frac{du}{\sqrt{(1-u^2)(1-k^2 u^2)}}$$

ili smjenom  $u = \sin x$ :

$$T = 4 \sqrt{\frac{R}{g}} \int_0^{\frac{\pi}{2}} \frac{du}{\sqrt{1-k^2 \sin^2 x}}. \quad (2.42)$$

Razvijelimo li podintegralnu funkciju u red:  $(1-k^2 \sin^2 x)^{-\frac{1}{2}} = 1 + \sum_{n=1}^{\infty} \frac{(2n-1)!!}{(2n)!!} k^{2n} \sin^{2n} x$ , i integriramo lan po lan, što je moguće jer red uniformno konvergira, koristeći:

$$\int_0^{\frac{\pi}{2}} dx \sin^{2n} x = \frac{(2n-1)!!}{(2n)!!} \frac{\pi}{2},$$

za period njihala konačno dobijamo:

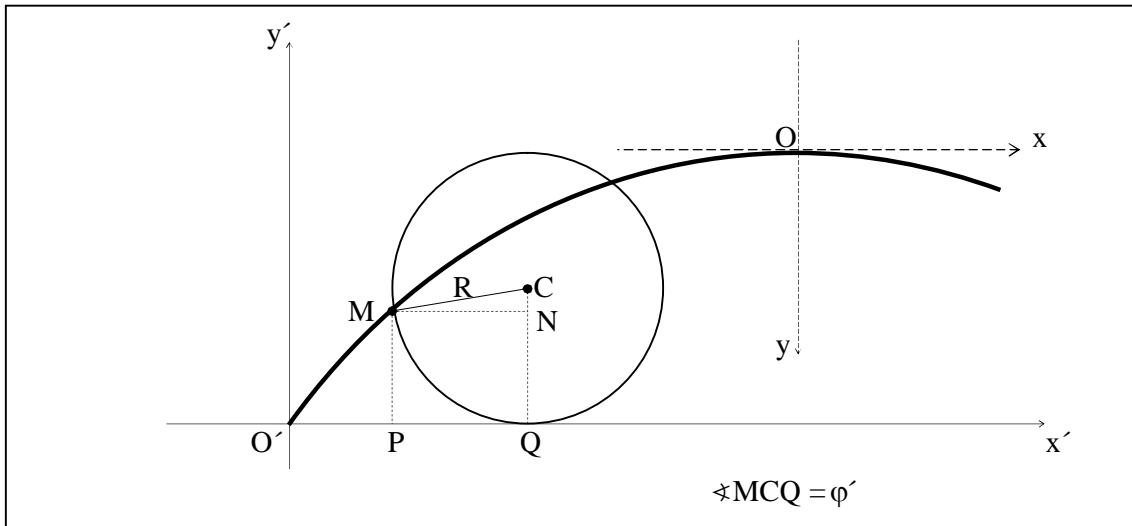
$$\begin{aligned} T &= 2 \sqrt{\frac{R}{g}} \left\{ 1 + \sum_{n=1}^{\infty} \left[ \frac{(2n-1)!!}{(2n)!!} \right]^2 k^{2n} \right\} = \\ &= 2 \sqrt{\frac{R}{g}} \left[ 1 + \left( \frac{1}{2} \right)^2 \sin^2 \frac{\pi}{2} + \left( \frac{1 \cdot 3}{2 \cdot 4} \right)^2 \sin^4 \frac{\pi}{2} + \left( \frac{1 \cdot 3 \cdot 5}{2 \cdot 4 \cdot 6} \right)^2 \sin^6 \frac{\pi}{2} + \dots \right]. \end{aligned}$$

Period matematičkog njihala ovisi o amplitudi  $\alpha$ . Samo prvi lan u gornjem redu je neovisan o  $\alpha$  i isti je kao i u slučaju malih oscilacija. No, zavisnost je slaba (red brzo konvergira), jer je npr. ako za  $\alpha = \frac{\pi}{3}$ , drugi lan u redu je  $\frac{1}{16}$ -prvog, a treći je  $\frac{9}{1024}$ -prvog, itd.

Pogledajmo sad na jednostavnom primjeru kako odabir generaliziranih koordinata utječe na jednadžbe gibanja sustava.

### Primjer 8. Cikloidno njihalo

Sustav koji nazivamo cikloidno njihalo je estica koja se bez trenja giba po cikloidi u vertikalnoj ravnini ó jedina razlika u odnosu na matemati ko njihalo je putanja estice, cikloida umjesto kruvnice. Cikloida je krivulja koju opisuje to ka na rubu kota a radijusa R koji se bez klizanja giba po horizontalnoj podlozi kao na Slici 8.



Slika 8.

Koordinate proizvoljne to ke M, iji je po etni poloflaj u ishodi-tu O', cikloide prema slici su:

$$x' = O'P = O'Q - R \sin \varphi',$$

$$y' = PM = QC \text{ ó } NC = R - R \cos \varphi'.$$

gdje je  $\varphi'$  kut rotacije kota a.

Uvjet kotrljanja bez klizanja zahtijeva:  $O'Q = \text{luk}(MQ) = R\varphi'$ , pa su parametarske jednadžbe cikloide:

$$x' = R(\varphi' \text{ ó } \sin \varphi'), \quad y' = R(1 \text{ ó } \cos \varphi'). \quad (2.43)$$

Jasno je da za cikloidno njihalo trebamo obrnuti cikloidi po kojoj estica može oscilirati. Jednadžbe takve cikloide, najjednostavnije je na i ako jednadžbe (2.43) prevedemo u xOy koordinatni sustav s centrom u poloflaju stabilne ravnoteže estice O. Smjenama:

$$x = x' - \pi R, \quad y = -y' + 2R, \quad \varphi' = \varphi + \pi,$$

dobijamo parametarske jednadžbe cikloide u vertikalnoj ravnini:

$$x = R(\varphi + \sin \varphi), \quad y = R(1 - \cos \varphi), \quad (2.44)$$

po kojoj se estica giba.

Sustav ima jedan stupanj slobode gibanja i za generaliziranu koordinatu možemo odabrati kut rotacije  $\varphi$ . Kako je iz (2.44):

$$\dot{x} = R(\dot{\varphi} + \dot{r} \cos \varphi), \quad \dot{y} = \dot{r} \sin \varphi,$$

kinetička energija estice je:

$$T = 2mR^2\dot{\varphi}^2 \cos^2 \frac{\varphi}{2}.$$

Kao i u slučaju matematičkog njihala biramo da minimum gravitacijske potencijalne energije estice nula u poloflaju stabilne ravnoteže  $\varphi = 0$ , pa je:  $U = mgy = mgR(1 - \cos \varphi)$ , tj.

$$U = 2mgR \sin^2 \frac{\varphi}{2},$$

te je Lagrangian:

$$L = L(\dot{x}, \dot{y}) = T - U = 2mR^2\dot{\varphi}^2 \cos^2 \frac{\varphi}{2} - 2mgR \sin^2 \frac{\varphi}{2}. \quad (2.45)$$

Jednadžba gibanja cikloidnog njihala  $\frac{d}{dt}\left(\frac{\partial L}{\partial \dot{\varphi}}\right) - \frac{\partial L}{\partial \varphi} = 0$  je onda:

$$\ddot{\varphi} \cos \frac{\varphi}{2} - \frac{1}{2}\left(\dot{\varphi}^2 + \frac{g}{R}\right)\sin \frac{\varphi}{2} = 0, \quad (2.46)$$

komplicirana nelinearna diferencijalna jednadžba II reda.

Ali, odaberemo li za generaliziranu koordinatu s elongaciju estice, tj. duljinu luka cikloide koja je pređeni put estice mjerena od ravnotežnog poloflaja, iz izraza za kinetičku energiju:

$$T = \frac{1}{2}m\left(\frac{ds}{dt}\right)^2 = 2mR^2\dot{\varphi}^2 \cos^2 \frac{\varphi}{2},$$

slijedi:  $ds = 2R \cos \frac{\varphi}{2} d\varphi$ , pa se integracijom dobija veza nove i stare generalizirane koordinate:

$$s = 4R \sin \frac{\varphi}{2}. \quad (2.47)$$

Lagrangian cikloidnog njihala kao funkcija nove koordinate s je jednostavna

$$L = L(s, \dot{s}) = T - U = \frac{1}{2}m\dot{s}^2 - \frac{1}{8R}mg s^2, \quad (2.48)$$

kvadratna funkcija generalizirane koordinate s i generalizirane brzine  $\dot{s}$  (kao jednodimenzioni LHO za koji je:  $L = \frac{1}{2}m\dot{x}^2 - \frac{1}{2}kx^2$ ), koja daje jednadžbu gibanja cikloidnog njihala:

$$\ddot{s} + \frac{g}{R} s = 0, \quad \omega^2 = \frac{g}{4R}. \quad (2.49)$$

Znači, gibanje cikloidnog njihala je prosto harmoničko titranje:  $s(t) = s_m \cos(\omega t + \alpha)$ , sa amplitudom  $s_m$ , po etnom fazom  $\alpha$  i periodom:

$$T = \frac{2\pi}{\omega} = 4\pi \sqrt{\frac{R}{g}}. \quad (2.50)$$

Cikloidno njihalo je izohrono – period ne zavisi od amplitude njihala.

Zamjena generaliziranih koordinata cikloidnog njihala  $\varphi \leftrightarrow s$  je primjer općeg svojstva form-invarijantnosti Lagrangeovih jednadžbi. Lagrangeove jednadžbe vafle u bilo kojem sustavu generaliziranih koordinata, tj. precizno:

### Invarijantnost Lagrangeovih jednadžbi pri koordinatnim transformacijama

Lagrangeove jednadžbe su invarijantne pri proizvoljnoj transformaciji generaliziranih kordinata:  $q_j \rightarrow Q_j(q, t)$ . Znači, ako vafli:

$$\frac{d}{dt} \left( \frac{\partial L}{\partial \dot{q}_j} \right) - \frac{\partial L}{\partial q_j} = 0, \quad j = 1, 2, \dots, n, \quad (2.51)$$

vafli će i Lagrangeove jednadžbe za transformirani Lagrangian:

$$L' (Q, \dot{Q}, t) = L [q(Q, t), \dot{q}(Q, \dot{Q}, t), t]. \quad (2.52)$$

Zaista, kako je:  $\dot{q}_j = \sum_{m=1}^n \frac{\partial q_j}{\partial Q_m} \dot{Q}_m + \frac{\partial q_j}{\partial t}$ , vafli:  $\frac{\partial q_j}{\partial Q_m} = \frac{\partial \dot{q}_j}{\partial \dot{Q}_m}$ , pa je:

$$\frac{\partial L'}{\partial Q_j} = \sum_{m=1}^n \frac{\partial L}{\partial q_m} \frac{\partial q_m}{\partial Q_j} + \frac{\partial L}{\partial \dot{q}_m} \frac{\partial \dot{q}_m}{\partial Q_j}; \quad \frac{\partial L'}{\partial \dot{Q}_j} = \sum_{m=1}^n \frac{\partial L}{\partial \dot{q}_m} \frac{\partial \dot{q}_m}{\partial \dot{Q}_j} = \sum_{m=1}^n \frac{\partial L}{\partial \dot{q}_m} \frac{\partial q_m}{\partial Q_j},$$

$$\frac{d}{dt} \left( \frac{\partial L'}{\partial \dot{Q}_j} \right) = \sum_{m=1}^n \left[ \frac{d}{dt} \left( \frac{\partial L}{\partial \dot{q}_m} \right) \right] \frac{\partial q_m}{\partial Q_j} + \sum_{m=1}^n \frac{\partial L}{\partial \dot{q}_m} \frac{d}{dt} \left( \frac{\partial q_m}{\partial Q_j} \right).$$

Lagrangeove jednadžbe koje daje novi L' Lagrangian (2.52) su onda:

$$\frac{d}{dt} \left( \frac{\partial L'}{\partial \dot{Q}_j} \right) - \frac{\partial L'}{\partial Q_j} = \sum_{m=1}^n \left[ \frac{d}{dt} \left( \frac{\partial L}{\partial q_m} \right) - \frac{\partial L}{\partial q_m} \right] \frac{\partial q_m}{\partial \dot{Q}_j} + \sum_{m=1}^n \frac{\partial L}{\partial \dot{q}_m} \left[ \frac{d}{dt} \left( \frac{\partial q_m}{\partial Q_j} \right) - \frac{\partial \dot{q}_m}{\partial Q_j} \right].$$

Prvi lan na desnoj strani je nula po pretpostavci (2.51), a drugi je nula jer je:

$$\frac{\partial \dot{q}_m}{\partial Q_j} = \frac{\partial}{\partial Q_j} \frac{dq_m}{dt} = \sum_{l=1}^n \frac{\partial^2 q_m}{\partial Q_j \partial Q_l} \dot{Q}_l + \frac{\partial^2 q_m}{\partial Q_j \partial t} = \frac{d}{dt} \left( \frac{\partial q_m}{\partial Q_j} \right),$$

-to zna i da zaista vrijedi:

$$\frac{d}{dt} \left( \frac{\partial L'}{\partial \dot{Q}_j} \right) - \frac{\partial L'}{\partial Q_j} = 0.$$

Napomenimo na kraju kako se u Lagrangeov formalizam uvode sile trenja ili operebiti sile otpora sredstva. Sile otpora sredstva su rezultat ogromnog broja komplikiranih, uglavnom elektromagnetskih interakcija, između atoma (molekula) i zna i kvantno mehaničkih interakcija, materijalnih objekata u relativnom gibanju. Ukupna sila otpora zavisi od vrste atoma, oblika i stanja površine tijela, relativne brzine, itd. Zato se za silu otpora koriste različiti aproksimativni, fenomenološki izrazi prilagođeni tipu sustava koji se razmatraju.

Sile otpora  $\vec{F}_{tr}$  su najčešće nepotencijalne i koriste se Lagrangeove jednadžbe (2.22). Na primjer u hidrodinamici je to sila otpora proporcionalna brzini estice (Stokesov zakon), tj.  $\vec{F}_{tr} = -c_x \dot{x} \hat{i} - c_y \dot{y} \hat{j} - c_z \dot{z} \hat{k}$ , gdje su općenito slučaju koeficijent trenja mofle zavisiti od pravca koordinatne osi. Takva sila trenja može se derivirati iz disipativne funkcije sustava  $F$ :

$$F = \frac{1}{2} \sum_{i=1}^N \left( c_x v_{i_x}^2 + c_y v_{i_y}^2 + c_z v_{i_z}^2 \right), \quad (2.53)$$

kao negativni gradijent po komponentama brzine estive:

$$\vec{F}_{tr_i} = -\nabla_{v_i} F.$$

Ukupni rad protiv sila trenja je onda:

$$dW_{tr} = - \sum_{i=1}^N \vec{F}_{tr_i} d\vec{r}_i = - \sum_{i=1}^N \vec{F}_{tr_i} \vec{v}_i dt = 2F dt, \quad (2.54)$$

-to zna i da disipativna funkcija predstavlja dvostruku snagu disipacije mehaničke energije fizikalnog sustava uslijed sila trenja.

Komponente generalizirane sile  $Q_j^*$  koju pridružujemo silama trenja su prema (2.13) i (2.9):

$$Q_j^* = \sum_{i=1}^N \vec{F}_{tr_i} \cdot \frac{\partial \vec{r}_i}{\partial q_j} = - \sum_{i=1}^N \nabla_{v_i} F \cdot \frac{\partial \vec{r}_i}{\partial q_j} = - \sum_{i=1}^N \nabla_{v_i} F \cdot \frac{\partial \dot{\vec{r}}_i}{\partial \dot{q}_j} = - \frac{\partial F}{\partial \dot{q}_j}. \quad (2.55)$$

Umjesto (2.22), Lagrangeove jednadžbe sada postaju:

$$\frac{d}{dt} \left( \frac{\partial L}{\partial \dot{q}_j} \right) - \frac{\partial L}{\partial q_j} + \frac{\partial F}{\partial \dot{q}_j} = 0, \quad j = 1, 2, \dots, n. \quad (2.56)$$

Ako djeluju sile trenja (proporcionalne brzini estice), da bi se doble jednadžbe gibanja, pored Lagrangiana  $L$ , treba poznavati i disipativnu funkciju sustava  $F$ .

## 2.2 Zakoni očuvanja

U Lagrangeovoj formulaciji mehanike može se pokazati veza između prostorno-vremenskih simetrija fizikalnog sustava i zakona o uvanju. Povezanost simetrija Lagrangiana (ili Hamiltonijana) fizikalnog sustava i zakona o uvanju poznata je kao Noether teorem (Emmi Noether 1918.) i ima veliki značaj u poopisu klasične mehanike na teoriju polja (teoriju gibanja sustava sa neprebrojivo mnogo stupnjeva slobode). Noether teorem u osnovi tvrdi da za svaku grupu kontinuiranih transformacija generaliziranih koordinata  $q_j$  i brzina  $\dot{q}_j$  koje ostavljaju invarijantnim Lagrangian sustava postoji jedna očuvana fizikalna veličina.

Razmotrimo osnovne prostorno-vremenske transformacije fizikalnih sustava: vremenske translacije, prostorne translacije i prostorne rotacije. Klasični princip relativnosti zahtijeva da u bilo kojem IRS-u (referentni sustav u kome su prostor i vrijeme su homogeni i izotropni), ove transformacije koje su podgrupe Galilejeve grupe, budu transformacije simetrije svakog izoliranog fizikalnog sustava.

Lagrangian izoliranog konzervativnog sustava sa  $N$  estica je:

$$L = L(\vec{r}, \dot{\vec{r}}, t) = T \rightarrow U = \sum_{i=1}^N \frac{1}{2} m_i \dot{\vec{r}}_i^2 - \frac{1}{2} \sum_{i,j=1}^N U_{ij}(r_{ij}), \quad (2.57)$$

gdje je  $U$  potencijalna energija unutarnjih sila kao u (1.47) koje zavise od relativne udaljenosti estica:  $r_{ij} = |\vec{r}_i - \vec{r}_j|$ .

- Vremenske translacije  $\Rightarrow$  očuvanje energije

Da bi infinitezimalna vremenska translacija:

$$t \rightarrow t' = t + \delta t, \quad \vec{r}_i = \dot{\vec{r}}_i = 0, \quad (2.58)$$

bila simetrija Lagrangiana (2.57) mora vrijediti:

$$L = L(\vec{r}, \dot{\vec{r}}, t) - L(\vec{r}, \dot{\vec{r}}, t) = \frac{\partial L}{\partial t} |_{t=0} \Rightarrow \frac{\partial L}{\partial t} = 0, \quad (2.59)$$

tj., Lagrangian ne smije eksplisitno zavisiti od vremena. Potpuna vremenska derivacija Lagrangiana je:

$$\frac{dL}{dt} = \frac{\partial L}{\partial t} + \sum_{i=1}^N \dot{\vec{r}}_i \nabla_{\vec{r}_i} L + \sum_{i=1}^N \ddot{\vec{r}}_i \nabla_{\dot{\vec{r}}_i} L,$$

pa iz Lagrangeovih jednadžbi:

$$\nabla_{\vec{r}_i} L - \frac{d}{dt} \nabla_{\dot{\vec{r}}_i} L = 0, \quad (2.60)$$

slijedi:

$$\frac{d}{dt} \left( L - \sum_{i=1}^N \dot{\vec{r}}_i \cdot \nabla_{\dot{\vec{r}}_i} L \right) = 0 \Rightarrow L - \sum_{i=1}^N \dot{\vec{r}}_i \cdot \nabla_{\dot{\vec{r}}_i} L = \text{const.}, \quad (2.61)$$

-to je zakon o uvanju energije, jer je:

$$\sum_{i=1}^N \dot{\vec{r}}_i \cdot \nabla_{\dot{\vec{r}}_i} L = \sum_{i=1}^N \dot{\vec{r}}_i \cdot \nabla_{\dot{\vec{r}}_i} T = \sum_{i=1}^N m_i \dot{\vec{r}}_i^2 = 2T,$$

pa vrijedi:

$$E = T + U = \text{const.} \quad (2.62)$$

Posljedica invarijantnosti Lagrangiana pri vremenskim translacijama je zakon o uvanju energije sustava.

- Prostorne translacije  $\Rightarrow$  o uvanje impulsa

Da bi infinitezimalna prostorna translacija:

$$\vec{r}_i \rightarrow \vec{r}'_i = \vec{r}_i + \vec{r}_i, \quad \delta t = 0, \quad (2.63)$$

bila simetrija Lagrangiana (2.57) zbog zahtjeva:

$$\delta L = L(\vec{r}_i + \vec{r}_i, \dot{\vec{r}}_i, t) - L(\vec{r}_i, \dot{\vec{r}}_i, t) = \vec{r}_i \cdot \sum_{i=1}^N \nabla_{\vec{r}_i} L = 0,$$

mora biti:

$$\sum_{i=1}^N \nabla_{\vec{r}_i} L = 0 \Rightarrow \frac{d}{dt} \sum_{i=1}^N \nabla_{\dot{\vec{r}}_i} L = 0 \Rightarrow \vec{P} = \sum_{i=1}^N p_i = \text{const.} \quad (2.64)$$

Iz invarijantnosti Lagrangiana pri prostornim translacijama slijedi zakon o uvanju impulsa sustava.

- Prostorne rotacije  $\Rightarrow$  o uvanje angularnog momenta

Da bi infinitezimalna rotacija za kut  $d\vec{\phi}$  :

$$\vec{r}_i = \vec{\omega} \times \vec{r}_i, \quad \dot{\vec{r}}_i = \vec{\omega} \times \dot{\vec{r}}_i, \quad \delta t = 0. \quad (2.65)$$

bila transformacija simetrije, mora vafliti:

$$\delta L = \sum_{i=1}^N \vec{r}_i \cdot \nabla_{r_i} L + \sum_{i=1}^N \dot{\vec{r}}_i \cdot \nabla_{\dot{r}_i} L = 0.$$

Kako je kut rotacije  $d\vec{\phi}$  proizvoljan iz Lagrangeovih jednadžbi (2.60) slijedi zakon o uvanju momenta impulsa (angularnog momenta):

$$\vec{\omega} \cdot \sum_{i=1}^N (\vec{r}_i \times \dot{\vec{p}}_i + \dot{\vec{r}}_i \times \vec{p}_i) = \vec{\omega} \cdot \frac{d}{dt} \sum_{i=1}^N \vec{r}_i \times \vec{p}_i = 0 \Rightarrow \vec{L} = \sum_{i=1}^N \vec{l}_i = \text{const.} \quad (2.66)$$

- Specijalne Galilejeve transformacije  $\Rightarrow$  zakon centra mase

U slučaju specijalnih Galilejevih transformacija koje prevode jedan IRS u drugi koji se giba konstantnom brzinom  $\vec{V}$ :

$$\vec{r}_i \rightarrow \vec{r}'_i = \vec{r}_i + \vec{V} t, \quad \vec{V} = \text{const.}, \quad \delta t = 0. \quad (2.67)$$

transformirani Lagrangian je:

$$L' = L + \vec{V} \cdot \sum_{i=1}^N m_i \dot{\vec{r}}_i + \frac{1}{2} V^2 \sum_{i=1}^N m_i. \quad (2.68)$$

Promjena Lagrangiana (2.57) pri specijalnim Galilejevim transformacijama (2.67) je:

$$\delta L = \frac{d}{dt} (M \vec{r}_c) \cdot \vec{V} + \frac{1}{2} M V^2 = \frac{d}{dt} (M \vec{r}_c \cdot \vec{V}) + \text{const.} \quad (2.69)$$

Iako,  $\delta L$  nije nula, za Lagrangian (2.57) svejedno kafemo da je invarijantan pri transformacijama (2.67), jer transformirani Lagrangian  $L'$  u (2.68) daje iste Lagrangeove jednadžbe kao i originalni Lagrangian  $L$ . Lagrangiani koji se razlikuju samo do na aditivnu konstantu ili totalnu vremensku derivaciju proizvoljne funkcije  $f(q, t)$  generaliziranih koordinata i vremena (ali, ne generaliziranih brzina) su ekvivalentni jer daju iste Lagrangeove jednadžbe, u skladu s (2.52). Zaista, ako je:

$$\delta L = \frac{df}{dt} = \frac{\partial f}{\partial t} + \sum_{k=1}^n \frac{\partial f}{\partial q_k} \dot{q}_k \Rightarrow \frac{\partial}{\partial \dot{q}_j} L = \frac{\partial f}{\partial q_j},$$

imamo:

$$\frac{d}{dt} \left( \frac{\partial}{\partial \dot{q}_j} L \right) - \frac{\partial}{\partial q_j} L = \frac{d}{dt} \frac{\partial f}{\partial q_j} - \frac{\partial}{\partial q_j} \frac{\partial f}{\partial t} = 0.$$

Za promjenu Lagrangiana pri transformacijama (2.67) možemo prema (2.60) pisati i:

$$\delta L = \sum_{i=1}^N \left( \vec{r}_i \cdot \nabla_{r_i} L + \dot{\vec{r}}_i \cdot \nabla_{\dot{r}_i} L \right) = \sum_{i=1}^N \left( \vec{V} t \cdot \dot{\vec{p}}_i + \vec{V} \cdot \vec{p}_i \right) = \frac{d}{dt} \left( \vec{V} t \cdot \sum_{i=1}^N \vec{p}_i \right). \quad (2.70)$$

Porede i (2.69) i (2.70) dobijamo zakon gibanja centra mase:

$$M \vec{r}_C - t \sum_{i=1}^N \vec{p}_i = \text{const.} \quad (2.71)$$

U Lagrangeovoj formulaciji, kao i u Newtonovoj, vafle isti zakoni o uvanju. Ali, Lagarneova formulacija pokazuje da postoji intimna veza između kontinuiranih prostorno-vremenskih transformacija simetrije fizikalnih sustava i osnovnih zakona o uvanju energije, impulsa, angularnog momenta i centra mase koji vrijede za gibanje izoliranih fizikalnih sustava.

Veza zakona o uvanju i transformacija simetrije fizikalnih sustava postaje najočiglednija u najkompletnijoj formulaciji klasične mehanike – Hamiltonovoj (kanonskoj) formulaciji koju ćemo sada razmotriti.

### 3. Hamiltonov formalizam

Hamilton (1805-1865) je razvio aksiomatsku formulaciju klasi ne mehanike baziranu na ekstremalnom varijacionom principu koja odre uje ne samo poloflaj, ve kompletno mehani ko stanje sustava u generaliziranim koordinatama. Poseban zna aj Hamiltonovog formalizma je mogu nost generalizacije na grane fizike izvan mehanike ó statisti ku fiziku, kvantnu mehaniku, teoriju polja, itd. U modernoj fizici se za svaku fizikalnu teoriju zahtijeva i Hamiltonova formulacija. Najbolja ilustracija zna aja ove formulacije je naziv koje mnogi autori daju Hamiltonovoj formulaciji teorije i Hamiltonovim jednadflbama gibanja ó kanonska formulacija i kanonske jednadflbe gibanja (gr ki: kan n ó pravilo, propis).

#### 3.1 Hamiltonov princip

Svaki fizikalni sustav u Hamiltonovom formalizmu opisan je Hamiltonianom  $H$  sustava ije poznavanje je ekvivalentno poznavanju Lagrangiana sustava. Osnovni postulat teorije je Hamiltonov princip (ili princip minimalnog djelovanja) koji se formulira preko funkcionala djelovanja (akcije) fizikalnog sustava.

Djelovanje (akcija)  $I[\mathbf{q}]$  fizikalnog sustava opisanog Lagrangianom  $L(q_j, \dot{q}_j, t) = T - U$ , ( $j = 1, 2, \dots, n$ ), definira se kao integral po vremenu Lagrangiana sustava izme u po etnog  $t_1$  i krajnjeg trenutka  $t_2$ , tj.:

$$I[\mathbf{q}] = \int_{t_1}^{t_2} dt L[\mathbf{q}(t), \dot{\mathbf{q}}(t), t]. \quad (3.1)$$

Funkcional je matemati ki objekt koji zavisi od oblika funkcije/a. Djelovanje  $I[\mathbf{q}]$  zavisi od putanje sustava  $q_j(t)$  u (3.1) izme u dviju fiksnih konfiguracija  $q_j(t_1)$  i  $q_j(t_2)$  u po etnom i krajnjem trenutku. Simbol  $\mathbf{q}$  je skra enica koja ozna ava skup svih generaliziranih koordinata  $q_j$ .

#### Hamiltonov princip

Djelovanje (akcija) fizikalnog sustava opisanog Lagrangianom  $L = L(\mathbf{q}, \dot{\mathbf{q}}, t)$  ima ekstrem (minimum) dufl stvarne putanje sustava, tj. varijacija djelovanja je nula dufl stvarne putanje sustava:

$$\delta I[\mathbf{q}] = 0. \quad (3.2)$$

Varijacija akcije  $\delta I$  se definira kao  $\delta I = \left. \frac{\partial I}{\partial q_j} \right|_{j=0}$ , gdje je  $\varepsilon_j$  infinitezimalni parametar koji

razlikuje mogu e putanje  $q_j$ . Kao i u analizi realnih funkcija, i- ezavanje prve derivacije je potreban uvjet ekstrema. Dodatnim trafljenjem druge derivacije može se pokazati da dufl stvarne putanje djelovanje fizikalnog sustava ima minimum.

Kako je Lagrangian invarijantan pri koordinatnim transformacijama u konfiguracijskom prostoru (2.52), Hamiltonov princip vrijedi u bilo kojem sustavu generaliziranih koordinata.

Hamiltonov princip je specijalni sluaj matematičkog problema za una varijacija koji su rješili Euler i Lagrange:

### Varijacioni problem sa fiksni krajnjim točkama:

Problem je naći funkcije  $y_i(x)$  za koje funkcional  $S[y]$  definiran izrazom:

$$S[y_1, y_2, \dots, y_n] = \int_{x_1}^{x_2} dx f(y_1, \dots, y_n, y'_1, \dots, y'_n, t), \quad (3.3)$$

ima ekstrem, uz fiksne rubne uvjete:

$$y_i(x_1) = y_i^{(1)} = \text{const.}; \quad y_i(x_2) = y_i^{(2)} = \text{const.}, \quad (3.4)$$

gdje je:  $y'_i = \frac{dy_i}{dx}$ , ( $i = 1, 2, \dots, n$ ).

Rješenjeemo naći za sluaj  $n = 1$  jer je generalizacija na proizvoljni broj stupnjeva slobode nismo igledna. Traflimo rješenje varijacionog problema

$$\delta S[y] = \delta \left[ \int_{x_1}^{x_2} dx f(y, y', x) \right] = 0. \quad (3.5)$$

Neka je rješenje gornjeg varijacionog problema funkcija  $y = y(x)$ . Proizvoljnu funkciju  $\eta(x, \varepsilon)$  koja zadovoljava rubne uvjete, tj. prolazi fiksnim točkama  $(x_1, y_1)$  i  $(x_2, y_2)$ , kao na Slici 9. parametrizirajmo pomoću realnog parametra  $\varepsilon(x)$  koji je njeno odstupanje od stvarnog rješenja  $y(x)$ . Funkcional  $S[y]$  iju varijaciju traflimo zavisno od proizvoljne takve funkcije  $\eta(x, \varepsilon)$  definirane kao:

$$\eta(x, \varepsilon) = y(x) + \delta y(x) = y(x) + \varepsilon h(x), \quad (3.6)$$

koja zadovoljava fiksne rubne uvjete:

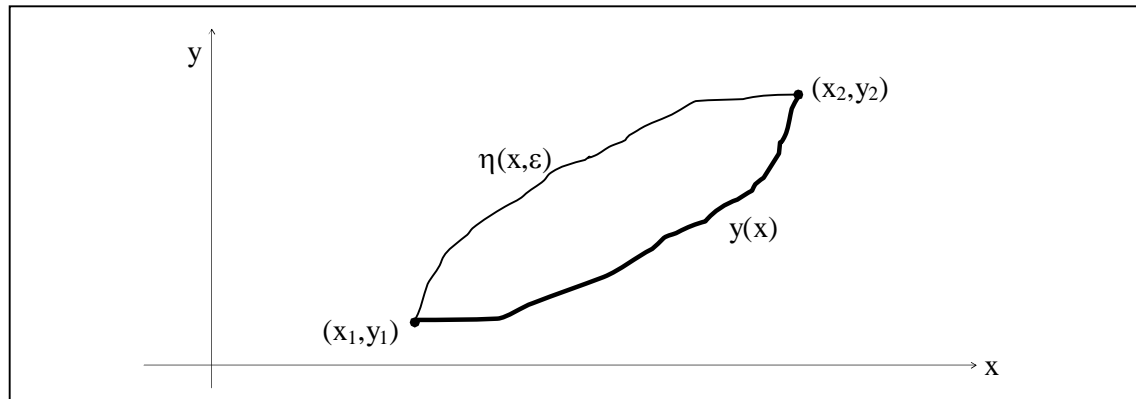
$$h(x_1) = h(x_2) = 0. \quad (3.7)$$

Za infinitezimalne vrijednosti parametra  $\varepsilon$ , razvojem u Taylorov red je:  $S[\eta] = S[y] + \delta S + \dots$ , poslije parcijalne integracije varijacija funkcionala  $S$  je:

$$\begin{aligned} \delta S &= \frac{dS[\eta]}{d\varepsilon} \Big|_{\varepsilon=0} = \int_{x_1}^{x_2} dx \left[ \frac{\partial f}{\partial y} h + \frac{\partial f}{\partial y'} h' \right] \Big|_{\varepsilon=0} = \int_{x_1}^{x_2} dx h \left[ \frac{\partial f}{\partial y} - \frac{d}{dx} \frac{\partial f}{\partial y'} \right] \Big|_{\varepsilon=0} + \left[ h \frac{\partial f}{\partial y'} \right]_{x_1}^{x_2} = \\ &= \int_{x_1}^{x_2} dx h \left( \frac{\partial f}{\partial y} - \frac{d}{dx} \frac{\partial f}{\partial y'} \right), \end{aligned}$$

zbog uvjeta (3.7). Da bi funkcional  $S$  imao ekstrem mora biti  $\delta S = 0$ , -to zna i da trafen funkcija y mora zadovoljavati Euler-Lagrangeovu jednadžbu:

$$\frac{\partial f}{\partial y} - \frac{d}{dx} \frac{\partial f}{\partial y'} = 0. \quad (3.8)$$



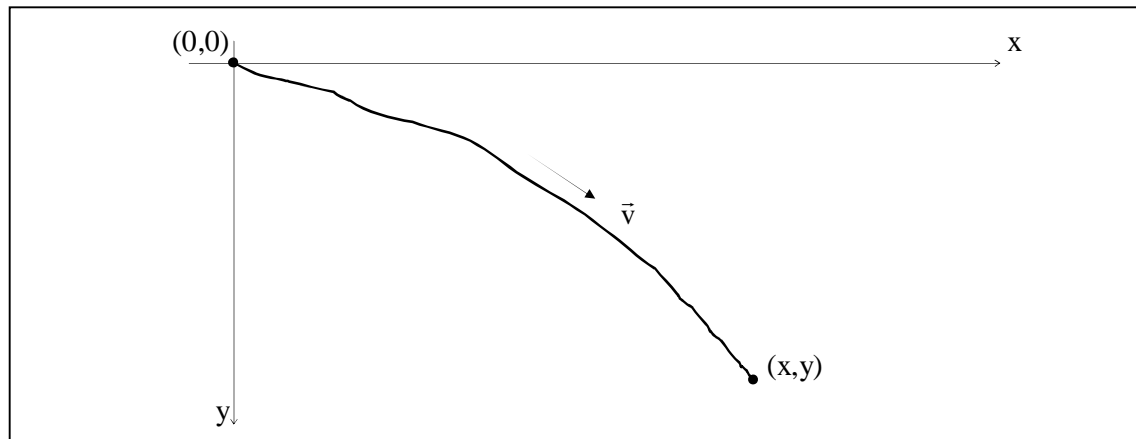
Slika 9.

U slučaju n stupnjeva slobode, za svaku funkciju  $y_i$  mora važeći po jedna Euler-Lagrangeova jednadžba, tj. potreban uvjet da funkcional  $S[y]$  (3.3) ima ekstrem je:

$$\frac{\partial f}{\partial y_i} - \frac{d}{dx} \frac{\partial f}{\partial y'_i} = 0, \quad (i = 1, 2, \dots, n). \quad (3.9)$$

Primjer 1. Brachistohrona krivulja (grčki: brachys – kratak; chronos – vrijeme, trajanje)

Kao primjer Euler-Lagrangeovih jednadžbi razmotrimo klasični problem nalađenja krivulje u vertikalnoj ravnini duž koje se mora gibati testica koja pod utjecajem težine iz mirovanja padne u zadanu toku za najkratko vrijeme (poznati problem u matematici, ijom analizom je Bernoulli postavio temelje varijacijskog računa).



Slika 10.

Odaberemo li koordinatni sustav tako da je po etna to ka ishodi-te, kao na Slici 10., vrijeme  $dt$  za koje estica prije e put  $ds = \sqrt{dx^2 + dy^2} = dx\sqrt{1+y'^2}$  po krivulji je:  $dt = \frac{ds}{v}$ . Zakon o uvanja energije daje:  $E_1 = 0 = \frac{1}{2}mv^2 - mgy$ , tj.  $v = \sqrt{2gy}$ , pa je:  $dt = \sqrt{\frac{1+y'^2}{2gy}} dx$ . Integracijom je funkcional  $t[y]$  koji treba minimizirati:

$$t[y] = \int_0^x dx \frac{1}{\sqrt{2g}} \sqrt{\frac{1+y'^2}{y}}. \quad (3.10)$$

Uvjet  $\delta t[y] = 0$  daje Euler-Lagrangeovu jednadžbu:

$$\frac{\partial f}{\partial y} - \frac{d}{dx} \frac{\partial f}{\partial y'} = 0, \text{ gdje je: } f(y, y', x) = \left( \frac{1+y'^2}{2gy} \right)^{\frac{1}{2}}. \quad (3.11)$$

koju je najlak-e rje-iti ako iskoristimo injenicu da  $f$  ne zavisi eksplisitno od  $x$ , -to zna i da je  $\frac{\partial f}{\partial x} = 0$ , tj. vafli:  $\frac{df}{dx} = y' \frac{\partial f}{\partial y} + y'' \frac{\partial f}{\partial y'} = y' \frac{d}{dx} \frac{\partial f}{\partial y'} + \left( \frac{d}{dx} y' \right) \frac{\partial f}{\partial y'} = \frac{d}{dx} \left( y' \frac{\partial f}{\partial y'} \right)$ , pa je:

$$f - y' \frac{\partial f}{\partial y'} = \text{const.}, \text{ ili eksplisitno: } dx = \sqrt{\frac{y}{y-C}} dy.$$

Smjenom  $y = C \sin^2 \frac{x}{2}$  zadnja jednadžba postaje:  $dx = C \sin^2 \frac{x}{2} dy$ , koja se odmah integrira u jednaffbu brahistohrone:

$$x = \frac{C}{2} (-\sin), \quad y = \frac{C}{2} (1 - \cos). \quad (3.12)$$

Izaberemo li konstantu integracije  $C = 2R$ , gornje jednadžbe postaju identi ne jednadžbama cikloide (2.43). Najkra e vrijeme potrebno estici da stigne u krajnju to ku je etvrtina perioda (2.50) odgovaraju eg cikloidnog njihala  $t = \frac{T}{4} = \sqrt{\frac{R}{g}}$ .

Lagrangeove jednadžbe za konzervativni sustav sa idealnim holonomnim vezama o uto su Euler-Lagrangeove jednadžbe (3.9) koje osiguravaju vaflenje Hamiltovog principa, tj. ispunjenje uvjeta ekstrema (minimuma) akcije (3.2):

$$\delta I[\mathbf{q}] = 0 \Leftrightarrow \frac{d}{dt} \left( \frac{\partial L}{\partial \dot{q}_j} \right) - \frac{\partial L}{\partial q_j} = 0, \quad (j = 1, 2, \dots, n). \quad (3.13)$$

Tov-e, vafli ekvivalentnost d'Alembertovog (2.12) i Hamiltovog principa (3.2). Zaista,

$$\sum_{i=1}^N \left( \vec{F}_i - m_i \ddot{\vec{r}}_i \right) \cdot \vec{r}_i = 0 \Rightarrow \frac{d}{dt} \sum_{i=1}^N m_i \dot{\vec{r}}_i \cdot \vec{r}_i = \sum_{i=1}^N \vec{F}_i \cdot \vec{r}_i + \sum_{i=1}^N \frac{m_i}{2} \dot{\vec{r}}_i^2 = W + T, \quad (3.14)$$

gdje je  $\delta T$  promjena kinetičke energije pri virtuelnom pomaku sustava  $\vec{r}_i$ . Ako integriramo (3.14) po vremenu od  $t_1$  do  $t_2$ , zbog fiksnih rubnih uvjeta:

$$\vec{r}_i(t_2) = \vec{r}_i(t_1) = 0, \quad (3.15)$$

dobijamo:

$$\int_{t_1}^{t_2} dt (W + T) = \sum_{i=1}^N m_i \left[ \dot{\vec{r}}_i(t_2) \cdot \vec{r}_i(t_2) - \dot{\vec{r}}_i(t_1) \cdot \vec{r}_i(t_1) \right] = 0. \quad (3.16)$$

Ako je sustav konzervativan važi:

$$W = \sum_{i=1}^N \vec{F}_i \cdot \vec{r}_i = - \sum_{i=1}^N \vec{r}_i \cdot \nabla_i U(\vec{r}_1, \vec{r}_2, \dots, \vec{r}_N) = -U, \quad (3.17)$$

tako da je:

$$\int_{t_1}^{t_2} dt (W + T) = \int_{t_1}^{t_2} dt (T - U) = \int_{t_1}^{t_2} dt L = 0.$$

Kako su krajnje točke fiksne, možemo zamjeniti redoslijed integracije i varijacije i dobiti:

$$\sum_{i=1}^N \left( \vec{F}_i - m_i \ddot{\vec{r}}_i \right) \cdot \vec{r}_i = 0 \Leftrightarrow \int_{t_1}^{t_2} dt L = 0. \quad (3.18)$$

I u općem slučaju, kad postoje i nepotencijalne komponente generaliziranih sila (2.16) polaze i od Hamiltonovog principa u obliku:

$$I = \int_{t_1}^{t_2} dt (T + W) = 0, \quad (3.19)$$

i djeli se na ukupan rad aktivnih sila na virtuelnom pomaku sustava na rad potencijalnih i rad nepotencijalnih komponenti:

$$W = \sum_{i=1}^N \vec{F}_i \cdot \vec{r}_i = \sum_{j=1}^n Q_j^p \cdot q_j + \sum_{j=1}^n Q_j^* \cdot \dot{q}_j,$$

te koristeći:

$$T = \sum_{j=1}^n q_j \left( \frac{\partial T}{\partial q_j} - \frac{d}{dt} \frac{\partial T}{\partial \dot{q}_j} \right),$$

dobijamo Lagrangeove jednadžbe (2.22). U svim slučajevima iz Hamiltonovog principa slijede iste jednadžbe gibanja kao i u Lagrangeovoj formulaciji.

Već smo vidjeli, kao u relaciji (2.52) ili specifičnom primjeru (2.69), da Lagrangian fizikalnog sustava nije jednoznačno određen. Hamiltonov princip (3.2) omogućuje da se precizno odredi kolika je nejednoznačnost Lagrangiana.

Ako djelovanju (akciji)  $I[\mathbf{q}]$  fizikalnog sustava dodamo konstantu nečemo promjeniti jednadžbe gibanja o Lagrangeove jednadžbe, koje slijede iz uvjeta  $\delta I[\mathbf{q}] = 0$ .

### Definicija: Baždarne (gauge) transformacije

Ako je fizikalni sustav opisan Lagrangianom  $L = L(\mathbf{q}, \dot{\mathbf{q}}, t)$ , tada bilo koji ekvivalentni Lagrangian  $L'$  iz klase funkcija:

$$L' = \alpha L + \frac{d}{dt} f(\mathbf{q}, t), \quad (3.20)$$

gdje je  $\alpha$  realna konstanta, a proizvoljna funkcija  $f$  smije zavisiti od generaliziranih koordinata  $q_j$  i vremena, ali ne i od generaliziranih brzina  $\dot{q}_j$ , daje iste Lagrangeove jednadžbe, tj. istu putanju sustava.

Ovakve transformacije koje mijenjaju Lagrangian sustava  $L \rightarrow L'$ , bez utjecaja na fiziku, nazivaju se baždarnim (gauge) transformacijama.

Zaista, pri gauge transformaciji (3.20) akcija sustava se promjeni samo u  $I'$ :

$$I' = \int_{t_1}^{t_2} dt \left[ L + \frac{d}{dt} f(\mathbf{q}, t) \right] = I + \text{const.},$$

zbog fiksnih rubnih uvjeta:  $\delta q_j(t_2) = \delta q_j(t_1) = 0$ .

Baždarne transformacije su važne u elektrodinamici i kvantnoj mehanici, a osobito u kvantnoj teoriji polja o teorije elementarnih čestica su gauge teorije, tj. teorije kvantnih polja koja imaju svojstva lokalne gauge simetrije.

Najpoznatiji primjer teorije koja posjeduje gauge simetriju je klasa elektrodinamika. Gauge transformacija (3.20) u elektrodinamici je transformacija elektromagnetskih potencija i  $\vec{A}$ , oblika:

$$\vec{A} \rightarrow \vec{A}' = \vec{A} - \frac{\partial}{\partial t}; \quad \vec{A} \rightarrow \vec{A}' = \vec{A} + \nabla \Lambda, \quad (3.21)$$

gdje je  $\Lambda = \Lambda(\vec{r}, t)$  proizvoljno skalarno polje. Transformacije (3.21) nemaju fizikalnog efekta jer ostavljaju invarijantnim elektromagnetska polja:

$$\vec{E} = -\nabla - \frac{\partial \vec{A}}{\partial t}, \quad \vec{B} = \nabla \times \vec{A},$$

-to zna i da ne mijenjaju elektromagnetske sile na nabijene estice, ali mijenjaju Lagrangian. Na primjer, Lagrangian estice naboja e u elektromagnetskom polju (2.26), transformacijama (3.21) prelazi u:

$$L' = L + e \frac{\partial}{\partial t} + e \dot{\vec{r}} \cdot \nabla = L + e \frac{d}{dt} (\vec{r}, t), \quad (3.22)$$

u skladu sa (3.20).

### 3.2 Hamiltonove (kanonske) jednadžbe

Da bi se odredio poločaj estice u trenutku  $t + dt$ , u prvoj aproksimaciji, treba poznavati i poločaj i brzinu estice u trenutku  $t$ , jer je:  $\vec{r}_i(t+dt) = \vec{r}_i(t) + \dot{\vec{r}}_i(t) dt$ , -to zna i da je mehaničko stanje sustava određeno poločajem i brzinom estica u jednom trenutku. U Lagrangeovoj formulaciji svakom stupnju slobode gibanja odgovara jedna generalizirana koordinata  $q_j$ , a mehaničko stanje sustava je određeno sa  $2n$  vrijednosti generaliziranih koordinata i generaliziranih brzina  $\{q_j(t), \dot{q}_j(t)\}$ . Sustav je opisan Lagrangianom  $L = L(q, \dot{q}, t)$  koji se smatra funkcijom  $2n + 1$  nezavisne varijable, iako je  $\dot{q}_j$  derivacija od  $q_j$ . Postoji  $n$  jednadžbi gibanja od Lagrangeovih jednadžbi (diferencijalne jednadžbe II reda), ali  $2n$  po etnih uvjeta neophodnih da se odredi po etno stanje sustava.

U Hamiltonovojoj formulaciji uklanja se gornja asimetrija. Gibanje sustava  $N$  estica sa  $n$  stupnjeva slobode određeno je sa  $2n$  jednadžbi gibanja od Hamiltonovih (kanonskih) jednadžbi, koje su obično diferencijalne jednadžbe I reda. Partikularno rješenje Hamiltonovih jednadžbi zahtijeva poznavanje po etnih vrijednosti svih  $2n$  kanonskih varijabli od generaliziranih koordinata  $q_j$  i njima pridruženih generaliziranih momenata  $p_j$ .

**Definicija: Generalizirani moment  $p_j$**

Generalizirani moment (impuls) pridružen generaliziranoj koordinati  $q_j$  je:

$$p_j = \frac{\partial L}{\partial \dot{q}_j}, \quad (j = 1, 2, \dots, n). \quad (3.23)$$

Mehaničko stanje sustava sa  $n$  stupnjeva slobode u trenutku  $t$  određeno je vrijednostima  $2n$  kanonskih varijabli  $\{q_j(t), p_j(t)\}$ , tj. jednom to kom u faznom prostoru fizikalnog sustava ( $2n$  dimenzionalni prostor iju bazu iine kanonske varijable).

Prijelaz sa Lagrangeove na Hamiltonovu formulaciju (i obratno), zahtijeva invertiranje jednadžbe (3.23), tako da se n generaliziranih brzina  $\dot{q}_j$  izrazi preko kanonskih varijabli  $q_j$  i  $p_j$ , tj.:

$$(3.23) \Rightarrow p_j = p_j(q_1, \dots, q_n, \dot{q}_1, \dots, \dot{q}_n, t) \Leftrightarrow \dot{q}_j = \dot{q}_j(q_1, \dots, q_n, p_1, \dots, p_n, t), \quad (3.24)$$

–to je uvijek moguće ako sustav nije degeneriran, tj. ako je ispunjen uvjet:

$$\det \left| \frac{\partial^2 L}{\partial \dot{q}_j \partial \dot{q}_k} \right| \neq 0. \quad (3.25)$$

Napomena: Prijelaz sa Lagrangeove na Hamiltonovu formulaciju moguće je i za degenerirane sustave, one za koje ne važe (3.25), kao što je pokazao P.A.M. Dirac 1950. Takav, komplikiraniji slučaj, nema veliki značaj u klasičnoj mehanici, ali ima u kvantnoj teoriji polja i primjeri su kvantna elektrodinamika i teorija gravitacije. Vidi npr. A. Hanson, T. Regge, C. Teitelboim: «Constrained Hamiltonian Systems», 1976.

U Hamiltonovom formalizmu fizikalni sustav je opisan Hamiltonianom  $H$ :

**Definicija: Hamiltonian  $H$  sustava**

Hamiltonian fizikalnog sustava sa  $n$  stupnjeva slobode je:

$$H = H(q_j, p_j, t) = \sum_{i=1}^n p_i \dot{q}_i - L, \quad (3.26)$$

gdje je  $L = T - U = L(q, \dot{q}, t)$  Lagrangian sustava. Hamiltonian je funkcija  $2n + 1$  nezavisne varijable i  $n$  parova konjugiranih kanonskih varijabli  $(q_j, p_j)$  i eventualno eksplicitna funkcija vremena ako sustav nije izoliran.

U matematici se transformacija (3.26), tj.  $L(q_j, \dot{q}_j, t) \rightarrow H\left(q_j, \frac{\partial L}{\partial \dot{q}_j}, t\right)$ , naziva Legendreovom transformacijom. Koristeći definicije (3.26) i (3.23) i Lagrangeove jednadžbe, lako je naći Hamiltonove jednadžbe:

$$\frac{\partial H}{\partial p_j} = \dot{q}_j + \sum_{i=1}^n p_i \frac{\partial \dot{q}_i}{\partial p_j} - \sum_{i=1}^n \frac{\partial L}{\partial \dot{q}_i} \frac{\partial \dot{q}_i}{\partial p_j} = \dot{q}_j,$$

$$\frac{\partial H}{\partial q_j} = \sum_{i=1}^n p_i \frac{\partial \dot{q}_i}{\partial q_j} - \frac{\partial L}{\partial q_j} - \sum_{i=1}^n \frac{\partial L}{\partial \dot{q}_i} \frac{\partial \dot{q}_i}{\partial q_j} = -\frac{\partial L}{\partial q_j} = -\dot{p}_j,$$

tj. za gibanje fizikalnog sustava vrijede:

### Hamiltonove (kanonske) jednadžbe

Za holonomni konzervativni sustav sa  $n$  stupnjeva slobode Hamiltonove (kanonske) jednadžbe su:

$$\dot{q}_j = \frac{\partial H}{\partial p_j}, \quad \dot{p}_j = -\frac{\partial H}{\partial q_j}, \quad (j = 1, 2, \dots, n). \quad (3.27)$$

Hamiltonove jednadžbe za fizikalni sustav sa  $n$  stupnjeva slobode gibanja i ne sustav od  $2n$  običnih diferencijalnih jednadžbi I reda.

Iz definicije Hamiltonijana (3.26) veza između vremenskih derivacija Hamiltonijana i Lagrangiana je:

$$\frac{\partial H}{\partial t} = -\frac{\partial L}{\partial t}. \quad (3.28)$$

Znači, ni Lagrangian, ni Hamiltonian, konzervativnog (ili općenitije potencijalnog) sustava sa stacionarnim holonomnim vezama ne zavise eksplicitno od vremena.

Lagrangian estice konzervativnog sustava na koju ne djeluju veze je  $L(\vec{r}, \dot{\vec{r}}) = T - U = \frac{m}{2} \dot{\vec{r}}^2 - U(\vec{r})$ . Estica ima  $n = 3$  stupnja slobode gibanja.

Ako su generalizirane koordinate estice Kartezijeve koordinate, pridruženi generalizirani momenti su:

$$p_x = \frac{\partial L}{\partial \dot{x}} = m\dot{x}, \quad p_y = \frac{\partial L}{\partial \dot{y}} = m\dot{y}, \quad p_z = \frac{\partial L}{\partial \dot{z}} = m\dot{z},$$

odgovarajuće komponente impulsa estice što zato se generalizirani momenti ponekad nazivaju generalizirani impulsi.

Ako su generalizirane koordinate estice njene cilindrične koordinate:  $L = T - U = \frac{m}{2} (\dot{r}^2 + r^2 \dot{\theta}^2 + \dot{z}^2) - U(r, \theta, z)$ , pridruženi generalizirani momenti su:

$$p_r = m\dot{r}, \quad p_\theta = m r^2 \dot{\theta}, \quad p_z = m\dot{z},$$

a u slučaju sfernih koordinata je:  $T = \frac{m}{2} (\dot{r}^2 + r^2 \dot{\theta}^2 + r^2 \sin^2 \theta \dot{\phi}^2)$ , generalizirani momenti su:

$$p_r = m\dot{r}, \quad p_\theta = m r^2 \dot{\theta}, \quad p_\phi = m r^2 \sin^2 \theta \dot{\phi}.$$

Hamiltonove jednadžbe moguće je dobiti i direktno iz Hamiltonovog principa (3.2). Fiksni rubni uvjeti zahtijevaju  $\delta q_j(t_2) = \delta q_j(t_1) = 0$ , pa je:

$$0 = \delta I = \int_{t_1}^{t_2} dt L = \int_{t_1}^{t_2} dt \left( \sum_{j=1}^n p_j \dot{q}_j - H \right) = \int_{t_1}^{t_2} dt \sum_{j=1}^n \left( p_j \dot{q}_j + \dot{q}_j p_j - \frac{\partial H}{\partial q_j} q_j - \frac{\partial H}{\partial p_j} p_j \right).$$

Kako je:

$$\int_{t_1}^{t_2} dt p_j \dot{q}_j = \int_{t_1}^{t_2} dt p_j \frac{d}{dt} (q_j) = (p_j q_j)_{t_1}^{t_2} - \int_{t_1}^{t_2} dt \dot{p}_j q_j = - \int_{t_1}^{t_2} dt \dot{p}_j q_j,$$

dobija se:

$$0 = I = \int_{t_1}^{t_2} dt \sum_{j=1}^n \left[ \left( \dot{q}_j - \frac{\partial H}{\partial p_j} \right) p_j - \left( \dot{p}_j + \frac{\partial H}{\partial q_j} \right) q_j \right].$$

Linearna nezavisnost kanonskih varijabli od generaliziranih koordinata  $q_j$  i generaliziranih momenata  $p_j$ , osigurava linearnu nezavisnost njihovih varijacija  $\delta q_j$  i  $\delta p_j$ , pa odmah slijede Hamiltonove jednadžbe (3.27).

Donja tabela prikazuje usporedbu glavnih karakteristika Lagrangeove i Hamiltonove formulacije klasične mehanike:

Formulacija	Varijable	Funkcija	Jednadžbe gibanja
Lagrangeova	$(q_j, \dot{q}_j)$	$L = T \text{ or } U$	$\frac{d}{dt} \frac{\partial L}{\partial \dot{q}_j} - \frac{\partial L}{\partial q_j} = 0$
Hamiltonova	$(q_j, p_j)$	$H = \sum_{i=1}^n p_i \dot{q}_i - L$	$\dot{q}_j = \frac{\partial H}{\partial p_j}; \dot{p}_j = -\frac{\partial H}{\partial q_j}$

Iako su sve formulacije klasične mehanike ekvivalentne, najvažnije teorijske prednosti Hamiltonove (kanonske) formulacije koje olakšavaju prijelaz na kvantu fiziku su:

- Jednak broj  $2n$ , poštih uvjeta neophodnih za partikularno rješenje jednadžbi gibanja i nezavisnih kanonskih varijabli  $(q_i, p_i)$ , za svaki stupanj slobode gibanja po jedan par, koje opisuju stanje sustava,

– to osigurava da su

- Jednadžbe gibanja fizikalnog sustava diferencijalne jednadžbe prvog reda po vremenu i
- Olačava vizualizaciju gibanja fizikalnog sustava kao gibanje točke u faznom prostoru.

### 3.3 Zakoni očuvanja

Hamiltonove jednacije odmah daju zakon o uvanja momenta:

#### Zakon očuvanja momenta $p_j$ :

Ako Hamiltonian  $H$  ne zavisi od generalizirane koordinate  $q_j$ , pridruženi moment  $p_j$  je o uvan:

$$\frac{\partial H}{\partial q_j} = 0 \Rightarrow p_j = \text{const.} \quad (3.29)$$

Takvu koordinatu nazivamo cikli nom.

Potpuna vremenska derivacija Hamiltoniana je prema (3.27):

$$\frac{dH}{dt} = \frac{\partial H}{\partial t} + \sum_{j=1}^n \left( \frac{\partial H}{\partial q_j} \dot{q}_j + \frac{\partial H}{\partial p_j} \dot{p}_j \right) = \frac{\partial H}{\partial t}, \quad (3.30)$$

-to odmah daje:

#### Zakon očuvanja Hamiltoniana $H$ :

Ako Hamiltonian  $H$  (ili Lagrangian  $L$ ) sustava ne zavisi eksplisitno od vremena, onda je Hamiltonian o uvana veli ina:

$$\frac{\partial H}{\partial t} = 0 \Rightarrow H = \text{const.} \quad (3.31)$$

Za konzervativni sustav sa holonomnim stacionarnim vezama Hamiltonian ne zavisi od vremena, pa je (3.31) zakon o uvanja energije za takav sustav. Zaista, za konzervativni sustav je  $\frac{\partial U}{\partial q_j} = 0$ , pa je:  $p_j = \frac{\partial L}{\partial \dot{q}_j} = \frac{\partial T}{\partial \dot{q}_j}$ , te vrijedi:

$$T = \sum_{i=1}^N \frac{m_i}{2} \dot{r}_i^2 = \sum_{i=1}^N \frac{m_i}{2} \sum_{j,k=1}^n \frac{\partial \vec{r}_i}{\partial q_j} \cdot \frac{\partial \vec{r}_i}{\partial q_k} \dot{q}_j \dot{q}_k \Rightarrow \sum_{j=1}^n \frac{\partial T}{\partial \dot{q}_j} \dot{q}_j = 2T,$$

tako da je:

$$H = \sum_{j=1}^n \frac{\partial L}{\partial \dot{q}_j} \dot{q}_j - L = \sum_{j=1}^n \frac{\partial T}{\partial \dot{q}_j} \dot{q}_j - L = 2T - (T - U) = T + U = E.$$

### Zakon očuvanja energije

Za konzervativni sustav sa holonomnim stacionarnim vezama Hamiltonian sustava  $H$  jednak je ukupnoj energiji sustava koja je očuvana u veličini:

$$H(\mathbf{q}, \mathbf{p}) = T + U = E = \text{const.} \quad (3.32)$$

Primjer 2. Hamiltonove jednadžbe za esticu na koju djeluje konzervativna sila.

Ako su koordinate estice na koju djeluje konzervativna sila Kartezijevi, Lagrangian sustava je  $L = T - U = \frac{m}{2}(\dot{x}^2 + \dot{y}^2 + \dot{z}^2) - U(x, y, z)$ , pa su generalizirani momenti  $\vec{p} = m\dot{\vec{r}}$ , tj.  $\dot{\vec{r}} = \frac{\vec{p}}{m}$ , te je Hamiltonian estice:

$$H(\vec{r}, \vec{p}) = T + U = \frac{\vec{p}^2}{2m} + U(\vec{r}) = E.$$

Kinetička energija estice je  $T = \frac{\vec{p}^2}{2m}$ . Hamiltonove jednadžbe su:

$$\dot{r}_i = \frac{\partial H}{\partial p_i} = \frac{p_i}{m}, \quad \dot{p}_i = -\frac{\partial H}{\partial r_i} = -\frac{\partial U}{\partial r_i} = F_i, \quad (i = 1, 2, 3),$$

ili eksplisitno:

$$\begin{aligned} \dot{x} &= \frac{p_x}{m} & \dot{p}_x &= F_x \\ \dot{y} &= \frac{p_y}{m} & \dot{p}_y &= F_y, \\ \dot{z} &= \frac{p_z}{m} & \dot{p}_z &= F_z \end{aligned}$$

sustav od pet diferencijalnih jednadžbi prvog reda ije opće rješenje su kanonske varijable  $q_i(t)$  i  $p_i(t)$ . Iz pet početnih uvjeta  $q_i(0)$  i  $p_i(0)$ , dobija se partikularno rješenje koje predstavlja putanju estice u faznom prostoru.

Eliminacijom momenata iz gornjih jednadžbi dobijaju se tri diferencijalne jednadžbe II reda:  $m\ddot{r}_i = F_i$ , koje su Lagrangeove/Newtonove jednadžbe gibanja estice.

Primjer 3. Hamiltonian linearnog harmoničkog oscilatora.

Za jednodimenzionalni linearni harmonički oscilator Lagrangian je:

$$L(x, \dot{x}) = T \text{ or } U = \frac{1}{2} m \dot{x}^2 - \frac{1}{2} k x^2.$$

Generalizirani moment je  $p = \frac{\partial L}{\partial \dot{x}} = m \dot{x}$ , pa je prema (3.26) Hamiltonian LHO:

$$H(x, p) = T + U = \frac{p^2}{2m} + \frac{1}{2} k x^2 = E.$$

Hamiltonove jednadžbe su:  $\dot{x} = \frac{p}{m}$ ,  $\dot{p} = -kx$ .

Eliminiramo li moment odmah dobijamo jednadžbu gibanja LHO (1.72):  $\ddot{x} + \omega_0^2 x = 0$ .

Primjer 4. Hamiltonian estice u spoljašnjem elektromagnetskom polju.

Vidjeli smo u Primjeru 4. Poglavlja 2. da je Lagrangian estice mase  $m$  i naboja  $e$  u spoljašnjem elektromagnetskom polju:

$$L = L(\vec{r}, \dot{\vec{r}}, t) = T - \tilde{U} = \frac{1}{2} m \dot{\vec{r}}^2 - e \vec{A}(\vec{r}, t) + e \vec{r} \cdot \vec{A}(\vec{r}, t), \quad (2.26)$$

pa su generalizirani momenti:

$$\vec{p} = m \dot{\vec{r}} + e \vec{A} \Rightarrow \dot{\vec{r}} = \frac{\vec{p} - e \vec{A}}{m}. \quad (3.33)$$

Prema (3.26) Hamiltonian je:  $H = \vec{p} \cdot \dot{\vec{r}} - L = \vec{p} \cdot \dot{\vec{r}} - \frac{m}{2} \dot{\vec{r}}^2 + e - e \vec{r} \cdot \vec{A}$ , pa eliminacijom brzine konačno dobijamo:

$$H = H(\vec{r}, \vec{p}, t) = \frac{(\vec{p} - e \vec{A})^2}{2m} + e. \quad (3.34)$$

Lako se uvjeriti da iz (3.34) slijede Hamiltonove jednadžbe koje su potpuno ekvivalentne Lagrangeovim, tj. Newtonovim jednadžbama gibanja estice na koju djeluje Lorentzova sila (2.23).

Hamiltonian (3.34) je primjer šprincipa minimalne supstitucije koji tvrdi da: ako je Hamiltonian estice bez naboja  $H = \frac{\vec{p}^2}{2m} + U$ , onda se Hamiltonian (energija) takve nabijene estice naboja  $e$  u elektromagnetskom polju dobija dodavanjem električne potencijalne energije  $e\Phi$  i jednostavnom supstitucijom  $\vec{p} \rightarrow \vec{p} - e \vec{A}$ .

### 3.4 Poissonove zgrade

Najop enitija formulacija jednadžbi gibanja u analiti koj mehanici je u obliku Poissonovih zagrada.

Bilo koja fizikalna veličina  $F$  u mehanici se može napisati kao funkcija  $2n$  kanonskih varijabli  $(q_i, p_i)$  i vremena  $t$ :  $F = F(\mathbf{q}, \mathbf{p}, t)$ . Jednadžba gibanja takve dinamičke veličine  $F$  je:

$$\frac{dF}{dt} = \frac{\partial F}{\partial t} + \sum_{j=1}^n \left( \frac{\partial F}{\partial q_j} \dot{q}_j + \frac{\partial F}{\partial p_j} \dot{p}_j \right) = \frac{\partial F}{\partial t} + \sum_{j=1}^n \left( \frac{\partial F}{\partial q_j} \frac{\partial H}{\partial p_j} - \frac{\partial F}{\partial p_j} \frac{\partial H}{\partial q_j} \right). \quad (3.35)$$

Zadnji član je operator koji povezuje  $F$  i Hamiltonian  $H$ .

**Definicija: Poissonova zgrada**

Poissonova zgrada  $\{F, G\}$  dvije dinamičke veličine  $F(\mathbf{q}, \mathbf{p}, t)$  i  $G(\mathbf{q}, \mathbf{p}, t)$  je po definiciji:

$$\{F, G\} = \sum_{i=1}^n \left( \frac{\partial F}{\partial q_i} \frac{\partial G}{\partial p_i} - \frac{\partial F}{\partial p_i} \frac{\partial G}{\partial q_i} \right). \quad (3.36)$$

Lako se dokazuju osnovna svojstva Poissonovih zagrada:

1.  $\{G, F\} = -\{F, G\}$ , – antikomutativnost,
2.  $\{aF + bG, H\} = a\{F, H\} + b\{G, H\}$ , – linearnost i distributivnost,
3.  $\{F, GH\} = \{F, G\}H + G\{F, H\}$ ,
4.  $\frac{\partial}{\partial t} \{F, G\} = \left\{ \frac{\partial F}{\partial t}, G \right\} + \left\{ F, \frac{\partial G}{\partial t} \right\}$ ,
5.  $\{F, \{G, H\}\} + \{G, \{H, F\}\} + \{H, \{F, G\}\} = 0$  – Jacobi identitet.

Za svaku fizikalnu veličinu  $F$ , specijalan značajima ima njena Poissonova zgrada s Hamiltonianom  $H$  fizikalnog sustava, jer je prema (3.35):

**Definicija: Jednadžbe gibanja**

Diferencijalna jednadžba koja određuje vremensku promjenu bilo koje dinamičke veličine  $F(\mathbf{q}, \mathbf{p}, t)$  naziva se jednadžbom gibanja te fizikalne veličine i jednaka je:

$$\frac{dF}{dt} = \frac{\partial F}{\partial t} + \{F, H\}. \quad (3.37)$$

Jednadžbe gibanja izraflene u obliku Poissonovih zagrada isti u Hamiltonian (energiju) H fizikalnog sustava kao najvaflniju dinami ku veli inu sustava.

Dinami ka veli ina  $F(\mathbf{q}, \mathbf{p})$ , koja ne zavisi eksplisitno od vremena, je o uvana veli ina, ako i samo ako je:

$$\{F, H\} = 0. \quad (3.38)$$

<sup>T</sup>očki-e, vafl Poissonov teorem: ako su  $F(\mathbf{q}, \mathbf{p}) = \text{const.}$  i  $G(\mathbf{q}, \mathbf{p}) = \text{const.}$  dvije o uvane veli ine, tada je i njihova Poissonova zagrada o uvana veli ina:  $\{F, G\} = \text{const.}$

Dokaz lako slijedi iz Jacobi identiteta.

Za najjednostavnije dinami ke veli ine, same kanonske varijable je:

### Hamiltonove jednadžbe

Hamiltonove jednadžbe sustava opisanog Hamiltonijanom  $H(\mathbf{q}, \mathbf{p}, t)$  su:

$$\dot{q}_i = \{q_i, H\}, \quad \dot{p}_i = \{p_i, H\}. \quad (3.39)$$

Fundamentalne Poissonove zgrade samih kanonskih varijabli su prema definiciji (3.36):

$$\{q_i, p_j\} = \delta_{ij}, \quad \{q_i, q_j\} = \{p_i, p_j\} = 0. \quad (3.40)$$

### 3.5 Analogija sa kvantnom mehanikom

Hamiltonova formulacija klasi ne mehanike preko Poissonovih zagrada omogu uje jednostavan prijelaz na kvantu mehaniku, tj. kvantizaciju sustava koji imaju klasi an analogon.

Neka je sustav N klasi nih estica sa n stupnjeva slobode gibanja opisan Hamiltonijanom  $H(q_i, p_i, t)$ . Konjugirane kanonske varijable  $(q_i, p_i)$ , ( $i = 1, 2, \dots, n$ ), potpuno odre uju mehani ko stanje sustava u nekom trenutku t. Jednadžba gibanja bilo koje dinami ke varijable  $F(\mathbf{q}, \mathbf{p}, t)$  je onda:

$$\frac{dF}{dt} = \frac{\partial F}{\partial t} + \{F, H\}. \quad (3.37)$$

U kvantnoj mehanici fizikalne veli ine (observable) su linearni Hermitski operatori. Kvantizacija sustava od N kvantnih estica sa n stupnjeva slobode gibanja zna i zamjenu dinami ke veli ine  $F(\mathbf{q}, \mathbf{p}, t)$  iz klasi ne fizike, analogom kvantno mehani kom observablom  $\hat{F}$ , reprezentiranom linearnim Hermitskim operatorom  $\hat{F}(\hat{\mathbf{q}}, \hat{\mathbf{p}}, t)$ .

To zna i da je kvantni sustav opisan kvantnim Hamiltonijanom  $\hat{H} = \hat{H}(\hat{q}_i, \hat{p}_i, t)$ . Jednadžba gibanja, koja se naziva Heisenbergova jednadžba, bilo koje observable je:

$$\frac{d\hat{F}}{dt} = \frac{\partial \hat{F}}{\partial t} + \frac{1}{i\hbar} [\hat{F}, \hat{H}], \quad (3.41)$$

gdje je  $\hbar = \frac{h}{2}$  Planckova konstanta, a komutator operatora  $\hat{F}$  i  $\hat{H}$  je po definiciji:

$$[\hat{F}, \hat{G}] = \hat{F}\hat{G} - \hat{G}\hat{F}.$$

Pored i (3.41) i (3.37) vidimo da se prijelaz sa Hamiltonove formulacije klasične mehanike u Heisenbergovu formulaciju kvantne mehanike vrati formalnom smjenom:

$$F \rightarrow \hat{F}, \quad \{F, H\} \rightarrow \frac{1}{i\hbar} [\hat{F}, \hat{H}]. \quad (3.42)$$

Specijalno, Heisenbergove jednadžbe za generalizirane koordinate  $\hat{q}_i$  i momente  $\hat{p}_i$  su:

$$\frac{d\hat{q}_i}{dt} = \frac{1}{i\hbar} [\hat{q}_i, \hat{H}], \quad \frac{d\hat{p}_i}{dt} = \frac{1}{i\hbar} [\hat{p}_i, \hat{H}], \quad (3.43)$$

u skladu s Hamiltonovim jednadžbama klasične mehanike (3.39).

Napomena: Kvantna i klasična fizika razlikuju se u matematičkom karakteru dinamičkih veličina kojima se opisuje gibanje fizikalnog sustava. U klasičnoj fizici mjerljive fizikalne veličine su kontinuirane i derivabilne realne funkcije. U kvantnoj fizici mjerljive fizikalne veličine (observable) su matematički komplikirani objekti ili linearni Hermitski operatori koji djeluju u prostoru stanja fizikalnog sustava. Klasična kvantna mehanika bitno se razlikuju i u opisu stanja fizikalnog sustava u nekom trenutku vremena. U klasičnoj fizici stanje sustava je određeno skupom od  $2n$  vrijednosti kanonskih varijabli koje su realne, derivabilne funkcije vremena. Skup stanja fizikalnog sustava je njegov fazni prostor. U kvantnoj mehanici stanje sustava u nekom trenutku vremena je određeno skupom svojstvenih vrijednosti kompletног skupa komutirajućih observabli (observabli koje se mogu simultano mjeriti) i reprezentira se vektorom u beskonačno dimenzionalnom prostoru koji se naziva Hilbertov prostor stanja fizikalnog sustava. Razlika je u tome da smatratim posljedicom Heisenbergovih relacija nedređene enosti koje zahtijevaju da za kvantne kanonske varijable vrijedi:

$$[\hat{q}_i, \hat{p}_j] = i\hbar \delta_{ij}, \quad [\hat{q}_i, \hat{q}_j] = [\hat{p}_i, \hat{p}_j] = 0, \quad (3.44)$$

–to je analogno fundamentalnim Poissonovim zagradama klasične mehanike (3.40).

### 3.6 Kanonske transformacije

Kao ni Lagrangian, ni Hamiltonian sustava nije jednozna no odre en. Transformacije kanonskih varijabli koje ostavljaju invarijantnim Hamiltonove jednadžbe nazivaju se kanonskim transformacijama. Kanonske transformacije zamjenjuju jednu bazu faznog prostora  $(q_i, p_i)$  drugom bazom  $(Q_i, P_i)$ . Osnovna ideja je prelazak kanonske transformacije koja maksimalno pojednostavljuje jednadžbe gibanja. Ideal je Hamiltonian koji je o uvana veli ina i u kome su sve generalizirane koordinate ciklične, jer je tada rješenje Hamiltonovih jednadžbi trivijalno:

$$H = H(p_i) = \text{const.} \Rightarrow p_i = \text{const.} = p_{i_0} \Rightarrow \dot{q}_i = \frac{\partial H}{\partial p_{i_0}} = \text{const.} = \omega_i \Rightarrow q_i(t) = \omega_i t + q_{i_0}.$$

#### Definicija: Kanonska transformacija

Transformacija kanonskih varijabli:

$$q_i \rightarrow Q_i = Q_i(q, p, t), \quad p_i \rightarrow P_i = P_i(q, p, t), \quad (3.45)$$

je kanonska, ako i u novim varijablama  $(Q_i, P_i)$  vrijede Hamiltonove jednadžbe:

$$\dot{Q}_i = \frac{\partial H'}{\partial P_i}, \quad \dot{P}_i = -\frac{\partial H'}{\partial Q_i}, \quad (3.46)$$

gdje je  $H'(\mathbf{Q}, \mathbf{P}, t)$  transformirani Hamiltonian sustava.

Da bi transformacija (3.45) bila kanonska potreban uvjet je važenje Hamiltonovog principa (3.2) kako u starim, tako i u novim kanonskim varijablama, tj.

$$\int_{t_1}^{t_2} dt \left( \sum_{i=1}^n p_i \dot{q}_i - H \right) = \int_{t_1}^{t_2} dt \left( \sum_{i=1}^n P_i \dot{Q}_i - H' \right) = 0,$$

ili

$$\int_{t_1}^{t_2} dt \left[ \sum_{i=1}^n (p_i \dot{q}_i - P_i \dot{Q}_i) + (H' - H) \right] = 0. \quad (3.47)$$

Uvjet (3.47) će biti ispunjen ako se podintegralne funkcije ( $L$  i  $L'$ ) u starom i novom djelovanju (akciji) razlikuju najviše do na potpunu vremensku derivaciju  $\frac{dF}{dt}$  funkcije  $F$  koja se naziva generator kanonske transformacije. Rubni uvjeti osiguravaju da je varijacija integrala totalne vremenske derivacije  $\frac{dF}{dt} = 0$ . Znači, mora vrijediti:

$$dF = \sum_{i=1}^n (p_i dq_i - P_i dQ_i) + (H' - H) dt. \quad (3.48)$$

Generatorska funkcija  $F$  je proizvoljna funkcija  $4n + 1$  varijable od starih i novih kanonskih varijabli:  $q_i, p_i, Q_i, P_i$  i eventualno vremena  $t$ , od kojih su zbog transformacija (3.45) samo  $2n + 1$  linearno nezavisne varijable. Izbor nezavisnih varijabli dijeli generatore kanonskih transformacija  $F$  u 4 tipa:

$$F_1(q, Q, t), \quad F_2(q, P, t), \quad F_3(Q, p, t), \quad F_4(p, P, t).$$

Relacija (3.48) je potpuna vremenska derivacija  $F_1$ , to zna i da važi:

$$H' = H + \frac{\partial F_1}{\partial t}, \quad p_i = \frac{\partial F_1}{\partial q_i}, \quad P_i = -\frac{\partial F_1}{\partial Q_i}. \quad (3.49)$$

Zadnje dvije relacije u (3.49) omoguju da se  $q_i$  i  $p_i$  izraze kao funkcije od  $Q_i, P_i$  i  $t$ , a prva relacija omoguće da se nađe novi Hamiltonian  $H'$  kao funkcija  $Q_i, P_i$  i  $t$ .

Drugi tipovi generatorskih funkcija su Legendreove transformacije  $F_1$ . Na primjer,

$$d\left(F_1 + \sum_{i=1}^n Q_i P_i\right) = \sum_{i=1}^n (p_i dq_i + Q_i dP_i) + (H' - H) dt, \quad \Rightarrow \quad F_2(q, P, t) = F_1 + \sum_{i=1}^n P_i Q_i,$$

pa je:

$$H' = H + \frac{\partial F_2}{\partial t}, \quad p_i = \frac{\partial F_2}{\partial q_i}, \quad Q_i = \frac{\partial F_2}{\partial P_i}. \quad (3.50)$$

Analogno je:

$$d\left(F_1 - \sum_{i=1}^n q_i p_i\right) = -\sum_{i=1}^n (q_i dp_i + P_i dQ_i) + (H' - H) dt, \quad \Rightarrow \quad F_3(Q, p, t) = F_1 - \sum_{i=1}^n p_i q_i,$$

$$H' = H + \frac{\partial F_3}{\partial t}, \quad q_i = -\frac{\partial F_3}{\partial p_i}, \quad P_i = -\frac{\partial F_3}{\partial Q_i}, \quad (3.51)$$

kao i:

$$d\left(F_1 - \sum_{i=1}^n q_i p_i + \sum_{i=1}^n Q_i P_i\right) = -\sum_{i=1}^n (q_i dp_i - Q_i dP_i) + (H' - H) dt$$

$$\Rightarrow F_4(p, P, t) = F_1 - \sum_{i=1}^n p_i q_i + \sum_{i=1}^n P_i Q_i,$$

$$H' = H + \frac{\partial F_4}{\partial t}, \quad q_i = -\frac{\partial F_4}{\partial p_i}, \quad Q_i = \frac{\partial F_4}{\partial P_i}. \quad (3.52)$$

### Primjer 5. Kanonske transformacije

- Ako je generatorska funkcija:  $F_2 = \sum_{i=1}^n q_i P_i$ , prema (3.50):

$$H' = H, \quad p_i = \frac{\partial F_2}{\partial q_i} = P_i, \quad Q_i = \frac{\partial F_2}{\partial P_i} = q_i,$$

je identična kanonska transformacija.

- Funkcija  $F_1 = \sum_{i=1}^n q_i Q_i$ , generira prema (3.49):

$$H' = H, \quad p_i = \frac{\partial F_1}{\partial q_i} = Q_i, \quad P_i = -\frac{\partial F_1}{\partial Q_i} = -q_i,$$

kanonsku transformaciju koja zamjenjuje generalizirane koordinate i generalizirane momente (minus znak u  $P_i \rightarrow -q_i$ , odraz je minus znaka u Hamiltonovim jednadžbama  $\dot{p}_i = -\frac{\partial H}{\partial q_i}$ ).

- U slučaju jednog stupnja slobode funkcija  $F_1 = \frac{m}{2} x^2 \operatorname{ctg} X$ , prema (3.49) generira:

$$H'(X, P) = H(x, p), \quad p = \frac{\partial F_1}{\partial x} = m x \operatorname{ctg} X, \quad P = -\frac{\partial F_1}{\partial X} = \frac{m x^2}{2 \sin^2 X}.$$

Izrazimo li stare varijable preko novih, generirana kanonska transformacija je:

$$x = \sqrt{\frac{2P}{m}} \sin X, \quad p = \sqrt{2m/P} \cos X.$$

Za jednodimenzionalni LHO iz Primjera 3. Hamiltonian je:  $H(x, p) = \frac{p^2}{2m} + \frac{1}{2} m^{-2} x^2$ , dok je novi Hamiltonian jednostavno:

$$H'(X, P) = \omega P_0 = E = \text{const.},$$

jer zbog cikličnosti nove koordinate  $X$  važi:  $\dot{P} = -\frac{\partial H'}{\partial X} = 0 \Rightarrow P = \text{const.} = P_0 = \frac{E}{\omega}$ . Druga

Hamiltonova jednadžba za nove kanonske varijable je:  $\dot{X} = \frac{\partial H'}{\partial P} = \omega = \text{const.}$ , sa rješenjem:

$X(t) = \omega t + \varphi_0$ . Napisano preko stare varijable  $x$ , rješenje je naravno prosti harmonijski titranje:  $x(t) = \sqrt{\frac{2E}{m^2}} \sin(\omega t + \varphi_0)$ .

- Razmotrimo i primjer infinitezimalne kanonske transformacije generirane funkcijom koja se infinitezimalno razlikuje od jedini ne:

$$F_2 = F_2(\mathbf{q}, \mathbf{P}, t) = \sum_{i=1}^n q_i P_i + f(\mathbf{q}, \mathbf{P}) + O(\varepsilon^2). \quad (3.53)$$

Prema (3.50), zanemarujući lanove reda  $\varepsilon^2$ , je:

$$Q_i = q_i + \frac{\partial f}{\partial P_i}, \quad p_i = P_i + \frac{\partial f}{\partial q_i}.$$

Kako su  $\frac{\partial f}{\partial P_i}$  i  $\frac{\partial f}{\partial q_i}$  već prvog reda po  $\varepsilon$ , u gornjim izrazima  $P_i$  možemo zamjeniti sa  $p_i$ .

Tako se za promjenu kanonskih varijabli pri infinitezimalnoj kanonskoj transformaciji koju generira funkcija  $f(\mathbf{q}, \mathbf{p})$  dobija:

$$q_i = Q_i - q_i = \frac{\partial f}{\partial p_i}, \quad p_i = P_i - p_i = -\frac{\partial f}{\partial q_i}, \quad (3.54)$$

–to se može napisati u obliku:

$$q_i = \{q_i, f\}, \quad p_i = \{p_i, f\}. \quad (3.55)$$

Odaberemo li  $\varepsilon = dt$  i  $f = H$ , generatorska funkcija je:  $F_2 = F_2(q, P, t) = \sum_{i=1}^n q_i P_i + dt H(q, p)$ ,

i relacije (3.55) postaju Hamiltonove jednadžbe:

$$q_i = dt \{q_i, H\} = \dot{q}_i dt = dq_i, \quad p_i = dt \{p_i, H\} = \dot{p}_i dt = dp_i. \quad (3.56)$$

Relacije (3.56) pokazuju da je Hamiltonian generator infinitezimalnih kanonskih transformacija vremenske evolucije sustava koje mijenjaju stanje fizikalnog sustava  $(q_i(t), p_i(t))$  u trenutku  $t$  u stanje  $(q_i(t + dt), p_i(t + dt)) = (q_i(t) + dq_i, p_i(t) + dp_i)$  u sljedećem trenutku  $t + dt$ .

### 3.7 Invarijantnost Poissonovih zagrada pri kanonskim transformacijama

Kanonske varijable  $(q_i, p_i)$  ine bazu faznog prostora fizikalnog sustava. Fazni prostor je  $2n$  dimenzionalni prostor ije koordinatne osi su kanonske varijable. Poloflaj klasičnog fizikalnog sustava u nekom trenutku je jedna točka u faznom prostoru. Kanonske transformacije mijenjaju stare u nove kanonske varijable  $(q_i, p_i) \rightarrow (Q_i, P_i)$ , tj. zamjenjuju jedan bazis faznog prostora drugim.

Poissonove zgrade (3.36) definirane su pomoću parcijalnih derivacija dinamičkih veličina po kanonskim varijablama. Ali, Poissonove zgrade ne zavise od izbora bazisa faznog prostora, tj.:

### Invarijantnost Poissonovih zagrada

Poissonova zagrada  $\{F, G\}$  bilo koje dvije dinami ke veli ine je invarijantna pri kanonskoj transformaciji  $(q_i, p_i) \rightarrow (Q_i, P_i)$ , tj.

$$\{F, G\}_{(q, p)} = \{F, G\}_{(Q, P)}. \quad (3.57)$$

Zbog svojstva invarijantnosti (3.57), ne moramo navoditi bazis faznog prostora u odnosu na koji se ra una Poissonova zagrada.

Za dokaz relacije (3.57) trebaju nam dvije pomo ne relacije. Iz (3.49) i (3.50) slijedi:

$$\frac{\partial p_i}{\partial Q_k} = \frac{\partial^2 F_1}{\partial q_i \partial Q_k} = -\frac{\partial P_k}{\partial q_i}, \quad \frac{\partial p_i}{\partial P_k} = \frac{\partial^2 F_2}{\partial P_k \partial q_i} = \frac{\partial Q_k}{\partial q_i},$$

pa vaffli:

$$\frac{\partial p_i}{\partial Q_k} = -\frac{\partial P_k}{\partial q_i}, \quad \frac{\partial P_k}{\partial p_i} = \frac{\partial q_i}{\partial Q_k}. \quad (3.58)$$

Fundamentalna Poissonova zagrada kanonskih varijabli  $(Q_i, P_i)$  u bazisu  $(q, p)$  je prema (3.58):

$$\{Q_i, P_j\} = \sum_{k=1}^n \left( \frac{\partial Q_i}{\partial q_k} \frac{\partial P_j}{\partial p_k} - \frac{\partial Q_i}{\partial p_k} \frac{\partial P_j}{\partial q_k} \right) = \sum_{k=1}^n \left( \frac{\partial Q_i}{\partial q_k} \frac{\partial q_k}{\partial Q_j} + \frac{\partial Q_i}{\partial p_k} \frac{\partial p_k}{\partial Q_j} \right) = \frac{\partial Q_i}{\partial Q_j} = \delta_{ij}, \quad (3.59)$$

u skladu s (3.40). Potpuno analogno se pokazuje da vafle preostale fundamentalne Poissonove zgrade, i tovi-e vrijedi teorem:

Transformacija  $(q_i, p_i) \rightarrow (Q_i, P_i)$  je kanonska, ako i samo ako za nove varijable  $(Q_i, P_i)$  vafle fundamentalne Poissonove zgrade, tj.

$$\{Q_i, P_j\}_{(q, p)} = \delta_{ij}, \quad \{Q_i, Q_j\}_{(q, p)} = \{P_i, P_j\}_{(q, p)} = 0. \quad (3.60)$$

Za bilo koje dvije fizikalne veli ine  $F$  i  $G$  je:

$$\begin{aligned} \{F, G\}_{(q, p)} &= \sum_{i=1}^n \left( \frac{\partial F}{\partial q_i} \frac{\partial G}{\partial p_i} - \frac{\partial F}{\partial p_i} \frac{\partial G}{\partial q_i} \right) = \sum_{i=1}^n \left[ \left( \sum_{j=1}^n \left( \frac{\partial F}{\partial Q_j} \frac{\partial Q_j}{\partial q_i} + \frac{\partial F}{\partial P_j} \frac{\partial P_j}{\partial q_i} \right) \right) \left( \sum_{k=1}^n \left( \frac{\partial G}{\partial Q_k} \frac{\partial Q_k}{\partial p_i} + \frac{\partial G}{\partial P_k} \frac{\partial P_k}{\partial p_i} \right) \right) \right] \\ &\quad - \sum_{i=1}^n \left[ \left( \sum_{j=1}^n \left( \frac{\partial F}{\partial Q_j} \frac{\partial Q_j}{\partial p_i} + \frac{\partial F}{\partial P_j} \frac{\partial P_j}{\partial p_i} \right) \right) \left( \sum_{k=1}^n \left( \frac{\partial G}{\partial Q_k} \frac{\partial Q_k}{\partial q_i} + \frac{\partial G}{\partial P_k} \frac{\partial P_k}{\partial q_i} \right) \right) \right]. \end{aligned}$$

Pregrupiranjem desne strane gornjeg izraza mogu se izdvojiti derivacije F i G po novim kanonskim varijablama:

$$\begin{aligned} \{F,G\}_{(q,p)} &= \sum_{j,k=1}^n \left[ \frac{\partial F}{\partial Q_j} \frac{\partial G}{\partial Q_k} \sum_{i=1}^n \left( \frac{\partial Q_j}{\partial q_i} \frac{\partial Q_k}{\partial p_i} - \frac{\partial Q_j}{\partial p_i} \frac{\partial Q_k}{\partial q_i} \right) + \frac{\partial F}{\partial Q_j} \frac{\partial G}{\partial P_k} \sum_{i=1}^n \left( \frac{\partial Q_j}{\partial q_i} \frac{\partial P_k}{\partial p_i} - \frac{\partial Q_j}{\partial p_i} \frac{\partial P_k}{\partial q_i} \right) \right] + \\ &+ \sum_{j,k=1}^n \left[ \frac{\partial F}{\partial P_j} \frac{\partial G}{\partial Q_k} \sum_{i=1}^n \left( \frac{\partial P_j}{\partial q_i} \frac{\partial Q_k}{\partial p_i} - \frac{\partial P_j}{\partial p_i} \frac{\partial Q_k}{\partial q_i} \right) + \frac{\partial F}{\partial P_j} \frac{\partial G}{\partial P_k} \sum_{i=1}^n \left( \frac{\partial P_j}{\partial q_i} \frac{\partial P_k}{\partial p_i} - \frac{\partial P_j}{\partial p_i} \frac{\partial P_k}{\partial q_i} \right) \right], \end{aligned}$$

tj.

$$\{F,G\}_{(q,p)} = \sum_{j,k=1}^n \left[ \frac{\partial F}{\partial Q_j} \frac{\partial G}{\partial Q_k} \{Q_j, Q_k\} + \frac{\partial F}{\partial Q_j} \frac{\partial G}{\partial P_k} \{Q_j, P_k\} + \frac{\partial F}{\partial P_j} \frac{\partial G}{\partial Q_k} \{P_j, Q_k\} + \frac{\partial F}{\partial P_j} \frac{\partial G}{\partial P_k} \{P_j, P_k\} \right],$$

-to zbog (3.60) zaista daje:

$$\{F,G\}_{(q,p)} = \sum_{j,k=1}^n \left( \frac{\partial F}{\partial Q_j} \frac{\partial G}{\partial P_k} \delta_{jk} - \frac{\partial F}{\partial P_j} \frac{\partial G}{\partial Q_k} \delta_{jk} \right) = \sum_{k=1}^n \left( \frac{\partial F}{\partial Q_k} \frac{\partial G}{\partial P_k} - \frac{\partial F}{\partial P_k} \frac{\partial G}{\partial Q_k} \right) = \{F,G\}_{(Q,P)}.$$

#### Primjer 6. Poissonove zgrade komponenti angularnog momenta.

Moment impulsa (angularni moment) estice je:  $\vec{l} = \vec{r} \times \vec{p}$ . Ako za generalizirane koordinate odaberemo Kartezijeve koordinate (x,y,z) estice, komponente angularnog momenta su:

$$l_x = y p_z - z p_y, \quad l_y = z p_x - x p_z, \quad l_z = x p_y - y p_x. \quad (3.61)$$

Poissonova zagrada komponenti  $l_x$  i  $l_y$  je:

$$\{l_x, l_y\} = \frac{\partial l_x}{\partial x} \frac{\partial l_y}{\partial p_x} - \frac{\partial l_x}{\partial p_x} \frac{\partial l_y}{\partial x} + \frac{\partial l_x}{\partial y} \frac{\partial l_y}{\partial p_y} - \frac{\partial l_x}{\partial p_y} \frac{\partial l_y}{\partial y} + \frac{\partial l_x}{\partial z} \frac{\partial l_y}{\partial p_z} - \frac{\partial l_x}{\partial p_z} \frac{\partial l_y}{\partial z}.$$

Prema definiciji (3.61), prva tri lana u gornjem izrazu su nula, te preostaje:

$$\{l_x, l_y\} = (-p_y)(-x) - y p_x = l_z. \quad (3.62)$$

Lako se uvjeriti da vaili i:

$$\{l_y, l_z\} = l_x \quad i \quad \{l_z, l_x\} = l_y. \quad (3.62')$$

Poissonove zgrade komponenti angularnog momenta estice su onda:

$$\{l_i, l_j\} = \sum_{k=1}^3 \delta_{ijk} l_k. \quad (3.63)$$

Relacije (3.63) pokazuju da se vi-e od jedne komponente angularnog momenta estice ne mogu odabrat i kao generalizirane koordinate, niti mogu biti generalizirani momenti, jer njihova Poissonova zagrada ne i- ezava. Tako e, bilo koje dvije komponente angularnog momenta ne mogu biti par konjugiranih kanonskih varijabli.

Ali, koriste i svojstva Poissonovih zagrada, lako se pokazuje da je:

$$\{ \vec{l}^2, l_i \} = 0, \quad (3.64)$$

-to zna i da absolutna vrijednost i bilo koja od komponenti angularnog momenta estice mogu biti generalizirane koordinate ili momenti estice. Analogan rezultat vafl za esticu i u kvantnoj mehanici.

### 3.8 Hamilton-Jacobieva jednadžba

Jo-jedna formulacija klasi ne mehanike, tzv. Hamilton-Jacobieva formulacija, zasniva se na postojanju kanonske transformacije koja maksimalno pojednostavljuje jednadžbe gibanja. U ovoj formulaciji mehanike, osnovna jednadžba – Hamilton-Jacobieva jednadžba, je parcijalna diferencijalna jednadžba prvog reda ije rje-enje odre uje generator kanonske transformacije S koja sve kanonske varijable transformira u konstante gibanja odre ene po etnim uvjetima.

Razmotrimo kanonsku transformaciju odre enu generatorom tipa  $F_2(\mathbf{q}, \mathbf{P}, t) \equiv S$  takvu da je novi Hamiltonian nula:

$$H' = H + \frac{\partial S}{\partial t} = 0 \Rightarrow \dot{Q}_i = \frac{\partial H'}{\partial P_i} = 0, \quad \dot{P}_i = -\frac{\partial H'}{\partial Q_i} = 0, \quad (3.65)$$

pa je rje-enje Hamiltovih jednadžbi gibanja trivijalno:

$$Q_i = \alpha_i = \text{const.}, \quad P_i = \beta_i = \text{const.}, \quad (i = 1, 2, \dots, n). \quad (3.66)$$

Kako su novi impulsi konstante, prema (3.50) traflena generatorska funkcija  $S = S(\mathbf{q}, \boldsymbol{\beta}, t)$  mora zadovoljavati:

$$H' = H + \frac{\partial S}{\partial t} = 0, \quad \dot{Q}_i = \frac{\partial S}{\partial \dot{Q}_i}, \quad P_i = \frac{\partial S}{\partial q_i}. \quad (3.67)$$

Hamiltonian je funkcija starih kanonskih varijabli  $H = H(\mathbf{q}, \mathbf{p}, t)$ . Izrazimo li stare generalizirane momente kao  $P_i = \frac{\partial S}{\partial \dot{Q}_i}$ , prva od jednadžbi (3.67) postaje Hamilton-Jacobieva jednadžba:

$$\frac{\partial S}{\partial t} + H\left(Q_i, \frac{\partial S}{\partial Q_i}, t\right) = 0. \quad (3.68)$$

Hamilton-Jacobieva jednadžba je očito parcijalna diferencijalna jednadžba I reda za nepoznati generator  $S = S(q_i, \beta_i, t)$  kanonske transformacije, koji je funkcija  $n + 1$  nezavisne varijable  $q_i$  i  $t$ . Traflena kanonska transformacija ima svojstvo da je transformirani Hamiltonian jednak nuli. Jednadžba (3.68) je, prema (3.65), potpuno ekvivalentna Hamiltonovim jednadžbama. Kad se načini rješenje Hamilton-Jacobieve jednadžbe (3.68), generalizirane koordinate i momenti određuju se iz algebarskih relacija:

$$Q_i = \frac{\partial S}{\partial q_i} = \quad , \quad p_i = \frac{\partial S}{\partial \dot{q}_i} \Rightarrow q_i = q_i(\alpha, \beta, t), \quad p_i = p_i(\alpha, \beta, t),$$

gdje  $2n$  integracionih konstanti (3.66) treba odrediti iz početnih uvjeta  $q_{i_0}$  i  $p_{i_0}$ . Generator  $S$  naziva se Hamilton-Jacobieva funkcija ili Hamiltonova glavna funkcija.

Hamiltonian  $H$  je očuvana veličina ako, prema (3.31), nije eksplicitna funkcija vremena:  $H = \gamma = \text{const.}$  ( $H = \gamma = E$  ako su veze stacionarne). Tada se Hamilton-Jacobieva jednadžba (3.68) može smjeniti:

$$S(\mathbf{q}, \beta, t) = W(\mathbf{q}, \beta) - \gamma(\beta)t,$$

uprostiti:

$$H\left(q_i, \frac{\partial W}{\partial q_i}\right) = \quad . \quad (3.69)$$

Funkcija  $W$  naziva se karakterističnom Hamiltonovom funkcijom.

Hamilton-Jacobieva jednadžba (3.68) ili (3.69), najčešće se rješava separacijom varijabli, tj. traflenjem rješenja u obliku zbroja ili produkta funkcija samo jedne varijable:

$$S = S_1(q_1) + S_2(q_2) + \dots + S_n(q_n) + S_{n+1}(t) \quad \text{ili} \quad S = S_1(q_1) S_2(q_2) \dots S_n(q_n) S_{n+1}(t),$$

sa idejom zamjene parcijalne diferencijalne jednadžbe sustavom običnih diferencijalnih jednadžbi.

Fizikalni smisao Hamilton-Jacobieve funkcije  $S$  postaje jasan način potpunog deriviranja po vremenu:

$$\frac{dS}{dt} = \sum_{i=1}^n \frac{\partial S}{\partial q_i} \dot{q}_i + \frac{\partial S}{\partial t} = \sum_{i=1}^n p_i \dot{q}_i - H = L,$$

pa integracija od  $t_0$  do  $t$  daje:

$$S = \int_{t_0}^t dt L(\mathbf{q}, \dot{\mathbf{q}}, t) = I(t). \quad (3.70)$$

Hamilton-Jacobieva funkcija  $S$  upravo je djelovanje (akcija) fizikalnog sustava s neodredenom gornjom granicom.

Primjer 7. Hamilton-Jacobieva jednadžba i kvantna mehanika.

Ako je Hamiltonian klasi ne estice sa jednim stupnjem slobode:  $H(q,p) = \frac{p^2}{2m} + U(q) = E$ , prema (3.69), gibanje estice određeno je Hamilton-Jacobievom jednadžbom:

$$\frac{1}{2m} \left( \frac{\partial W}{\partial q} \right)^2 + U(q) = E. \quad (3.71)$$

U kvantnoj mehanici valna funkcija je rješenje Schrödingerove jednadžbe:  $\psi = E$ , gdje je Hamiltonian kvantnog sustava. U slučaju jednodimenzionog sustava koji ima klasični analogon, kvantni Hamiltonian se dobija iz klasičnog supstitucijom:  $H(q,p) = \left( q, -i\hbar \frac{\partial}{\partial q} \right)$ , pa je Schrödingerova jednadžba za kvantnu esticu:

$$-\frac{\hbar^2}{2m} \frac{\partial^2}{\partial q^2} + U(q) = E.$$

Definirajući stacionarnu valnu funkciju  $\psi(q)$  relacijom:  $\psi(q,t) = e^{\frac{i}{\hbar} Et}$ , Schrödingerova jednadžba postaje:

$$\frac{1}{2m} \left( \frac{\partial}{\partial q} \right)^2 - \frac{i\hbar}{2m} \frac{\partial^2}{\partial q^2} + U(q) = E,$$

-to u limesu klasične fizike  $\hbar \rightarrow 0$  daje Hamilton-Jacobievu jednadžbu (3.71).

Ilustrirajmo Hamilton-Jacobievu metodu na dva jednostavna primjera.

Primjer 8. Hamilton-Jacobieva jednadžba za slobodnu esticu i jednodimenzionalni LHO.

Za slobodnu esticu sa tri stupnja slobode Hamiltonian je:  $H = T = \frac{1}{2m} (p_1^2 + p_2^2 + p_3^2)$ , pa smjenom:  $S(q,\beta,t) = W(q,\beta) - Et$ , Hamilton-Jacobieva jednadžba (3.69) je:

$$\frac{1}{2m} \left[ \left( \frac{\partial W}{\partial q_1} \right)^2 + \left( \frac{\partial W}{\partial q_2} \right)^2 + \left( \frac{\partial W}{\partial q_3} \right)^2 \right] = E. \quad (3.72)$$

Sve tri koordinate su ciklične i (3.72) se potpuno separira smjenom varijabli:  $W = W_1(q_1, \beta_1) + W_2(q_2, \beta_2) + W_3(q_3, \beta_3)$ , gdje je  $p_i = \beta_i = \text{const.}$ , u:

$$\frac{1}{2m} \left( \frac{dW_1}{dq_1} \right)^2 + \frac{1}{2m} \left( \frac{dW_2}{dq_2} \right)^2 + \frac{1}{2m} \left( \frac{dW_3}{dq_3} \right)^2 = E,$$

sa rje-enjem:  $W_i = \beta_i q_i$ , ( $i = 1, 2, 3$ ), uz uvjet:  $\beta_1^2 + \beta_2^2 + \beta_3^2 = 2mE$ , tj.

$$W(q_i, \beta_i) = \beta_1 q_1 + \beta_2 q_2 + \beta_3 q_3.$$

Za jednodimenzioni LHO Hamiltonian je:  $H(q, p) = T + U = \frac{p^2}{2m} + \frac{1}{2}kq^2 = E$ . Hamiltonian ne zavisi od vremena, pa smjena  $S(q, \beta, t) = W(q, \beta) - Et$ , gdje je  $\beta = E$ , daje Hamilton-Jacobievu jednadžbu (3.69):

$$\left( \frac{\partial W}{\partial q} \right)^2 + mkq^2 = 2mE,$$

sa rje-enjem:

$$W(q, E) = \int_{q_0}^q dq' \{ 2m[E - U(q')] \}^{1/2}.$$

Prema (3.67) je jo-:

$$\alpha = \frac{\partial S}{\partial t} = \int_{q_0}^q dq' \frac{m}{\sqrt{m(2E - kq'^2)}} - t, \quad p = \frac{\partial S}{\partial q} = \sqrt{m(2E - kq^2)}.$$

Prva od ovih jednadžbi odmah daje rje-enje:

$$q(t) = \sqrt{\frac{2E}{k}} \sin \left[ \sqrt{\frac{k}{m}} (t - \tau) \right],$$

gdje se integracione konstante  $E$  i  $\alpha'$  određuju iz početnih uvjeta.

## 4. Centralne sile

Najvažnije sile u klasi noj fizici su centralne. Postuliraju i osnovne zakone gibanja ó Newtonove zakone i univerzalni zakon gravitacije Newton je i zasnovao klasi nu mehaniku rješavaju i problem gibanja planeta Sun evog sustava. Me u tjemima u Sun evom sustavu djeluju konzervativne, centralne gravitacijske sile iji intenzitet je inverzno proporcionalan kvadratu udaljenosti tijela.

### 4.1 Problem dva tijela

U fizici se esto javlja problem dva tijela, tj. problem dinamike izoliranog sustava dvije estice koje se gibaju pod utjecajem sila međudjelovanja ó planet i Sunce, elektron i nukleus, itd. Ako je sustav konzervativan II Newtonom zakon za dvije estice daje:

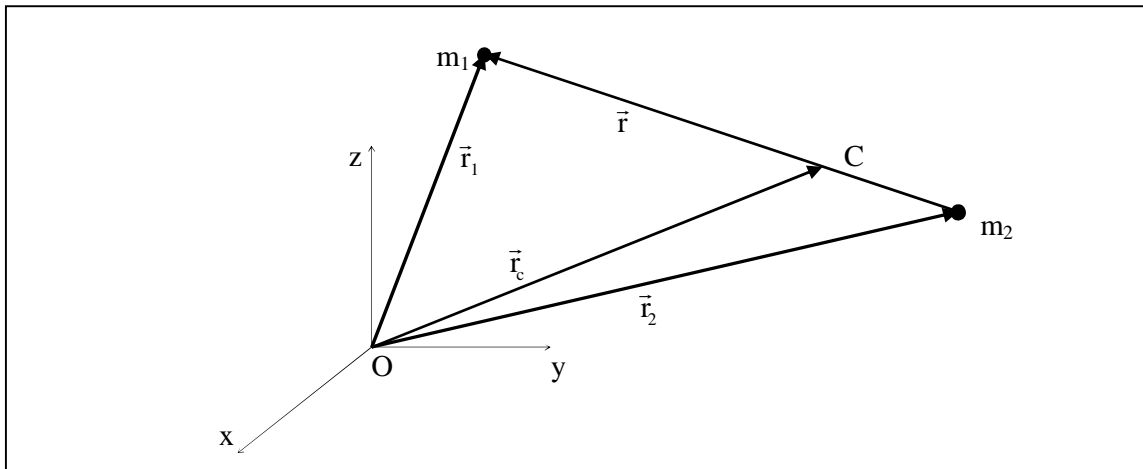
$$\begin{aligned} m_1 \ddot{\vec{r}}_1 &= -\nabla_1 U(\vec{r}_1 - \vec{r}_2), \\ m_2 \ddot{\vec{r}}_2 &= -\nabla_2 U(\vec{r}_1 - \vec{r}_2) = \nabla_1 U(\vec{r}_1 - \vec{r}_2). \end{aligned} \quad (4.1)$$

Umjesto radijusa vektora estica  $\{\vec{r}_1, \vec{r}_2\}$  definirajmo nove varijable  $\{\vec{r}, \vec{r}_c\}$  ó radujus vektor relativnog poloflaja estica  $\vec{r}$  i radjus vektor centra mase  $\vec{r}_c$ , kao na Slici 11.:

$$\vec{r} = \vec{r}_1 - \vec{r}_2, \quad \vec{r}_c = \frac{m_1 \vec{r}_1 + m_2 \vec{r}_2}{M}, \quad (4.2)$$

gdje je ukupna masa sustava  $M = m_1 + m_2$ . Inverzne relacije su:

$$\vec{r}_1 = \vec{r}_c + \frac{m_2}{M} \vec{r}, \quad \vec{r}_2 = \vec{r}_c - \frac{m_1}{M} \vec{r}. \quad (4.3)$$



Slika 11.

Zbrajanjem jednadžbi gibanja (4.1), jednadžba gibanja centra mase je:

$$M \ddot{\vec{r}}_c = 0, \quad (4.4)$$

-to odmah daje rješenje:

$$\ddot{\vec{r}}_c = 0 \Rightarrow \dot{\vec{r}}_c = \text{const.} = \dot{\vec{r}}_c(0) \Rightarrow \vec{r}_c(t) = \dot{\vec{r}}_c(0)t + \vec{r}_c(0), \quad (4.5)$$

četvrti mase sustava giba se jednolikom konstantnom brzinom  $\dot{\vec{r}}_c(0)$ .

Oduzimanjem jednadžbi (4.1) problem se efektivno svodi na dinamiku jedne estice i jednadžba gibanja je:

$$\ddot{\vec{r}} = -\nabla_r U(\vec{r}), \quad (4.6)$$

gdje je reducirana masa sustava  $M = \frac{m_1 m_2}{m_1 + m_2}$ , sa svojstvom  $\frac{1}{M} = \frac{1}{m_1} + \frac{1}{m_2}$ .

Galilejeva invarijantnost klasi ne mehanike dozvoljava da rješenje tražimo prijelazom u inercijalni sustav centra mase. Ako veliine mjerene u odnosu na sustav sa ishoditom u centru mase označimo zvjezdicom \*, onda vrijedi:  $\vec{r}_c^*(t) = 0$ ,  $\vec{r}_2^* = -\frac{m_1}{m_2} \vec{r}_1^*$  i  $\vec{r}^* = \frac{M}{m_2} \vec{r}_1^*$ , tj.  $m_1 \vec{r}_1^* = \vec{r}^*$  i  $m_2 \vec{r}_2^* = -\vec{r}^*$ , a jednadžba gibanja (4.6) je:  $\ddot{\vec{r}}^* = -\nabla_r U(\vec{r}^*)$ .

Prije nego što rješimo problem u imo neka svojstva Sunca eva sustava. Ako jedna estica ima daleko veću masu od druge, center mase je veoma blizu masivnije estice i u prvoj aproksimaciji važi:

$$m_2 \gg m_1 \Rightarrow \begin{cases} M \rightarrow m_2 \\ \rightarrow m_1 \\ \vec{r}_c^* = 0 \rightarrow \vec{r}_2^* \\ \vec{r}^* \rightarrow \vec{r}_1^* \end{cases}, \quad (4.7)$$

a jednadžbe gibanja (4.6) i (4.4) postaju:

$$m_1 \ddot{\vec{r}}_1^* = -\nabla_{\vec{r}_1} U(\vec{r}_1^*), \quad \vec{r}_2^* = 0. \quad (4.8)$$

U ovoj aproksimaciji, sustav dvije estice možemo promatrati iz sustava mirovanja masivnije estice i samo primjeniti Newtonove zakone na manje masivnu esticu. Masa Sunca je mnogo veća od mase bilo kojeg planeta i uvjeti (4.7) su ispunjeni sa velikom točnošću. Na primjer, masa Zemlje je  $m_1 = 6 \times 10^{24}$  kg, a masa Sunca je  $m_2 = 2 \times 10^{30}$  kg i  $\frac{m_2}{m_1} \approx 330000$ , pa je opravdano govoriti o rotaciji Zemlje oko Sunca. Centar mase sustava Zemlja-Sunce je

svega oko 450 km udaljen od centra Sunca. Iako i za najmasivniji planet Jupiter, njegova masa 318 puta veća od zemljine, centar mase sustava Jupiter-Sunce je na površini Sunca, tj. oko 750 000 km od centra Sunca, što manje od jednog promila udaljenosti Jupitera od Sunca koja iznosi  $7,8 \times 10^8$  km.

Iz povjesnih razloga, problem gibanja planeta oko Sunca naziva se Keplerov problem. No, jasno je da je ovo u stvari puno općenitiji problem gibanja bilo koje dvije tijekove koje među sebi djeluju gravitacijskim ili električnim silama.

## 4.2 Keplerov problem

Ako su konzervativne sile među tijekovima i centralne (u pravcu vektora  $\vec{r}$ ), potencijalna energija zavisi samo od intenziteta vektora relativnog položaja tijekova  $U = U(r)$  kao u (1.62) što je slučaj gravitacijskih ili električnih sila. Takva centralna sila na tijeku mora biti oblika  $\vec{F}(\vec{r}) = -\nabla_r U(r) = f(r) \hat{e}_r$ , pa zbog (4.6) mora vrijediti zakon o uvanju angулarnog momenta  $\vec{l} = \vec{r} \times \dot{\vec{r}}$  relativnog gibanja:

$$\frac{d\vec{l}}{dt} = \vec{r} \times \ddot{\vec{r}} = 0 \Rightarrow \vec{l} = \text{const.} \quad (4.9)$$

Ovo znači da se tijek giba u ravnini (dva stupnja slobode  $n = 2$ ) okomitoj na  $\vec{l} = \text{const.}$  koju možemo odabrati za xy-ravninu. U cilindričnim koordinatama je onda:

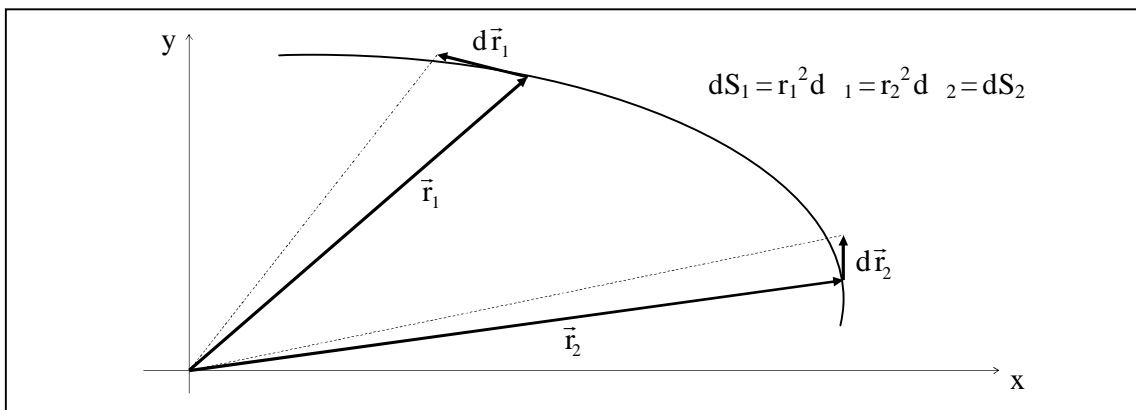
$$\left. \begin{aligned} \vec{r}(t) &= r(t) \begin{pmatrix} \cos(\theta(t)) \\ \sin(\theta(t)) \\ 0 \end{pmatrix} \\ \dot{\vec{r}}(t) &= \dot{r} \begin{pmatrix} \cos(\theta) \\ \sin(\theta) \\ 0 \end{pmatrix} + r \cdot \begin{pmatrix} -\sin(\theta) \\ \cos(\theta) \\ 0 \end{pmatrix} \\ \ddot{\vec{r}}(t) &= (\ddot{r} - r'^2) \begin{pmatrix} \cos(\theta) \\ \sin(\theta) \\ 0 \end{pmatrix} + (2\dot{r}' + r'') \begin{pmatrix} -\sin(\theta) \\ \cos(\theta) \\ 0 \end{pmatrix} \end{aligned} \right\}, \quad (4.10)$$

i

$$\left. \begin{aligned} \vec{l}(t) &= \vec{r} \times \dot{\vec{r}} = \begin{pmatrix} 0 \\ 0 \\ r^2 \cdot \end{pmatrix} \\ \vec{l} &= r^2 \cdot \hat{k} = \text{const.} \Rightarrow r^2 d\theta = \text{const.} = dS \end{aligned} \right\}. \quad (4.11)$$

Zakon o uvanja angularnog momenta, tj. zadnja relacija u (4.9), garantira da je sektorska brzina estice  $\dot{\vec{S}} = \frac{d\vec{S}}{dt} = \frac{\vec{l}}{2}$  konstantna, gdje je element površine krivolinijskog trokuta  $d\vec{S} = \frac{1}{2}\vec{r} \times d\vec{r} = \frac{1}{2}\vec{r} \times \dot{\vec{r}} dt = \frac{1}{2}r^2 d\theta \vec{k}$ .

Prema Slici 12., estica se giba tako da radijus vektor estice u jednakim vremenskim intervalima prebire jednake površine ako estica reprezentira planet u ophodnji oko Sunca ovo je II Keplerov zakon.



Slika 12.

Zbog jednadžbe gibanja (4.6), pored angularnog momenta, očuvana je i energija relativnog gibanja  $E = T + U = \text{const.}$ , jer važi:

$$\frac{dE}{dt} = \frac{d}{dt} \left( \frac{1}{2} \dot{r}^2 + U(r) \right) = \dot{r} \cdot \ddot{r} + \dot{r} \cdot \nabla_r U = \dot{r} \cdot (\ddot{r} + \nabla_r U) = 0. \quad (4.12)$$

Iz zakona o uvanja angularnog momenta je  $\dot{r}^2 = \frac{l^2}{r^2}$ , pa zakon o uvanja energije daje:

$$E = \frac{1}{2} \dot{r}^2 + \frac{l^2}{2r^2} + U(r) = \text{const.} \quad (4.13)$$

Relacija (4.13) je zakon o uvanja energije jednodimenzionog gibanja estice mase u efektivnom potencijalu:

$$U_{\text{eff}}(r) = U(r) + \frac{l^2}{2r^2}. \quad (4.14)$$

Zadnji lan u (4.14) je ekvivalentan potencijalu fiktivne centrifugalne sile koja tefli da udalji esticu od ishodišta i zato se naziva centrifugalna barijera:

$$-\nabla_r \left( \frac{l^2}{2r^2} \right) = \frac{l^2}{r^3} \ddot{\epsilon}_r = \frac{(r \cdot)^2}{r} \ddot{\epsilon}_r = \frac{v^2}{r} \ddot{\epsilon}_r = \vec{F}_{cp}.$$

Iz zakona o uvanja energije (4.13) je:

### Jednadžba gibanja čestice u konzervativnom centralnom polju sila

Radijalna jednadžba gibanja čestice na koju djeluje konzervativna centralna sila je:

$$\dot{r} = \pm \sqrt{\frac{2}{E - U_{eff}(r)}} \quad \Leftrightarrow \quad dt = \frac{\pm dr}{\sqrt{\frac{2}{E - U_{eff}(r)}}}, \quad (4.15)$$

gdje dva znaka razlikuju dva moguća smjera brzine čestice. Čestica može biti samo u onim točkama r za koje je E = U<sub>eff</sub>(r) > 0.

Ako nas umjesto rješenja u obliku parametarske jednadžbe putanje:  $r = r(t)$  i  $\dot{r} = \dot{r}(t)$  zanima rješenje jednadžbi gibanja koje daje eksplisitnu jednadžbu putanje, iz zakona o uvanja angularnog momenta je:

$$d\theta = \frac{l}{r^2} dt = \pm \frac{l dr}{r^2 \sqrt{2(E - U_{eff}(r))}}, \quad \text{tj.} \quad \theta = \pm \int_{r_0}^r \frac{l dr'}{r'^2 \sqrt{2(E - \frac{l^2}{r'^2} - 2U(r'))}}. \quad (4.16)$$

Ako među česticama djeluje gravitacijska sila  $-G \frac{m_1 m_2}{r^3} \vec{r}$  ili elektrostatička sila  $\frac{1}{4\pi\epsilon_0} \frac{Q_1 Q_2}{r^3} \vec{r}$ , ( $Q_{1,2}$  je naboj čestica), potencijalna energija je:

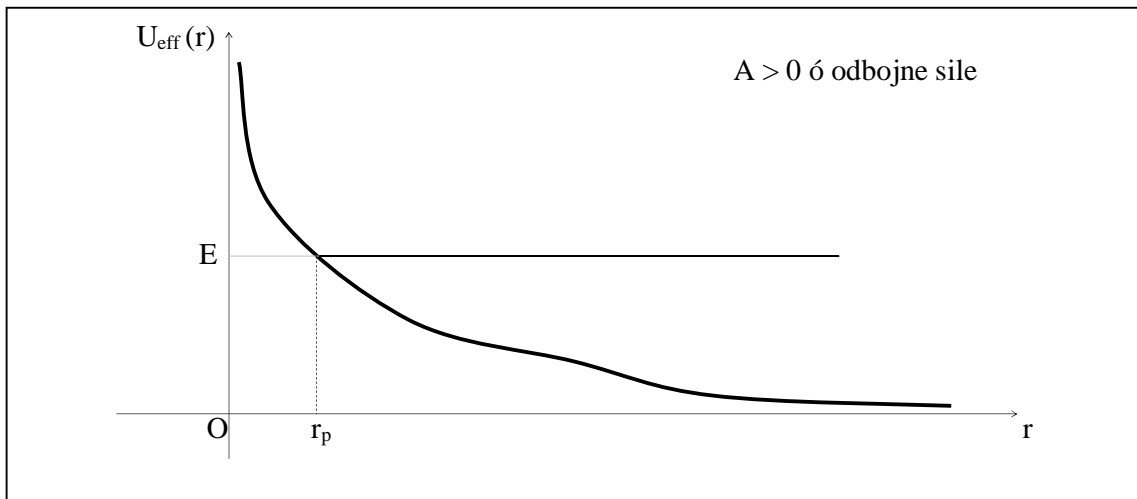
$$U(r) = \frac{A}{r}, \quad A_{gr.} = -G m_1 m_2, \quad A_{el.} = \frac{Q_1 Q_2}{4\pi\epsilon_0}. \quad (4.17)$$

Kvalitativna svostva gibanja lako je analizirati grafički. Prema (4.14) efektivni potencijal za Keplerov problem je:

$$U_{eff}(r) = \frac{A}{r} + \frac{l^2}{2r^2} \leq E. \quad (4.18)$$

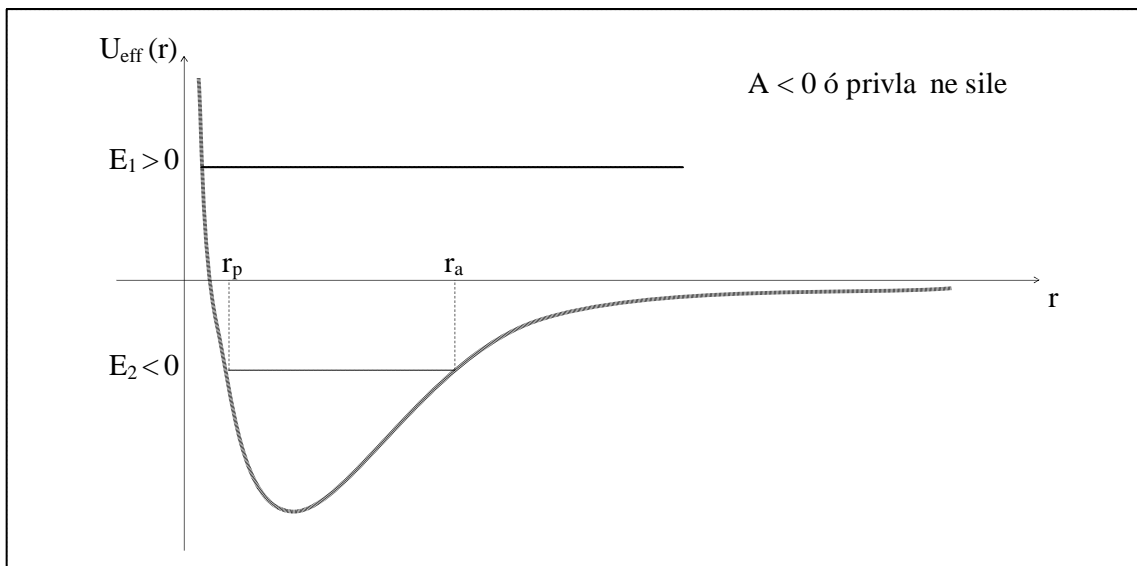
Za male udaljenosti od centra sile  $r \rightarrow +0$ , dominira centrifugalna barijera i  $U_{eff} \rightarrow +\infty$ . Na velikim udaljenostima  $r \rightarrow +\infty$ , dominantni član je potencijal i  $U_{eff} \rightarrow +0$ , ako su sile odbojne  $A > 0$ , a  $U_{eff} \rightarrow -0$ , u slučaju privlačnih sila kad je  $A < 0$ . U slučaju odbojnih sila je  $U_{eff}(r) > 0$  za svako  $r > 0$  i efektivni potencijal je monotono opadajuća funkcija (nema ekstrema) kao na Slici 13.

Zbog uvjeta  $E > U_{\text{eff}}(r)$  gibanje estice je neograničeno, ali  $r$  uvek ostaje veći od udaljenosti pericentra  $r \geq r_p$ .



Slika 13.

Interesantniji je slučaj privlačnih sila  $A < 0$ , jer tada  $U_{\text{eff}}(r)$  ima minimum  $U_{\text{eff}_{\min}} = -\frac{A^2}{2l^2}$  za  $r = -\frac{l^2}{A}$  kao na Slici 14.



Slika 14.

Ako je energija estice pozitivna, kao  $E_1$ , gibanje je slično slučaju obojknih sila. Ali, ako je energija relativnog gibanja estice negativna, kao  $E_2$ , estica je «vezana» za centar sile i gibanje je ograničeno na osciliranje između pericentra i apocentra  $r_p \leq r \leq r_a$ .

Bez obzira na znak A, uvijek postoji pericentar ó to ka na putanji u kojoj je estica na minimalnoj udaljenosti od centra sile  $r_p = r_{\min}$  i gdje je  $\frac{dr}{dt} \Big|_{r_p} = 0$ , pa je:  $E = E(r_p) = U_{\text{eff}}(r_p)$ .

Integracijom (4.16) eksplisitna jednadžba putanje je:

$$-\theta_0 = \pm \int_{r_0}^r \frac{l dr'}{\sqrt{2 \left( E - \frac{A}{r'} \right) - \frac{l^2}{r'^2}}} . \quad (4.19)$$

Odaberemo li x-os tako da je  $\theta_0 = 0$ , supstitucijom  $u = \frac{1}{r}$  integral se svodi na tablinski integral sa rješenjem:

$$(r) = -\arcsin \left. \frac{\frac{l^2}{r'} + A}{A} \right|_{r_0}^r , \quad = \pm \sqrt{1 + \frac{2El^2}{A^2}} . \quad (4.20)$$

Jednadžba putanje se može uprostiti izborom:  $r_0 = \arcsin \frac{r_0}{A} = -\frac{l^2}{2}$ , (ovaj odabir zna i izbor ishodišta i pravaca koordinatnih osi u ravnini gibanja tako da je putanja simetri na krivilja), što konačno daje:

$$r(\phi) = \frac{p}{1 + \cos \phi} , \quad p = -\frac{l^2}{A} . \quad (4.21)$$

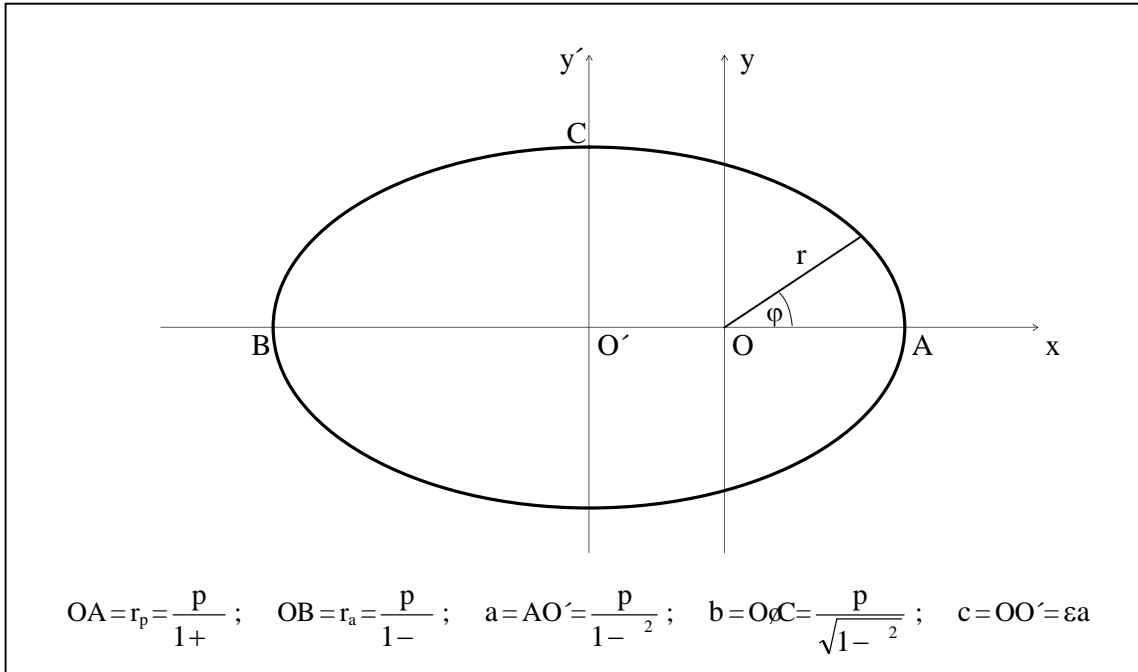
Izraz (4.21) je jednadžba konusnih presjeka ó elipse ( $0 < \varepsilon < 1$ ), parabole ( $\varepsilon = 1$ ) ili hiperbole ( $\varepsilon > 1$ ) u polarnim koordinatama, u kojemu jednom fokusu je centar sile.

Znak parametra  $\varepsilon$  u (4.20) mora se odabrati tako da je uvijek  $r > 0$  u (4.21). Postoji nekoliko slučaja:

**Privlačne sile:**  $A < 0 \Rightarrow p > 0$

- $E < 0$  ó vezana estica  $\Rightarrow 0 < |\varepsilon| < 1 \Rightarrow r = \frac{p}{1 + \cos \phi} > 0$  za  $\forall \phi \in [0, 2\pi]$ .

Udaljenost estice od centra sile je ograničena na interval  $r_p \leq r \leq r_a$ , gdje su udaljenosti pericentra  $r_p = \frac{p}{1+} = r_{\min}$  i apocentra  $r_a = \frac{p}{1-} = r_{\max}$ . Putanje su elipse (I. Keplerov zakon) sa ekscentricitetom  $\varepsilon$  kao na Slici 15.



Slika 15.

Velika poluos elipse je:

$$a = \frac{r_p + r_a}{2} = \frac{p}{1 - \varepsilon^2}, \quad (4.22)$$

a udaljenost c ishodi-ta O od centra elipse O' je:

$$c = a \circ r_p = a = \frac{p}{1 - \varepsilon^2}. \quad (4.23)$$

Ako ozna imo  $\angle COO' = \alpha$ , vafli:  $\cos \alpha = \frac{OO'}{OC} = \frac{c}{r} = \frac{c}{a(1 - \varepsilon^2)} = \frac{c}{1 - \varepsilon^2}(1 - \cos \alpha)$ , -to zna i da je  $\varepsilon = \cos \alpha$ , te  $a = OC$ . Mala poluos elipse je onda:

$$b = a \sqrt{1 - \varepsilon^2} = \sqrt{ap} = \frac{p}{\sqrt{1 - \varepsilon^2}}. \quad (4.24)$$

Jednadflbu putanje u Kartezivevim koordinatama  $O'xy'$  lako je na i napravimo li translaciju ishodi-ta dufl x-osi:  $x' = x + c$  i  $y' = y$ , gdje je  $c = \frac{p}{1 - \varepsilon^2}$ . Iz jednadflbe elipse (4.21) je:  $r = p \circ \varepsilon x$ , pa je:  $r^2 = [p \circ \varepsilon(x' \circ c)]^2 = x'^2 + y'^2 = (x' \circ c)^2 + y'^2$ , -to u nekoliko koraka daje kanonsku jednadflbu elipse:

$$\frac{x'^2}{\left(\frac{p}{1-\varepsilon^2}\right)^2} + \frac{y'^2}{\left(\frac{p}{\sqrt{1-\varepsilon^2}}\right)^2} = 1, \quad (4.25)$$

u skladu sa (4.22) i (4.24).

Kako je sektorska brzina  $\dot{S} = \frac{l}{2}$  konstantna (II Keplerov zakon), a površina elipse je  $S = \pi ab$ , period ophodnje  $T$  estice je:  $T = \frac{S}{\dot{S}} = \frac{2}{l} a \sqrt{ap} = \frac{2}{l} a^{\frac{3}{2}} \frac{l}{\sqrt{-A}} = 2 \sqrt{-A} a^{\frac{3}{2}}$ , pa je kvadriranjem:  $T^2 = 4 \frac{l^2}{-A} a^3$ . Kako je za gravitacijske sile  $A = -Gm_1 m_2$  odmah dobijamo

III Keplerov zakon:

$$T^2 = \frac{4 \pi^2}{G(m_1 + m_2)} a^3. \quad (4.26)$$

Ekscentricitet  $\varepsilon$  mjeri odstupanje elipse od kružnice. Za  $\varepsilon = 0$  putanja je kružnica sa  $r = r_p = r_a = -\frac{l^2}{A}$  ( $A < 0$ ), koja za date fiksne vrijednosti  $E$  i  $l$  predstavlja putanju na kojoj estica ima minimalnu mogu u energiju  $E = -\frac{A^2}{2l^2}$ , priemu je  $T = \frac{A^2}{2l^2}$ , a  $U = -\frac{A^2}{l^2}$ . Ovo je primjer virijalnog teorema (1.66) za homogeni potencijal stupnja homogenosti  $k = 6$ .

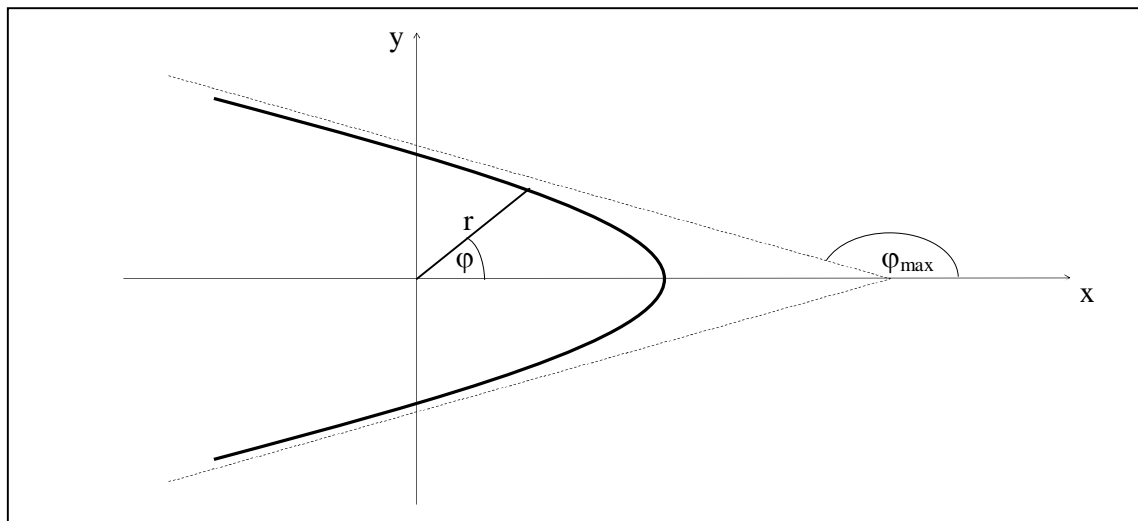
Kako je prema (4.22) i (4.24),  $\frac{b}{a} = \sqrt{1 - \varepsilon^2}$ , putanje planeta se vrlo malo razlikuju od kružnica, jer su ekscentriciteti planetarnih elipsi mali, u rasponu od  $\varepsilon = 0,007$  za Veneru, do  $\varepsilon = 0,206$  za Merkur. Za Zemlju je  $\varepsilon = 0,017$ , pa je  $b = 0,99986a$ . Putanja Mjeseca oko Zemlje je takođe veoma slična kružnici jer je za Mjesec  $\varepsilon = 0,055$ .

Karakteristike eleiptičnih putanja planeta određene su uvanim fizikalnim veličinama (ija vrijednost je fiksirana po etnim uvjetima)  $E < 0$  i  $l^2 > 0$ . Prema (4.22) i (4.24) je:

$$a = \frac{A}{2E}, \quad b = \frac{l}{\sqrt{2(-E)}}. \quad (4.27)$$

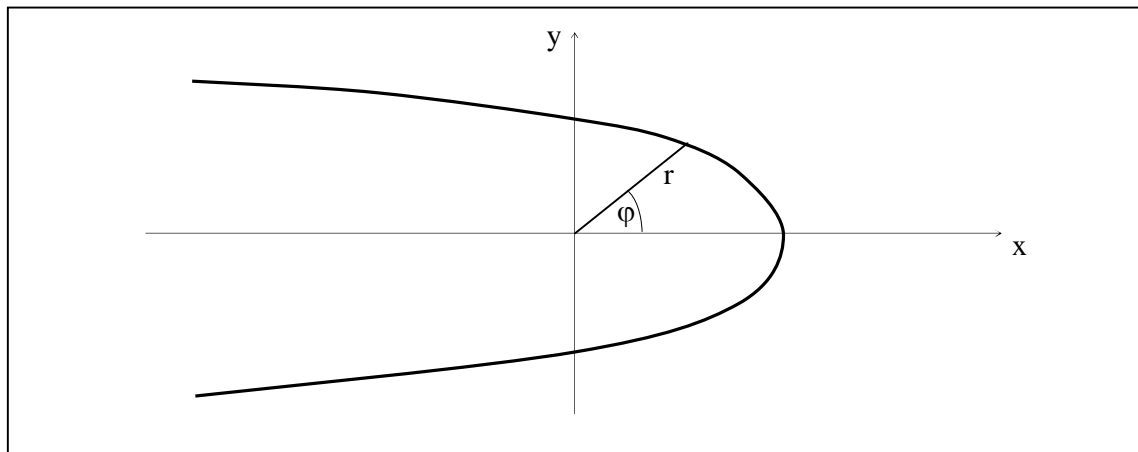
Velika poluos elipse a, koja je prosječna udaljenost točke na elipsi od fokusa, zavisi samo od energije (primjer takozvane slajne degeneracije), dok mala poluos b zavisi i od energije i od angуларnog momenta estice.

- $E > 0$  o slobodna estica  $\Rightarrow | \gamma | > 1 \Rightarrow r = \frac{p}{1 + \cos \varphi} > 0$  za svako  $\varphi \in [0, \varphi_{\max}] \cup (-\varphi_{\max}, 2\pi]$ , gdje je  $\cos \varphi_{\max} = -\frac{1}{| \gamma |}$ . estica se od centra sile mofle beskona no udaljiti  $r = \infty$  za  $\varphi = \pm \varphi_{\max}$ . Putanja je hiperbola sa asimptotama  $\varphi = \pm \varphi_{\max}$ , kao na Slici 16.



Slika 16.

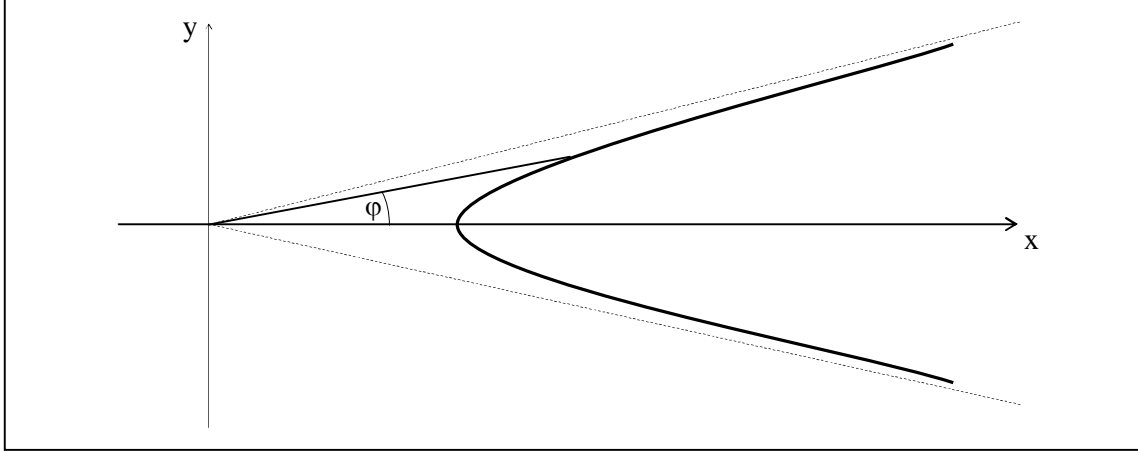
- $E = 0$   $\Rightarrow | \gamma | = 1 \Rightarrow r = \frac{p}{1 + \cos \varphi} > 0$  za svako  $\varphi \neq \pi$ . Grani ni sluaj - estica asimptotski dolazi/odlazi u beskona nost gdje stife sa brzinom nula. Putanja takve estice je parabola, kao na Slici 17.



Slika 17.

**Odbojne sile:**  $A > 0 \Rightarrow E > 0$ ,  $p < 0$ ,  $|e| > 1 \Rightarrow r = \frac{p}{1 + e \cos \varphi} > 0$  za  $\forall \varphi \in (-\varphi_{\max}, \varphi_{\max})$ ,

gdje je  $\cos \varphi_{\max} = \frac{1}{|e|}$ . Putanja je uvijek hiperbola, kao na Slici 18., ali je sada centar sile u drugom fokusu (van hiperbole) u odnosu na slučaj privlačnih sila.



Slika 18.

Keplerov problem je moflja i lak-e rješiti Lagrangeovim formulizmom. Lagrangian konzervativnog sustava dviju estica je:

$$L = T - U = \frac{1}{2} m_1 \dot{\vec{r}}_1^2 + \frac{1}{2} m_2 \dot{\vec{r}}_2^2 - U(\vec{r}_1 - \vec{r}_2). \quad (4.28)$$

Smjena varijabli  $\{ \vec{r}_1, \vec{r}_2 \} \rightarrow \{ \vec{r}, \vec{r}_c \}$  prema (4.2) i (4.3), tj.

$$\dot{\vec{r}}_1 = \dot{\vec{r}}_c + \frac{m_2}{M} \dot{\vec{r}}, \quad \dot{\vec{r}}_2 = \dot{\vec{r}}_c - \frac{m_1}{M} \dot{\vec{r}}, \quad (4.29)$$

transformira Lagrangian (4.28) u zbroj Lagrangiana centra mase  $L_c$  i Lagrangiana relativnog gibanja  $L_r$ :

$$L = L_c + L_r = \frac{1}{2} M \dot{\vec{r}}_c^2 + \frac{1}{2} \dot{\vec{r}}^2 - U(\vec{r}). \quad (4.30)$$

Lagrangeove jednadžbe za gibanje centra mase  $\frac{d}{dt} \left( \frac{\partial L}{\partial \dot{\vec{r}}_c} \right) - \frac{\partial L}{\partial \vec{r}} = 0$ , odmah daju (4.4) sa rješenjem (4.5):

$$M \ddot{\vec{r}}_c = 0 \Rightarrow \dot{\vec{r}}_c = \text{const.} = \dot{\vec{r}}_c(0) \Rightarrow \vec{r}_c(t) = \dot{\vec{r}}_c(0)t + \vec{r}_c(0). \quad (4.5)$$

Ako me u esticama djeluju konzervativne centralne sile potencijalna energija je sferno simetri na  $U(\vec{r}) \rightarrow U(r)$ , pa prema (1.46) važi zakon o uvanju angularnog momenta relativnog gibanja  $\vec{l} = \vec{r} \times \dot{\vec{r}} = \text{const.}$  Odaremo li z-os duž pravca angularnog momenta, gibanje estice mase  $\mu$  je u xy-ravnini, pa relativno gibanje ima samo 2 stupnja slobode. U polarnim koordinatama  $(r, \phi)$  Lagrangian relativnog gibanja je:

$$L_r = L(r, \dot{r}, \dot{\phi}) = \frac{1}{2} \dot{r}^2 + \frac{1}{2} r^2 \dot{\phi}^2 - U(r). \quad (4.31)$$

Generalizirana koordinata  $\phi$  je ciklična, pa je:

$$\frac{d}{dt} \frac{\partial L_r}{\partial \dot{\phi}} = r^2 \dot{\phi} = 0 \Rightarrow r^2 \dot{\phi} = l = \text{const.}, \quad (4.32)$$

a Lagrangeova jednadžba za generaliziranu koordinatu  $r$  je:

$$\ddot{r} - r \dot{\phi}^2 + \frac{dU}{dr} = 0. \quad (4.33)$$

Da dobijemo diferencijalnu jednadžbu putanje eliminirajmo vrijeme t pomoću (4.32). Kako je:

$$\dot{r} = -\frac{l}{d} \left( \frac{1}{r} \right) \quad \ddot{r} = -\frac{l^2}{r^2} \frac{d^2}{dr^2} \left( \frac{1}{r} \right),$$

a  $U(r) = \frac{A}{r}$ , iz (4.33) se dobija jednadžba putanje:

$$\frac{d^2}{dr^2} \left( \frac{1}{r} \right) + \frac{1}{r} + \frac{A}{l^2} = 0. \quad (4.34)$$

Smjenom  $u = \frac{1}{r} + \frac{A}{l^2}$ , gornja jednadžba postaje jednostavno:

$$\frac{d^2 u}{dr^2} + u = 0. \quad (4.35)$$

Lako se uvjeriti da je rješenje kao i prije:

$$r(\phi) = \frac{p}{1 + \varepsilon \cos \phi}, \quad (4.36)$$

gdje je:

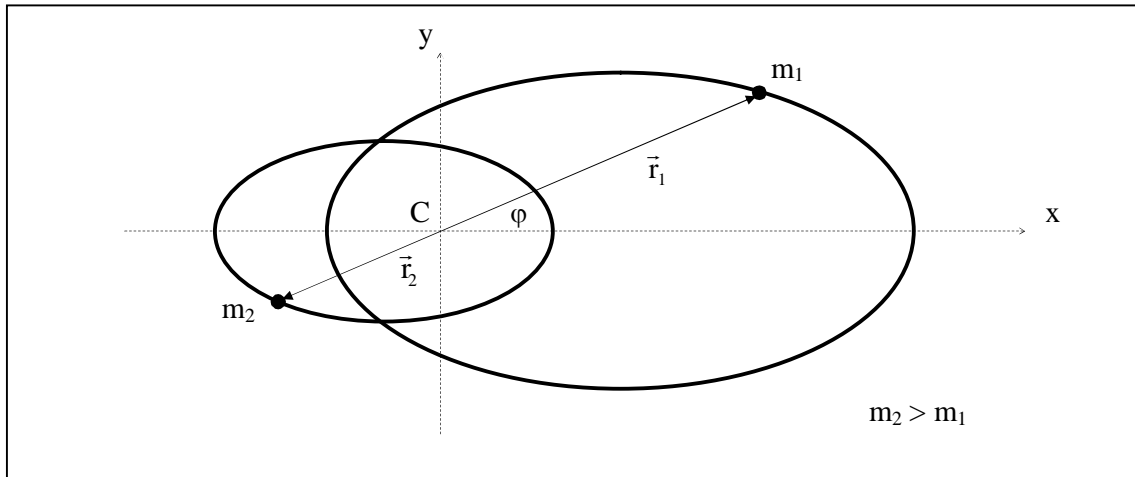
$$p = -\frac{l^2}{A}, \quad \varepsilon = \pm \sqrt{1 + \frac{2E l^2}{A^2}}. \quad (4.37)$$

Keplerov problem je rješen u (4.21) ili (4.36-37) za varijablu relativnog poloflaja estica  $\vec{r}$ . Relacije (4.3) onda daju rješenje pomoći u originalnih varijabli  $\{\vec{r}_1, \vec{r}_2\}$ . Na primjer, u slučaju eliptičnih putanja ( $E < 0$ ) u sustavu centra mase rješenje je:

$$r_1^*(\varphi) = \frac{m_2}{m_1 + m_2} \frac{p}{1 + \cos \varphi}, \quad r_2^*(\varphi) = -\frac{m_1}{m_1 + m_2} \frac{p}{1 + \cos \varphi},$$

–to znači da se dvije estice gibaju po sliknim elipsama koje imaju jedan zajednički fokus u centru mase sustava. Minus znak u  $r_2^*(\varphi)$  znači da je u svakom trenutku kut između radijusa vektora estica  $\pi$ . Dvije estice rotiraju po elipsama oko centra mase kao da su spojene krutim –tapom, kao na Slici 19.

Za opis kompletног gibanja u mirujućem inercijalnom referentnom sustavu, treba još na ovu rotaciju superponirati gibanje centra mase konstantnom brzinom po pravcu, –to znači da u ovom sustavu putanje estica nisu zatvorene krivulje ó elipse, već eliptične spirale.



Slika 19.

Na kraju razmotrimo ukratko još jednu metodu rješavanja Keplerovog problema.

### 4.3 Runge-Lenz vektor

Kako je prema (4.6) i (4.17):  $\dot{\vec{p}} = \frac{A}{r^3} \vec{r}$ , derivacija vektora  $\vec{l} \times \vec{p}$  je:

$$\frac{d}{dt}(\vec{l} \times \vec{p}) = \vec{l} \times \dot{\vec{p}} = \frac{A}{r^3} \vec{l} \times \vec{r} = -\frac{A}{r^3} [\vec{r}(\vec{r} \cdot \vec{l}) - r^2 \vec{l}] = A \frac{d}{dt}\left(\frac{\vec{r}}{r}\right), \quad (4.38)$$

pa je vektor  $\vec{\gamma}$ :

$$\vec{\gamma} = \frac{\vec{l} \times \vec{p}}{A} - \frac{\vec{r}}{r} = \text{const.} \quad (4.39)$$

o uvana veli ina.

Za gibanje estica pod utjecajem centralnih sila inverzno proporcionalnih kvadratu udaljenosti pored E i  $\vec{l}$ , postoji i dodatna o uvana vektorska veli ina (4.39), koja se naziva Runge-Lenz vektor  $\vec{\gamma}$ . Vektor  $\vec{\gamma}$  je okomit na  $\vec{l}$ , pa leffi u xy-ravnini gibanja. Koriste i zakon o uvanja energije i relacije (4.10) ó (4.11) dobija se:

$$r^2 = \vec{\gamma} \cdot \vec{\gamma} = \frac{2l^2}{A^2} \left( \frac{p^2}{2} + \frac{A}{r} \right) + 1 = 1 + \frac{2El^2}{A^2} \Rightarrow \varepsilon = \pm \sqrt{1 + \frac{2El^2}{A^2}},$$

kao u (4.20).

Kako je  $\vec{\gamma} \cdot \vec{r} = \frac{(\vec{l} \times \vec{r}) \vec{r}}{A} - r = -\frac{l^2}{A} - r$ , i  $\vec{\gamma} \cdot \vec{r} = r \cos \gamma$ , lako se dobija jednadflba putanje:

$$r = \frac{p}{1 + \cos \gamma}, \quad p = -\frac{l^2}{A}, \quad (4.40)$$

– jednadflba konusnih presjeka, kao (4.21) ili (4.36).

Prema tome, o uvane veli ine  $\vec{l}$ , E i  $\vec{\gamma}$  kompletno odre uje putanju u Keplerovu problemu – ravnina orbite okomita je na  $\vec{l} = \text{const.}$ , tip orbite (elipsa, parabola ili hiperbola) odre ena je ekscentricitetom, tj. sa E,  $l^2$  i  $\varepsilon^2$ , a orientacija orbite u ravnini odre ena je vektorom  $\vec{\gamma}$ . To nost zadnje tvrdnje najlak-e je vidjeti odaberemo li, kao i prije,  $\vec{l} = l \vec{k}$ , to zna i da je gibanje u xy-ravnini. Odaberemo li jo-i pravac osi simetrije putanje (pravac kroz fokus i pericentar) za x-os, prema (4.39) onda je:

$$\varepsilon_x = -\frac{1}{A} l p_y - \frac{x}{r}, \quad \varepsilon_y = \frac{1}{A} l p_x - \frac{y}{r}, \quad \varepsilon_z = 0,$$

pa je u centru:  $y = 0$  i  $p_x = 0$ , te je  $\varepsilon_y = 0$  i Runge-Lenz vektor je u pravcu glavne osi putanje:  $\vec{\gamma} = \hat{x}\vec{i}$ . Ali,  $\gamma = \text{const.}$  je ovisana veličina, što znači da pravac vektora  $\vec{\gamma}$  u pericentru uvijek određuje glavnu os putanje.

Egzistencija dodatne ovisane veličine (4.39) može se iskoristiti da se pokafle da su jedine privlačne centralne sile za koje postoje zatvorene orbite (elipse) za vezane estice: elastične (izotropni LHO, kao u odjelu **1.6**) i gravitacijske i privlačne električne sile ovisne centralne sile koje zavise od udaljenosti estica kao  $r$  ili  $r^{-2}$ . Samo za te tri vrste sile u klasi nožnih fizici postoje vezana stanja dve estice (stanja u kojima su estice uvijek na koncu nožnih udaljenosti i nikad ne mogu biti i u beskonačnosti). To znači da su elastične, gravitacijske i privlačne električne sile jedini tipovi centralnih sila koje dolaze u obzir za kreiranje klasičnih modela za sva fizikalno vezana stanja estica: proton, nukleus, atom, molekula, planetarni sustav, zvjezdani sustav, galaksija, itd.

Analog Runge-Lenz vektora  $\vec{\gamma}$  u kvantnoj mehanici komutira sa Hamiltonijanom vodikovog atoma što pretstavlja dodatnu simetriju problema koja pojava se u «slučaju degeneracije» energijskih nivoa ovisne o energiji elektrona u atomu vodika  $E_n = \frac{-13,6\text{eV}}{n^2}$ , zavisi samo od glavnog kvantnog broja  $n$ , ali ne zavisi od orbitalnog angулarnog momenta  $l$ .

Dosad smo razmatrali Keplerov problem, tj. gibanje sustava dviju estica masa  $m_1$  i  $m_2$  koje djeluju jedna na drugu konzervativnim centralnim silama čiji potencijal je inverzno proporcionalan udaljenosti estica, kao što su gravitacijske i električne sile.

Ali, Sunce i planete nisu estice, već tijela končne veličine (astronomskih) dimenzija i moramo razumjeti niz sukladnih aproksimacija koje, pod nekim uvjetima, dozvoljavaju da se realni fizikalni objekti tretiraju kao estice.

#### 4.4 Mehanika tijela konačnih dimenzija

Neka umjesto dvije estice imamo dva astronomска tijela ó zvijezde i/ili planete. Prvo možemo pretpostaviti da se radi o dva kruta tijela konačnih dimenzija. Iako, Zemlja (niti Sunce) nije kruto tijelo, to na primjer, plima i osjeka zorno demonstriraju, deformacije su toliko male da ih u prvoj aproksimaciji možemo zanemariti. Promatranja pokazuju da su astronomski objekti (ve i od asteroida) u pravilu sfernog oblika. Zato pretpostavimo da je raspodjela mase  $m$  tijela sferno simetrična, tj. gusto  $\rho(\vec{r}) = \rho(r)$  ne zavisi od sfernih kutova  $\theta$  i  $\phi$ . Tijelo konačnih dimenzija smatramo skupom od bezbroj estica mase  $dm = \rho(\vec{r})d^3r$ . U odnosu na centar mase, koji je u centru tijela, je onda:

$$m = \int dm = \int d^3r \rho(\vec{r}) = 4 \int_0^\infty dr r^2 \rho(r) = 4 \int_0^R dr r^2 \rho(r), \quad (4.41)$$

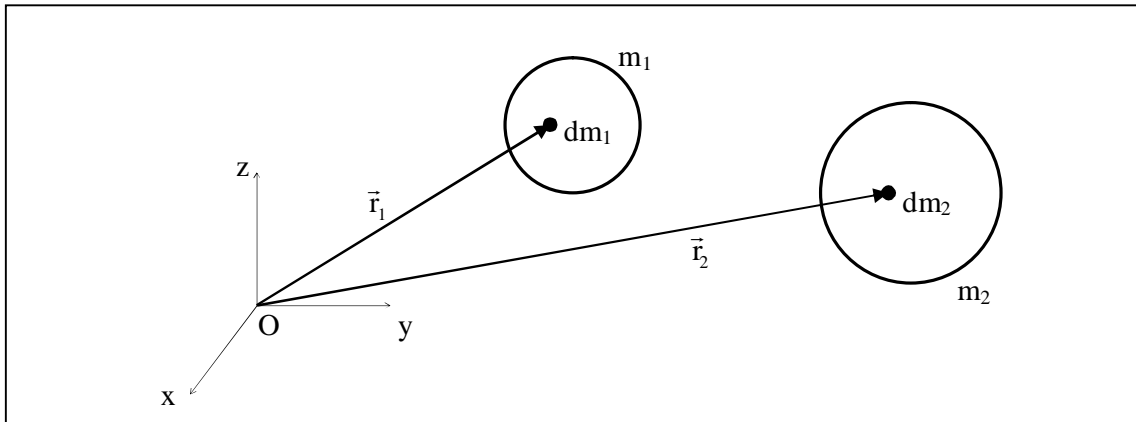
gdje je  $R$  radius tijela.

Gravitacijska potencijalna energija estica  $dm_1$  i  $dm_2$ , kao na Slici 20., određena Newtonovim zakonom gravitacije, je:

$$dU(\vec{r}_1, \vec{r}_2) = -G \frac{dm_1 dm_2}{|\vec{r}_1 - \vec{r}_2|}, \quad (4.42)$$

pa je ukupna gravitacijska potencijalna energija dva tijela:

$$U(\vec{r}_1, \vec{r}_2) = -G \int d^3r_1 \int d^3r_2 \frac{(\vec{r}_1)(\vec{r}_2)}{|\vec{r}_1 - \vec{r}_2|}. \quad (4.43)$$

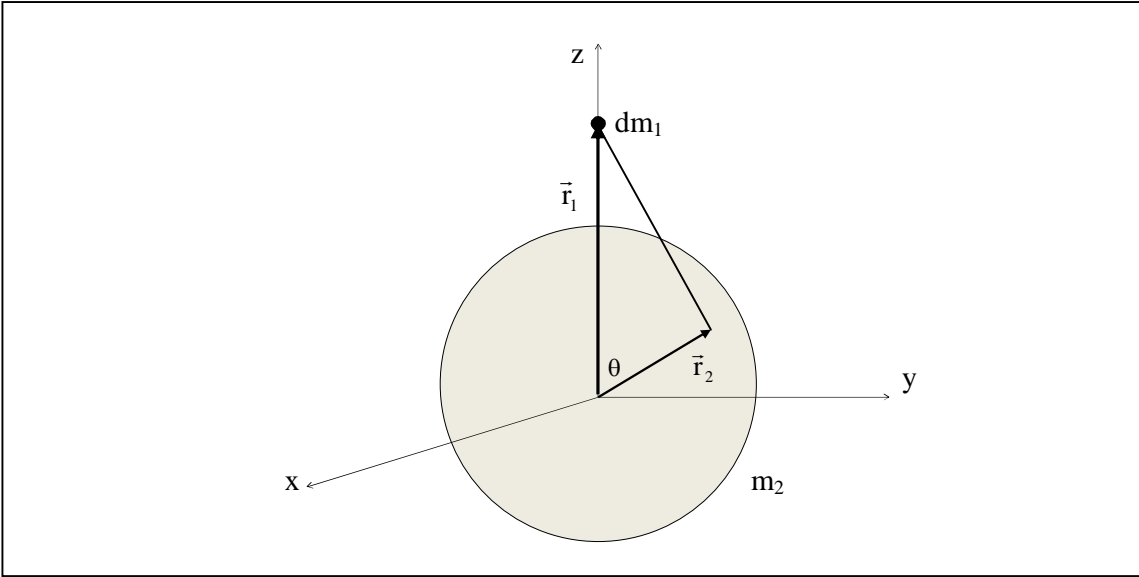


Slika 20.

Ustvari, dovoljno je rješiti jednostavniji problem proračuna gravitacijske potencijalne energije sferno simetričnih tijela i estica mase  $dm_1$  van tijela računajući integral po  $dm_2$ . Jednostavnosti radi, odaberimo ishodište koordinatnog sustava u centru mase tijela 2, a za  $z$ -os odaberimo pravac kroz esticu  $dm_1$  ( $\vec{r}_1 = z\hat{k}$ ), kao na Slici 21.

Za sferno simetrično tijelo 2 je onda:

$$dU(\vec{r}_1) = -G dm_1 \int d^3 r_2 \frac{(\vec{r}_2)}{|\vec{r}_1 - \vec{r}_2|} = -G dm_1 \int_0^\infty dr_2 r_2^2 \int_0^\pi \sin \theta d\theta \int_0^{2\pi} d\phi \frac{(r_2)}{\sqrt{r_1^2 + r_2^2 - 2r_1 r_2 \cos \theta}}.$$



Slika 21.

Integracija po  $\phi$  daje samo  $2\pi$ , pa smjenom  $u = \cos\theta$  integral postaje:

$$dU(\vec{r}_1) = -2 G dm_1 \int_0^\infty dr_2 r_2^2 (r_2) \int_{-1}^1 du (r_1^2 + r_2^2 - 2r_1 r_2 u)^{-\frac{1}{2}}.$$

$$\text{Integracija po } u \text{ daje: } \int_{-1}^1 du (r_1^2 + r_2^2 - 2r_1 r_2 u)^{-\frac{1}{2}} = -\frac{1}{r_1 r_2} (\left| r_1 - r_2 \right| - \left| r_1 + r_2 \right|) = \begin{cases} \frac{2}{r_1} & \text{za } r_1 > r_2 \\ \frac{2}{r_2} & \text{za } r_1 < r_2 \end{cases}.$$

Potencijal estice  $dm_1$  u gravitacijskom polju sferno simetričnog tijela  $m_2$  je sferno simetričan (zavisi samo od  $r$ ) i određen integralom:

$$dU(r_1) = -4 G dm_1 \left( \frac{1}{r_1} \int_0^{r_1} dr_2 r_2^2 (r_2) + \int_{r_1}^\infty dr_2 r_2 (r_2) \right). \quad (4.44)$$

Ako je radius drugog tijela  $R_2$ , tada je  $\rho(r_2) = 0$  za  $r_2 > R_2$ , pa za  $r_1 > R_2$  drugi integral u (4.44) nije doprinosi i vrijedi:

$$dU(r_1) = -4 G dm_1 \frac{1}{r_1} \int_0^{R_2} dr_2 r_2^2 (r_2) = -G \frac{m_2 dm_1}{r_1}.$$

Pokazali smo da:

### Gravitacijski potencijal sferno simetrične zvijezde mase M

Gravitacijski potencijal sferno simetrične zvijezde mase M i radijusa R u prostoru izvan tijela je isti kao i potencijal koji stvara estica mase M koja se nalazi u centru mase tijela, tj.

$$U(r) = -G \frac{mM}{r}, \quad \text{za } r > R. \quad (4.45)$$

Sferno simetrična zvijezda u prostoru van zvijezde stvara gravitacijsko polje kao da joj je cijelokupna masa skoncentrirana u centru.

Sve to vafli za tijelo š2, vafli analogno i za tijelo š1, pa vrijedi:

*Gravitacijska potencijalna energija (4.43) dva sferno simetrična tijela mase  $m_1$  i  $m_2$  i radijusa  $R_1$  i  $R_2$ , čiji su centri masa na udaljenosti  $r \times R_1 + R_2$ , identična je potencijalnoj energiji dviju čestica mase  $m_1$  i  $m_2$  na udaljenosti  $r$ :*

$$U(r) = -G \frac{m_1 m_2}{r}, \quad r = |\vec{r}_1 - \vec{r}_2|. \quad (4.46)$$

Da bi dokazao gornji teorem Newton je skoro dva desetljeća odlagao publiciranje svoje knjige o vrijeme koje mu je bilo potrebno da razvije diferencijalni i integralni račun neophodan za dokaz.

Gornja aproksimacija je vrlo dobra za planete i zvijezde o odstupanja od sfernog oblika vrlo su mala. Za Zemlju je ekvatorijalni radijus 21,4 km veći od polarnog, to je odstupanje od sfere od svega 3,35 promila ( $R_{\oplus} = 6380$  km). Ako negližimo još niju aproksimaciju, Zemlju (i Sunce) možemo smatrati sastavljenom od dva tijela o sfera plus ekvatorijalni prsten koji izraflava odstupanje od sfernog oblika.

Za gibanje u zemljinom gravitacijskom polju u blizini površine Zemlje, tj. na visini  $h$  mnogo manjoj od radijusa Zemlje, potencijalna energija estice mase  $m$  je razvojem u red:

$$U(h) = -G \frac{mM_{\oplus}}{R_{\oplus} + h} = -mgR_{\oplus} + mgh + \dots, \quad g = -G \frac{M_{\oplus}}{R_{\oplus}^2} = 9,8 \frac{m}{s^2},$$

gdje je  $h \ll R_{\oplus}$  visina iznad površine Zemlje.

Kako je potencijalna energija uvijek određena do konstante, prvi lan u redu možemo zanemariti, pa je gravitacijska potencijalna energija estice u odnosu na površinu Zemlje:

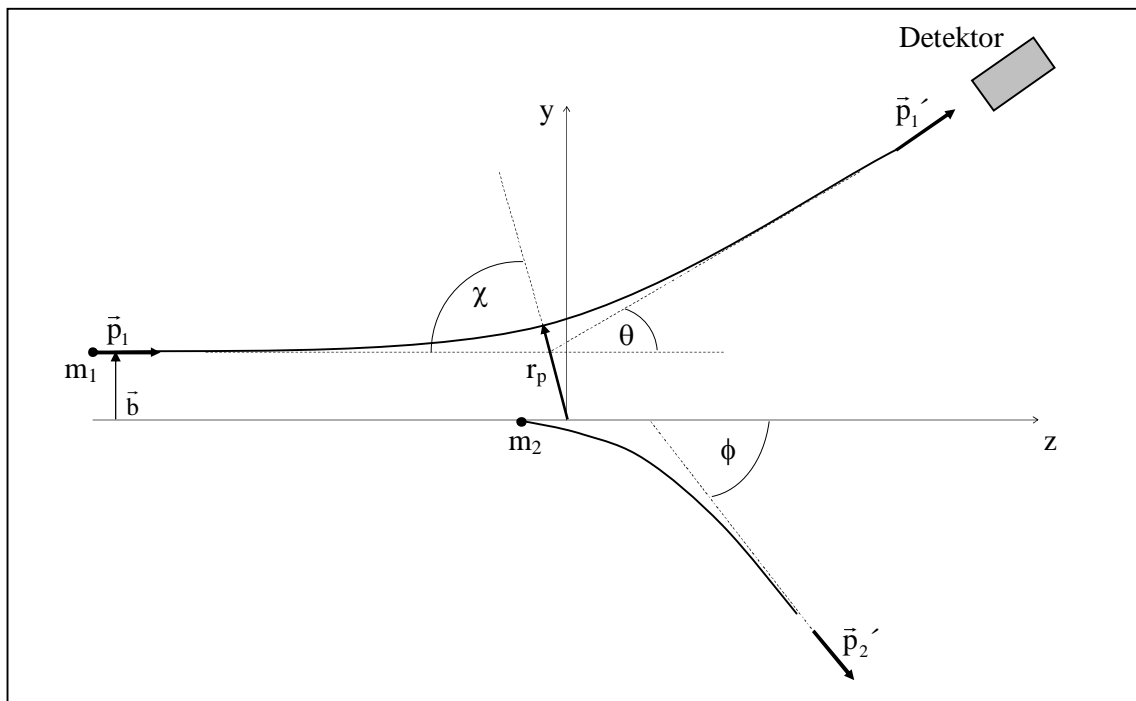
$$U = mgh.$$

## 4.5 Raspršenje čestica u centralnom polju sila

Istraživanje mikroskopskih objekata molekula, atoma, nukleusa i elementarnih čestica znatno je oteflano jer su njihove dimenzije toliko male da nisu direktno dostupne na im osjetilima. Zato su neophodne metode koje uveavaju i njihove efekte ine vidljivim. Raspršenje čestica je takva indirektna metoda mjerena svojstava mikroskopskih odjekata. Poznavanje položaja i brzina čestica prije i poslije raspršenja omoguće uve saznanja o silama (potencijalnim energijama) među česticama tijekom raspršenja, kad su direktna mjerena nemoguće. Iako u eksperimentima raspršenja sudjeluju kvantne čestice i kompletna teorija zahtijeva kvantnu mehaniku, u mnogim slučajevima klasična teorija raspršenja je veoma dobra aproksimacija. Opis efekata raspršenja pomoću udarnog presjeka raspršenja je isti i u klasičnoj i u kvantnoj mehanici. U procesima raspršenja čestice međusobno razmjenjuju impuls i energiju i analiza procesa, kao i u procesima sudara krutih tijela, bazirana je na primjeni zakona o uvanju. Prepostavljamo da su sile medju česticama koje sudjeluju u raspršenju konzervativne centralne sile, kao gravitacijske ili električne sile, opisane sfersko simetričnim potencijalom  $U(r)$ , gdje je  $r = |\vec{r}_1 - \vec{r}_2|$  intenzitet vektora relativnog položaja čestica. Prepostavljamo i da potencijal  $U(r)$  dovoljno brzo opada s udaljenjem, tj. kad  $r \rightarrow \infty$ , i to najmanje kao  $r^{-1}$ , tako da se čestice na makroskopskim rastojanjima (puno prije i puno poslije sudara) mogu smatrati slobodnim.

## 4.6 Kinematika raspršenja

Osnovne ideje teorije raspršenja čestica najlakše je razumjeti na primjeru tipičnog eksperimenta: raspršenju čestica mase  $m_1$  od projektila, na fiksnoj meti, čestici/ama mase  $m_2$ , koja u poletku miruje. Tipičan slučaj prikazan je na Slici 22.



Slika 22.

Projektil mase  $m_1$  se priblišava meti, koja miruje, u pravcu z-osi sa konstantnim po etnim impulsom  $\vec{p}_1 = m\vec{v}_0$ . Kad ne bi djelovala nikakva sila na projektil, on bi proao pored mete na minimalnoj udaljenosti  $\bar{b}$ , koja se naziva parametar sudara. U blizini išodišta, u regionu interakcije uslijed sila me udjelovanja, projektil se raspruge, tj. skreće i u udaljeni detektor stiže sa konstantnim impulsom  $\vec{p}_1'$ . Estica mase  $m_2$  o meta, po tome se gibati uslijed interakcije sa projektilom i poslije raspruge odlazi u beskonaost sa konstantnim impulsom  $\vec{p}_2'$ . Sve fizikalne veličine poslije raspruge označavamo sa »'«. Putanja projektila je simetrična u odnosu na pravac minimalnog rastojanja od centra sile o pericentar  $\bar{r}_p$ , jer dva znaka u (4.16) [ili (4.19) u slučaju sila proporcionalnih sa  $r^{-2}$ ] daju po apsolutnoj vrijednosti istu promjenu kuta za zadano dr, ako kut mjerimo od pravca  $\bar{r}_p$ . To je oigledno jer svaki konusni presjek ima os simetrije kroz fokuse.

Raspruge projektila mjeri se kutom raspruge  $\theta$  koji je određen sa:

$$\cos \theta = \frac{\vec{p}_1 \cdot \vec{p}_1'}{|\vec{p}_1| |\vec{p}_1'|}. \quad (4.47)$$

Sustav projektil-met je izolirani sustav dvije estice i cijeli proces raspruge određen je po etnom brzinom projektila  $v_0$ , parametrom sudara  $b$  i potencijalnom energijom interakcije  $U(r)$ . Za centralne sile raspruge ne zavisi od sfernog kuta  $\varphi$  (kut sa x-osi) i proces raspruge je aksialno simetričan (simetričan u odnosu na rotaciju oko z-osi), što znači da raspruge zavisi samo od intenziteta parametra sudara  $b$ , ali ne i od njegova pravca.

Osnovna ideja teorije raspruge estica je da opisuje proces prelaska sustava iz inicijalnog stanja ( $\vec{p}_1 = m\vec{v}_0$  i  $\vec{p}_2 = 0$ ) u finalno stanje ( $\vec{p}_1'$  i  $\vec{p}_2'$ ) pomoću makroskopskih fizikalnih veličina koje se mogu mjeriti daleko od mikroskopskog regiona interakcije u dijelu prostora gdje su estice slobodne o puno prije ili puno poslije interakcije. Raspruge lako opisati pomoću:  $\vec{p}_1$ ,  $\vec{p}_1'$  i kuta raspruge  $\theta$  umjesto parametra sudara  $b$ .

U slučaju centralnih sila gibanje je uvijek u ravni zbog zakona o uvanju angулarnog momenta (4.9). Za tu ravninu uvijek možemo odabrati recimo yz-ravninu kao na Slici 22., koja je nacrtana za slučaj odbojnih električnih sila o putanje estica su hiperbole. Za analizu procesa raspruge potrebno je uvesti sustav centra mase prema (4.2) ili (4.3). U sustavu centra mase vrijedi  $\ddot{r}_c = 0$  i  $\dot{\ddot{r}}_c = 0$ , pa je prije i poslije raspruge (veličine računate u odnosu na sustav centra mase označavamo sa »\*»):

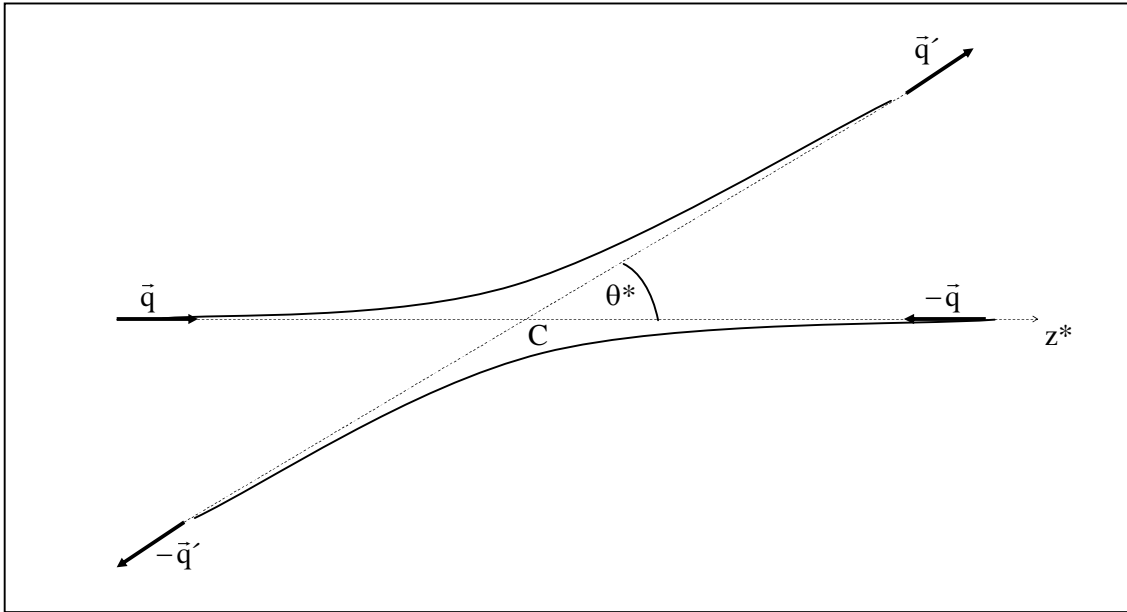
- Inicijalno stanje:

$$\vec{p}_1^* = m_1 \dot{\vec{r}}_1 = \dot{\vec{r}} \equiv \vec{q}, \quad \vec{p}_2^* = m_2 \dot{\vec{r}}_2 = -\dot{\vec{r}} = -\vec{q}, \quad (4.48)$$

- Finalno stanje:

$$\vec{p}_1'^* = m_1 \dot{\vec{r}}_1' = \dot{\vec{r}}' \equiv \vec{q}', \quad \vec{p}_2'^* = m_2 \dot{\vec{r}}_2' = -\dot{\vec{r}}' \equiv -\vec{q}'. \quad (4.49)$$

U sustavu centra mase raspr-enje je jednostavan, simetri an proces (uzmemli pravac  $\vec{q}$  za  $z^*$ -os kut raspr-enja projektila  $\theta^*$  je kut sfernog koordinatnog sustava), kao na Slici 23.



Slika 23.

Zakoni o uvanja za gibanje dviju estica daju:

- Zakon o uvanja impulsa:

$$\vec{p}_1 = \vec{p}_1' + \vec{p}_2', \quad (4.50)$$

- Zakon o uvanja energije:

Ako je raspr-enje elasti no, tj. ne mijenja se unutarnja energija estica u sudaru (ovaj uvjet nije uvijek ispunjen u kvantnoj mehanici), onda je:

$$\frac{\vec{p}_1^2}{2m_1} = \frac{\vec{p}_1'^2}{2m_1} + \frac{\vec{p}_2'^2}{2m_2}, \quad (4.51)$$

jer je  $U(\hat{O}) = 0$ . Elasti no raspr-enje zna i vafljenje zakona o uvanja kineti ke energije. Definiramo li impuls centra mase  $\vec{P}_c = \vec{p}_1 + \vec{p}_2 = m_1\dot{\vec{r}}_1 + m_2\dot{\vec{r}}_2 = M\dot{\vec{r}}_c$  i impuls relativnog gibanja  $\vec{p}_r = \dot{\vec{r}} = \vec{q}$ , prije raspr-enja je:

$$\vec{p}_1 = \frac{m_1}{M}\vec{P}_c + \vec{q}, \quad \vec{p}_2 = \frac{m_2}{M}\vec{P}_c - \vec{q} = 0, \quad (4.52)$$

-to daje:

$$\vec{P}_c = \frac{M}{m_2} \vec{q} \quad \text{i} \quad \vec{p}_1 = \vec{P}_c .$$

Kako unutarnje sile ne mijenjaju impuls centra mase, poslije sudara je na isti na in:

$$\vec{p}_1' = \frac{m_1}{M} \vec{P}_c + \vec{q}' = \frac{m_1}{m_2} \vec{q} + \vec{q}', \quad \vec{p}_2' = \frac{m_2}{M} \vec{P}_c - \vec{q}' = \vec{q} - \vec{q}', \quad (4.53)$$

-to uvr-tavanjem u zakon o uvanja energije (4.51) daje:

$$\vec{q}^2 = \vec{q}'^2 \Rightarrow |\vec{q}| = |\vec{q}'| = q, \quad (4.54)$$

tj., u elasti nom raspr-enju estica u sustavu centra mase intenziteti impulsa estica ostaju nepromjenjeni i jedino se mijenje pravac impulsa za kut  $\theta^*$ .

Na imo sad relaciju koja povezuje kut raspr-enja projektila  $\theta$  u laboratorijskom sustavu (4.47) i u sustavu centra mase  $\theta^*$ . Koriste i (4.52) i (4.53) vrijedi:

$$\vec{p}_1 \cdot \vec{p}_1' = \left( \frac{M}{m_2} \vec{q} \right) \left( \frac{m_1}{m_2} \vec{q} + \vec{q}' \right) = \frac{M}{m_2} q^2 \left( \frac{m_1}{m_2} + \cos \theta^* \right),$$

i

$$\vec{p}_1 \cdot \vec{p}_1' = |\vec{p}_1| |\vec{p}_1'| \cos \theta^* = \frac{M}{m_2} q^2 \left[ 1 + 2 \frac{m_1}{m_2} \cos \theta^* + \left( \frac{m_1}{m_2} \right)^2 \right]^{\frac{1}{2}} \cos \theta^*,$$

pa je:

$$\cos \theta^* = \left( \frac{m_1}{m_2} + \cos \theta^* \right) \left[ 1 + 2 \frac{m_1}{m_2} \cos \theta^* + \left( \frac{m_1}{m_2} \right)^2 \right]^{-\frac{1}{2}}.$$

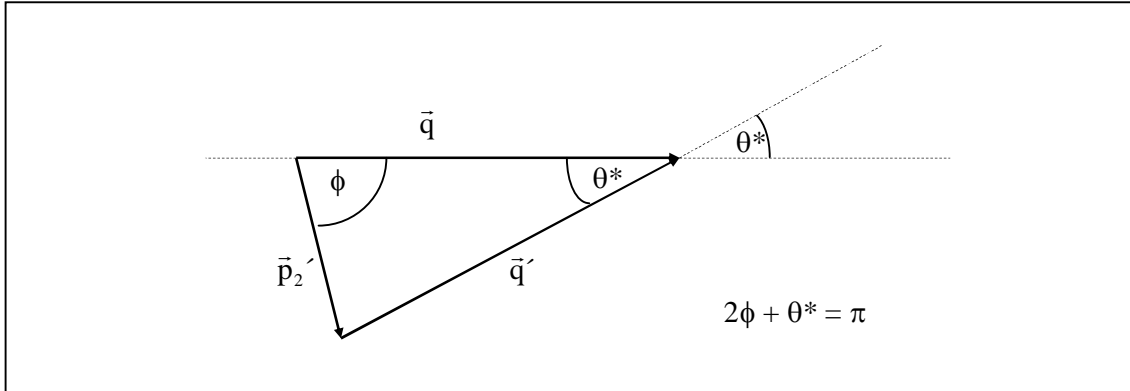
Iskoristimo li zadnji izraz da na emo  $\sin \theta^*$ , lako se kona no dobija veza kuteva raspr-enja u dva sustava:

$$\tan \theta^* = \frac{\sin \theta^*}{\frac{m_1}{m_2} + \cos \theta^*}, \quad (4.55)$$

pri emu je:  $0 \leq \theta^* \leq \pi$  i  $\theta < \theta^*$ .

Druga estica u laboratorijskom sustavu skre e za kut  $\phi$ , pa je zbog  $\vec{p}_2' = \vec{q} - \vec{q}'$  i  $q = |\vec{q}| = |\vec{q}'|$  prema Slici 24.:

$$\phi = \frac{-\theta^*}{2}. \quad (4.56)$$



Slika 24.

Dovoljno je poznavati kut raspr-ena  $\theta^*$  u sustavu centra mase jer se onda, kako pokazuju izrazi (4.55) i (4.56), mogu odrediti kutevi rasp-ena  $\theta$  i  $\phi$  obje estice u laboratorijskom sustavu, te vrijedi:

- Ako je  $m_1 < m_2$  mogu i kutevi raspr-ena u laboratorijskom sustavu su  $0 \leq \theta \leq \pi$ . Ako je meta puno masivnija od projektila  $m_1 \ll m_2$ , nestaje razlika izme u dva sustava i u limesu je:  $\theta \rightarrow \theta^* \leq \pi$ .
- Za raspr-ene identi nih estica  $m_1 = m_2$ , -to je est slu aj u eksperimentima sudaranja snopova estica, vrijedi:  $= \frac{\theta^*}{2}$  i  $\theta + \phi = \frac{\pi}{2}$ , -to zna i da se u laboratorijskom sustavu poslige rasp-ena estice gibaju okomito jedna na drugu, te da je maksimalna vrijednost kuta raspr-ena bilo koje estice je  $\theta_{\max} = \frac{\pi}{2}$ . U specijalnom slu aju centralnog sudara je  $\theta^* = \pi$ , te  $\vec{q}' = -\vec{q}$ , pa je prema (4.52) i (4.53):  $\vec{p}_1' = 0$ , a  $\vec{p}_2' = \vec{p}_1$ .
- Ako je  $m_1 > m_2$  mogu i kutevi raspr-ena u laboratorijskom sustavu su ograni eni na interval  $0 \leq \theta \leq \theta_{\max}$ , gdje je  $\sin \theta_{\max} = \frac{m_2}{m_1}$ . U laboratorijskom sustavu u raspr-enu na meti manje mase projektil uvijek skrene za kut manji od  $\frac{\pi}{2}$ . Kut raspr-ena  $\theta > \frac{\pi}{2}$  mogu je samo ako je meta masivnija od projektila.

## 4.7 Dinamika raspršenja

Prema Slici 22. vektor sudara  $\vec{b}$  povezan je sa angularnim momentom relativnog gibanja estica jer je u po etnom stanju u odnosu na nepokretnu metu:

$$\vec{l} = \vec{r} \times \vec{q} = \vec{r} \times \frac{m_2}{M} \vec{p}_1 = \frac{m_2}{M} \vec{b} \times \vec{p}_1 = \vec{b} \times \vec{q}. \quad (4.57)$$

Kao što je ve pokazano, za gibanje izoliranog sustava dvije estice koje me udjeluju centralnim silama, prema (1.39), važi ne samo zakon o uvanja ukupnog angularnog momenta, ve i zakon o uvanja angularnog momента relativnog gibanja, kao u (4.9).

- Zakon o uvanja angularnog momenta relativnog gibanja:

$$l = |\vec{l}| = |\vec{b} \times \vec{q}| = \text{const.} \Rightarrow b = \frac{l}{q}. \quad (4.58)$$

Problem koji treba rješiti je: za zadanu sferno simetričnu potencijalnu energiju  $U(r)$  interakcije dve estice treba odrediti kut raspršenja  $\theta$  projektila, ako znamo njegov impuls  $\vec{p}_1$  i angуларни moment relativnog gibanja  $\vec{l}$  prije raspršenja. Vidjeli smo da se problem svodi na određivanje putanje (4.16) estice mase  $\mu = \frac{m_1 m_2}{M}$  i radijus vektora  $\vec{r}$  na koju djeluje sila određena potencijalom  $U(r)$ , pri čemu su energija  $E$  i angularni moment estice  $\vec{l}$ :

$$E = \frac{q^2}{2}, \quad \vec{l} = \vec{b} \times \vec{q}, \quad (4.59)$$

tj.,

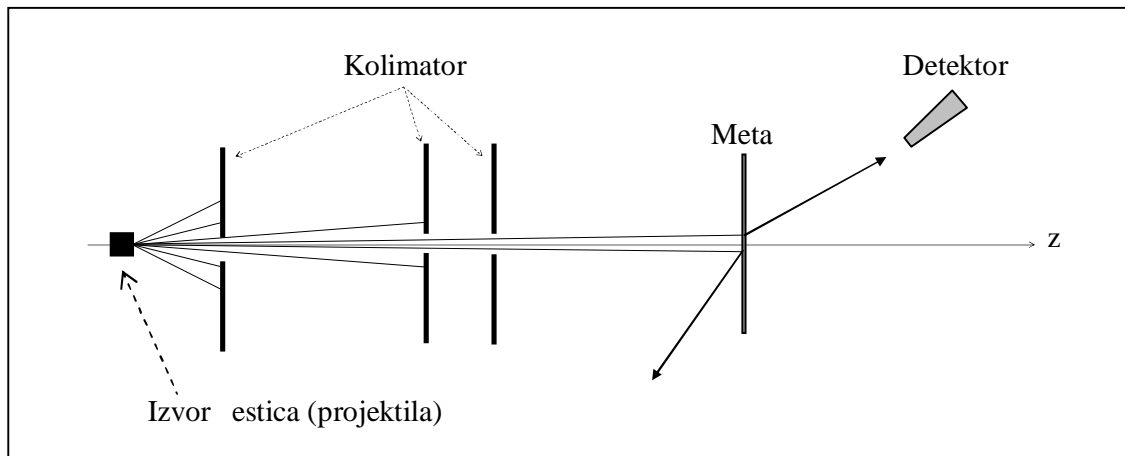
$$d\phi = \pm \frac{l dr}{r^2 \sqrt{2 [E - U(r)] - \frac{l^2}{r^2}}} = \pm \frac{b dr}{r^2 \sqrt{1 - \frac{b^2}{r^2} - \frac{2}{q^2} U(r)}}. \quad (4.60)$$

Prema Slici 23., kut raspršenja  $\theta^*$  u sustavu centra mase je:  $\theta^* = \pi - 2\phi$ , gdje je  $2\phi$  kut među asymptotama putanje. Odaberemo li za x-os pravac pericentra (os simetrije putanje), polukut  $\phi$  među asymptotama trajektorije je:

$$\phi = \int_{r_p}^{\infty} \frac{b dr}{r^2 \sqrt{1 - \frac{b^2}{r^2} - \frac{2}{q^2} U(r)}}. \quad (4.61)$$

Ova relacija omogućuje da se odredi polukut među asymptotama putanje, a time i kut raspršenja  $\theta^*$ , iz poznate potencijalne energije interakcije estica.

U stvarnim eksperimentima raspr- enja estica u pravilu ne sudjeluju jedan projektil i jedna meta, ve snopovi velikog broja (milioni) identnih estica iste po etne brzine, tj. energije. Slika 25. prikazuje shemu Rutherford-ova eksperimenta raspr- enja estica na fiksnoj meti.



Slika 25.

Kako snop projektila ima mali, ali kona an, popre ni presjek odre en otvorom kolimatore, razli te estice u po etnom snopu imat e mikroskopski razli te (i nemjerljive) parametre sudara  $b$ , koji e rezultirati razli itim kutevima raspr- enja  $\theta$ . Kako sila izme u projektila i mete ovisi samo o njihovoj udaljenosti, uvijek se pretpostavlja da je kut raspr- enja jednozna na funkcija parametra sudara  $\theta = \theta(b)$ , tj. da je inverzna funkcija  $b = b(\theta)$  tako e jednozna na. To zna i da e svi projektili koji inicijalno imaju parametre sudara u intervalu  $(b, b + db)$  poslige sudara imati kuteve raspr- enja u intervalu  $(\theta, \theta + d\theta)$ .

Kutna raspodjela raspr- enih estica u potencijalu  $U(r)$  opisuje se fizikalno mjerljivom veli inom  $d\sigma(\theta)$  koja se naziva **diferencijalni udarni presjek** (differential cross section) ili **diferencijalni efikasni presjek raspršenja** i definira kao:

$$d\sigma = \frac{dn}{n_0}, \quad (4.62)$$

gdje je:  $dn$  broj estica u jedinici vremena koje imaju kut raspr- enja u intervalu  $(\theta, \theta + d\theta)$ , a  $n_0$  je intenzitet estica u po etnom snopu (gusto a struje estica), tj. broj estica koje u jedinici vremena pro u kroz jedinicu povr- ine okomitu na pravac snopa. Dimenzije od  $dn$  su  $(vrijeme)^{-1}$ , a dimenzije od  $n_0$  su  $(vrijeme)^{-1} \times (\text{povr-ina})^{-1}$ , pa  $d\sigma$  ima dimenzije povr- ine i mjeri se u  $\text{m}^2$ . Kako su makroskopske jedinice ogromne za tipi ne veli ine u fizici atomu i molekulu, e- e se koristi jedinica **barn** =  $10^{-28} \text{ m}^2$ .

U slu aju centralnih sila postoji azimutalna simetrija (simetrija u odnosu na sferni kut  $\phi$ ), tako da sve estice u po etnom snopu koje pro u kroz kruglji prsten sa centrom na z-osi unutarnjeg radijusa  $b$  i spolja- njeg radijusa  $b + db$ , poslige raspr- enja skre u u interval kuteva  $(\theta^*, \theta^* + d\theta^*)$ , pa je  $dn = n_0 2\pi b(\theta^*) db$ , te:

$$d\sigma = 2\pi b(\theta^*) db = 2\pi b(\theta^*) \left| \frac{db(\theta^*)}{d\theta^*} \right| d\theta^*.$$

Apsolutna vrijednost na desnoj strani osigurava pozitivan znak  $d\sigma$ . Ako sila među esticama opada s udaljenjem – u, to je uobičajena situacija, onda će biti rezultira manjim kutom raspršenja  $\theta^*$ , to znači da je  $\frac{db(\theta^*)}{d\theta^*}$  negativno.

Uobičajeno je da se diferencijalni efikasni presjek raspršenja  $d\sigma$  izrađava preko elementa prostornog kuta (elementa površine jedinične sfere)  $d\Omega^* = \sin\theta^* d\theta^* d\varphi^*$  integriranog po  $\varphi^*$ , tj.:

$$d\omega^* = 2\pi \sin\theta^* d\theta^* \Rightarrow d\theta^* = \frac{1}{2 \sin\theta^*} d\omega^*. \text{ Diferencijalni efikasni presjek raspštenja kao funkcija parametra sudara } b \text{ u sustavu centra mase je onda:}$$

$$\frac{d}{d\omega^*} = \frac{b(\theta^*)}{\sin\theta^*} \left| \frac{db(\theta^*)}{d\theta^*} \right|. \quad (4.63)$$

Integracija po prostornom kutu  $d\omega^*$  daje ukupni udarni presjek raspršenja  $\sigma$ .

Kako je:

$$\frac{d}{d\omega^*} = \frac{d}{d\theta^*} \frac{d\theta^*}{d\omega^*} = \frac{d}{d\theta^*} \left( \frac{dcos\theta^*}{dcos\theta^*} \right)^{-1} \text{ i} \\ \cos\theta^* = \left( \frac{m_1}{m_2} + \cos\theta^* \right) \left[ 1 + 2 \frac{m_1}{m_2} \cos\theta^* + \left( \frac{m_1}{m_2} \right)^2 \right]^{-\frac{1}{2}},$$

za diferencijalni efikasni presjek raspršenja u laboratorijskom sustavu dobija se:

$$\frac{d}{d\omega^*} = \frac{d}{d\theta^*} \frac{\left[ 1 + 2 \frac{m_1}{m_2} \cos\theta^* + \left( \frac{m_1}{m_2} \right)^2 \right]^{\frac{3}{2}}}{1 + \frac{m_1}{m_2} \cos\theta^*}, \quad (4.64)$$

gdje je veza kuteva raspršenja u dva sustava (4.55). Gornja relacija je jednostavna u slučaju raspršenja identičnih estica  $m_1 = m_2$ , kada je  $\theta^* = \frac{\pi}{2}$  i kad vrijedi:

$$\frac{d}{d\omega^*} = 4 \frac{d}{d\theta^*} \cos\theta^*. \quad (4.65)$$

Fizikalni smisao ukupnog efikasnog presjeka raspršenja biti će jasniji iz slijedećeg jednostavnog primjera.

Primjer 1. Elastično raspršenje krutih kugli.

Razmotrimo elastično raspršenje identičnih idealno krutih kugli mase  $m = m_1 = m_2$  i radijusa  $R = R_1 = R_2$  (kao sudari identičnih bilijarskih kugli). Treba naći efikasni presjek raspršenja.

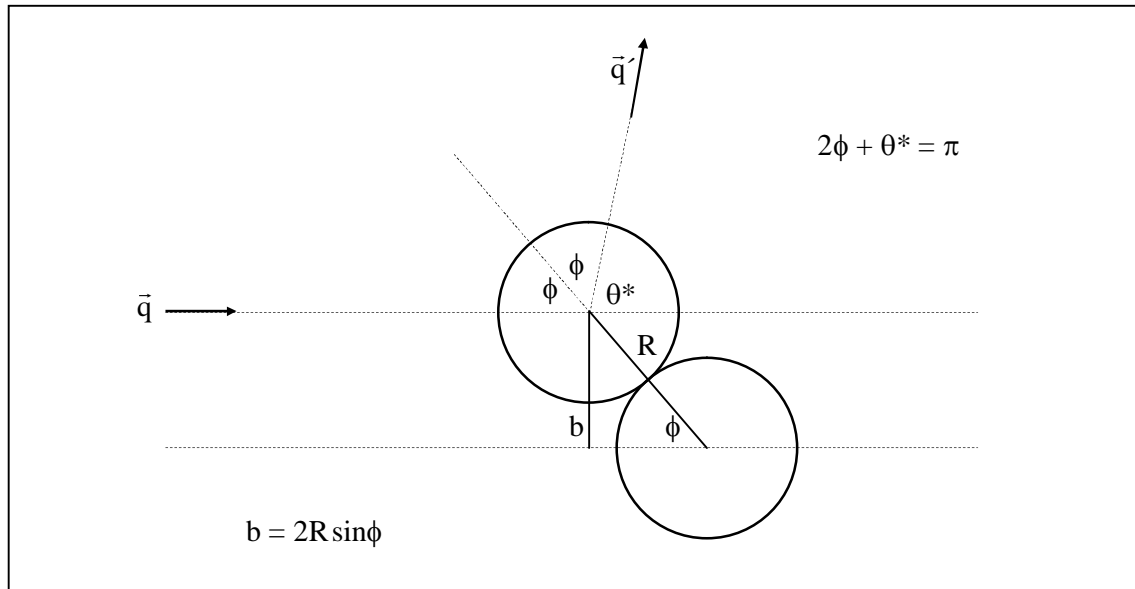
Među kuglama ne djeluju nikakve sile osim u trenutku sudara, kada djeluje beskonačna odbojna kontaktna sila koja osigurava da je minimalna udaljenost centara kugli  $2R$ . Potencijalna energija takve sile je:

$$U(r) = \begin{cases} 0, & \text{za } r > 2R \\ \infty, & \text{za } r < 2R \end{cases}, \quad \text{gdje } r = |\vec{r}_1 - \vec{r}_2|. \quad (4.66)$$

Lako je provjeriti prema (4.16) da je za ovakav potencijal putanja pravac (precizno, do trenutka sudara pravac duž kojega je impuls estice  $\vec{q} = \text{const.}$ , a poslije sudara, drugi pravac duž kojega je impuls estice  $\vec{q}' = \text{const.}$ ) ija je jednadžba u polarnim koordinatama:

$$r \cos(\phi - \phi_0) = \frac{l}{\sqrt{2E}}.$$

U sudaru idealnih krutih tijela važe zakon refleksije o odbojni kut  $\phi$  jednak je upadnom kutu  $\phi$ . Trenutak sudara kugli u sustavu centra mase prikazan je na Slici 26.



Slika 26.

Veza parametra sudara i kuta raspršenja je:  $b = 2R \sin \frac{\phi - \theta^*}{2} = 2R \cos \frac{\theta^*}{2}$ . Prema (4.63) diferencijalni efikasni presjek raspršenja u sustavu centra mase je:

$$\frac{d}{d^*} = R^2 = \text{const.}, \quad (4.67)$$

pa je totalni efikasni presjek raspršenja:

$$\sigma = \int \frac{d}{d^*} d^* = R^2 \int_0^{\infty} 2 \sin^* d^* = 4\pi R^2. \quad (4.68)$$

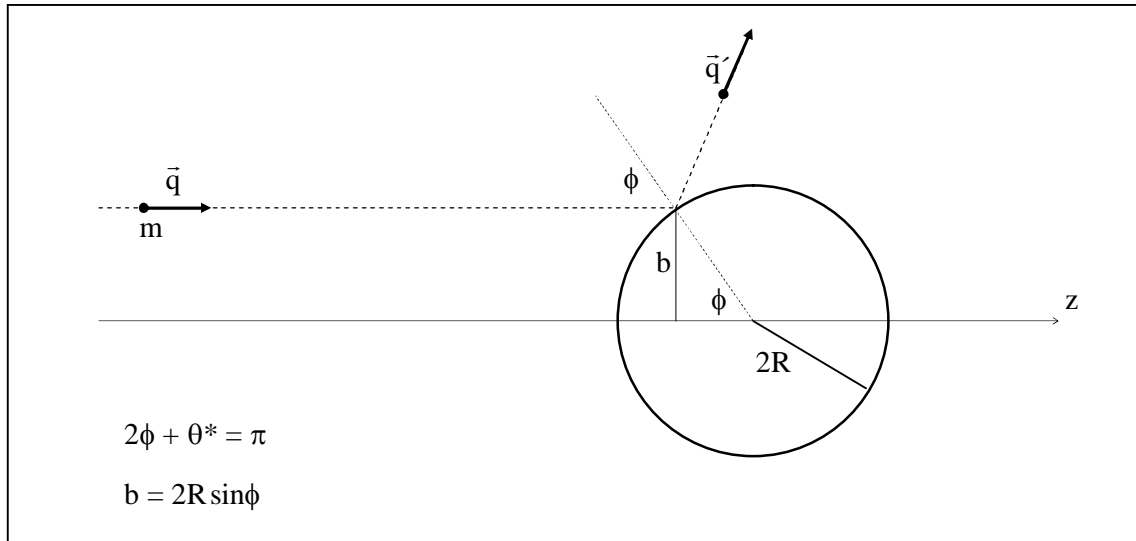
Kako se radi o raspršenju identičnih estica  $m_1 = m_2$ , u laboratorijskom sustavu je  $\theta = \frac{\pi}{2}$ ,  
-to znači  $\theta \in \left[0, \frac{\pi}{2}\right]$ , i prema (4.65), diferencijalni efikasni presjek raspršenja je:

$$\frac{d}{d^*} = 4R^2 \cos^*, \quad (4.69)$$

i naravno, opet je totalni efikasni presjek raspršenja:

$$\sigma = \int \frac{d}{d^*} d^* = 4R^2 \int_0^{\frac{\pi}{2}} 2 \sin^* \cos^* d^* = 4\pi R^2. \quad (4.70)$$

*Totalni efikasni presjek raspršenja je površina poprečnog presjeka centra raspršenja (mete) u ovom slučaju to je površina krugotine radijusa  $2R$  (da bi došlo do raspršenja centri kugli moraju biti na udaljenosti  $2R$ ). Ovo je evidentno ako umjesto elastičnog raspršenja krutih kugli mase  $m$  i radijusa  $R$ , promatramo ekvivalentno elastično raspršenje estica mase  $m$  (projektila) na krutoj kugli iste mase  $m$ , ali radijusa  $2R$  (meti), kao na Slici 27.*



Slika 27.

Broj i karakter sudara ostaje nepromjenjen, jer estica  $\alpha$  projektil doflivi raspr- enje samo ako se nađe na rastojanju  $2R$  od centra krute kugle, pa je potencijal  $U(r)$  opet (4.66).

Iz veze parametra sudara i kuta raspr- enja  $b = 2R \cos \frac{\sigma}{2}$  je očigledno da su i ovom slučaju diferencijalni i ukupni efikasni presjeci raspr- enja (4.67) i (4.68),

$$\frac{d\sigma}{d\Omega} = R^2 = \text{const.} \quad \text{i} \quad \sigma = 4\pi R^2.$$

Ukupni efikasni presjek raspr- enja  $\sigma$  jednak je površini poprečnog presjeka kugle (mete).

## 4.8 Rutherfordovo raspršenje

Prva primjena eksperimenata raspr- enja u fizici dovela je do otkrića nuklearnog modela atoma, koji se naziva i Rutherfordov model atoma. U seriji eksperimenata, shematski prikazanih na Slici 25., Rutherford, Geiger i Marsden 1910-1911. bombardirali su  $\alpha$ -esticama ( $\alpha$ -estica je nukleus atoma helija  ${}^4\text{He}_2$ ) tanke liste zlata  ${}^{197}\text{Au}_{79}$  i mjerili diferencijalni udarni presjek raspr- enja  $d\sigma(\theta)$ . Rutherford je 1911. pokazao da se upravo takvi rezultati eksperimenta očekuju ako je atom vezano stanje masivne pozitivno nabijene jezgre radijusa  $10^{-15}$ – $10^{-14}$  m i elektronskog oblaka radijusa  $10^{-10}$  m oko jezgre. Danas znamo da se jezgre atoma sastoje od nukleona i protona i neutrona, koji su i sami vezana stanja kvarkova i gluona.

Osnova Rutherfordove analize je pretpostavka da se  $\alpha$ -estice raspr-ju u odbojnem Coulombovom potencijalu jezgre atoma  $U(r) = \frac{A}{r}$ , gdje je  $A = \frac{Q_1 Q_2}{4\pi \epsilon_0} > 0$ . Naboji  $\alpha$ -estica i jezgri atoma zlata su  $Q_1 = 2e$  i  $Q_2 = 79e$ . Putanja u slučaju odbojne električne sile je hiperbola, a polukut  $\phi$  među asimptotama (4.61) je:

$$\phi = \int_{r_p}^{\infty} \frac{b dr}{\sqrt{1 - \frac{b^2}{r^2} - \frac{2A}{q^2 r}}}, \quad (4.71)$$

gdje je:

$$E = \frac{q^2}{2} = \frac{A}{r_p} + \frac{l^2}{2r_p^2} = \frac{A}{r_p} + \frac{b^2 q^2}{2r_p^2}. \quad (4.72)$$

Lako je provjeriti da integral (4.71) daje:  $\phi = \arctg \frac{bq^2}{A}$ , tj.  $\tan \phi = \frac{bq^2}{A}$ , pa je  $b^2 = \frac{A^2 - 2}{q^4} \tan^2 \phi$ , te je veza parametra sudara i kuta raspr- enja:

$$b^2 = \frac{A^2}{q^4} \operatorname{ctg}^2 \frac{\theta^*}{2}. \quad (4.73)$$

Uvr-tavanjem u (4.63) dobija se Rutherfordova formula za diferencijalni udarni presjek za raspr-enje estica koje me udjeluju elektri nim interakcijama:

$$\frac{d\sigma}{d\Omega} = \left( \frac{A}{2E} \right)^2 \frac{1}{\sin^4 \frac{\theta^*}{2}}, \quad (4.74)$$

koja je to na ak i u kvantnoj mehanici. Kako diferencijalni udarni presjek zavisi samo od  $A^2$ , formule (4.73) i (4.74) vafle i za privla ne i za odbojne elektri ne sile.

Diferencijalni udarni presjek raspr-enja divergira  $\frac{d\sigma}{d\Omega} \rightarrow \infty$  kad  $\theta^* \rightarrow 0$ , -to je fizikalno besmisleno, jer zna i da je frakcija estica koje se raspr-uju pod kutem  $\theta^* = 0$  beskona na. Prema (4.73) problemati no divergentno pona-anje nastaje za velike vrijednosti parametra sudara  $b \rightarrow \infty$  koje rezultiraju vrlo malim kutom rasr-enja  $\theta^* \rightarrow 0$ . Ukupni udarni presjek rasp-enja tako e divergira:

$$\sigma = 2\pi \int_0^\infty \frac{d\Omega}{d\theta^*} \sin^4 \theta^* d\theta^* = -2 \left. \left( \frac{A}{2E} \right)^2 \frac{1}{\sin^2 \frac{\theta^*}{2}} \right|_0^\infty \rightarrow \infty, \quad (4.75)$$

kad  $\theta^* \rightarrow 0$ , tj. kad  $b \rightarrow \infty$ . Obje divergencije su matemati ke posljedice injenice da je Coulombov potencijal «dugog (beskona nog) dosega», tj. da opada sa udaljenom u kao  $r^{-1}$  *bez obzira koliko je projektil udaljen od mete sila na projektil nije zanemariva* i projektil «osje a» beskona ni popre ni presjek mete  $\sigma$ .

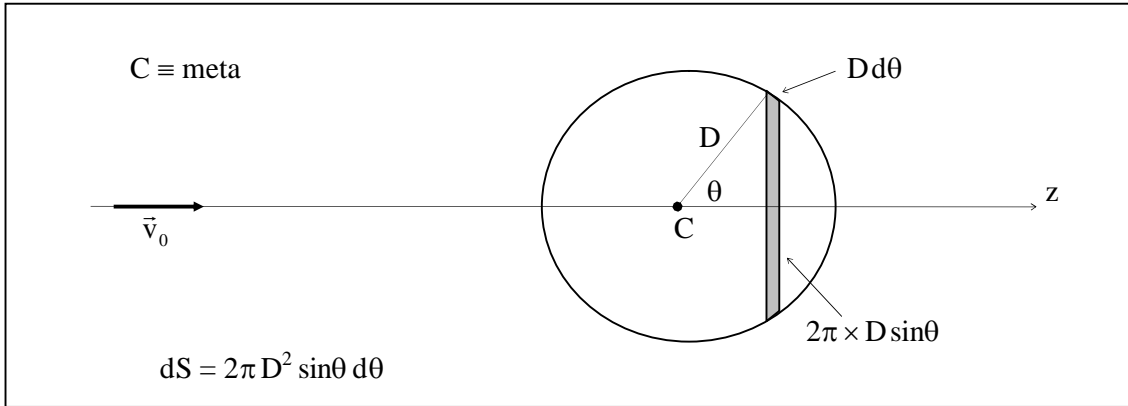
U stvarnosti ovaj problem ne postoji (ne postoji Coulombov potencijal za proizvoljno veliko  $r$ ), jer ve za parametre sudara ve e od  $10^{-10}$  m,  $\alpha$ - estice su van atoma zlata i zbog neutralnosti atoma ne šosje ajuć nikakvu odbojnu elektri nu silu. To zna i da u problemu raspr-enja  $\alpha$ - estica na jezgrama atoma zlata mora postojati gornja granica parametra sudara  $b_{\max} \sim 10^{-10}$  m koja odre uje minimalnu vrijednost kuta raspr-enja  $\theta^*_{\min} > 0$ , ime bivaju eliminirane divergencije udarnog presjeka raspr-enja.

Kako je  $m_1 = 4$ , a  $m_2 = 197$ , te  $\frac{m_1}{m_2} = 0,02$ , formula (4.74), s pogre-kom od nekoliko postotaka, vafli i u laboratorijskom sustavu:

$$\frac{d\sigma}{d\Omega} = \left( \frac{A}{2E} \right)^2 \frac{1}{\sin^4 \frac{\theta^*}{2}}. \quad (4.76)$$

Npr., za  $\theta^* = 30^\circ$ , prema (4.55) je  $\theta = 29.43^\circ$ , pa zamjena  $\theta^*$  unosi pogre-ku od 1.9%.

Eksperimentalna provjera zahtjeva brojanje  $\alpha$ -estica koje se u jedinici vremena raspr-e pod kutem  $\theta$  u detektor aktivne povr-ine  $\Delta S_{ak.}$  na udaljenosti  $D$  od listi a zlata (mete). Projektili koji poslije prolaska kroz metu imaju kuteve raspr-enja u intervalu  $(\theta, \theta + d\theta)$  presjecaju zami-ljenu sferu radijusa  $D$  sa centrom u meti na kojoj se nalazi detektor unutar sfernog pojasa povr-ine  $dS = 2\pi D^2 \sin\theta d\theta$ , kao na Slici 28.



Slika 28.

Broj  $\alpha$ -estica dn koje se u jedinici vremena raspr-e u interval kuteva  $(\theta, \theta + d\theta)$  prema definiciji diferencijalnog udarnog presjeka (4.62) je  $dn = n_0 d\sigma = n_0 \frac{d}{d} d\omega = n_0 \frac{d}{d} 2\pi \sin\theta d\theta$ .

Od svih  $\Delta n$  takvih rasp-enih  $\alpha$ -estica u detektor e u jedinici vremena sti i samo:

$$\Delta N = \Delta n \frac{\Delta S_{ak.}}{\Delta S} = \Delta n \frac{\Delta S_{ak.}}{2 \frac{D^2 \sin \theta}{\Delta}} = n_0 \frac{\Delta S_{ak.}}{D^2} \frac{d}{d} = n_0 \frac{\Delta S_{ak.}}{D^2} \left( \frac{A}{2E} \right)^2 \frac{1}{\sin^4 \frac{\theta}{2}}$$

Na kraju treba jo-napraviti korekciju za mogu nost raspr-enja na bilo kojoj jezgri atoma zlata dufl putanje  $\alpha$ -estice kroz foliju debljine  $d$  o gornji rezultat treba pomnoftiti sa  $c d$  gdje je  $c$  broj atoma zlata po jedinici volumena. Broj  $\alpha$ -estica koje se u jedinici vremena raspr-e pod kutem  $\theta$  u detektor je onda:

$$\Delta N = n_0 \left( c d \frac{\Delta S_{ak.}}{D^2} \right) \left( \frac{1}{4} \frac{Z e^2}{E_k} \right)^2 \frac{1}{\sin^4 \frac{\theta}{2}}, \quad (4.77)$$

gdje je  $Z$  naboj nukleusa (za zlato  $Z = 79$ ), a  $E_k$  je po etna kineti ka energija  $\alpha$ -estica.

Eksperimentalna provjera Rutherfordove formule svodi se na provjeru (4.77) kao funkcije energije projektila  $E_k$ , kuta raspr-enja  $\theta$  i naboja jezgre  $Ze$ . Slaganje eksperimentalnih rezultata i teorijskog prora una je izvrsno.

Ilustrirajmo na jednostavnom primjeru kako se Rutherfordova formula (4.74) ili (4.76) može iskoristiti za odre ivanje radijusa jezgre.

Primjer 2. Rutherfordovo raspr-enje u pozadinsku hemisferu.

U eksperimentu raspr-enja  $\alpha$ - estica na vrlo tankoj zlatnoj foliji debljine  $d = 4 \times 10^{-7}$  m izmjereno je da se jedna u 61700  $\alpha$ - estica raspr-uje u pozadinsku hemisferu (backward scattering) sa kutom raspr-enja  $\theta \geq \frac{\pi}{2}$ . Treba procjeniti dimenzije jezgre zlata na osnovu ovog rezultata.

Vrlo neo ekivani rezultat prvih eksperimenata raspr-enja  $\alpha$ - estica bila je upravo pojava rijetkih  $\alpha$ - estica koje se odbijaju unazad, tj. u laboratorijskom sustavu imaju velike kuteve raspr-enja, veće od  $\frac{\pi}{2}$ . Za centralne sile takvo raspr-enje unazad moguće je samo ako je meta masivnija od projektila  $m_1 < m_2$ . Zato je Rutherford odmah zaključio da atom mora imati nehomogenu raspodjelu mase ō unutar atoma mora postojati centar raspr-enja vrlo, malih dimenzija i velike mase, tj. nukleus atoma zlata (estica mase  $m_2$ ).

Broj estica mase  $m_1$  koje u jedinici vremena jedan nukleus mase  $m_2$  raspr-je pod kutom većim od  $\theta$ , jednak je broju projektila u jedinici vremena koji imaju parametre sudara manji od  $b(\theta)$ , tj.  $\pi b^2 n_0$ , gdje je  $n_0$  intenzitet po etnom snopu  $\alpha$ - estica. Prema definiciji (4.62) ukupni udarni presjek za raspr-enje pod kutem većim od  $\theta$  je:  $\sigma_B(\theta) = \pi b^2(\theta)$ . Ukupan broj raspr-enih projektila u sekundi je onda  $\pi b^2 n_0$ , puta broj jezgara u listi u zlata na putanji projektila (broj atoma zlata koji sudjeluju u raspr-enju)  $c S_{sn} d$ , gdje je  $c$  broj atoma zlata u jedinici volumena,  $S_{sn}$  je površina poprečnog presjeka po etnom snopu  $\alpha$ - estica, a  $d$  debljina listi a zlata.  $S_{sn} d$  je volumen listi a zlata kroz koji prolazi snop projektila. Ukupan broj projektila raspr-enih pod kutem većim od  $\theta$  u jednoj sekundi je  $n = \pi c S_{sn} n_0 d b^2(\theta)$ .

Podijelimo li brojem  $\alpha$ - estica u sekundi u po etnom snopu  $S_{sn} n_0$ , frakcija  $f$  projektila raspr-enih pod kutem većim od  $\theta$  je

$$f = \pi c d b^2(\theta) = c d \frac{A^2}{q^4} \operatorname{ctg}^2 \frac{\theta}{2} = c d \sigma_B(\theta). \quad (4.78)$$

Kako je broj atoma zlata u jedinici volumena:

$$c = \frac{N_A}{M} = \frac{(19,3 \text{ g cm}^{-3})(6,02 \times 10^{23} \text{ atoma mol}^{-1})}{197 \text{ g mol}^{-1}} = 5,9 \times 10^{28} \frac{\text{atoma}}{\text{m}^3},$$

ukupni udarni presjek za pozadinsko raspr-enje je:

$$\sigma_B = \sigma_B \left( \frac{\pi}{2} \right) = \frac{f}{cd} = 6,9 \times 10^{-28} \text{ m}^2 = 6,9 \text{ barna.}$$

Prepostavimo li u prvoj aproksimaciji, po analogiji sa sudarima krutih kugli, da je ukupni udarni presjek jednak površini poprečnog presjeka jezgre  $\sigma_B = \pi R^2$  (sigurno je da su dimenzije jezgre manje jer i  $\alpha$ - estice imaju dimenzije), za radijus jezgre zlata dobija se:

$$R = 1,5 \times 10^{-14} \text{ m} = 15 \text{ fm},$$

-to je petri reda veličine manje od radijusa atoma.

Moderna mjerena za efektivni radijus atoma zlata daju  $R = 7$  fm, u skladu sa formulom iz nuklearne fizike:  $R = R_0 A^{\frac{1}{3}}$ , gdje je  $A$  atomska masa, a  $R_0 = 1,2 \pm 0,2$  fm.

## 5. Gibanje krutog tijela

Ako se ne mogu zanemariti dimenzije materijalnih objekata koji se gibaju, govorimo o gibanju tijela, bilo krutih ili elastičnih. Idealno kruto tijelo je u klasi noj mehanički dobra aproksimacija za realna tijela ije su deformacije pod utjecajem sila vrlo malene u odnosu na njihove dimenzije. Po definiciji, udaljenost bilo koje dvije estice šiš i šiš krutog tijela je nepromjenljiva, tj. za kruto tijelo tijekom gibanja vafle idealne holonomne veze:

$$|\vec{r}_i(t) - \vec{r}_j(t)| = c_{ij} = \text{const.}, \quad \forall i, j, t. \quad (5.1)$$

Položaj krutog tijela potpuno je određen položajem tri njegove nekolinearne (koje nisu na istom pravcu) točaka. Položaj prve točke određen je sa 3 koordinate, recimo  $(x_1, y_1, z_1)$ , tj. ona ima 3 stupnja slobode gibanja. Gibanje druge točke ograničeno je vezom:

$$(x_2 - x_1)^2 + (y_2 - y_1)^2 + (z_2 - z_1)^2 = c_{21}^2 = 0$$

na površinu sfere radijusa  $c_{12}$  sa centrom u prvoj točci, pa druga estica ima samo dva stupnja slobode. Gibanje treće (nekolinearne) točke krutog tijela ograničeno je sa dvije veze:

$$(x_3 - x_1)^2 + (y_3 - y_1)^2 + (z_3 - z_1)^2 = c_{31}^2 = 0,$$

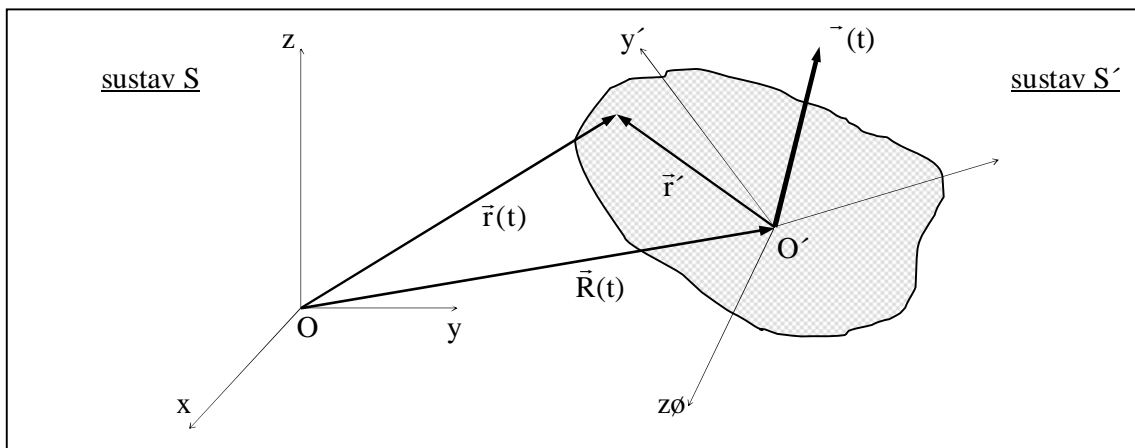
i

$$(x_3 - x_2)^2 + (y_3 - y_2)^2 + (z_3 - z_2)^2 = c_{32}^2 = 0,$$

te ona ima samo jedan stupanj slobode gibanja. Bilo koja preostala estica šiš krutog tijela nema ni jedan stupanj slobode, jer njene koordinate zadovoljavaju tri veze:

$$|\vec{r}_i(t) - \vec{r}_1(t)| = c_{i1}, \quad |\vec{r}_i(t) - \vec{r}_2(t)| = c_{i2}, \quad |\vec{r}_i(t) - \vec{r}_3(t)| = c_{i3}.$$

Kruto tijelo ima  $n = 6$  stupnjeva slobode gibanja. No, ako je gibanje krutog tijela ograničeno nekim dodatnim vezama koje nisu oblika (5.1), na primjer klizanje ili kotrljanje po nekoj podlozi, broj stupnjeva slobode bit će manji.



Slika 29.

Koordinatni sustav  $S'$ , ije su osi  $x'y'z'$ , neka je vrsto vezan za kruto tijelo tako da se giba zajedno sa krutim tijelom. Ishodi-te  $O'$  sustava  $S'$ , koje se naziva pol krutog tijela, je u proizvoljnoj točci tijela. Poloflaj krutog tijela određen je onda poloflajem koordinatnog sustava  $S'$  u odnosu na neki inercijalni referentni sustav  $S$ , kao na Slici 29.

Zamislimo da je jedna točka krutog tijela nepokretna. Odaberemo li tu fiksnu točku za ishodište oba sustava, bilo koji pomak krutog tijela, tj. koordinatnog sustava  $O'x'y'z'$  u odnosu na koordinatni sustav  $Oxyz$ , je neka rotacija oko osi koja prolazi kroz zajedničko ishodište. U odjelu 1.5 smo vidjeli da se svaka takva rotacija može reprezentirati nekom ortogonalnom matricom koja je određena sa 3 linearne nezavisne parametra  $w_i$ , koji su tri komponente trenutne kutne brzine rotacije  $\vec{\omega}(t)$  sustava  $S'$  u odnosu na sustav  $S$  po relaciji (1.50). Znači, tri generalizirane koordinate su potrebne za opis rotacije krutog tijela. Ako sad dopustimo još i proizvoljno gibanje pola krutog tijela (ishodišta  $O'$ ), njegov poloflaj u odnosu na sustav  $S$  određen je s tri koordinate, komponente vektora  $\vec{R}(t)$ , koje određuju translatoryno gibanje krutog tijela. Proizvoljni pomak krutog tijela ekvivalentan je translaciji pola za vektor  $\vec{R}(t)$ , plus nekoj rotaciji oko osi koja prolazi kroz pol. Od 6 stupnjeva slobode gibanja krutog tijela 3 otpadaju na translaciju, a 3 na rotaciju.

Prema Slici 29. radijus vektor bilo kojeg estice krutog tijela je:

$$\vec{r}_i(t) = \vec{R}(t) + \vec{r}'_i, \quad (5.2)$$

gdje je  $\vec{r}'_i$  radijus vektor estice u neinercijalnom sustavu  $S'$ . Vektor  $\vec{r}'_i$  ne zavisi od vremena jer u sustavu  $S'$  kruto tijelo miruje, pa je  $D'\vec{r}'_i = 0$ . Specijalno, za centar mase krutog tijela važi:

$$\vec{r}_c = \frac{1}{M} \sum_i m_i \vec{r}_i, \quad M = \sum_i m_i, \text{ a u sustavu } S': \quad \vec{r}'_c = \frac{1}{M} \sum_i m_i \vec{r}'_i. \quad (5.3)$$

U slučaju kontinuirane distribucije mase, sumaciju po esticama treba zamjeniti integralom po volumenu  $\Omega$  krutog tijela:

$$\sum_i m_i \rightarrow \int dm = \int d^3r' (\vec{r}'). \quad (5.4)$$

Translatatoryno i rotaciono gibanje krutog tijela određeno je njegovim osnovnim dinamikama veličinama. Naime prvo relacije koje povezuju te osnovne dinamike veličine krutog tijela u dva sustava  $S$  i  $S'$ :

$$\vec{P} = \sum_i m_i \dot{\vec{r}}_i = \sum_i m_i \left( \dot{\vec{r}}'_i + \dot{\vec{R}} \right) = M \dot{\vec{r}}'_c + M \dot{\vec{R}}, \quad (5.5)$$

$$\vec{L} = \sum_i m_i \vec{r}_i \times D \vec{r}_i = \sum_i m_i \left( \vec{r}'_i + \vec{R} \right) \times \left( D \vec{r}'_i + D \vec{R} \right) = M \vec{R} \times D \vec{R} + M \vec{r}'_c \times D \vec{R} + \vec{R} \times D(M \vec{r}'_c) +$$

$$+ \sum_i m_i \vec{r}'_i \times D \vec{r}'_i = M \vec{R} \times D \vec{R} + M \vec{r}'_c \times D \vec{R} + M \vec{R} \times (\vec{\omega} \times \vec{r}'_c) + \sum_i m_i \vec{r}'_i \times (\vec{\omega} \times \vec{r}'_i),$$

jer je zbog  $D' \vec{r}_i' = 0$  prema Coriolisovom teoremu (1.52), vremenska promjena vektora  $\vec{r}_i'$  uslijed rotacije:  $D \vec{r}_i' = \vec{\omega} \times \vec{r}_i'$ . Ukupni angularni moment krutog tijela je onda:

$$\vec{L} = M \vec{R} \times D \vec{R} + M \vec{r}_c \times D \vec{R} + M \vec{R} \times (\vec{\omega} \times \vec{r}_c) + \vec{l}_{\text{rot}}, \quad (5.6)$$

gdje samo zadnji lan ovisi o dimenzijama i rasporedu mase krutog tijela (prva tri lana su kao momenti impulsa jedne estice):

$$\vec{l}_{\text{rot}} = \sum_i m_i \vec{r}_i \times (\vec{\omega} \times \vec{r}_i). \quad (5.7)$$

Za ukupni moment sila na kruto tijelo je slično:

$$\begin{aligned} \vec{M} &= \sum_i m_i \vec{r}_i \times D^2 \vec{r}_i = \sum_i m_i (\vec{r}_i \times \vec{R}) \times (D^2 \vec{r}_i + D^2 \vec{R}) = M \vec{R} \times D^2 \vec{R} + M \vec{r}_c \times D^2 \vec{R} + M \vec{R} \times D^2 \vec{r}_c + \\ &+ \sum_i m_i \vec{r}_i \times D^2 \vec{r}_i = M \vec{R} \times D^2 \vec{R} + M \vec{r}_c \times D^2 \vec{R} + M \vec{R} \times D^2 \vec{r}_c + \vec{M}_{\text{rot}}. \end{aligned}$$

Kako je prema (1.52) i (1.53):  $D \vec{r}_i' = D \vec{r}_i + \vec{\omega} \times \vec{r}_i' = \vec{\omega} \times \vec{r}_i'$ ,  $D \vec{\omega} = D' \vec{\omega}$ , vrijedi:

$$D^2 \vec{r}_i' = D(D \vec{r}_i') = D(\vec{\omega} \times \vec{r}_i') = (D \vec{\omega}) \times \vec{r}_i' + \vec{\omega} \times D \vec{r}_i' = (D' \vec{\omega}) \times \vec{r}_i' + \vec{\omega} \times (\vec{\omega} \times \vec{r}_i'),$$

pa je momemt ukupne sile na kruto tijelo

$$\vec{M} = M \vec{R} \times D^2 \vec{R} + M \vec{r}_c \times D^2 \vec{R} + M \vec{R} \times D^2 \vec{r}_c + \vec{M}_{\text{rot}}, \quad (5.8)$$

$$\vec{M}_{\text{rot}} = \sum_i m_i \vec{r}_i \times [(D' \vec{\omega}) \times \vec{r}_i' + \vec{\omega} \times (\vec{\omega} \times \vec{r}_i')], \quad (5.9)$$

gdje opet samo zadnji lan u (5.8) zavisi od rasporeda mase krutog tijela.

Kinetička energija krutog tijela je:  $T = \frac{1}{2} \sum_i m_i (D \vec{r}_i)^2 = \frac{1}{2} \sum_i m_i (D \vec{r}_i + D \vec{R})^2$ , to daje:

$$T = \frac{M}{2} (D \vec{R})^2 + M (D \vec{R}) (\vec{\omega} \times \vec{r}_c) + T_{\text{rot}}, \quad (5.10)$$

gdje je:

$$T_{\text{rot}} = \frac{1}{2} \sum_i m_i (\vec{\omega} \times \vec{r}_i)^2. \quad (5.11)$$

Zaključujemo da se: sve dinamičke veličine  $\vec{P}, \vec{L}, \vec{M}$  i  $T$  krutog tijela prirodno se razlažu na zbroj lanova koji opisuju gibanje krutog tijela kao jedne estice mase  $M$  jednake ukupnoj mase krutog tijela i lanova koji opisuju rotaciju krutog tijela i zavise od distribucije mase tijela.

U velikom broju problema gornje formule (5.5 ó 11) mogu se jo–pojednostaviti. U praksi su naj e– i problemi gibanja krutog tijela koje rotira oko neke osi koja prolazi kroz centar mase (na primjer, kota i automobila), kada možemo za pol odabrati centar mase, tj. uzeti  $\vec{r}_c = 0$ , ili ija je jedna to ka nepomi na (njihalo, zvuk), kada možemo odabrati  $\vec{R} = 0$ .

U prvom sluaju dinami ke veli ine postaju zbroj dva lana ó jednog za translatorno gibanje krutog tijela kao estice mase  $M$  i drugog za rotaciono gibanje oko osi kroz centar mase ( $\vec{R} \equiv \vec{r}_c$ ):

$$\vec{P} = M \dot{\vec{r}}_c, \quad \vec{L} = M \vec{r}_c \times \dot{\vec{r}}_c + \vec{l}_{\text{rot}}, \quad \vec{M} = M \vec{r}_c \times \ddot{\vec{r}}_c + \vec{M}_{\text{rot}}, \quad T = \frac{1}{2} M \dot{\vec{r}}_c^2 + T_{\text{rot}}. \quad (5.12)$$

u skladu sa (1.38) i (1.39).

U sluaju gibanja krutog tijela oko jedne fiksne to ke preostaju samo rotacioni lanovi:

$$\vec{P} = M \dot{\vec{r}}'_c, \quad \vec{L} = \vec{l}_{\text{rot}}, \quad \vec{M} = \vec{M}_{\text{rot}}, \quad T = T_{\text{rot}}. \quad (5.13)$$

Osnovna ideja mehanike krutog tijela je da se lanovi koji opisuju rotaciju tijela (5.13) izraze –to jednostavnije ó to se postigne definiranjem tenzora inercije (tenzora tromosti) krutog tijela.

## 5.1 Tenzor inercije (tromosti) krutog tijela

Pri translatornom gibanju inercija (tromost) tijela mjeri se masom. Za rotaciono gibanje ulogu mase preuzima tenzor inercije tijela. Pri razmatranju rotacije krutog tijela možemo zanemariti translatorno gibanje tijela kao cjeline. Zato pretpostavimo da je jedna to ka krutog tijela nepokretna i odaberimo je za pol, tako da je:  $\vec{R} = 0$ .

**Definicija: Tenzor inercije  $I_{ab}$  krutog tijela**

Simetri ni tenzor drugog reda ije su komponente:

$$I_{ab} = \sum_i m_i (\vec{r}_i^2 \delta_{ab} - \vec{r}_{i_a} \cdot \vec{r}_{i_b}), \quad (a,b = 1,2,3), \quad (5.14)$$

naziva se tenzor inercije krutog tijela. U sluaju kontinuirane raspodjele mase je:

$$I_{ab} = \int d^3r' (\vec{r}') (\vec{r}'^2 \delta_{ab} - \vec{r}'_a \cdot \vec{r}'_b). \quad (5.15)$$

Dijagonalni elementi tenzora ( $3 \times 3$  matrice) nazivaju se momenti inercije, a nedijagonalni su produkti inercije.

Tenzor inercije zavisi samo od raspodjele mase krutog tijela u odnosu na pol (ishodi te koordinatnog sustava  $S'$  vezanog za tijelo), ali ne zavisi od gibanja krutog tijela.

Na primjer u Kartezijevom sustavu je:

$$I_{xx} = \sum_i m_i (y_i'^2 + z_i'^2), \quad \text{ili:} \quad I_{xy} = - \sum_i m_i x_i' y_i'.$$

Motivacija definicije (5.14) postaje očigledna napisemo li angularni moment rotacije krutog tijela (5.7) pomoću komponenti u sustavu  $S'$ , iji jedini ni vektori su  $\{\hat{e}_1', \hat{e}_2', \hat{e}_3'\}$ :

$$\vec{l}_{\text{rot}} = \sum_i m_i \vec{r}_i' \times (\vec{\omega} \times \vec{r}_i') = \sum_i m_i [\vec{r}_i'^2 \vec{\omega} - (\vec{r}_i' \cdot \vec{\omega}) \vec{r}_i'] = \sum_{a,b=1}^3 \hat{e}_a' \cdot \sum_i m_i (\vec{r}_i'^2 \delta_{ab} - r_{i_a}' r_{i_b}') \quad b$$

-to odmah daje:

$$\vec{l}_{\text{rot}} = \sum_{a,b=1}^3 \hat{e}_a' I_{ab} \quad b = \vec{I} \vec{\omega}. \quad (5.16)$$

Za rotacioni dio ukupnog momenta sila (5.9) je:

$$\vec{M}_{\text{rot}} = D \vec{l}_{\text{rot}} = D \vec{I} \vec{\omega} + \vec{\omega} \times \vec{l}_{\text{rot}}$$

tj.:

$$\dot{\vec{M}}_{\text{rot}} = \vec{I} \dot{\vec{\omega}} + \vec{\omega} \times \vec{l}_{\text{rot}}, \quad (5.17)$$

Kinetička energija rotacije krutog tijela (5.11) je:

$$T_{\text{rot}} = \frac{1}{2} \sum_i m_i (\vec{\omega} \times \vec{r}_i')^2 = \frac{1}{2} \sum_i m_i [\vec{r}_i'^2 \omega^2 - (\vec{r}_i' \cdot \vec{\omega})^2],$$

ili jednostavno:

$$T_{\text{rot}} = \frac{1}{2} \vec{\omega}^T \vec{I} \vec{\omega}, \quad (5.18)$$

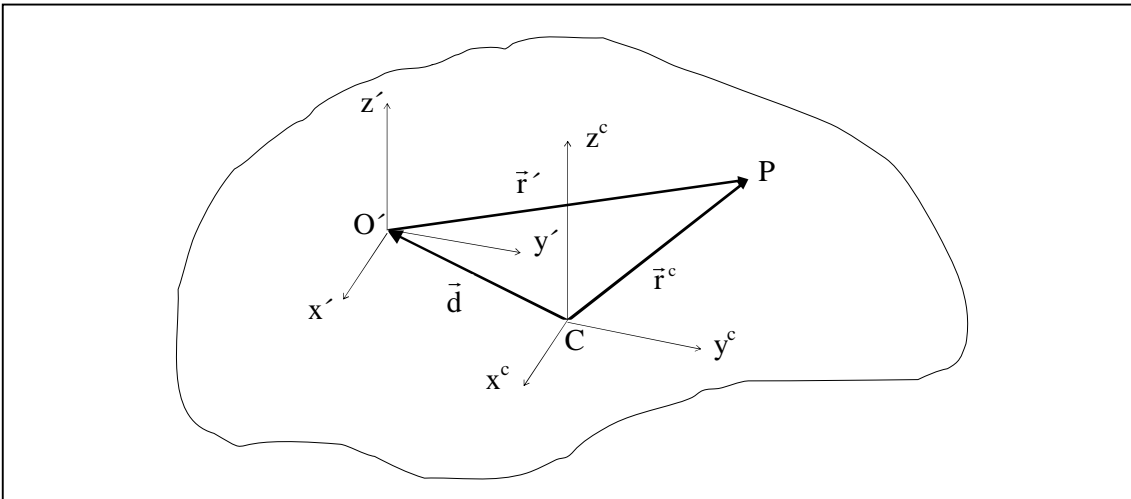
pa vrijedi:

### Rotacione veličine krutog tijela

Neka je  $\vec{\omega}$  trenutna kutna brzina rotacije krutog tijela u odnosu na inercijalni sustav  $S$ , a  $I$  njegov tenzor inercije. Rotacioni dio angularnog momenta, rotacioni dio ukupnog momenta sila i kinetička energija rotacije krutog tijela izraflene u ubrzanim sustavu  $S'$  vezanom za kruto tijelo su:

$$\vec{l}_{\text{rot}} = \vec{I} \vec{\omega}, \quad \vec{M}_{\text{rot}} = \vec{I} \dot{\vec{\omega}} + \vec{\omega} \times \vec{l}_{\text{rot}}, \quad T_{\text{rot}} = \frac{1}{2} \vec{\omega}^T \vec{I} \vec{\omega}. \quad (5.19)$$

Tenzor inercije ovisi o izboru sustava vezanog za kruto tijelo ó pola, tj. ishodi-ta O', i pravaca koordinatnih osi x' y' z'. Steinerov teorem, omogu uje ra unanje tenzora inercije I u odnosu na proizvoljni sustav S' sa polom u O', ako je poznat tenzor inercije  $I^c$  u sustavu ije su koordinatne osi paralelne osima sustava S' a ishodi-te mu je centar mase C krutog tijela, kao na Slici 30.



Slika 30.

Za proizvoljnu toku P krutog tijela je:  $\vec{r}' = \vec{r}^c - \vec{d}$ , gdje je  $\vec{d} = CO'$  udaljenost ishodi-ta dva sustava. Kako je:

$$\int d^3r' (\vec{r}') = M, \quad \int d^3r^c \vec{r}^c (\vec{r}^c) = 0,$$

dobija se:

$$\begin{aligned} I_{ab} &= \int d^3r' (\vec{r}') \left[ \vec{r}'^2_{ab} - r'_a r'_b \right] = \int d^3r^c (\vec{r}^c) \left[ (\vec{r}^c - \vec{d})^2_{ab} - (r^c_a - d_a)(r^c_b - d_b) \right] = \\ &= \int d^3r^c (\vec{r}^c) \left[ \left( \vec{r}^c \cdot \vec{r}^c \right)_{ab} - (r^c_a r^c_b + d_a d_b) \right], \end{aligned}$$

pa vrijedi:

### Steinerov teorem

Tenzori inercije krutog tijela mase M u odnosu na sustav ije ishodi-te je na udaljenosti  $\vec{d}$  od centra mase je:

$$I_{ab} = I^c_{ab} + M \left( \vec{d}^2_{ab} - d_a d_b \right), \quad (5.20)$$

gdje je  $I^c$  tenzor inercije u odnosu na centar mase krutog tijela.

Razlika  $I_{ab}$  i  $I^c_{ab}$  je tenzor inercije jedne estice mase  $M$  ija je udaljenost od centra mase  $\vec{d}$ . Ako znamo tenzor inercije krutog tijela u odnosu na centar mase, primjenjuju i Steinerov teorem, lako je na i tenzor inercije u odnosu na sustav sa paralelnim koordinatnim osima i ishodi-te u bilo kojoj to ci. U op em slu aju ako koordinatne osi dva sustava nisu paralelne vrijedi op enitije:

$$I_{ab} = \sum_{c,d=1}^3 R_{ac} R_{bd} \left[ I^c_{cd} + M \left( \vec{d}^2 - d_c d_d \right) \right],$$

gdje je  $R_{ij} = \cos \alpha(\vec{e}_i^c, \vec{e}_j^c)$  matrica rotacije sustava  $S^c$  u sustav sa osima paralelnim sa  $S'$ .

Tenzor inercije  $I_{ab}$  je linearan, pa prema tome i aditivan, u odnosu na masu estica (gusto u) tijela, to zna i da je tenzor inercije sustava dva tijela zbroj tenzora inercije svakog pojedinog.

Primjer 1. Tenzor inercije homogenog -upljevaljka.

Neka je visina valjka  $h$ , a unutarnji i spoljni radijusi  $r$  i  $R$ . Volumen valjka je:  $\pi(R^2 - r^2)h$ , te je gusto  $a = \frac{M}{\pi(R^2 - r^2)h} = \text{const.}$  U odnosu na centar mase radijus vektor bilo koje to ke valjka u cilindri nim koordinatama je:  $\vec{r} = \vec{e}_r + z\vec{k}$ , gdje:  $r \in [r, R]$ ,  $z \in \left[-\frac{h}{2}, \frac{h}{2}\right]$ . Kako je:  $x = r\cos\theta$ ,  $y = r\sin\theta$  i  $d^3r = d\theta dr dz$ , prema definiciji (5.15), svi produkti inercije -upljevaljka su nula. Momenti inercije su:  $I_{11} \equiv I_{xx} = I_{22} \equiv I_{yy} = \frac{M}{12}(3R^2 + 3r^2 + h^2)$ , te  $I_{33} \equiv I_{zz} = \frac{M}{2}(R^2 + r^2)$ . Tenzor inercije -upljevaljka u odnosu na centar mase je:

$$I^c = \frac{M}{12} \begin{pmatrix} 3R^2 + 3r^2 + h^2 & 0 & 0 \\ 0 & 3R^2 + 3r^2 + h^2 & 0 \\ 0 & 0 & 6R^2 + 6r^2 \end{pmatrix}. \quad (5.21)$$

Na primjer, ako cilindar rotira oko svoje osi simetrije (z-osi), kutna brzina rotacije je:

$\vec{\omega} = \dot{\theta} \begin{pmatrix} 0 \\ 0 \\ 1 \end{pmatrix}$ , pa su angularni moment i rotaciona kineti ka energija -upljevaljka:

$$\vec{l}_{\text{rot}} = I^c \vec{\omega} = \frac{M}{2}(R^2 + r^2) \cdot \vec{k}, \quad T_{\text{rot}} = \frac{1}{2} \vec{\omega}^T I^c \vec{\omega} = \frac{M}{4}(R^2 + r^2) \cdot \dot{\theta}^2.$$

Ako felimmo tenzor inercije  $I$  u odnosu na to ku  $O'$  na unutarnjem rubu baze -upljevaljka, ishodi-te treba translirati za vektor:  $\vec{d} = r\vec{i} + \frac{h}{2}\vec{k}$ . Kako je  $d^2 = r^2 + \frac{h^2}{4}$  i  $d_1 d_3 = \frac{rh}{2}$ , prema (5.20) tenzor inercije u odnosu na pol  $O'$  je:

$$I = \frac{M}{12} \begin{pmatrix} 3R^2 + 3r^2 + 3h^2 & 0 & -6rh \\ 0 & 3R^2 + 15r^2 + 3h^2 & 0 \\ -6rh & 0 & 6R^2 + 18r^2 \end{pmatrix}. \quad (5.22)$$

Ako -upnji valjak rotira oko osi paralelne z-osi kroz O', kutna brzina rotacije je opet:

$\vec{\omega} = \dot{\theta} \begin{pmatrix} 0 \\ 0 \\ 1 \end{pmatrix}$ , pa su angularni moment i rotaciona kineti ka energija valjka:

$$\vec{I}_{\text{rot}} = I \vec{\omega} = -\frac{M}{2} rh \cdot \vec{i} + \frac{M}{2} (R^2 + 3r^2) \cdot \vec{k}, \quad T_{\text{rot}} = \frac{1}{2} \vec{\omega}^T I \vec{\omega} = \frac{M}{4} (R^2 + 2r^2) \cdot \dot{\theta}^2.$$

Ako bi -upnji valjak rotirao oko x'-osi kroz O', kutna brzina rotacije bi bila:  $\vec{\omega} = \dot{\theta} \begin{pmatrix} 1 \\ 0 \\ 0 \end{pmatrix}$ , pa je:

$$\vec{I}_{\text{rot}} = I \vec{\omega} = \frac{M}{4} (R^2 + r^2 + h^2) \cdot \vec{i} - \frac{M}{2} rh \cdot \vec{k}, \quad T_{\text{rot}} = \frac{1}{2} \vec{\omega}^T I \vec{\omega} = \frac{M}{8} (R^2 + r^2 + h^2) \cdot \dot{\theta}^2.$$

**Primjer 2.** Tenzor inercije dvije identične homogene slepljenje kugle.

Na imo prvo tenzor inercije homogene kugle radijusa R i mase M u odnosu na centar mase koji je centar kugle. Sferna simetrija kugle zna i  $I_{ab} = 0$  (a ň b). U sfernim koordinatama lako se vidi da su svi produkti inercije  $I_{ab} = 0$  (a ň b) o tenzor inercije je dijagonalan. Zbog sferne simetrije sva tri momenta inercije su jednaka  $I_{aa} \approx \bar{r}^2 - r_a^2 = \frac{2}{3} \bar{r}^2$ , pa je  $I_{11} = I_{22} = I_{33} = Y_0$ , -to daje:  $3Y_0 = 2 \int d^3r \ (r) \bar{r}^2 = 8 \int_0^R dr \ (r) r^4$ . Masa kugle je:  $M = 4 \int_0^R dr \ (r) r^2$ , -to za homogenu kuglu zna i  $\rho = \frac{3M}{4 \cdot R^3} = \text{const.}$ , pa je tenzor inercije homogene kugle u odnosu na centar mase:

$$I^c = \frac{2}{5} MR^2 \begin{pmatrix} 1 & 0 & 0 \\ 0 & 1 & 0 \\ 0 & 0 & 1 \end{pmatrix}. \quad (5.23)$$

Odaberimo za z'-os pravac određen centrima spojenih identičnih kugli koji je os simetrije tijela. To ka kontakta kugli je centar mase sustava.

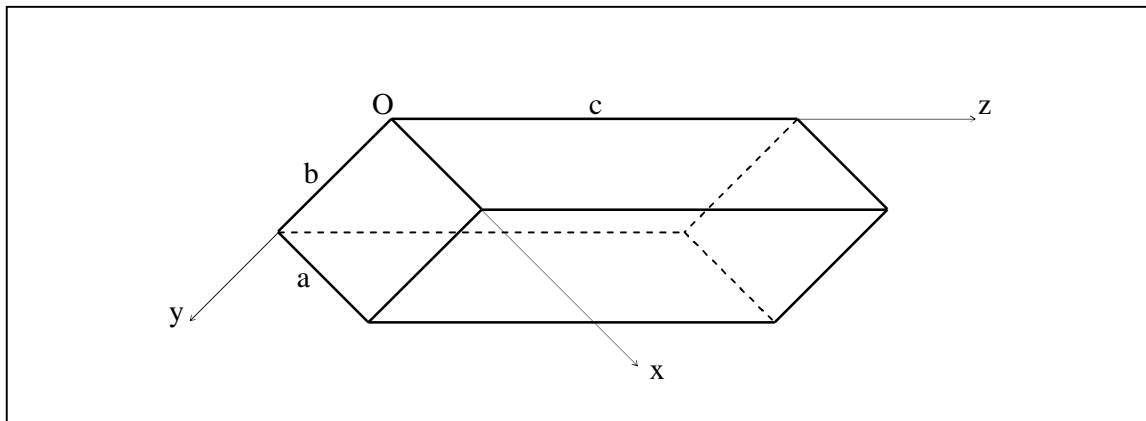
Translacijskom koordinatnog sustava u točku kontakta kugli za vektor  $\vec{d} = R \vec{k}$  dufl z'-osi prema Sniderovom teoremu (5.20) za tenzor inercije jedne od kugli je:  $Y_1 = Y_2 = Y_0 + MR^2$  i  $Y_3 = Y_0$ , pa zbrajanjem za sustav dvije kugle dobijamo tenzor inercije:

$$I^c = \frac{2M}{5} R^2 \begin{pmatrix} 7 & 0 & 0 \\ 0 & 7 & 0 \\ 0 & 0 & 2 \end{pmatrix}. \quad (5.24)$$

### Primjer 3. Fizikalno njihalo

Fizikalno njihalo je kruto tijelo koje bez trenja moglo oscilirati oko neke fiksirane osi pod utjecajem tepline. Neka je tijelo homogeni paralelopiped strana  $a, b, c$  i neka je os rotacije jedan od bridova, recimo  $c$ . Treba naći period malih oscilacija paralelopipeda.

Odaberimo os rotacije za  $z$ -os, a ishodište sustava vezanog za kvadar u jednom vrhu kao na Slici 31.



Slika 31.

Gustoća tijela je  $\rho = \frac{M}{abc} = \text{const.}$  Tenzor inercije paralelopipeda u odnosu na centar mase  $I^c$  lako se izračuna u Kartezijevim koordinatama koristeći:  $d^3r = dx dy dz$ ,  $\vec{r}^2 = x^2 + y^2 + z^2$ , uz granice integracije:  $-\frac{a}{2} \leq x \leq \frac{a}{2}$ ;  $-\frac{b}{2} \leq y \leq \frac{b}{2}$ ;  $-\frac{c}{2} \leq z \leq \frac{c}{2}$ . Rezultat je:

$$I^c = \frac{M}{12} \begin{pmatrix} b^2 + c^2 & 0 & 0 \\ 0 & a^2 + c^2 & 0 \\ 0 & 0 & a^2 + b^2 \end{pmatrix}. \quad (5.25)$$

Prema Steinerovom teoremu da bi dobili tenzor inercije u odnosu na točku  $O$  ishodište treba translirati za vektor:  $\vec{d} = \frac{a}{2}\vec{i} + \frac{b}{2}\vec{j} + \frac{c}{2}\vec{k}$ , što daje:

$$I = \frac{M}{12} \begin{pmatrix} 4(b^2 + c^2) & -3ab & -3ac \\ -3ab & 4(a^2 + c^2) & -3bc \\ -3ac & -3bc & 4(a^2 + b^2) \end{pmatrix}. \quad (5.26)$$

Kutna brzina rotacije njihala oko z-osi je  $\vec{\omega} = \begin{pmatrix} 0 \\ 0 \\ 1 \end{pmatrix}$ , pa je kinetička energija rotacije:

$$T = \frac{1}{2} \vec{\omega}^T I \vec{\omega} = \frac{M}{6} (a^2 + b^2) \cdot 2.$$

Potencijalna energija jednaka je gravitacijskoj potencijalnoj energiji centra mase:

$$U = -\frac{M}{2} g \sqrt{a^2 + b^2} \cos \theta,$$

pa je Lagrangian njihala:

$$L = T - U = \frac{M}{6} \sqrt{a^2 + b^2} \left( \sqrt{a^2 + b^2} \dot{\theta}^2 + 3g \cos \theta \right).$$

Jednadžba gibanja fizikalnog njihala onda je:

$$\ddot{\theta} + \frac{3g}{2\sqrt{a^2 + b^2}} \sin \theta = 0.$$

U slučaju malih oscilacija njihala možemo zamjeniti  $\sin \theta \approx \theta$ , pa je gibanje harmoničko s periodom:

$$T = 2 \sqrt{\frac{2\sqrt{a^2 + b^2}}{3g}},$$

koji je identičan periodu matematičkog njihala ekvivalentne duljine  $l = \frac{2}{3} \sqrt{a^2 + b^2}$ .

Tenzor inercije ovisi o izboru koordinatnog sustava vezanog za kruto tijelo. No, u bilo kojem koordinatnom sustavu tenser inercije  $I_{ab}$  krutog tijela je realna, simetrična  $3 \times 3$  matrica. Postoji li neki koordinatni sustav u kojem tenser inercije krutog tijela ima najjednostavniji oblik?

Osnovni teorem linearne algebre tvrdi da se svaka realna, simetrična  $3 \times 3$  matrica  $I_{ab}$  može dijagonalizirati transformacijom sličnosti (similarity transformation) nekom ortogonalnom  $3 \times 3$  matricom  $R$  (matricom rotacije) u oblik:

$$I_D = R I R^T = \begin{pmatrix} Y_1 & 0 & 0 \\ 0 & Y_2 & 0 \\ 0 & 0 & Y_3 \end{pmatrix}. \quad (5.27)$$

Napomena: Teorem vafli i op enitije za svaku hermitsku matricu  $A = A^\dagger$ , gdje je  $A^\dagger = (\tilde{A})^T$ , koja se može dijagonalizirati transformacijom sli nosti unitarnom matricom  $U$  (za unitarne matrice je  $U^\dagger = U^{-1}$ ):  $A_D = UAU^\dagger$ , gdje su elementi na glavnoj dijagonali matrice  $A_D$  realne svojstvene vrijednosti hermitske matrice  $A$ .

Ortogonalna matrica  $R$  je matrica rotacije koordinatnog sustava  $O'x'y'z'$  vezanog za kruto tijelo u sustavu  $S$  glavnih osi inercije krutog tijela  $O'x'y'z'$  istim ishodištem) u kojem je tenzor inercije krutog tijela dijagonalan  $I_D$ . Elementi  $Y_i$  na glavnoj dijagonali u (5.27) nazivaju se glavni momenti inercije krutog tijela. U pravilu, pravci glavnih osi inercije krutog tijela su pravci osi simetrije tijela, kao u Primjerima 2. i 3., tj. u izrazima (5.21) i (5.25). Tri jedini na vektora  $\{\hat{e}_1, \hat{e}_2, \hat{e}_3\}$  glavnih osi dobijaju se rjeavanjem svojstvenog problema matrice  $I$ , tj. rjeavanjem matrične jednadžbe:

$$I \hat{e}_i = Y_i \hat{e}_i \quad 0 \leq Y_i \in \mathbb{R}, \quad (i = 1, 2, 3), \quad (5.28)$$

koja ima rješenje ako i samo ako je zadovoljena karakteristična jednadžba:

$$\det |I_{ab} - Y_a \delta_{ab}| = 0. \quad (5.29)$$

Karakteristična jednadžba (5.29) je kubna algebarska jednadžba i u njoj rjeavanjem se dobijaju tri svojstvene vrijednosti tenzora inercije  $Y_i$ . Zamjenom svojstvenih vrijednosti u (5.28), uz uvjet normiranja  $\hat{e}_i \cdot \hat{e}_i = 1$ , nalaze se svojstveni vektori  $\hat{e}_i$  ( $i = 1, 2, 3$ ) tenzora inercije  $I$ .

Elementi  $R_{ij}$  ortogonalne matrice koja rotira sustav  $S$  u sustav glavnih osi  $S'$  krutog tijela  $\sum_{j=1}^3 R_{ij} \hat{e}_j = \hat{e}_i$  su kosinusi pravaca  $R_{ij} = \hat{e}_i \cdot \hat{e}_j$  ( $i, j = 1, 2, 3$ ) koordinatnih osi dva koordinatna sustava. Jednostavno rečeno, prvi svojstveni vektor  $\hat{e}_1$  je prvi redak matrice  $R$ ,  $\hat{e}_2$  je drugi redak, a  $\hat{e}_3$  treći. Matrica  $R$  transformacijom sličnosti (5.27), transformira tenzor inercije  $I$  u zatočeni sustav glavnih osi  $S'$  kome je tenzor inercije krutog tijela dijagonalan  $I_D$  i glavni momenti inercije su svojstvene vrijednosti tenzora inercije.

Ilustrirajmo proceduru rjeavanja svojstvenog problema, tj. dijagonalizaciju tenzora inercije na primjeru, jer dokaz zahtijeva kompletну teoriju hermitovih matrica iz linearne algebri. Primjer mora biti jednostavan da bi se izbjegle algebarske komplikacije rjeavanja kubne jednadžbe.

Napomena: Kubna jednadžba:  $x^3 + ax^2 + bx + c = 0$  se smjenom  $x = y - \frac{a}{3}$  transformira u nepotpuni oblik:  $y^3 + py + q = 0$ ,  $\left[ p = -\frac{a^2}{3} + b, \quad q = 2\left(\frac{a}{3}\right)^3 - \frac{ab}{3} + c \right]$ , ija su rješenja:

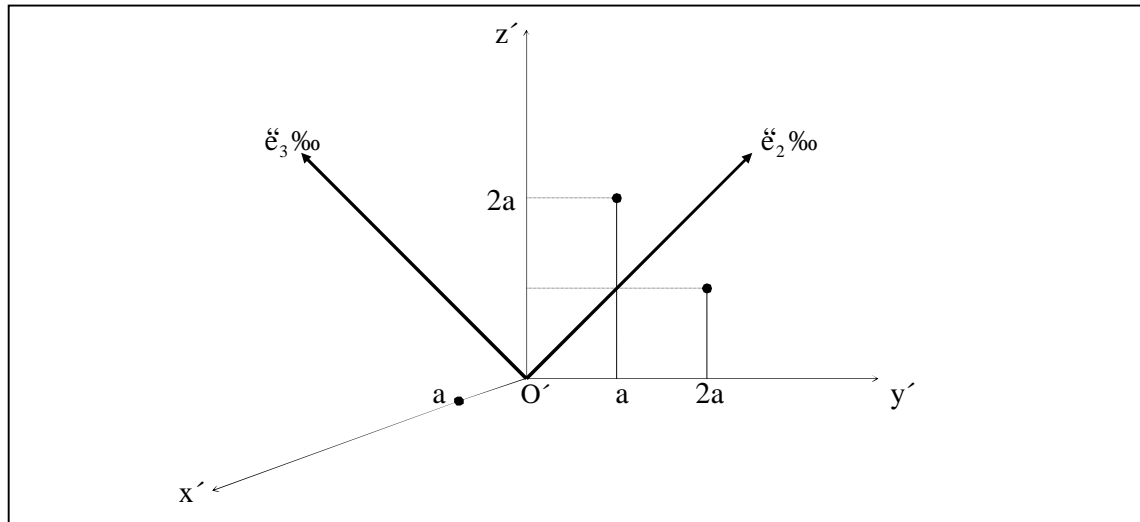
$$y_1 = A + B, \quad y_{2,3} = -\frac{A+B}{2} \pm i \frac{A-B}{2} \sqrt{3},$$

gdje je:

$$A = \sqrt[3]{-\frac{q}{2} + \sqrt{Q}}, \quad B = \sqrt[3]{-\frac{q}{2} - \sqrt{Q}}, \quad Q = \left(\frac{p}{3}\right)^3 + \left(\frac{q}{2}\right)^2.$$

#### Primjer 4. Dijagonalizacija tenzora inercije.

Kruto tijelo se sastoji od 3 točke iste mase m i poloflaja: (a,0,0), (0,a,2a) i (0,2a,a) kao na Slici 32. Treba naći glavne momente i glavne osi inercije tijela u odnosu na oshodi-te i dijagonalizirati tenzor inercije.



Slika 32.

Prvo treba naći tenzor inercije krutog tijela u odnosu na oshodi-te  $O'$ . Prema (5.14) tenzor inercije prve estice je:

$$I_{ab} = m(a^2 \delta_{ab} - a^2 \delta_{a1} \delta_{b1}) \Rightarrow I_1 = m \begin{pmatrix} 0 & 0 & 0 \\ 0 & a^2 & 0 \\ 0 & 0 & a^2 \end{pmatrix}.$$

Za drugu esticu je:

$$I_{ab} = m(5a^2 \delta_{ab} - a^2 \delta_{a2} \delta_{b2} - 4a^2 \delta_{a3} \delta_{b3} - 2a^2 \delta_{a2} \delta_{b3}) \Rightarrow I_2 = m \begin{pmatrix} 5a^2 & 0 & 0 \\ 0 & 4a^2 & -2a^2 \\ 0 & -2a^2 & a^2 \end{pmatrix},$$

te za tre u:

$$I_{ab} = m(5a^2\delta_{ab} - 4a^2\delta_{a2}\delta_{b2} - a^2\delta_{a3}\delta_{b3} - 2a^2\delta_{a2}\delta_{b3}) \Rightarrow I_3 = m \begin{pmatrix} 5a^2 & 0 & 0 \\ 0 & a^2 & -2a^2 \\ 0 & -2a^2 & 4a^2 \end{pmatrix}.$$

Tenzor inercije tijela u odnosu na to ku O' je:

$$I = m \begin{pmatrix} 10a^2 & 0 & 0 \\ 0 & 6a^2 & -4a^2 \\ 0 & -4a^2 & 6a^2 \end{pmatrix}. \quad (5.30)$$

Da bi rjeili svojstveni problem (5.28) matrice I, treba prvo rjeiti karakteristi nu jednadflbu (5.29), tj.

$$\begin{vmatrix} 10ma^2 - \lambda & 0 & 0 \\ 0 & 6ma^2 - \lambda & -4ma^2 \\ 0 & -4ma^2 & 6ma^2 - \lambda \end{vmatrix} = 0, \quad (5.31)$$

-to je kubna jednadflba:  $(10ma^2 - \lambda)[(6ma^2 - \lambda)^2 - (4ma^2)^2] = 0$ , sa rje-enjima:  $\lambda_1 = 2ma^2$  i  $\lambda_{2,3} = 10ma^2$  (umjesto  $Y_a$ , za sada svojstvene vrijednosti ozna avamo  $\lambda_a$  o razlog e biti jasan ubrzo). Dvije svojstvene vrijednosti su jednake  $\lambda_2 = \lambda_3$ , -to zna i da matrica I ima stupanj degeneracije 2. Svojstvene vrijednosti  $\lambda_a$  ( $a = 1,2,3$ ), koje su glavni momenti inercije tijela, treba uvrstiti u matri nu jednadflbu (5.28) da naemo tri svojstvena vektora:

- $\bullet \quad \lambda_1 = 2ma^2$

$$\begin{pmatrix} 8ma^2 & 0 & 0 \\ 0 & 4a^2 & -4a^2 \\ 0 & -4a^2 & 4a^2 \end{pmatrix} \begin{pmatrix} p_1 \\ p_2 \\ p_3 \end{pmatrix} = 0, \Rightarrow$$

$p_1 = 0, p_2 = p_3$ , pa zbog uvjeta normiranja:  $p_1^2 + p_2^2 + p_3^2 = 1$ , slijedi:  $p_2 = p_3 = 2^{-\frac{1}{2}}$ , tj.:

$$\tilde{p} = \frac{1}{\sqrt{2}} \begin{pmatrix} 0 \\ 1 \\ 1 \end{pmatrix} = \frac{1}{\sqrt{2}} \mathbf{j} + \frac{1}{\sqrt{2}} \mathbf{k}$$

je normirani svojsveni vektor koji pripada prvoj svojstvenoj vrijednosti  $\lambda_1$  i pretstavlja pravac jedne glavne osi inercije tijela.

- $\bullet \quad \lambda_2 = \lambda_3 = 10ma^2$

$$\begin{pmatrix} 0 & 0 & 0 \\ 0 & -4a^2 & -4a^2 \\ 0 & -4a^2 & -4a^2 \end{pmatrix} \begin{pmatrix} q_1 \\ q_2 \\ q_3 \end{pmatrix} = 0, \quad \Rightarrow$$

$q_1$  je proizvoljno, a  $q_2 = -q_3$ . Degeneracija uzrokuje da gornja matrična jednadžba daje samo jednu nezavisnu jednadžbu:  $q_2 + q_3 = 0$  (umjesto dvije kao za nedegeneriranu svojstvenu vrijednost  $\lambda_1$ ), pa uz uvjet normalizacije  $q_1^2 + q_2^2 + q_3^2 = 1$ , imamo dvije jednadžbe za tri nepoznanice. To znači da se jedna nepoznаница može proizvoljno odabrat. Odaberimo zato najjednostavnije:  $q_1 = 1 \Rightarrow q_2 = q_3 = 0$ , pa dobijamo drugi svojstveni vektor:

$$q^{(1)} = \begin{pmatrix} 1 \\ 0 \\ 0 \end{pmatrix} = i,$$

koji je normiran ortogonalan na prvi. Dvostruko degeneriranoj svojstvenoj vrijednosti  $\lambda_2 = \lambda_3$  pripada još jedan svojstveni vektor  $q^{(2)}$ , koji mora biti normiran i ortogonalan na prethodna dva, što daje:

$$q^{(2)} = \frac{1}{\sqrt{2}} \begin{pmatrix} 0 \\ -1 \\ 1 \end{pmatrix} = -\frac{1}{\sqrt{2}} j + \frac{1}{\sqrt{2}} k.$$

Degeneracija nam samo kaže da ne postoji preferirani izbor za druge dvije glavne osi inercije od bilo koja dva međusobno okomita pravca okomita na  $p$  su glavne osi inercije.

Tri svojstvena vektora  $\{p, q^{(1)}, q^{(2)}\}$  koji pripadaju trima svojstvenim vrijednostima  $\lambda_1, \lambda_2, \lambda_3$ , su tri međusobno ortogonalna jedinična vektora, ali da bi bili osi koordinatnog sustava S% glavnih osi inercije tijela, moraju tvoriti desni koordinatni sustav (ne lijevi) što moraju zadovoljiti još i uvjet:  $e_i \cdot e_j = \sum_{ijk} e_k$ . Taj uvjet je ispunjen ako identificiramo:

$$q^{(1)} \rightarrow e_1 \Rightarrow Y_1 = 10ma^2; \quad p \rightarrow e_2 \Rightarrow Y_2 = 2ma^2; \quad q^{(2)} \rightarrow e_3 \Rightarrow Y_3 = 10ma^2.$$

Sustav S%glavnih osi inercije tijela koji su jedinični vektori  $\{e_1, e_2, e_3\}$  dobija se rotacijom sustava O'x'y'z' oko x'-osi za  $\frac{\pi}{4}$ . Matrica te rotacije je:

$$\begin{aligned} R_{11} &= e_1 \cdot i = \cos 0 = 1; & R_{12} &= e_1 \cdot j = \cos \frac{\pi}{4} = 0; & R_{13} &= e_1 \cdot k = \cos \frac{\pi}{2} = 0; \\ R_{21} &= e_2 \cdot i = \cos \frac{\pi}{4} = 0; & R_{22} &= e_2 \cdot j = \cos \frac{\pi}{2} = \frac{1}{\sqrt{2}}; & R_{23} &= e_2 \cdot k = \cos \frac{3\pi}{4} = -\frac{1}{\sqrt{2}}; \\ R_{31} &= e_3 \cdot i = \cos \frac{\pi}{2} = 0; & R_{32} &= e_3 \cdot j = \cos \frac{3\pi}{4} = -\frac{1}{\sqrt{2}}; & R_{33} &= e_3 \cdot k = \cos \frac{\pi}{4} = \frac{1}{\sqrt{2}}; \end{aligned}$$

tj.

$$R = \begin{pmatrix} 1 & 0 & 0 \\ 0 & \frac{1}{\sqrt{2}} & \frac{1}{\sqrt{2}} \\ 0 & -\frac{1}{\sqrt{2}} & \frac{1}{\sqrt{2}} \end{pmatrix}.$$

Normirani svojstveni vektor  $\vec{e}_a$  je a-ti red ortogonalne matrice R i vrijedi:  $\det R = 1$ ,  $R^T = R^{-1}$ . Lako je provjeriti da je zaista:

$$I_D = R I R^T = \begin{pmatrix} 10ma^2 & 0 & 0 \\ 0 & 2ma^2 & 0 \\ 0 & 0 & 10ma^2 \end{pmatrix}. \quad (5.32)$$

## 5.2 Eulerovi kutovi i Lagrangeove jednadžbe

Jo-treba na i jednadžbe gibanja krutog tijela ó Lagrangeove jednadžbe. Da se odredi Lagrangian treba precizirati generalizirane koordinate krutog tijela. Za tri stupnja slobode translatornog gibanja možemo odabrati tri koordinate vektora položaja pola krutog tijela. Odaberemo li za sustav S' vezan za kruto tijelo koordinatni sustav glavnih osi inercije, tako da je tenzor inercije dijagonalan, a za pol uzmemo upravo centar mase, tako da je  $\vec{r}_c' = 0$ , kineti ka energija krutog tijela je prema (5.10) i (5.18):

$$T = \frac{M}{2} \left( \dot{r}_{c_1}^2 + \dot{r}_{c_2}^2 + \dot{r}_{c_3}^2 \right) + \frac{Y_1}{2} \dot{\omega}_1^2 + \frac{Y_2}{2} \dot{\omega}_2^2 + \frac{Y_3}{2} \dot{\omega}_3^2, \quad (5.33)$$

gdje su  $Y_i$  glavni momenti inercije, a  $\omega_i$  komponente trenutne kutne brzine rotacije krutog tijela  $\vec{\omega}(t)$  izraflene u sustavu S'. Kineti ka energija krutog tijela je zbroj kineti kih energija translacije i rotacije u skladu sa (5.12).

Prema (5.16) i (5.17), tj.  $\vec{l}_{rot} = I \vec{\omega}$  i  $\vec{M}_{rot} = I \vec{\alpha} + \vec{\omega} \times \vec{l}_{rot}$ , za rotaciju krutog tijela važe:

### Eulerove jednadžbe:

$$\begin{aligned} M_{rot_1} &= Y_1 \dot{\omega}_1 + (Y_3 - Y_2) \dot{\omega}_2 \dot{\omega}_3, \\ M_{rot_2} &= Y_2 \dot{\omega}_2 + (Y_1 - Y_3) \dot{\omega}_1 \dot{\omega}_3, \\ M_{rot_3} &= Y_3 \dot{\omega}_3 + (Y_2 - Y_1) \dot{\omega}_1 \dot{\omega}_2, \end{aligned} \quad (5.34)$$

gdje su  $\omega_i$  komponente trenutne kutne brzine rotacije krutog tijela izraflene u sustavu S' glavnih osi inercije krutog tijela,  $Y_i$  glavni momenti inercije, a  $M_{rot_i}$  komponente ukupnog momenta sila u odnosu na centar mase krutog tijela u sustavu S'.

Za rjeavanje Eulerovih jednadžbi u pokretnom sustavu  $S'$  treba poznavati :

- glavne momente inercije  $Y_i$ ,
- komponente ukupnog momenta sila na glavne osi inercije što treba znati sve sile koje djeluju na kruto tijelo i na i projekcije njihovih momenata na glavne osi inercije tijela,
- po etne uvjete što iz kojih se odrede po etne vrijednosti komponenti kutne brzine  $\omega'_i$ .

Da bi se primjenila Lagrangeova formulacija mehanike na gibanje krutog tijela sve veličine moraju biti izraflene u odnosu na inercijalni (mirujući) sustav  $S$  što treba eliminirati komponente  $\omega'_i$  definirane u odnosu na pokretni sustav  $S'$  i zamjeniti ih sa 3 generalizirane koordinate koje jednoznačno određuju rotaciju krutog tijela. Postoji više načina da se to uradi, ali najčešće se kao generalizirane koordinate za rotaciju koriste tri Eulerova kuta  $\{\varphi, \theta, \psi\}$ .

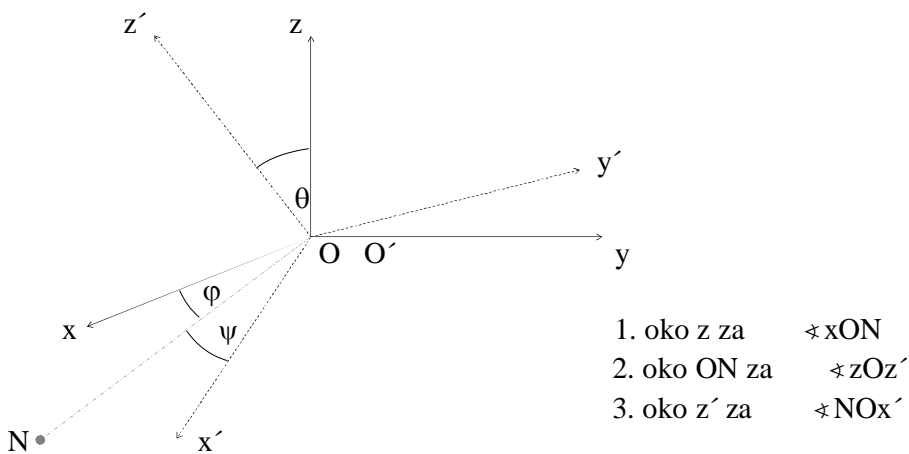
**Definicija: Eulerovi kutovi  $(\varphi, \theta, \psi)$**

Ako zamislimo da je ishodište sustava  $Oxyz$  premješteno u pol krutog tijela  $O = O'$ , pravac ON presjeka ravninu  $Oxy$  i  $O'x'y'$  naziva se vorna linija (line of nodes). Eulerovi kutovi se definiraju kao kutevi 3 sukladne rotacije koje sustav  $S$  dovode do poklapanja sa sustavom  $S'$ , tj.

- prva rotacija oko z-osi za kut  $\varphi \Rightarrow x$ -os prelazi u vornu liniju, z-os nepromjenjena,
  - druga rotacija oko vorne linije za kut  $\theta \Rightarrow z$ -os prelazi u  $z'$ -os i
  - treća rotacija oko  $z'$ -osi za kut  $\psi \Rightarrow x, y$ -osi prelaze u  $x', y'$ -osi,
- kao na Slici 33.

Vrijednosti Eulerovih kutova ograničene su na intervale:

$$0 \leq \varphi \leq 2\pi, \quad 0 \leq \theta \leq \pi, \quad 0 \leq \psi \leq 2\pi.$$



Slika 33.

Redoslijed rotacija je vaflan jer kona ne rotacije, u op em slu aju, ne komutiraju. Matri na reprezentacija ovih rotacija prema (1.7) je:

$$R^{(1)} = \begin{pmatrix} \cos & \sin & 0 \\ -\sin & \cos & 0 \\ 0 & 0 & 1 \end{pmatrix}, \quad R^{(2)} = \begin{pmatrix} 1 & 0 & 0 \\ 0 & \cos & \sin \\ 0 & -\sin & \cos \end{pmatrix}, \quad R^{(3)} = \begin{pmatrix} \cos & \sin & 0 \\ -\sin & \cos & 0 \\ 0 & 0 & 1 \end{pmatrix}. \quad (5.35)$$

Sukcesivne rotacije reprezentirane su produktom ortogonalnih matrica svake pojedine rotacije jer rotacije ine grupu, koja je izomorfna  $SO(3)$  grupi (grupi specijalnih, tj. sa determinantom +1, ortogonalnih  $3 \times 3$  matrica), pa je ortogonalna matrica rotacije krutog tijela  $R(\phi, \theta, \psi) = R^{(3)} R^{(2)} R^{(1)}$ , ili eksplisitno:

$$R(\phi, \theta, \psi) = \begin{pmatrix} \cos \phi \cos \theta & -\cos \phi \sin \theta & \sin \phi & \cos \theta \sin \phi \cos \psi & \cos \theta \sin \phi \sin \psi & \sin \theta \cos \psi \\ -\sin \phi \cos \theta & -\sin \phi \sin \theta & \cos \phi & -\sin \theta \sin \phi \cos \psi & -\sin \theta \sin \phi \sin \psi & \cos \theta \cos \psi \\ \sin \phi & \sin \phi & 0 & -\sin \theta \cos \phi & -\sin \theta \sin \phi & \cos \theta \end{pmatrix}. \quad (5.36)$$

Inverzna transformacija sustava vezanog za kruto tijelo  $O'x'y'z'$  u sustav Oxyz reprezentirana je inverznom matricom  $R^{-1} = R^T$ .

Generalizirane koordinate krutog tijela u sustavu S su onda tri komponente radijus vektora pola ó recimo, centra mase krutog tijela  $\vec{r}_c$ , koje odre uju translatorno gibanje, i tri Eulerova kuta  $\{\phi, \theta, \psi\}$ , koji odre uju rotaciju krutog tijela (precizno, rotaciju osi koordinatnog sustava xyz u pravce paralelne osima  $x'y'z'$  sustava S' vezanog za kruto tijelo).

Matrica transformacije  $R$  sustava S u sustav S' omogu uje da se bilo koji vektor iz jednog sustava izrazi u drugom kao u (1.9). Vektori kutne brzine tri rotacije su:

$$\vec{\omega} = \dot{\vec{e}}_3 = \begin{pmatrix} 0 \\ 0 \\ 1 \end{pmatrix}, \quad \vec{\omega} = \dot{\vec{n}}_0 = \begin{pmatrix} 1 \\ 0 \\ 0 \end{pmatrix}, \quad \vec{\omega}' = \dot{\vec{e}}'_3 = \begin{pmatrix} 0 \\ 0 \\ 1 \end{pmatrix}, \quad (5.37)$$

gdje je  $\vec{n}_0$  jedini ni vektor u pravcu vorne linije. Os  $\vec{\omega}$ -rotacije je z-os, pa je u sustavu S':

$$\vec{\omega}' = R \vec{\omega} = \begin{pmatrix} i' \sin \phi & j' \sin \phi & k' \cos \phi \end{pmatrix}. \quad (5.38)$$

Os druge,  $\vec{\omega}$ -rotacije je vorna linija, pa  $\vec{\omega}$  za prijelaz u sustav S' treba transformirati jo-samo matricom  $R^{(3)}$  tre e rotacije:

$$\vec{\omega}' = R^{(3)} \vec{\omega} = \begin{pmatrix} i'' \cos \theta & -j'' \sin \theta & 0 \end{pmatrix}. \quad (5.39)$$

Tre a,  $\vec{\omega}$ -rotacija je dufl z'-osi, tj. zadana je u S' sustavu, pa je ukupno:

$$\vec{x}' = \begin{pmatrix} i' \sin \phi & j' \sin \phi & k' \cos \phi \end{pmatrix}, \quad \vec{y}' = \begin{pmatrix} i'' \cos \theta & -j'' \sin \theta & 0 \end{pmatrix}, \quad \vec{z}' = \begin{pmatrix} 0 & 0 & 1 \end{pmatrix}. \quad (5.40)$$

Kako je  $\vec{n}_0 = \vec{i} \cos \varphi + \vec{j} \sin \varphi$ , koristeći inverznu matricu  $R^{61} = R^T$ , za komponente kutne brzine u sustavu S dobija se:

$$\dot{x} = \dot{\varphi} \cos \varphi + \dot{\theta} \sin \varphi \sin \varphi, \quad \dot{y} = \dot{\varphi} \sin \varphi + \dot{\theta} \sin \varphi \cos \varphi, \quad \dot{z} = \dot{\theta} + \dot{\varphi} \cos \varphi. \quad (5.41)$$

Kvadrat kutne brzine krutog tijela je:

$$\dot{\theta}^2 = \dot{\varphi}^2 + \dot{\theta}^2 + \dot{\varphi}^2 + 2 \dot{\varphi} \dot{\theta} \cos \varphi, \quad (5.42)$$

gdje je zadnji lan posljedica injenice da tri osi rotacije  $\vec{e}_3, \vec{n}_0$  i  $\vec{e}_3'$  nisu međusobno okomite.

Prema (5.33) i (5.40) Lagrangian krutog tijela na koje djeluju konzervativne (ili operativne) potencijalne sile je:

$$\begin{aligned} L &= L(r_{c_1}, r_{c_2}, r_{c_3}, \dot{r}_{c_1}, \dot{r}_{c_2}, \dot{r}_{c_3}, \dot{\varphi}, \dot{\theta}) = T - U = \\ &= \frac{M}{2} (\dot{r}_{c_1}^2 + \dot{r}_{c_2}^2 + \dot{r}_{c_3}^2) + \frac{Y_1}{2} (\dot{\varphi} \sin \varphi \sin \theta + \dot{\theta} \cos \varphi)^2 + \frac{Y_2}{2} (\dot{\varphi} \sin \varphi \cos \theta - \dot{\theta} \sin \varphi)^2 + \frac{Y_3}{2} (\dot{\theta} + \dot{\varphi} \cos \varphi)^2 - U. \end{aligned} \quad (5.43)$$

Za konzervativne sile potencijalna energija zavisi smo od generaliziranih koordinata  $U = U(r_{c_1}, r_{c_2}, r_{c_3}, \dot{r}_{c_1}, \dot{r}_{c_2}, \dot{r}_{c_3})$ . Lagrangeove jednadžbe za kruto tijelo:

$$\frac{d}{dt} \left( \frac{\partial L}{\partial \dot{q}_j} \right) - \frac{\partial L}{\partial q_j} = 0, \quad \{q_j\} = \{r_{c_1}, r_{c_2}, r_{c_3}, \dot{r}_{c_1}, \dot{r}_{c_2}, \dot{r}_{c_3}\}, \quad (5.44)$$

ime sustav 6 običnih diferencijalnih jednadžbi II reda.

U operativnom slučaju za kruto tijelo nepravilnog oblika tenzor inercije, procedura njegove dijagonalizacije i jednadžbe gibanja su toliko komplikirane da se ne mogu analitički rješiti. Integrabilni slučajevi zahtijevaju da su bar dva glavna momenta inercije jednakci,  $Y_1 = Y_2$ , tj. da kruto tijelo ima dinamičku simetriju, to za homogena tijela zna i postojanje bar jedne osi simetrije (ako je tijelo aksijalno simetrično  $Y_1 = Y_2$ , jedna od glavnih osi inercije je  $z'$ -os).

Ustvari vrijedi teorem:

Ako kruto tijelo ima ravnu simetriju, to zna i da je simetrično pri refleksijama u odnosu na tu ravninu, onda su centar mase i dvije glavne osi inercije krutog tijela u toj ravnini simetrije.

Odaberemo li ravninu simetrije tijela za Oxy ravninu, za svaku esticu  $m_i$  tijela ije su koordinatame  $(x, y, z)$  postoji estica iste mase sa koordinatama  $(x, y, z)$ , pa je  $\sum_i m_i z_i = 0$ , tj.

$z^c = 0$ , to zna i da je centar mase u ravnini simetrije. Odaberemo li sad ishodište u centru mase produkti inercije su:  $I_{xz} = I_{zx} = \sum_i m_i x_i z_i = 0$  i  $I_{yz} = I_{zy} = \sum_i m_i y_i z_i = 0$ , tj. u trećem redu i trećem stupcu tenzora inercije jedino je  $I_{33} = Y_3 \neq 0$ . Tenzor inercije je oblika:

$$I = \begin{pmatrix} I_{11} & I_{12} & 0 \\ I_{12} & I_{22} & 0 \\ 0 & 0 & Y_3 \end{pmatrix},$$

i lako se dijagonalizira matricom rotacije  $R$  za kut  $\theta$  oko z-osi,  $R = \begin{pmatrix} \cos \theta & \sin \theta & 0 \\ -\sin \theta & \cos \theta & 0 \\ 0 & 0 & 1 \end{pmatrix}$  na oblik (5.27), tj.  $I_D = RIR^T$ , gdje je kut  $\theta$  određen jednadžbom:

$$I_{12} \cos^2 \theta + (I_{11} - I_{22}) \sin 2\theta = 0.$$

#### Primjer 5. Kotrljanje homogenog -upljeg valjka.

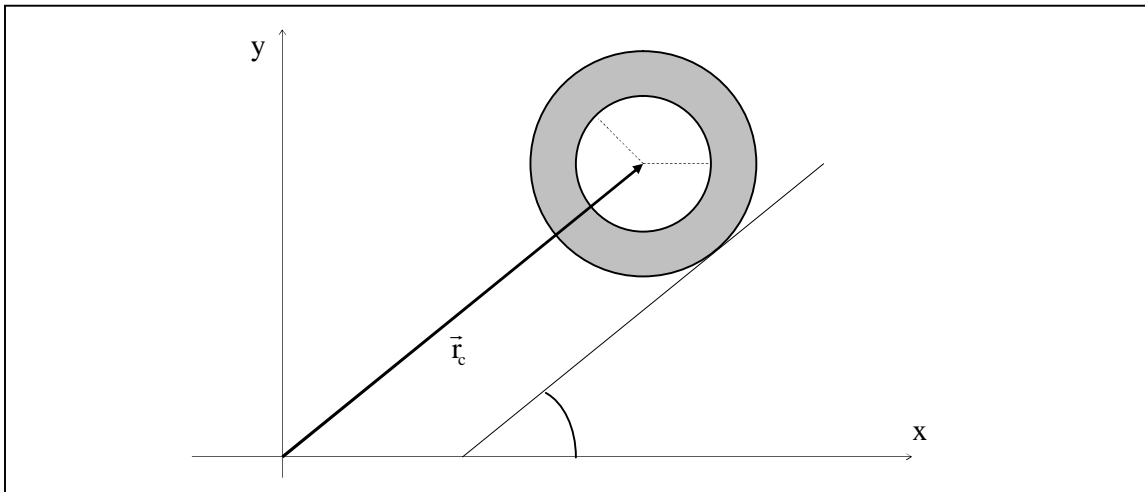
Na i Lagrangian i jednadžbu gibanja homogenog -upnjeg valjka iz Primjera 1. koji se kotrlja bez klizanja po ravnini nagnutoj pod kutem  $\alpha$  u odnosu na horizontalu, kao na Slici 34.

U Primjeru 1. nađen je tenzor inercije homogenog -upljeg valjka u odnosu na centar mase valjka:

$$I^c = \frac{M}{12} \begin{pmatrix} 3R^2 + 3r^2 + h^2 & 0 & 0 \\ 0 & 3R^2 + 3r^2 + h^2 & 0 \\ 0 & 0 & 6R^2 + 6r^2 \end{pmatrix}. \quad (5.21)$$

Odaberemo li za pol centar mase, a za z'-os os simetrije valjka kutna brzina rotacije tijela je  $\vec{\omega} = \dot{\theta} \begin{pmatrix} 0 \\ 0 \\ 1 \end{pmatrix}$ . Kinetička energija rotacije valjka je:

$$T_{\text{rot}} = \frac{1}{2} \vec{\omega}^T I^c \vec{\omega} = \frac{M}{4} (R^2 + r^2) \dot{\theta}^2.$$



Slika 34.

Valjak ima samo gravitacijsku potencijalnu energiju koja je jednaka potencijalnoj energiji centra mase  $U = Mg r_c \sin \varphi$ . Uvjet kotrljanja bez klizanja je  $\dot{r}_c = -R \dot{\varphi}$ , tj.  $r_c = -R \varphi$ . Prema (5.12) ili (5.33) ukupna kinetička energija valjka je:

$$T = T_{tr} + T_{rot} = \frac{M}{4} (3R^2 + r^2) \dot{\varphi}^2.$$

Valjak ima samo jedan stupanj slobode gibanja i za generaliziranu koordinatu možemo odabrati kut rotacije ( $\varphi$ ) ili  $r_c$ , pa je Lagrangian:

$$L = L(\varphi, \dot{\varphi}) = T - U = \frac{M}{4} (3R^2 + r^2) \dot{\varphi}^2 + MgR \sin \varphi.$$

Jednadžba gibanja je:  $\ddot{\varphi} - \frac{2R}{3R^2 + r^2} g \sin \varphi = 0$ , tj. akceleracija centra mase valjka je:

$$a_c = \ddot{r}_c = -\frac{2R^2}{3R^2 + r^2} g \sin \varphi = \text{const.}, \text{ a rješenje jednadžbe gibanja je: } r_c(t) = \frac{1}{2} a_c t^2 + \dot{r}_c(0) + r_c(0).$$

Najvažniji slučaj gibanja aksijalno simetričnih krutih tijela (simetričnih u odnosu na  $z'$ -os) na kojima se baziraju navigacijski fliroskopi, je gibanje homogenog zvrka.

#### Primjer 6. Slobodno gibanje simetričnog zvrka.

Neka je zvrk homogen i simetričan u odnosu na svoju  $z'$ -os tako da je  $Y_1 = Y_2$ . Treća glavna os inercije zvrka je  $z'$ -os, a druge dvije glavne osi inercije su bilo koja dva međusobno okomita pravca u ravnini okomitoj na  $z'$ -os. Odaberimo pol u centru mase koji je na osi simetrije zvrka. Gibanje zvrka je slobodno ako su ukupna sila i ukupni moment sila u odnosu na centar mase nula. Neka zvrk rotira oko osi simetrije kutnom brzinom  $\omega = \omega_z$ . U sustavu vezanom za tijelo je onda:  $M_{rot_1} = M_{rot_2} = M_{rot_3} = 0$  i  $\tau_1 = \tau_2 = \tau_3 = 0$ , pa su prve dvije Eulerove jednadžbe (5.34) identiteti, a treća daje:

$$Y_3 \dot{\omega} = 0 \Rightarrow \dot{\omega} = \text{const.}$$

Prema (5.40) vidimo da su ove jednadžbe zadovoljene ako u sustavu S stavimo:

$$\dot{\varphi} = \dot{\theta} = 0, \quad \dot{\psi} = \text{const.},$$

sa rješenjem:

$$\varphi = C_1, \quad \theta = C_2, \quad \psi = \omega_z t + C_3.$$

Slobodni zvrk po inerciji rotira konstantnom kutnom brzinom  $\omega = \omega_z$  oko osi simetrije koja zadržava nepromjenjeni pravac u prostoru i svojstvo zvrka važe za funkciju fliroskopa, koje je posljedica zakona očuvanja angулarnog momenta.

Primjer 7. Slobodno gibanje simetričnog zvrka oko jedne fiksne točke.

Odaberimo nepomičnu točku u zvrku za pol i uzimimo opet os simetrije za  $z'$ -os zbog  $Y_1 = Y_2$ . Ako je ukupni moment svih sila u odnosu na pol nula, Eulerove jednadžbe (5.34) su:

$$\begin{aligned} Y_1 \dot{\omega}_1 + (Y_3 - Y_1) \dot{\omega}_2 \dot{\omega}_3 &= 0, \\ Y_1 \dot{\omega}_2 + (Y_1 - Y_3) \dot{\omega}_1 \dot{\omega}_3 &= 0, \\ \dot{Y}_3 &= 0. \end{aligned} \quad (5.45)$$

Zadnja jednadžba odmah daje  $\dot{\omega}_3 = c = \text{const.}$ , a iz prve dvije deriviranjem i eliminiranjem  $\dot{\omega}_2$  dobija se:

$$\ddot{\omega}_1 + \omega_1^2 \omega_1 = 0, \quad \omega_1 = \frac{Y_3 - Y_1}{Y_1} c. \quad (5.46)$$

Jedno partikularno rješenje (5.46) je:

$$\omega_1(t) = a \cos \omega t, \quad (5.47)$$

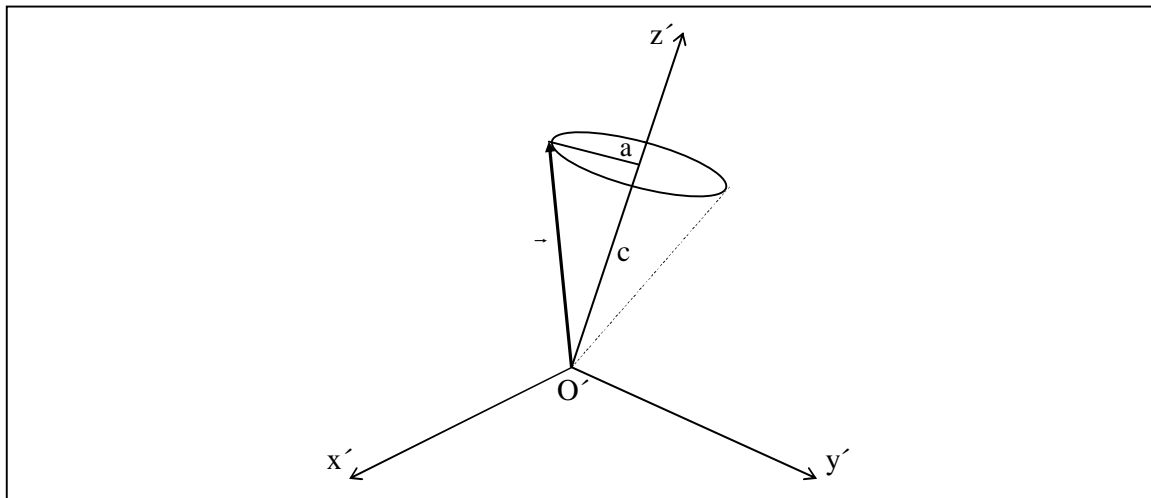
-to zamjenom u prvu jednadžbu (5.45) daje:

$$\omega_2(t) = a \sin \omega t, \quad (5.48)$$

pa je:

$$\omega_1(t)^2 + \omega_2(t)^2 = a^2 = \text{const.}$$

Zvrk rotira kutnom brzinom  $\omega$  konstantnog intenziteta  $|\omega| = \sqrt{a^2 + c^2}$ , dok pravac kutne brzine precesira sa kutnom frekvencijom  $\omega$  oko osi simetrije zvrka, kao na Slici 35.



Slika 35.

Gibanje Zemlje je slično gibanju slobodnog zvrka oko fiksnog centra mase, zanemarimo li male momente gravitacijskih sila Sunca i Mjeseca na sferno nesimetriju Zemlju. Zemlja nije sferno simetrična, u prvoj aproksimaciji je malo spljoštena sfera ili geoid, koji je ekvatorijalni dijametar 42,8 km veći od polarnog (relativno odstupanje od idealne sfere je svega 3.35

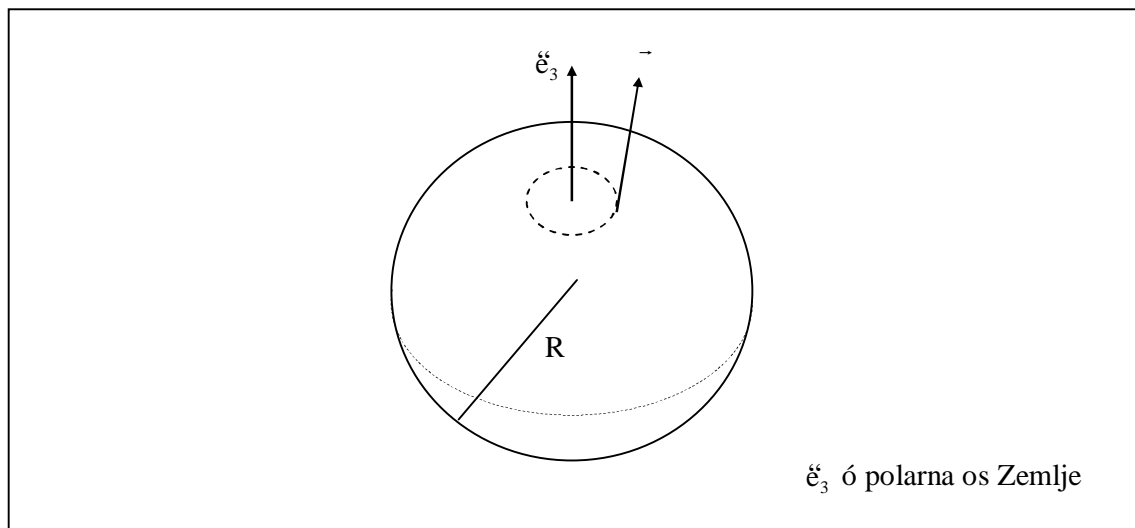
promila jer je  $R_{eq}=6380\text{ km}$  -to daje  $\frac{R_{eq}-R_{pol}}{R} = 3,355 \times 10^{-3}$ ). U prvoj aproksimaciji, Zemlju možemo zamisliti kao aksijalno simetrično (u odnosu na polarnu os) kruto tijelo sastavljeno od homogene kugle radijusa  $R$  i mase  $M$  plus ekvatorijalni prsten radijusa  $R$  i mase  $m$ , visine i debljine nula. Tenzor inercije Zemlje  $I_{\oplus}^c$  u odnosu na centar mase je oblika simetričnog zvrka:

$$I_{\oplus}^c = \frac{2}{5}MR^2 \begin{pmatrix} 1+H & 0 & 0 \\ 0 & 1+H & 0 \\ 0 & 0 & 1+2H \end{pmatrix}, \quad H = \frac{5m}{4M}. \quad (5.49)$$

gdje je  $\frac{m}{M} = 2.17 \times 10^{-3}$  najbolja vrijednost dobijena detaljnim pranjem gibanja satelita.

Uvrstimo li u (5.46) za kutnu brzinu precesije Zemljine osi rotacije  $\omega = \frac{H}{1+H} = \frac{H}{368}$ , gdje je  $\omega = \frac{2}{24 \times 60 \times 60\text{s}} = 7,27 \times 10^{-5} \frac{\text{rad}}{\text{s}}$ , dobijamo za period precesije od 368 dana.

Mjerenja daju za period precesije 427 dana (Chandler wobble) sa radijusom na površini Zemlje oko  $r = 9\text{ m}$  (koji iregularno varira za faktor 2), kao na Slici 36. Razlika je uglavnom posledica injenice da Zemlja nije idealno kruto tijelo. Oceani i zemljina kora su elastični i stalno se deformiraju kako pokazuju plime i oseke, na primjer. I unutarnjost Zemlje nije kruto, već elastično i deformabilno ili magma i tekuće fljeze.



Slika 36.

Primjer 8. Gibanje te-kog simetri nog zvrka oko jedne fiksne to ke.

Razmotrimo na kraju gibanje simetri nog zvrka mase  $M$  oko jedne u vr- ene to ke ó pola, u gravitacijskom polju Zemlje. Jedina aktivna sila je teflina zvrka. Problem rje-imo koriste i Lagrangeovih jednadflbi gibanja. Kako je pol zvrka u vr- en nema translatornog gibanja i generalizirane koordinate su tri Eulerova kuta. Zbog simetrije zvrka,  $Y_1 = Y_2$ , kineti ka energija rotacije prema (5.41) je:

$$T = \frac{1}{2} Y_1 \dot{\theta}_1^2 + \frac{1}{2} Y_1 \dot{\theta}_2^2 + \frac{1}{2} Y_3 \dot{\theta}_3^2 = \frac{1}{2} Y_1 (\dot{\theta}_1^2 + \dot{\theta}_2^2 \sin^2 \theta_3) + \frac{1}{2} Y_3 (\dot{\theta}_1 + \dot{\theta}_2 \cos \theta_3)^2.$$

Potencijalna energija u odnosu na najniful to ku zvrka ó njegov pol, jednaka je gravitacijskoj potencijalnoj energiji centra mase zvrka:

$$U = Mg z_c = Mgr_c \cos \theta_3,$$

gdje je  $r_c$  udaljenost centra mase od pola O'. Lagrangian zvrka je:

$$L = T - U = \frac{1}{2} Y_1 (\dot{\theta}_1^2 + \dot{\theta}_2^2 \sin^2 \theta_3) + \frac{1}{2} Y_3 (\dot{\theta}_1 + \dot{\theta}_2 \cos \theta_3)^2 - Mgr_c \cos \theta_3. \quad (5.50)$$

Sustav je konzervativan (jedina aktivna sila na zvrk je teflina, a ostale su idealne sile reakcije otpora podloge) i vrijedi zakon o uvanja energije:

$$\frac{1}{2} Y_1 (\dot{\theta}_1^2 + \dot{\theta}_2^2 \sin^2 \theta_3) + \frac{1}{2} Y_3 (\dot{\theta}_1 + \dot{\theta}_2 \cos \theta_3)^2 - Mgr_c \cos \theta_3 = E. \quad (5.51)$$

Kako Lagrangian ne zavisi od generaliziranih koordinata  $\theta_i$ , Lagrangeove jednadflbe:  $\frac{d}{dt} \frac{\partial L}{\partial \dot{\theta}_i} = 0$  i  $\frac{d}{dt} \frac{\partial L}{\partial \theta_i} = 0$  daju:

$$Y_3 (\dot{\theta}_1 + \dot{\theta}_2 \cos \theta_3) = A, \quad Y_3 \dot{\theta}_2 \cos \theta_3 + (Y_1 \sin^2 \theta_3 + Y_3 \cos^2 \theta_3) \dot{\theta}_1 = B, \quad (5.52)$$

gdje su A i B integracione konstante. Gornje relacije omogu uju da se  $\dot{\theta}_1$  i  $\dot{\theta}_2$  izraze pomo u  $\theta$  i uvr-tavanjem u zakon o uvanja energije (5.51) eliminiraju iz jednadflbe. Tako dobijena Lagrangeova jednadflba za kut  $\theta$  izme u osi simetrije zvrka i vertikale ( $\theta$  je kut ime u z i z'-osi) je:

$$\frac{1}{2} Y_1 \dot{\theta}_2^2 + \frac{(B - A \cos \theta)^2}{2Y_1 \sin^2 \theta} + \frac{A^2}{2Y_3} + Mgr_c \cos \theta = E. \quad (5.53)$$

Jednadflba (5.53) rje-ava se numeri ki jer su rje-enja elipti ne funkcije. Vaflnije od eksplicitnog rje-enja za zadane po etne uvjete je kvalitativno razumijevanje gibanja zvrka.

Jednadflba (5.53) je kao zakon o uvanja energije za tijelo mase  $M$  koje rotira kutnom brzinom  $\dot{\theta}$  oko osi okomite na  $z'$ -os (os rotacije je  $x'$  prva glavna os inercije zvrka) tako da je kineti ka energija rotacije  $T_{\text{eff}} = \frac{1}{2} Y_1 \dot{\theta}^2$ .

Tijelo se giba u efektivnom potencijalu  $U_{\text{eff}}(\theta) = \frac{(B - A \cos \theta)^2}{2Y_1 \sin^2 \theta} + \frac{A^2}{2Y_3} + Mgr_c \cos \theta$ , tako da

je  $T_{\text{eff}} + U_{\text{eff}} = E = \text{const}$ . Kako je kineti ka energija uvijek pozitivno definitna, a potencijalna energija neograni eno raste  $\lim_{\theta \rightarrow 0} U_{\text{eff}}(\theta) = +\infty$ , gibanje je ograni eno na titranje  $\theta_1 \ddot{\theta} \ddot{\theta}_2$  izme u dvije to ke povrata  $\theta_1$  i  $\theta_2$  u kojima je  $\dot{\theta}_1 = \dot{\theta}_2 = 0$ . Minimalne i maksimalne vrijednosti kuta  $\theta$  o nagiba osi zvrka prema vertikali, odre ene su jednadflbama:  $U_{\text{eff}}(\theta_{1,2}) = E$ .

Gibanje te-kog simetri nog zvrka je pseudoregularna precesija o na precesiju osi simetrije zvrka oko vertikalnog pravca superponira se nutacija o oscilatorno gibanje  $\theta_1 \ddot{\theta} \ddot{\theta}_2$  koje mijenja nagib zvrka prema vertikali.

U gibanju Zemlje i ostalih planeta postoji analog i ovog tipa gibanja zvrka. Osi rotacije Zemlje oko Sunca i oko sopstvene osi tvore kut od  $23,5^\circ$ , -to rezultira nenultim momentom gravitacijske sile Sunca na zemljin ekvatorijalni prsten (na dio prstena blifli Suncu djeluje ja a gravitacijska sila). Isti efekt ima i Mjesec. Ukupni moment gravitacijskih sila Sunca i Mjeseca u odnosu na centar mase Zemlje nije nula i izaziva precesiju angularnog momenta Zemlje  $\vec{L}_\oplus$  koji je prakti no u pravcu ose rotacije Zemlje o -to zna i precesiju polarne osi Zemlje. Kako Zemlja malo odstupa od idealne kugle, kutna brzina precesije osi rotacije Zemlje je relativno spora  $\omega_p = \frac{50,37''}{\text{god}}$ , -to zna i da je period precesije 26000 godina. Zemljina os rotacije je sada usmjerena u pravcu Sjevernja e (Polaris) sa to no- u boljom od  $1^\circ$ , ali za 12000 godina ulogu Sjevernja e preuzet e Vega u zvijefl u Lira.

## 6. MALE OSCILACIJE

### 6.1 Male oscilacije sustava

Razmotrimo konzervativni izolirani fizikalni sustav s n stupnjeva slobode gibanja. Mehaničko stanje sustava u jednom trenutku vremena određeno je skupom vrijednosti n generaliziranih koordinata i n generaliziranih brzina ( $q_i, \dot{q}_i$ ), gdje je  $i = 1, 2, \dots, n$ . Sustav je opisan Lagrangian-om:

$$L(q_i, \dot{q}_i) = T - U, \quad (6.1)$$

gdje je potencijalna energija funkcija poloflaja  $U = U(q)$ .

Sustav je u poloflaju ravnotefle kada generazirane sile koje djeluju na njega i-ezavaju:

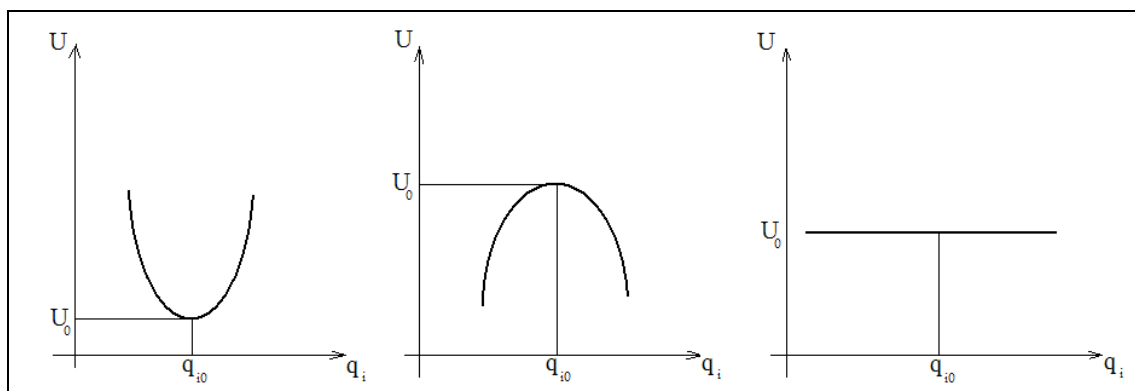
$$Q_i = -\left(\frac{\partial U}{\partial q_i}\right)_0 = 0, \quad (6.2)$$

to znači da u ravnotefnom poloflaju sustava ( $q_{10}, q_{20}, \dots, q_{n0}$ ) potencijalna energija ima ekstrem. Ravnotejni poloflaj je jedina konfiguracija u kojoj sustav može mirovati jer je ukupna sila na svaku esticu sustava nula.

Ravnotejni poloflaj može biti stabilan, nestabilan i indiferentan:

- stabilan  $\Leftrightarrow$  minimum potencijalne energije  $U$ ,
- nestabilan  $\Leftrightarrow$  maksimum potencijalne energije  $U$ ,
- indiferentan  $\Leftrightarrow$  ekstrem vi-eg reda potencijalne energije  $U$ .

Ravnotejni poloflaj je stabilan ako mali pomak iz tog poloflaja rezultira jedino ograničenim gibanjem u blizini tog poloflaja. Bilo kakav infinitesimalni pomak (perturbacija) sustava iz nestabilnog (labilnog) ravnotefnog poloflaja proizvodi neograničeno gibanje koje trajno odvodi sustav iz tog poloflaja. Mali pomak iz indiferentnog ravnotefnog poloflaja je opet indiferentni ravnotejni poloflaj. Oblik krivulja potencijalne energije u blizini poloflaja ravnotefle prikazan je na Slici 37.



Slika 37.

Najjednostavniji primjer ravnoteftog poloflaja je estica u gravitacijskom polju u udolini, na vrhu brije ili na horizontalnoj ravnini.

U teoriji malih oscilacija zanima nas gibanje sustava u okolini poloflaja stabilne ravnoteftle. Svi interesantni fizikalni sustavi imaju poloflaj stabilne ravnoteftle: nukleus, atom, molekula, kruto tijelo, zvijezda, planetarni sustav, galaktika, itd. Zato je teorija malih oscilacija oko poloflaja stabilne ravnoteftle vaflna za sva podru jima fizike.

U slu aju malih oscilacija, pomaci iz ravnoteftog poloflaja su «mali», tj. infinitezimalni, pa sve funkcije koje opisuju sustav moemo razvijati u Taylor-ov red oko poloflaja stabilne ravnoteftle.

Prvo definirajmo nove generalizirane koordinate  $x_i$  koje se mjere od ravnoteftog poloflaja (ovo je uvijek mogu e, jer zna i samo translaciju ishodi-ta):

$$x_i = q_i - q_{i0}; \quad (i = 1, \dots, n). \quad (6.3)$$

Razvijaju i potencijalnu energiju  $U$  oko  $q_{i0}$ , tj. oko  $x_i = 0$ , dobijamo:

$$U(q_1, \dots, q_n) = U(q_{10}, \dots, q_{n0}) + \sum_i \left( \frac{\partial U}{\partial q_i} \right)_0 x_i + \frac{1}{2} \sum_{i,j} \left( \frac{\partial^2 U}{\partial q_i \partial q_j} \right)_0 x_i x_j + \dots . \quad (6.4)$$

Izlanovi linearne po  $x_i$  automatski i-ezavaju kao posljedica uvjeta ravnoteftle (6.2). Budu i da je potencijalna energija uvijek definirana samo do na konstantu, moemo odabrat da je njena vrijednost u poloflaju stabilne ravnoteftle jednaka nuli:

$$U_0 = U(q_{10}, \dots, q_{n0}) = 0. \quad (6.5)$$

Zanemaruju i infinitezimalne lanove vi-eg reda po  $x_i$ , dobijamo izraz za potencijalnu energiju sustava za slu aji malih oscilacija oko poloflaja stabilne ravnoteftle koji je kvadratna funkcija generaliziranih koordinata  $x_i$ :

$$U = \frac{1}{2} \sum_{i,j} \left( \frac{\partial^2 U}{\partial q_i \partial q_j} \right)_0 x_i x_j = \frac{1}{2} \sum_{i,j} V_{ij} x_i x_j; \quad (i,j = 1, \dots, n) \quad (6.6)$$

gdje smo druge derivacije potencijalne energije  $U$  u poloflaju stabilne ravnoteftle ozna ili konstantama  $V_{ij}$ . O igledno je iz definicije da su konstante  $V_{ij}$  simetri ne, tj.  $V_{ij} = V_{ji}$  i tvore elemente realne simetri ne  $n \times n$  matrice  $V$ .

Razmotrimo sada razvoj u red kineti ke energije sustava. Budu i da za izolirani fizikalni sustav generalizirane koordinate ne sadrftle vrijeme eksplisitno, kineti ka energija je kvadratna funkcija generaliziranih brzina:

$$T = \frac{1}{2} \sum_{i,j} t_{ij} \dot{q}_i \dot{q}_j = \frac{1}{2} \sum_{i,j} t_{ij} \dot{x}_i \dot{x}_j. \quad (6.7)$$

Koeficijenti  $t_{ij}$  su funkcije generaliziranih koordinata  $q_i$ , tj.  $x_i$ , i mogu se razviti u red oko poloflaja stabilne ravnoteftle:

$$t_{ij} = t_{ij}(q_{10}, \dots, q_{n0}) + \sum_k \left( \frac{\partial t_{ij}}{\partial q_k} \right)_0 x_k + \dots . \quad (6.8)$$

Kako je izraz (6.7) već kvadratan po infinitezimalnim generaliziranim brzinama  $\dot{x}_i$ , aproksimacija najnifleg reda za kinetičku energiju dobije se zanemarujući sve osim prvog lana u razvoju (6.8). Označavajući konstantne vrijednosti funkcija  $t_{ij}$  u poloflaju stabilne ravnotežne sa  $T_{ij}$ , kinetičku energiju možemo pisati u obliku:

$$T = \frac{1}{2} \sum_{ij} T_{ij} \dot{x}_i \dot{x}_j. \quad (6.9)$$

Opet je očigledno da konstante  $T_{ij}$  moraju biti simetrične jer  $\dot{x}_i$  i  $\dot{x}_j$  komutiraju.

Iz (6.6) i (6.9) vidimo da je Lagrangian sustava koji vrši male oscilacije oko poloflaja stabilne ravnotežne kvadratna funkcija generaliziranih koordinata i brzina:

$$L = \frac{1}{2} \sum_{ij} (T_{ij} \dot{x}_i \dot{x}_j + V_{ij} x_i x_j). \quad (6.10)$$

Pripadne Lagrange-ove jednadžbe su:

$$\sum_j T_{ij} \ddot{x}_j + \sum_j V_{ij} x_j = 0. \quad (6.11)$$

Ovo je sustav od  $n$  običnih diferencijalnih jednadžbi drugog reda po vremenu sa konstantnim koeficijentima.

Treba vidjeti kako ih rješiti!

## 6.2 Jednadžba svojstvenih vrijednosti

Vidjeli smo da su jednadžbe gibanja (6.11) svakog fizikalnog sustava koji ima poloflaj stabilne ravnotefle u blizini tog poloflaja u prvoj aproksimaciji:

$$\sum_j T_{ij} \ddot{x}_j + \sum_j V_{ij} x_j = 0. \quad (6.12)$$

Da pojednostavnimo notaciju premo na matri ni oblik smo smatraemo  $T_{ij}$  elementima realne, simetrične  $n \times n$  matrice  $T$ , a  $V_{ij}$  elementima matrice  $V$  istog tipa. Lagrangeove jednadžbe gibanja za male oscilacije (6.12) u matričnom obliku glase:

$$T \ddot{x} + V x = 0, \quad (6.13)$$

gdje je  $x$  vektor-stupac tj.  $n \times 1$  matrica.

Matrica kinetičke energije  $T$  mora biti regularna, što znači da  $T^{-1}$  uvijek postoji, jer bi u protivnom, imali linearnu zavisnost generaliziranih koordinata što je, po definiciji nemoguće. Mnogost rješenja s matricom  $T^{-1}$ , dobijamo:

$$\ddot{x} + Ax = 0, \quad (6.14)$$

gdje je  $A = T^{-1}V$ .

Smjerimo da rješenje bude jednostavno harmonijsko titranje  $x = e^{\pm i \omega t}$  s kutnom frekvencijom  $\omega$  koju zadovoljava jednadžbu gibanja:

$$\ddot{x} + \omega^2 x = 0; \quad \omega^2 = \text{const.} \quad (6.15)$$

Iz (6.14) i (6.15) je očigledno da je neophodan uvjet za postojanje takvog rješenja:

$$Ax = \omega^2 x, \quad (6.16)$$

čemu znači da je  $x$  svojstveni vektor matrice  $A$  koji pripada svojstvenoj vrijednosti  $\omega^2$ , tj. svojstvenoj frekvenciji sustava  $\omega$ .

Znači, rješavanje problema malih oscilacija oko poloflaja stabilne ravnotefle nekog fizikalnog sustava svodi se na rješavanje svojstvenog problema (6.14) matrice  $A = T^{-1}V$ .

Svojstvene vrijednosti matrice  $A$  su rješenja karakteristične jednadžbe:

$$\det(A_{kj} - \omega^2 \delta_{kj}) = 0, \quad (6.17)$$

ili, mnogost rješenja s  $\det T_{ik}$ :

$$\det(V_{ij} - \omega^2 T_{ij}) = 0. \quad (6.18)$$

Ovo je algebarska jednadžba stupnja  $n$  po  $\omega^2$  i njena rješenja su  $n$  svojstvenih frekvencija malih oscilacija fizikalnog sustava.

Pripadne svojstvene vektore određujemo iz (6.16) ili iz ekvivalentne jednadžbe:

$$(V - w^2 T) x = 0. \quad (6.19)$$

Kako su  $V$  i  $T$  realne simetrične matrice slijedi da su svojstvene vrijednosti  $w^2$  matrice  $A$  realne. To je lako dokazati.

Hermitovi konjugirana jednadžba (6.19) je:

$$x^A V - \overline{w^2} x^A T = 0. \quad (6.20)$$

Množte i (6.19) slijeva s  $x^A$ , a (6.20) zdesna s  $x$ , dobijamo:

$$x^A V x = w^2 x^A T x$$

$$x^A V x = \overline{w^2} x^A T x,$$

pa oduzimanjem odmah slijedi:  $w^2 = \overline{w^2}$ , tj.  $w^2 \in \mathbb{R}$ .

U linearnoj algebri se pokazuje da svaka hermitska matrica reda  $n$  ima  $n$  svojstvenih vektora po jedan za svaku svojstvenu frekvenciju  $w_k$ .

Napomena: Jasno je da su matrice  $V$  i  $T$  hermitske jer su realne i simetrične, tako da je i matrica  $T^{-1}$  hermitska. Ali, produkt dvije hermitske matrice je hermitska matrica, ako i samo ako, one komutiraju. U svakom pojedinom slučaju može se provjeriti da li matrice  $V$  i  $T^{-1}$  komutiraju. No, bez velikog ograničenja općnosti u kontekstu fizici, to se može pretpostaviti i nije tako učinkovito bez provjere. Tada je i matrica  $A = T^{-1}V$  hermitska, te njen svojstveni problem uvijek ima rješenje, tj. postoji  $n$  svojstvenih frekvencijskih vektora  $w_k$  i njima pripadnih svojstvenih vektora.

Označimo svojstvene vektore matrice  $A$  s  $x^{(k)}$ , gdje indeks  $k$  uzima vrijednosti  $k = 1, 2, \dots, n$ . Za pojedine komponente svojstvenih vektora uvedimo notaciju:  $x_i^{(k)} \equiv x_{ik}$ .

Svojstvene vrijednosti  $w^2$  matrice  $A$  su, osim toga, i pozitivne – to se vidi na sljedeći način. Pomoćno (6.19) s  $x_{ik}$  i sumirajmo po  $i$ :

$$\sum_{i,j} V_{ij} x_{ik} x_{jk} = w_k^2 \sum_{i,j} T_{ij} x_{ik} x_{jk},$$

– to daje:

$$w_k^2 = \frac{\sum_{i,j} V_{ij} x_{ik} x_{jk}}{\sum_{i,j} T_{ij} x_{ik} x_{jk}}.$$

Na desnoj strani i brojnik i nazivnik su nenegativni – nazivnik je kao dvostruka kinetička energija za brzine  $x_{ik}$ , a brojnik je potencijalna energija sustava za koordinate  $x_{ik}$  uz uvjet da je minimum potencijalne energije nula, – to znači da je:  $w_k^2 \geq 0$ .

Slučaj nulte svojstene frekvencije zahtjeva posebno razmatranje: titranje sa frekvencijom  $w = 0$ , u stvari nije titranje nego translacijsko ili rotacijsko gibanje cijelog sustava kao krutog tijela. Pri razmatranju malih oscilacija sustava ti stupnjevi slobode gibanja se eliminiraju dodatnim zahtjevima da je brzina centra mase sustava jednaka nuli i da je angularni moment sustava nula.

Dosad smo pokazali da svaki konzervativni fizikalni sustav s n stupnjeva slobode gibanja u blizini poloflaja stabilne ravnoteže ima n svojstvenih frekvencija koje su realne i nenegativne. U zavisnosti da li su te svojstvene frekvencije međusobno različite ili nisu, imamo dva slučaja:

- NEMA DEGENERACIJE – svih  $n$  svojstvenih frekvencija  $w_k$  su različite,
- POSTOJI DEGENERACIJA – barem dvije od  $n$  svojstvenih frekvencija  $w_k$  su jednake.

Razmotrimo prvo sustav u kojem nema degeneracije:

Rješavanjem karakteristične jednadžbe (6.17) ili (6.18) nalazimo svojstvene frekvencije, a zatim određujemo pripadne svojstvene vektore iz jednadžbe:

$$(A - w^2 I)x = 0 \quad \text{ili} \quad (V - w^2 T)x = 0$$

uvrštavanjem svojstvenih vrijednosti.

Primjer 1. Rješiti svojstveni problem nedegerirane matrice:

$$A = \begin{pmatrix} 0 & 0 & 1 \\ 0 & 2 & 0 \\ 1 & 0 & 0 \end{pmatrix}$$

tj. matrice jednadžbu:  $Ax = \lambda x$ , gdje smo svojstvene vrijednosti označile s  $\lambda$ .

Karakteristična jednadžba je:  $\det(A - \lambda I) = 0$ , odnosno:

$$\begin{vmatrix} -\lambda & 0 & 1 \\ 0 & 2-\lambda & 0 \\ 1 & 0 & -\lambda \end{vmatrix} = 0 \iff \lambda^2(2-\lambda) + (2-\lambda) = 0.$$

Svojstvene vrijednosti su:  $\lambda_1 = 0$  ;  $\lambda_2 = 1$  ;  $\lambda_3 = 2$  ;

Sada treba naći svojstvene vektore uvrštavanjem vrijednosti  $\lambda_i$  u jednadžbu:  $(A - \lambda_i I)x = 0$ .

a)  $\lambda_1 = 0$

$$\begin{pmatrix} 1 & 0 & 1 \\ 0 & 3 & 0 \\ 1 & 0 & 1 \end{pmatrix} \begin{pmatrix} x_1 \\ x_2 \\ x_3 \end{pmatrix} = 0 \iff \begin{array}{l} x_1 + x_3 = 0 \\ 3x_2 = 0 \\ x_1 + x_3 = 0 \end{array}$$

Ovo je sustav od 3 homogene linearne jednadžbe s 3 nepoznanice (ali, samo dvije linearne nezavisne jednadžbe), koji daje dvije relacije među komponentama prvog svojstvenog vektora

$$x_3 = -x_1 \quad \text{i} \quad x_2 = 0.$$

Oigledno je da postoji beskonačno mnogo rješenja. Zato zadajemo dodatni uvjet normiranja kojim zahtijevamo da je kvadrat norme svojstvenog vektora jednak 1 (to je treba linearne nezavisne jednadžbe za tri komponente svojstvenog vektora), tj.:

$$x^T A x = 1 \quad \Leftrightarrow \quad x_1^2 + x_2^2 + x_3^2 = 1,$$

-to daje:  $x_1 = \frac{1}{\sqrt{2}}$  (odabratemo samo pozitivno rješenje), pa je svojstveni vektor matrice A koji pripada prvoj svojstvenoj vrijednosti  $\lambda_1 = 61$ :

$$x^{(1)} = \frac{1}{\sqrt{2}} \begin{pmatrix} 1 \\ 0 \\ -1 \end{pmatrix}.$$

$$\text{b)} \quad \lambda_2 = 1$$

Potpuno analogno dobija se:

$$x^{(2)} = \frac{1}{\sqrt{2}} \begin{pmatrix} 1 \\ 0 \\ 1 \end{pmatrix} \text{ te,}$$

$$\text{c)} \quad \lambda_3 = 2$$

$$x^{(3)} = \begin{pmatrix} 0 \\ 1 \\ 0 \end{pmatrix}.$$

Lako je vidjeti da su različiti svojstveni vektori međusobno ortogonalni (u skladu s opštim teoremom linearne algebre koji važe za svaku hermitsku matricu), tj. vrijedi:

$$x^{(1)} A x^{(2)} = x^{(1)} A x^{(3)} = x^{(2)} A x^{(3)} = 0.$$

Razmotrimo sad sustav u kojem postoji degeneracija:

U slučaju da su dvije ili više svojstvenih vrijednosti međusobno jednakе, nazivaju se degeneriranim i tada broj linearne nezavisnih jednadžbi za komponente pripadnih svojstvenih vektora nije dovoljan za njihove jednoznačno određivanje. Broj degeneriranih svojstvenih vrijednosti je stupanj degeneracije k matrice oigledno, k mofle uzimati vrijednosti od 2 do n. Ako nema degeneracije karakteristična jednadžba (6.17) osigurava da jednadžba (6.16) za svojstvene vektore daje n=1 uvjet za n komponenti svakog svojstvenog vektora.

U slučaju degeneracije, broj uvjeta je n = k. U linearnej algebri se dokazuje teorem koji kaže da uvijek postoji tzv. Schmidtov postupak ortogonalizacije, koji iz zahtjeva da različiti svojstveni vektori koji pripadaju istoj degeneriranoj svojstvenoj vrijednosti budu međusobno ortogonalni, osigurava dodatnih k = 1 uvjeta za svaki svojstveni vektor. Uz dodatni uvjet normiranja  $x^T x = 1$ , to je ukupno n linearne nezavisne uvjeta za n komponenti svakog od k različitih svojstvenih vektora koji pripadaju svojstvenoj frekvenciji stupnja degeneracije k.

Umjesto dokaza ovog teorema, razmotrimo jednostavan primjer s stupnjem degeneracije k = 2.

Primjer 2. Rješiti svojstveni problem degenerirane matrice:

$$A = \begin{pmatrix} 1 & 0 & 0 \\ 0 & 0 & 1 \\ 0 & 1 & 0 \end{pmatrix}.$$

Karakteristična jednadžba

$$\begin{vmatrix} 1-\lambda & 0 & 0 \\ 0 & -\lambda & 1 \\ 0 & 1 & -\lambda \end{vmatrix} = 0 \Leftrightarrow (\lambda^2 + 1)(1 - \lambda) = 0,$$

daje:  $\lambda_1 = -1$ ;  $\lambda_2 = \lambda_3 = 1$ .

Rješimo sad jednadžbu za svojstvene vektore  $(A - \lambda I)x = 0$ .

a)  $\lambda_1 = -1$

$$\begin{pmatrix} 2 & 0 & 0 \\ 0 & 1 & 1 \\ 0 & 1 & 1 \end{pmatrix} \begin{pmatrix} x_1 \\ x_2 \\ x_3 \end{pmatrix} = \begin{pmatrix} 0 \\ 0 \\ 0 \end{pmatrix} \Leftrightarrow x_1 = 0; x_3 = -x_2,$$

pa iz uvjeta normiranja slijedi:  $x_2 = \frac{1}{\sqrt{2}}$ , te dobijamo:

$$x^{(1)} = \frac{1}{\sqrt{2}} \begin{pmatrix} 0 \\ 1 \\ -1 \end{pmatrix}.$$

b)  $\lambda_2 = 1$

Jednadžba (6.16) daje:

$$\begin{pmatrix} 0 & 0 & 0 \\ 0 & -1 & 1 \\ 0 & 1 & -1 \end{pmatrix} \begin{pmatrix} x_1 \\ x_2 \\ x_3 \end{pmatrix} = \begin{pmatrix} 0 \\ 0 \\ 0 \end{pmatrix} \Leftrightarrow \begin{array}{l} 0=0 \\ -x_2+x_3=0 \\ x_2-x_3=0 \end{array}$$

tj. dobijemo samo jednu jednadžbu:  $x_2 = x_3$ .

Postoje dva svojstvena vektora  $x^{(2)}$  i  $x^{(3)}$  koja pripadaju ovoj dvostruko degeneriranoj svojstvenoj vrijednosti ije dvije komponente su potpuno proizvoljne – npr.  $x_1$  i  $x_2$ .

Uvjeti normiranja  $x^{(2)} \cdot x^{(2)} = x^{(3)} \cdot x^{(3)} = 1$  i dodatni uvjet ortogonalnosti:  $x^{(2)} \cdot x^{(3)} = 0$ , omogu uju da se odrede sve komponente ovih vektora (preciznije, imamo 3 uvjeta za 4 komponente ó zna i jednu komponentu moramo odabrati proizvoljno).

Jednostavnosti radi, odaberimo za prvu komponentu drugog svojstvenog vektora nulu. Onda je:

$$x^{(2)} = \frac{1}{\sqrt{2}} \begin{pmatrix} 0 \\ 1 \\ 1 \end{pmatrix},$$

pa iz uvjeta ortogonalnosti dobijamo:

$$x^{(3)} = \begin{pmatrix} 1 \\ 0 \\ 0 \end{pmatrix}.$$

Sva tri svojstvena vektora matrice A su normirana i me usobno ortogonalna, kao i u slu aju kad nema degeneracije. Degeneracija ustvari zna i postojanje beskona no mnogo ekvivalentnih skupova od k ortonormiranih svojstvenih vektora koji pripadaju istoj svojstvenoj vrijednosti ó po volji biramo koji odabrat.

Na ovaj na in se uvijek mogu odrediti svojstvene vrijednosti i svojstveni vektori bilo koje Hermitske matrice.

### 6.3 Normalne koordinate

Rjeavanjem svojstvenog problema (6.16)  $n \times n$  matrice  $A = T^{-1}V$  uvijek dobijemo n svojstvenih vrijednosti  $w_k$  i n pripadnih svojstvenih vektora  $x_{(k)}$ . Svojstvene vektore poredane kao stupce iskoristimo za formiranje  $n \times n$  matrice C. To zna i da za komponente matrice C vrijedi:  $C_{ij} \equiv x_{i(j)} \equiv x_{ij}$ . Pomo u matrice C uvedimo nove generalizirane koordinate  $y_i$  definirane matri nom jednadžbom:

$$x = C y, \quad (6.21)$$

gdje su  $x$  i  $y$  vektori stupci, tj.  $n \times 1$  matrice.

Matrica C je ortogonalna jer su njeni stupci razli iti, me usobno ortogonalni, svojstveni vektori matrice A, tj, vrijedi  $C^{\dagger} = C^T$  pa je:

$$y = C^T x. \quad (6.22)$$

Dokafimo da matrica C matri nom transformacijom sli nosti dijagonalizira matricu kineti ke energije T na jedini nu matricu, tj. da vrijedi:

$$C^T T C = I. \quad (6.23)$$

Za dvije svojstvene vrijednosti  $w_k^2$  i  $w_m^2$  jednadžbe (6.16) ili ekvivalentne jednadžbe (6.19) su

$$\sum_{i,j=1}^n V_{ij} x_{j(k)} = \sum_{i,j=1}^n w_k^2 T_{ij} x_{j(k)} \quad (6.24)$$

i

$$\sum_{i,j=1}^n V_{ij} x_{j(m)} = \sum_{i,j=1}^n w_m^2 T_{ij} x_{j(m)}. \quad (6.25)$$

Kompleksno konjugirana jednadžba (6.25) je:

$$\sum_{i,j=1}^n V_{ij} \overline{x_{j(m)}} = \sum_{i,j=1}^n \overline{w_m^2} T_{ij} \overline{x_{j(m)}}, \quad (6.26)$$

gdje smo iskoristili realnost i simetri nost matrica potencijalne i kineti ke energije.

Mnogli i (6.24) sa  $\overline{x_{i(m)}}$ , a (6.26) sa  $x_{j(k)}$  i oduzimanjem tako dobijenih jednadžbi, imamo:

$$0 = \sum_{i,j=1}^n (w_k^2 - \overline{w_m^2}) T_{ij} \overline{x_{i(m)}} x_{j(k)}. \quad (6.27)$$

Kako su svojstvene vrijednosti realne i kako svojstvene vektore tako e uvijek moflemo odabrat da budu realni, (6.27) daje:

$$0 = \sum_{i,j=1}^n (w_k^2 - w_m^2) T_{ij} x_{i(m)} x_{j(k)} = \sum_{i,j=1}^n (w_k^2 - w_m^2) x_{(m)i} T_{ij} x_{j(k)}. \quad (6.28)$$

Za  $k \neq m$  mora biti:

$$\sum_{i,j=1}^n T_{ij} x_{i(m)} x_{j(k)} = \sum_{i,j=1}^n x_{(m)i}^T T_{ij} x_{j(k)} = (C^T T C)_{mk} = 0, \quad (6.29)$$

a, za  $k = m$  uvijek moramo zahtijevati da svojstveni vektori zadovoljavaju novi uvjet normiranja:

$$\sum_{i,j=1}^n x_{(k)i}^T T_{ij} x_{j(k)} = 1. \quad (6.30)$$

Zadnje dvije jednadžbe moramo ujediniti u jednu:

$$\sum_{i,j=1}^n x_{(k)i}^T T_{ij} x_{j(m)} = \delta_{km}, \quad (6.31)$$

-to u matričnoj formi pišemo:

$$C^T T C = I. \quad (6.23)$$

Jednadžba (6.23) predstavlja uvjet ortonogonalnosti matrice  $C$  u prostoru koji nije Euklidski i ići je metrički tenzor  $T$ , sa komponentama  $T_{ij}$  koje su konstante neovisne o koordinatama. U takvom prostoru skalarni produkt dva vektora  $a$  i  $b$  je:

$$\vec{a} \cdot \vec{b} = \sum_{i,j=1}^n a_i T_{ij} b_j,$$

pa (6.31) predstavlja uvjet ortonormiranosti n svojstvenih vektora  $x_{(k)}$  u takvom prostoru.

Definirajmo sad realnu dijagonalnu matricu reda  $n$  iji su dijagonalni elementi svojstvene vrijednosti  $w_k^2$  matrice  $A = T^{-1}V$ , tj.:

$$V_{km}^D = w_k^2 \delta_{km}. \quad (6.32)$$

Svojstveni problem matrice  $A$  iz (6.16) možemo napisati kao:

$$\sum_{j=1}^n V_{ij} x_{j(m)} = w_m^2 \sum_{j=1}^n T_{ij} x_{j(m)} = \sum_{j,k=1}^n T_{ij} x_{j(k)} w_k^2 \delta_{km} = \sum_{j,k=1}^n T_{ij} x_{j(k)} V_{km},$$

ili u matričnoj notaciji:

$$V C = T C V^D.$$

Množimo slijeva sa  $C^T$  zbog (6.23) je:

$$V^D = C^T V C = \begin{pmatrix} w_1^2 & & & 0 \\ & \ddots & & \\ & & \ddots & \\ 0 & & & w_n^2 \end{pmatrix}. \quad (6.33)$$

Zna i, matrica  $C$  dijagonalizira matricu  $T$  na jedini nu matricu (6.23) i tako er dijagonalizira  $V$  na  $V^D$  kao u (6.33).

Zato u novim generaliziranim koordinatama (6.22), zbog  $x = Cy$ , tj.  $x^T = y^T C^T$  i potencijalna i kineti ka energija imaju znatno jednostavniji oblik.

Zaista, prema (6.6) i (6.33) je:

$$U = \frac{1}{2} \sum_{i,j} x_i V_{ij} x_j = \frac{1}{2} x^T V x = \frac{1}{2} y^T C^T V C x = \frac{1}{2} y^T V^D y. \quad (6.34)$$

Poslednju relaciju možemo napisati i eksplisitno:

$$U = \frac{1}{2} \sum_{k=1}^n w_k^2 y_k^2. \quad (6.35)$$

Kineti ka energija e zbog (6.23) u novim koordinatama imati jo-jednostavniji oblik:

$$T = \frac{1}{2} \sum_{i,j} \dot{x}_i t_{ij} \dot{x}_j = \frac{1}{2} \dot{x}^T T \dot{x} = \frac{1}{2} \dot{y}^T C^T T C \dot{y} = \frac{1}{2} \dot{y}^T \dot{y}. \quad (6.36)$$

Izrađena pomo u novih generaliziranih brzina kineti ka energija je eksplisitno:

$$T = \frac{1}{2} \sum_{k=1}^n \dot{y}_k^2. \quad (6.37)$$

Iz (6.37) i (6.35) se vidi da je u novim generaliziranim koordinatama  $y_k$  i kineti ka i potencijalna energija sustava zbroj kvadrata bez mje-ovitih lanova.

Zna i, u prvoj aproksimaciji Lagrangian malih oscilacija oko položaja stabilne ravnoteže bilo kojeg konzervativnog fizikalnog sustava sa  $n$  stupnjeva slobode gibanja jednak je zbroju od  $n$  Lagrangiana neovisnih linearnih harmoničkih oscilatora, tj.

$$L = \sum_{k=1}^n L_k = \frac{1}{2} \sum_{k=1}^n (\dot{y}_k^2 - w_k^2 y_k^2). \quad (6.38)$$

Lagrangeove jednadžbe gibanja za  $y_k$  su:

$$\ddot{y}_k + w_k^2 y_k = 0, \quad (k = 1, 2, \dots, n). \quad (6.39)$$

sa rješenjem koje je prosto harmoni ko titranje:

$$y_k = A_k \cos(w_k t + \phi_k). \quad (6.40)$$

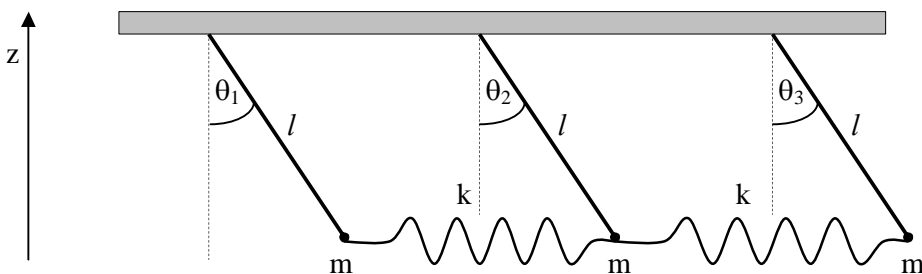
Sve nove generalizirane koordinate  $y_k$  su jednostavne harmoni ke funkcije vremena koje sadrflje samo jednu svojstvenu frekvenciju sustava  $w_k$ , i nazivaju se **normalnim koordinatama sustava** ó svaka normalna koordinata opisuje prosto harmoni ko titranje sustava oko poloflaja stabilne ravnotefle sa jednom svojstvenom frekvencijom i ini jedan normalni mod titranja sustava. Sve estice, u svakom pojedinom normalnom modu, osciliraju s istom svojstvenom frekfencijom i fazom. Bilo kakvo gibanje sustava u blizini poloflaja stabilne ravnotefle moflje se smatrati sastavljenim od linearne kombinacije (superpozicija) normalnih modova sa odgovaraju im amplitudama  $A_k$  i faznim faktorima  $\varphi_k$ .

Dakle, **u blizini položaja stabilne ravnoteže u prvoj aproksimaciji svaki konzervativni fizikalni sustav sa n stupnjeva slobode gibanja može se smatrati ansamblom od n neovisnih linearnih harmoničkih oscilatora svojstvenih frekvencija  $w_k$  (koje se nazivaju svojstvenim frekvencijama sustava), tako da se ukupno gibanje sustava sastoji od pobudivanja različitih harmoničkih osilatora (normalnih modova osciliranja) različitim amplitudama i fazama.**

Ukupno gibanje ne sadrfii harmonike svojstvenih frekvencija zbog uvjeta malih oscilacija, tj. zahtijeva da amplitude titranja budu infinitizimalne veli inae. Tako se dobije Lagrangian koji je kvadratna funkcija normalnih koordinata  $y_k$  i brzina  $\dot{y}_k$  [jer smo zadrflali samo prve nenulte lanove u Taylorovim razvoju (6.4) i (6.8) za potencijalnu i kineti ku energiju]. Jasno je da proceduru razvoja u red Lgrangiana sustava moflemo sistematski nastaviti uzimaju i u obzir i lanove vi-eg reda po infinitezimalnim veli inama, ali po cijenu znatnih matemati kih komplikacija.

#### 6.4 Male oscilacije trostrukog njihala

Kao primjer razmotrimo sustav tri matemati ka njihala spojena elasti nim oprugama. Radi jednostavnosti uzmimo da su njihala jednakih duljina  $l$  i masa  $m$  i neka obje opruge imaju istu konstantu  $k$  kao na Slici 38.



Slika 38. Trostruko njihalo

Sustav ima tri stupnja slobode gibanja i za generalizirane koordinate odaberimo kuteve koje njihala ine sa vertikalom:  $\theta_1$ ,  $\theta_2$  i  $\theta_3$ . Poloflaj stabilne ravnotefle je najniffi poloflaj u kojem su generalizirane koordinate i potencijalna energija sustava, koja je zbroj gravitacijske potencijalne energije njihala i elasti ne potencijalne energije opruga, jednake nuli.

Svako njihalo ima gravitacijsku potencijalnu energiju:

$$U_{GR} = mgz = mgl(1 - \cos\theta).$$

U slučaju malih oscilacija je  $\theta \approx 0$ , pa ako  $\cos\theta$  razvijemo u red imamo:

$$U_{GR} = mgl(1 - 1 + \frac{1}{2!}\theta^2 - \frac{1}{4!}\theta^4 + \dots) = \frac{1}{2}mgl\theta^2. \quad (6.41)$$

Svaka opruga ima elastičnu potencijalnu energiju  $U_{EL} = \frac{1}{2}kx^2$  gdje je  $x$  elongacija opruge, tj.  $x = l \sin\theta$ . U prvoj aproksimaciji možemo zanemariti elongaciju opruge u pravcu  $z$ -osi, pa je:

$$U_{EL} = \frac{1}{2}kl^2\{\sin\theta_2 - \sin\theta_1\}^2 + \frac{1}{2}kl^2\{\sin\theta_3 - \sin\theta_2\}^2.$$

Razvijajući elastičnu potencijalnu energiju u red:  $\sin\theta = \theta - \frac{1}{3!}\theta^3 + \frac{1}{5!}\theta^5 - \dots$  i zadržavajući samo prvi član u razvoju za potencijalnu energiju elastičnosti među udjelovanja njihala dobijamo:

$$U_{EL} = \frac{1}{2}kl^2\{(\theta_2 - \theta_1)^2 + ((\theta_3 - \theta_2)^2\}. \quad (6.42)$$

Ukupna potencijalna energija malih oscilacija sustava je zbroj (6.41) i (6.42), tj.:

$$U = \frac{1}{2}mgl(\theta_1^2 + \theta_2^2 + \theta_3^2) + \frac{1}{2}kl^2\{(\theta_2 - \theta_1)^2 + ((\theta_3 - \theta_2)^2\}, \quad (6.43)$$

–to je kvadratna funkcija generaliziranih koordinata kao u (6.6).

Kinetička energija je kvadratna funkcija generaliziranih brzina:

$$T = \frac{1}{2}ml^2(\dot{\theta}_1^2 + \dot{\theta}_2^2 + \dot{\theta}_3^2), \quad (6.44)$$

kao u (6.9). Poredajući koeficijente uz  $\theta_i\theta_j$ , izraze za potencijalne i kinetičke energije možemo napisati u matričnoj formi  $U = \mathbf{x}^T \mathbf{V} \mathbf{x}$  i  $T = \mathbf{x}^T \mathbf{T} \mathbf{x}$  [kao u (6.19) odsada umjesto  $\theta$  generalizirane koordinate označavamo sa  $x$ ], gdje je:

$$\mathbf{V} = \frac{1}{2}ml^2 \begin{pmatrix} w_0^2 + n^2 & -n^2 & 0 \\ -n^2 & w_0^2 + 2n^2 & -n^2 \\ 0 & -n^2 & w_0^2 + n^2 \end{pmatrix}$$

i

$$\mathbf{T} = \frac{1}{2}ml^2 \begin{pmatrix} 1 & 0 & 0 \\ 0 & 1 & 0 \\ 0 & 0 & 1 \end{pmatrix},$$

pri emu smo ozna ili:  $w_0^2 = \frac{g}{l}$ ;  $n^2 = \frac{k}{m}$ .

Sad treba rje-iti karakteristi nu jednadflbu:  $\det(V - w^2 T) = 0 \Leftrightarrow$

$$\frac{1}{2} ml^2 \begin{vmatrix} w_0^2 + n^2 - w^2 & -n^2 & 0 \\ -n^2 & w_0^2 + 2n^2 - w^2 & -n^2 \\ 0 & -n^2 & w_0^2 + n^2 - w^2 \end{vmatrix} = 0 \Leftrightarrow$$

$$\Leftrightarrow (w_0^2 + n^2 - w^2) \{w^4 - w^2(2w_0^2 + 3n^2) + w_0^2(w_0^2 + 3n^2)\} = 0.$$

Rje-enja ove jednadflbe, tj. kvadrati svojstvenih frekvencija su:

$$w_1^2 = w_0^2; \quad w_2^2 = w_0^2 + n^2; \quad w_3^2 = w_0^2 + 3n^2.$$

Svojstvene vrijednosti su razli ite pa nema degeneracije.

Na imo sad pripadne svojstvene vektore.

Za prvu svojstvenu vrijednost  $w_1^2 = w_0^2$  jednadflba  $(V - w_1^2 T) x^{(1)} = 0$  glasi:fl

$$\begin{pmatrix} n^2 & -n^2 & 0 \\ -n^2 & 2n^2 & -n^2 \\ 0 & -n^2 & n^2 \end{pmatrix} \begin{pmatrix} x_1 \\ x_2 \\ x_3 \end{pmatrix} = \begin{pmatrix} 0 \\ 0 \\ 0 \end{pmatrix} \Leftrightarrow \begin{pmatrix} n^2 x_1 - n^2 x_2 \\ -n^2 x_1 + 2n^2 x_2 - n^2 x_3 \\ -n^2 x_2 + n^2 x_3 \end{pmatrix} = \begin{pmatrix} 0 \\ 0 \\ 0 \end{pmatrix} \Leftrightarrow \begin{array}{l} x_1 = x_2 \\ x_2 = x_3 \end{array}$$

sa rje-enjem:  $x_1 = x_2 = x_3$ .

Uz uvjet normiranja:  $x^A x = 1$ , slijedi:  $x_1 = \frac{1}{\sqrt{3}}$ , pa je prvi svojstveni vektor:

$$x^{(1)} = \frac{1}{\sqrt{3}} \begin{pmatrix} 1 \\ 1 \\ 1 \end{pmatrix}.$$

Analognim postupkom dobiju se i druga dva svojstvena vektora:

$$x^{(2)} = \frac{1}{\sqrt{2}} \begin{pmatrix} 1 \\ 0 \\ -1 \end{pmatrix}; \quad x^{(3)} = \frac{1}{\sqrt{6}} \begin{pmatrix} 1 \\ -2 \\ 1 \end{pmatrix}.$$

O igledno je da su razli iti svojstveni vektori me usobno ortogonalni, tj:

$$x^{(1) A} x^{(2)} = x^{(1) A} x^{(3)} = x^{(2) A} x^{(3)} = 0.$$

Matrica C iji su stupci svojstveni vektori je:

$$C = \frac{1}{\sqrt{6}} \begin{pmatrix} \sqrt{2} & \sqrt{3} & 1 \\ \sqrt{2} & 0 & -2 \\ \sqrt{2} & -\sqrt{3} & 1 \end{pmatrix}.$$

Prema (6.21) definirajmo nove generalizirane koordinate y:

$$x \equiv \begin{pmatrix} 1 \\ 2 \\ 3 \end{pmatrix} = \frac{1}{l\sqrt{m}} Cy \quad \text{tj.} \quad y = l\sqrt{m} C^T x. \quad (6.45)$$

Kako je prema (6.44) kineti ka energija  $T = \frac{1}{2} ml^2 \ddot{A}$ , da bi dobili  $T = \frac{1}{2} \dot{y}^T \dot{y}$  u novim koordinatama, moramo u definiciju (6.45) uklju iti  $l\sqrt{m}$  faktore.

Iz (6.45) za nove generalizirane koordinate eksplisitno dobijamo:

$$\begin{aligned} y_1 &= l\sqrt{\frac{m}{6}} (\sqrt{2}\theta_1 + \sqrt{2}\theta_2 + \sqrt{2}\theta_3) \\ y_2 &= l\sqrt{\frac{m}{6}} (\sqrt{3}\theta_1 - \sqrt{3}\theta_3) \\ y_3 &= l\sqrt{\frac{m}{6}} (\theta_1 - 2\theta_2 + \theta_3). \end{aligned} \quad (6.46)$$

Stare koordinate izraflene preko novih su:

$$\begin{aligned} \theta_1 &= \frac{1}{l\sqrt{6m}} (\sqrt{2}y_1 + \sqrt{3}y_2 + y_3) \\ \theta_2 &= \frac{1}{l\sqrt{6m}} (\sqrt{2}y_1 - 2y_3) \\ \theta_3 &= \frac{1}{l\sqrt{6m}} (\sqrt{2}y_1 - \sqrt{3}y_2 + y_3). \end{aligned} \quad (6.47)$$

Lako se uvjeriti da izrazi za potencijalnu i kineti ku energiju u novim koordinatama sadrže samo kvadratne lanove:

$$\begin{aligned} V &= \frac{1}{2} [w_o^2 y_1^2 + (w_0^2 + n^2)y_2^2 + (w_0^2 + 3n^2)y_3^2] \\ T &= \frac{1}{2} (\dot{y}_1^2 + \dot{y}_2^2 + \dot{y}_3^2). \end{aligned}$$

Lagrangian malih oscilacija trostrukog njihala izraffen kao funkcija normalih koordinata  $y_k$  je zbroj Lagrangiana tri neovisna linearna harmoni ka oscilatora:

$$L = L_1 + L_2 + L_3 = \sum_{k=1}^3 \left( \frac{1}{2} \dot{y}_k^2 - \frac{1}{2} w_k^2 y_k^2 \right). \quad (6.48)$$

Rješenje jednadžbi gibanja daje zavisnost normalnih modova titranja  $y_k$  od vremena:

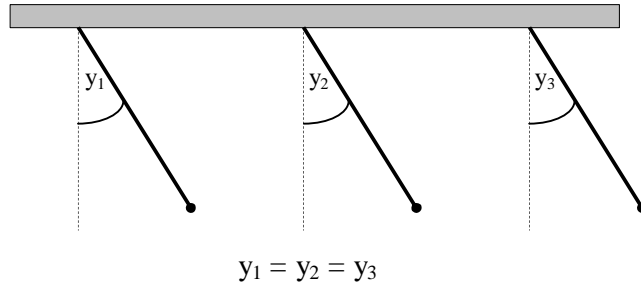
$$y_k(t) = A_k \cos(w_k t + \varphi_k), \quad (6.49)$$

gdje se amplitude  $A_k$  i po etne faze  $\varphi_k$  određuju iz početnih uvjeta.

Proizvoljno gibanje ovog sustava jednoznačno se može prikazati kao linearna kombinacija (superpozicija) tri normalna moda osciliranja sustava  $y_k$  svojstvenim frekvencijama  $w_k$  sa amplitudama  $A_k$  i početnim fazama  $\varphi_k$ . Zavisnost originalnih generaliziranih koordinata  $y_i$  od vremena dobija se uvrštavanjem rješenja (6.49) u (6.47).

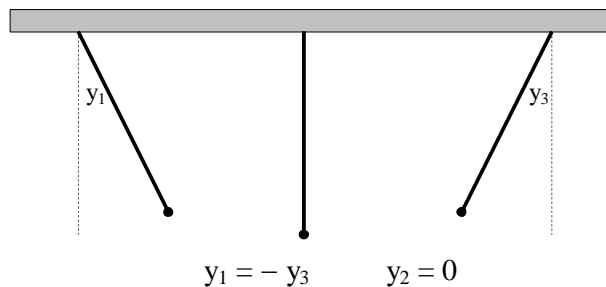
Normalni modovi (načini) osciliranja ovog sustava lako se vizualiziraju iz odgovarajućih svojstvenih vektora:

$$w_1^2 = w_0^2 :$$



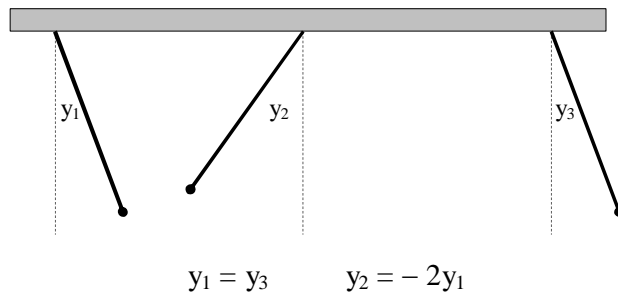
– prvi normalni mod osciliranja znači titranje sva tri njihala unisono, tj. sa istom amplitudom i fazom (kutovi malih oscilacija na slici su preveliki radi preglednosti).

$$w_2^2 = w_0^2 + n^2 :$$



– srednje njihalo miruje, a dva krajnja osciliraju sa istim amplitudama i suprotnim fazama.

$$w_3^2 = w_0^2 + 3n^2 :$$



– u trećem normalnom modu krajnja njihala titraju unisono, a srednje s dvostruko većom amplitudom i suprotnom fazom.

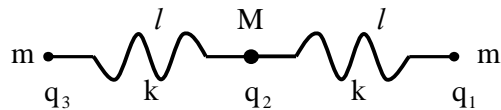
Prva dva normalna moda osciliranja sustava su o ekivana, dok treći mod uopšte nije oigledan.

Ovaj primjer odlično ilustrira sam metod traženja malih oscilacija oko poloflaja stabilne ravnoteže, ali je sam sustav artificijelno tri njihala spojena dvema oprugama!

Pogledajmo zato sada realnije fizikalni sustave.

## 6.5 Titranje linearne troatomske molekule

Razmotrimo male oscilacije simetri ne linearne troatomske molekule kao što je ugljik-dioksid  $\text{CO}_2$ . Molekulu ima tri atoma na istoj ravnoj liniji. Ovakav sustav reprezentiramo s tri estice na pravcu, dvije s masama  $m$ , a treću u sredini, s masom  $M$ . U poloflaju stabilne ravnotežne udaljenosti između susjednih estica je  $l$ , kao na Slici 39.



Slika 39. Model simetrije linearne troatomske molekule

Stvarni, komplikirani međuatomski potencijal aproksimiratiemo sa dvije idealne opruge konstante  $k$ . Jednostavnosti radi, prvo ćemo razmatrati jedino longitudinalne oscilacije o titranje duž linije molekule. Koordinate estica označavamo  $q_i$ , ( $i = 1, 2, 3$ ). Potencijalna energija sustava je onda:

$$U = \frac{k}{2}(q_2 - q_1 - l)^2 + \frac{k}{2}(q_3 - q_2 - l)^2.$$

Uvedimo nove koordinate koje označavaju odstupanja estica od poloflaja stabilne ravnoteže:

$$x_i = q_i - q_{i0},$$

gdje je:  $q_{20} - q_{10} = q_{30} - q_{20} = l$  kao na Slici 39., pa izraz za potencijalnu energiju postaje:

$$U = \frac{k}{2}(x_2 \circ x_1)^2 + \frac{k}{2}(x_3 \circ x_2)^2. \quad (6.50)$$

Kinetička energija sustava je:

$$T = \frac{m}{2}(\dot{x}_1^2 + \dot{x}_3^2) + \frac{M}{2}\dot{x}_2^2. \quad (6.51)$$

Matrice potencijalne i kinetičke energije su:

$$V = \begin{pmatrix} k & -k & 0 \\ -k & 2k & -k \\ 0 & -k & k \end{pmatrix} \quad i \quad T = \begin{pmatrix} m & 0 & 0 \\ 0 & M & 0 \\ 0 & 0 & m \end{pmatrix}. \quad (6.52)$$

Karakteristična jednadžba je:

$$|V \circ w^2 T| = \begin{vmatrix} k - w^2 m & -k & 0 \\ -k & 2k - w^2 M & -k \\ 0 & -k & k - w^2 m \end{vmatrix} = 0,$$

-to je kubna jednadžba po  $w^2$ :

$$w^2 (k \circ w^2 m) \{k(m+M) \circ w^2 m\} = 0,$$

sa rješenjima:

$$w_1 = 0; \quad w_2 = \sqrt{\frac{k}{m}}; \quad w_3 = \sqrt{\frac{k}{m} \left(1 + \frac{2m}{M}\right)}. \quad (6.53)$$

Prva svojstvena frekvencija  $w_1 = 0$  može na prvi pogled izgledati iznenađujuća.

Zaista, ovo rješenje nije oscilatorno gibanje jer je pripadna jednadžba gibanja:  $\ddot{x}_1 = 0$ , te ono predstavlja jednoliku translaciju cijelog sustava. Ovakvo rješenje se javlja jer je molekulu moguće translirati duž njene osi bez ikakve promjene potencijalne energije. Pretpostavili smo da sustav ima tri stupnja slobode za vibracijsko gibanje duž osi (uzeli smo tri generalizirane koordinate  $x_i$ ), dok je, u stvarnosti, jedan od od njih stupanj slobode gibanja molekule kao krutog tijela.

Najprije se problem malih oscilacija oko poloflaja stabilne ravnoteže reformilira tako da se odmah eliminiraju nulti modovi koji ne predstavljaju titranje oko poloflaja stabilne ravnoteže nego translacijsko ili rotacijsko gibanje cijelog sustava kao krutog tijela. Stupnjevi slobode gibanja krutog tijela mogu se eliminirati odmah na početku zahtjevom da je ukupni impuls molekule nula (tj. zahtjevom da centar mase sustava miruje) za translacijske, te zahtjevom da je ukupni angularni moment molekule nula za rotacijske stupnjeve slobode gibanja.

Pogledajmo druge dvije svojstvene frekvencije.

Frekvencija  $w_2$  je svojstvena frekvencija osciliranja mase  $m$  na opruzi konstante  $k$ , pa očekujemo da u titranju sudjeluje samo krajnji atomi (sa suprotnim fazama), dok srednjem atomu miruje. Jedino u trećem normalnom modu sudjeluje i srednjem atomu.

Potvrđimo ovo trafljenjem svojstvenih vektora koji su određeni jednadžbama:

$$\begin{aligned} (k \circ w_j^2 m) x_{1j} \circ k x_{2j} &= 0 \\ k x_{1j} + (2k \circ w_j^2 M) x_{2j} \circ k x_{3j} &= 0 \\ k x_{2j} + (k \circ w_j^2 m) x_{3j} &= 0, \end{aligned} \quad (6.54)$$

zajedno s uvjetom normiranja:

$$m(x_{1j}^2 + x_{3j}^2) + M x_{2j}^2 = 1. \quad (6.55)$$

Za  $w_1 = 0$  iz prve i treće jednadžbe (6.54) slijedi da su sve tri komponente jednake:  $x_{11} = x_{21} = x_{31}$ , -to iz uvjeta normiranja daje:

$$x_{11} = x_{21} = x_{31} = \frac{1}{\sqrt{2m+M}},$$

tj. sva tri atoma imaju istu elongaciju kao -to se i očekuje kod jednolike translacije.

Za drugu svojstvenu vrijednost faktori ( $k \approx w_2^2 m$ ) i-ezavaju, pa prva i treća jednadžba (6.54) pokazuju da je  $x_{22} = 0$ , a druga da je  $x_{32} = -x_{12}$ , te iz uvjeta normiranja dobijamo:

$$x_{12} = \frac{1}{\sqrt{2m}}; \quad x_{22} = 0; \quad x_{32} = -\frac{1}{\sqrt{2m}}.$$

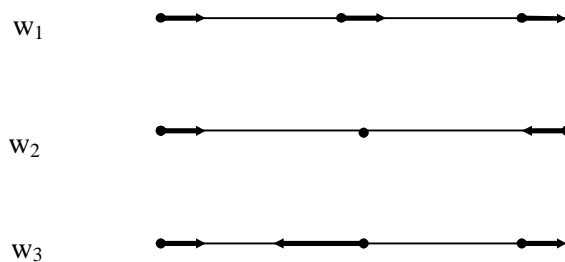
Prema očekivanju vanjski atomi titraju u fazi sa istom amplitudom, a srednji atom miruje.

Konačno, za  $w_3$ , iz prve i treće jednadžbe (6.54) dobijamo  $x_{13} = x_{33}$ , pa je iz uvjeta normiranja:

$$x_{13} = \frac{1}{\sqrt{2m\left(1 + \frac{2m}{M}\right)}}; \quad x_{23} = \frac{-1}{\sqrt{M\left(1 + \frac{M}{2m}\right)}}; \quad x_{33} = \frac{1}{\sqrt{2m\left(1 + \frac{2m}{M}\right)}}.$$

Znači, dva vanjska atoma titraju s istom amplitudom i fazom, a srednji titra u suprotnoj fazi sa drugim ijom amplitudom.

Sva tri normalna moda longitudinalnih oscilacija linearne simetrične triatomske molekule prikazana su na Slici 40.



Slika 40. Longitudinalno titranje linearne simetrične triatomske molekule

Očigledno je da prvi normalni mod ne pretstavlja titranje molekule već njenu translaciju bez ikakve promjene međuatomskih rastojanja.

Bilo koje longitudinalno titranje molekule koje ne uključuje translaciju molekule kao krutog tijela je linearna kombinacija normalnih modova s frekvencijama  $w_2$  i  $w_3$ .

Ilustracije radi, rješimo isti problem eliminirajući multi mod odmah na početku.

Zahtijev da centar mase molekule miruje, tj. da je  $q^{CM} = q_0^{CM}$ , daje:

$$m(x_1 + x_3) + Mx_2 = 0 \quad \Rightarrow \quad x_2 = -\frac{m}{M}(x_1 + x_3) \quad (6.56)$$

i mogu uva da iz Lagrangiana eliminiramo jednu koordinatu, recimo  $x_2$ . Iz (6.50) i (6.51) za kinetičku i potencijalnu energiju imamo onda u matričnoj notaciji:

$$T = \frac{m}{2} (\dot{x}_1 \dot{x}_3) \begin{pmatrix} 1+a & a \\ a & 1+a \end{pmatrix} \begin{pmatrix} \dot{x}_1 \\ \dot{x}_3 \end{pmatrix} \quad (6.57)$$

i

$$U = \frac{m}{2} w_0^2 (x_1 x_3) \begin{pmatrix} 1+b & b \\ b & 1+b \end{pmatrix} \begin{pmatrix} x_1 \\ x_3 \end{pmatrix}, \quad (6.58)$$

gdje je:

$$a \equiv \frac{m}{M}; \quad b \equiv 2a(1+a); \quad w_0^2 \equiv \frac{k}{m}.$$

### Dobijamo problem s dva stupnja slobode.

Vidimo da ni kinetička ni potencijalna energija nisu dijagonalne matrice.

Lako se nalaze rješenja karakteristične jednadžbe  $\det(V \circ w^2 T) = 0$ :

$$w_1^2 = w_0^2 = \frac{k}{m} \quad i \quad w_2^2 = \frac{1+2b}{1+2a} w_0^2 = (1 + \frac{2m}{M}) \frac{k}{m}. \quad (6.59)$$

Kako je ovo jednostavan problem s dva stupnja slobode gibanja, a pouzdati već poznati rješenjem problema prikazanim na Slici 40., umjesto da rješavamo cijeli svojstveni problem možemo odmah pogoditi normalne koordinate  $x_s$  i  $x_a$ :

$$x_s = x_1 + x_3 \quad i \quad x_a = x_1 - x_3. \quad (6.60)$$

Izrađene pomoći u simetrične i antisimetrične kombinacije koordinata, originalne varijable su:

$$x_1 = \frac{1}{2}(x_s + x_a) \quad i \quad x_3 = \frac{1}{2}(x_s - x_a),$$

-to zamjenom direktno u (6.50) i (6.51) za kinetičku i potencijalnu energiju daje:

$$T = \frac{m}{4} \left( 1 + \frac{2m}{M} \right) \dot{x}_s^2 + \frac{m}{4} \dot{x}_a^2 \quad (6.61)$$

$$U = \frac{m}{4} \left( 1 + \frac{2m}{M} \right)^2 \frac{k}{m} x_s^2 + \frac{m}{4} \frac{k}{m} x_a^2. \quad (6.62)$$

Vidimo da su i kinetička i potencijalna energija dijagonalne u novim varijablama (ne sadrže mješavine lanove  $x_s x_a$ ), što znači da smo pravilno odabrali normalne koordinate  $x_s$  i  $x_a$ .

Prema (6.61) i (6.62), Lagrangian longitudinalnih malih oscilacija simetrične troatomske molekule može se napisati kao zbroj:

$$L = \frac{m}{4} L_s + \frac{m}{4} \left( 1 + \frac{2m}{M} \right) L_a, \quad (6.63)$$

gdje su:

$$L_a = \dot{x}_a^2 - w_1^2 x_a^2 = \dot{x}_a^2 - \frac{k}{m} x_a^2 \quad (6.64)$$

$$L_s = \dot{x}_s^2 - w_2^2 x_s^2 = \dot{x}_s^2 - \left( 1 + \frac{2m}{M} \right) \frac{k}{m} x_s^2, \quad (6.65)$$

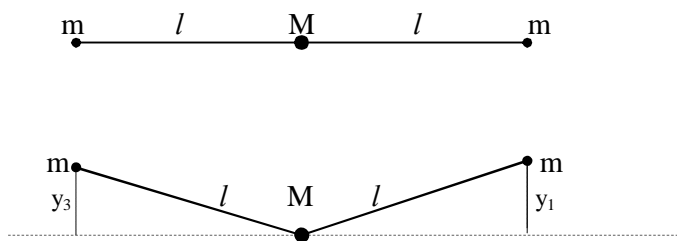
Lagrangiani dva neovisna linearna harmonika oscilatora svojstvenih frekvencija:

$$w_a^2 = w_1^2 = w_0^2 = \frac{k}{m} \quad \text{i} \quad w_s^2 = w_2^2 = \left( 1 + \frac{2m}{M} \right) \frac{k}{m},$$

koje su točno jednake frekvencijama  $w_1$  i  $w_2$  u prijačnoj notaciji. Konstante koje mnogefle  $L_a$  i  $L_s$  u (6.63) nemaju nikakvo fizikalno značenje jer one igledno ne utječu na jednadžbe gibanja.

Razmatrali smo samo titrage duž osi molekule. Jasno je da uz ove longitudinalne postoje i transverzalni stupnjevi slobode titranja (okomiti na os molekule).

Kompletnosti radi, razmotrimo i transverzalna titranja ove molekule. U prvoj aproksimaciji, potencijalna energija malih transverzalnih oscilacija zavisi samo od kuta mMm (tj. njegovog odstupanja od  $180^\circ$ ), jer među atomskim silama u molekuli smatramo centralnim i zavisnim samo o udaljenosti atoma. Minimalna promjena potencijalne energije molekule pri transverzalnim pomacima će nastati ako rastojanje atoma mM i Mm ostane nepromijenjeno ( $l$  (sila između tih atoma se ne mijenja, a mijenja se samo, u pravilu slabija sila između dva mm atoma) kao na Slici 41.



Slika 41. Transverzalne male oscilacije troatomske molekule

Prvo treba eliminirati translaciju i rotaciju molekule kao celine. Zahtijev da pri transverzalnim titrajima centar mase ostaje nepomi an

$$m(y_1 + y_3) + My_2 = 0, \quad (6.66)$$

eliminira translaciju molekule dufl y-osi, te omogu uje eliminaciju jedne koordinate, recimo  $y_2$ . Za eliminiranje rotacije molekule zahtijevamo da je angularni moment molekule oko osi kroz M nula, -to daje:

$$my_1 \circ my_3 = 0, \quad (6.67)$$

i zna i da razmatramo samo simetri ne tranzverzalne deformacije molekule za koje je  $y_1 = y_3$  kao na Slici 41.

Najjednostavniji na in da izra unamo potencijalnu energiju je da zamislimo da se sila izme u dva mm atoma može aproksimirati idealnom oprugom konstante  $k'$  i ravnoteftne duljine  $2l$ . Kosinusni teorem za trokut sa Slike 41. za kvadrat kontrakcija opruge uslijed transverzalnih pomaka daje:

$$(\Delta l)^2 = 2l^2(1 + \cos\alpha) = 2l^2(1 \circ \cos\delta),$$

gdje je  $\delta = \pi \circ \alpha$  odstupanje kuta mMm od  $\pi$ . Za malo  $\delta$  u prvoj aproksimaciji je:

$$U = \frac{1}{2}k'(\Delta l)^2 = \frac{1}{2}k'l^2\delta^2. \quad (6.68)$$

Prema Slici 41. za malo  $\delta$  je i:

$$\delta = \alpha_1 + \alpha_3 \approx 2\tan\alpha = \frac{1}{l}[(y_1 - y_2) + (y_3 - y_2)]. \quad (6.69)$$

Iz (6.66), (6.67) i (6.69) je:

$$y_2 = -\frac{ml}{2m+M}\delta; \quad y_1 = y_3 = \frac{Ml}{2(2m+M)}\delta,$$

-to dozvoljava da se cijeli Lagrangian transverzalnih malih oscilacija linearne troatomske molekule izrazi pomo u samo jedne generalizirane koordinate  $\delta$ , tj.

$$L = \frac{1}{2}m(\dot{y}_1^2 + \dot{y}_3^2) + \frac{1}{2}M\dot{y}_2^2 - \frac{1}{2}k'l^2\delta^2 = \frac{mMl^2}{4(2m+M)}[\ddot{\delta}^2 - \omega^2\delta^2]. \quad (6.70)$$

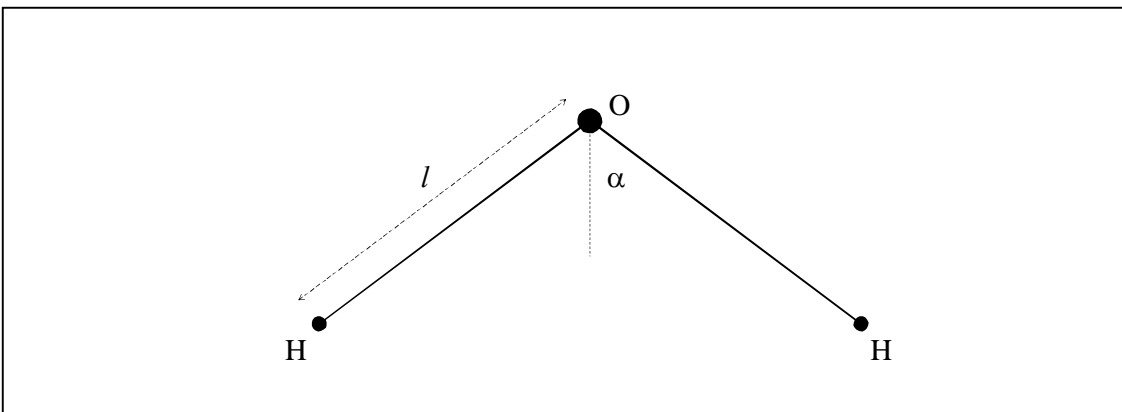
Zadnji izraz jasno pokazuje da je kvadrat svojstvene frekvencije transverzalnih malih oscilacija linearne troatomske molekule:

$$\omega^2 = \frac{2k'(2m+M)}{mM}. \quad (6.71)$$

Linearna troatomska molekula ima tri stupnja slobode titranja  $\circ$  dva za longitudinalne i jedan za transverzalne oscilacije sa svojstvenim frekvencijama odre enim u (6.59) i (6.71).

## 6.6 Titranje molekule vode

Molekula vode  $\text{H}_2\text{O}$  je sustav od tri interagujuće estice koje zbog kemijskih veza tvore stabilni trokut u ravnini kao na Slici 42, na kojoj radi jednostavnosti, dimenzije atoma nisu prikazane u stvarnom razmjeru.



Slika 42. Atomska konfiguracija molekule vode

Ravnotečna OH udaljenost je  $l = 0,958 \times 10^{-10} \text{ m}$ , a kut HOH je  $2\alpha = 104,5^\circ$ . Ako apsorpcija elektromagnetske radijacije (fotona) rezultira djelovanjem očuvanih sila (sila koje ne naručavaju međatomska vezanja) na  $\text{H}_2\text{O}$  molekulu, dođe do vibracija atoma oko poloflaja stabilne konfiguracije u molekuli. Vibracije molekule u prvoj aproksimaciji mogu se analizirati metodom malih oscilacija.

Odredimo prvo broj stupnjeva slobode molekularnih titraja. Poloflaj sustava od tri estice opisan je s devet koordinata. Ali, kao i svako kruto tijelo,  $\text{H}_2\text{O}$  molekula ima pet stupnjeva slobode za gibanje kao cjelina od tri za translaciono i tri za rotaciono gibanje. Znači, postoje svega tri stupnja slobode vibracije molekule vode. Isti zaključak se dobije razmatranjem veza (constraints) koje ograničavaju gibanje molekule. Molekula je planarna pa za ravninu gibanja možemo odabrati xy-ravninu, tj. za svaku esticu važe:  $z_i = 0$ , ( $i = 1, 2, 3$ ). Gibanje molekule u xy-ravnini ograničava još tri veze: dvije eliminiraju translaciju zahtijevom da centar mase molekule miruje, tj.  $x_{cm} = y_{cm} = 0$ , a zadnja, treća veza eliminira rotaciju u xy-ravnini zahtijevom da je angулarni moment molekule nula. Među devet koordinata estica postoji pet veza koje eliminiraju gibanje molekule vode bez ikakve deformacije, što znači da postoje tri stupnja slobode vibracionog gibanja.

Pitanje je koje tri generalizirane koordinate odabratiti za opis titranja  $\text{H}_2\text{O}$  molekule? Pametan odabir generaliziranih koordinata može značiti pojednostaviti rješavanje problema. Pet koordinata estica (atoma) u ravnini:  $(x_i, y_i)$ , ( $i = 1, 2, 3$ ) nije nisu najbolji izbor jer nisu linearno nezavisne zbog veza:

$$\begin{aligned} x_{cm} = 0 &\Leftrightarrow m(x_1 + x_3) + Mx_2 = 0, \\ y_{cm} = 0 &\Leftrightarrow m(y_1 + y_3) + My_2 = 0, \\ \vec{L} = \vec{0} &\Leftrightarrow (x_1 + x_3)\cos\alpha + (y_1 + y_3)\sin\alpha = 0, \end{aligned} \quad (6.72)$$

gdje je  $m$  masa atoma vodika, a  $M$  masa atoma kisika.

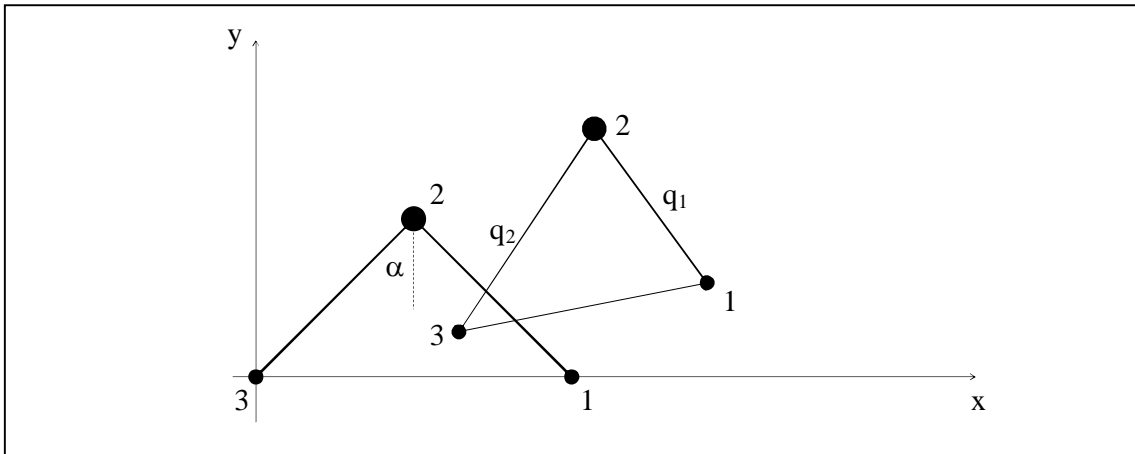
Prona imo prvo koordinate koje su pogodne za opis potencijalne energije. U aproksima iji malih oscilacija kemijska veza O i H atoma zamjenjuje se harmoni kom silom koja izaziva titranja dufl OH pravca ija je potencijalna energija  $\frac{1}{2}kq_j^2$ , gdje  $j = 1,2$  ozna ava prvi i drugi H atom. Konstanta  $k$  mjeri silu koja mijenja me usobnu udaljenost O i H atoma  $l$ . Sila me u dva H atoma aproksimira se harmoni kom silom koja izaziva oscilacije kuta  $\alpha$  ija je potencijalna energija  $\frac{1}{2}k'l^2$  kao u slu aju transverzalnih titraja linearne troatomske molekule. Potencijalna energija titraja molekule vode izraflena pomo u generaliziriranih koordinata  $\{q_1, q_2, \delta\}$  je onda:

$$U = \frac{1}{2}kq_1^2 + \frac{1}{2}kq_2^2 + \frac{1}{2}k'l^2\delta^2. \quad (6.73)$$

Lako je prema Slici 43. vidjeti da su pomaci dufl OH pravaca tj. koordinate  $q_j$ , izraflene pomo u Kartezijevih koordinata estica:

$$q_1 = (x_1 - x_2)\sin\alpha + (y_2 - y_1)\cos\alpha; \quad q_2 = (x_2 - x_3)\sin\alpha + (y_2 - y_3)\cos\alpha. \quad (6.74)$$

Koordinate  $\{q_1, q_2, \delta\}$  su najpogodnije za izraflavanje potencijalne energije koja je zbroj samo dijagonalnih lanova.



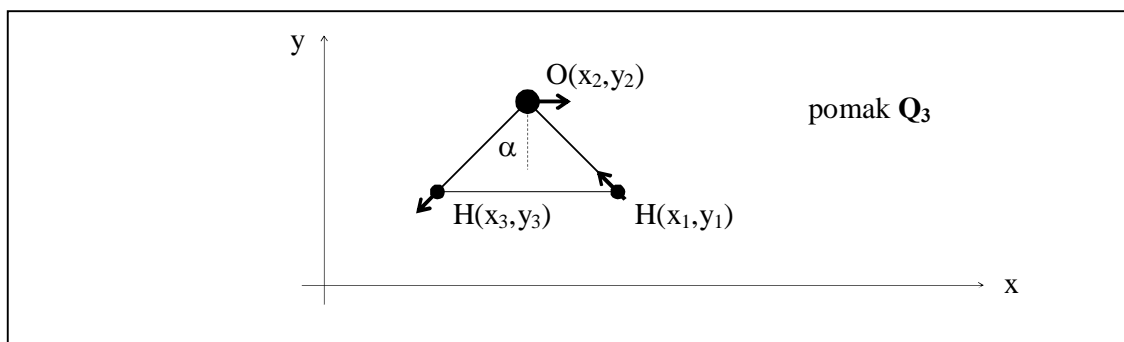
Slika 43. Op i pomak  $H_2O$  molekule u xy-ravnini

Ali, probamo li koordinate  $\{q_1, q_2, \delta\}$  iskoristiti za ra unanje kineti ke energije molekule  $T = \sum_{i=1}^3 \frac{1}{2}m_i(\dot{x}_i^2 + \dot{y}_i^2)$  dobitemo vrlo komplikiran izraz, -to zna i da sigurno postoji pametniji izbor generaliziranih koordinata.

U teoriji grupa se pokazuje da e, kao i u primjeru linearne troatomske molekule, problem biti jednostavniji za rjeavanje u onim koordinatama koje maksimalno o uvavaju inherentnu simetriju  $H_2O$  molekule. Molekula vode ima jednu os simetrije i dvije ravnine simetrije.

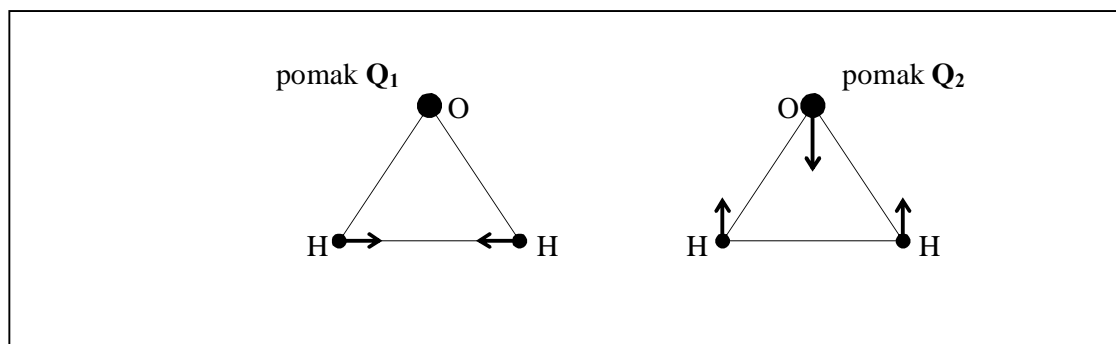
Ali, samo su dvije nezavisne operacije simetrije, recimo, rotacije za kut koji je multiplet od  $180^\circ$  oko osi simetrije koja je pravac koji polovi kut HOH, kao i refleksije u odnosu na ravninu molekule. Obje te operacije simetrije samo zamjenjuju jedan atom vodika drugim i o igledno ostavljaju molekulu vode nepromjenjenom.

Probajmo pronaći opće pomake H<sub>2</sub>O molekule u skladu sa svojstvima simetrije koji nisu ni translacija, ni rotacija molekule kao cjeline. Lako se vidi da postoji samo jedan onesimetrični pomak prikazan na Slici 44. koji zadovoljava sve uvjete što nije invarijantan pri operacijama simetrije i pomaci H atoma duž pravaca OH sprečavaju rotaciju molekule kao cjeline oko osi kroz kisikov atom. Translacijske molekule nema jer je zbroj y-komponenti pomaka H atoma nula, a pozitivni x-pomak O atoma poništava zbroj x-komponenti pomaka H atoma. Taj pomak estica odaberimo kao generaliziranu koordinatu Q<sub>3</sub>.



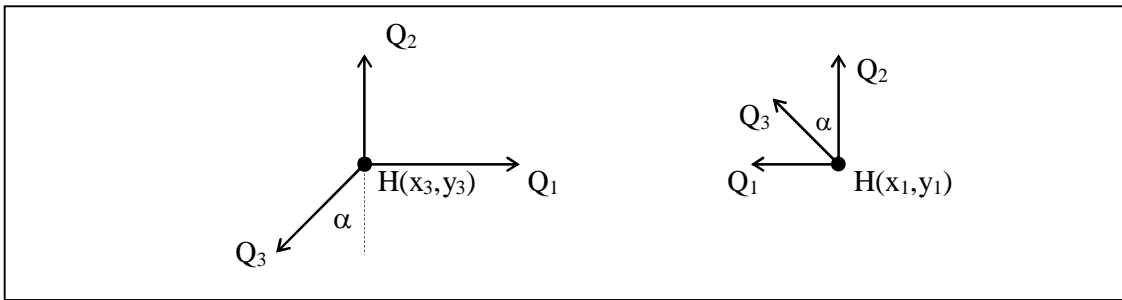
Slika 44. Generalizirana koordinata Q<sub>3</sub>

Postoje i dva linearne nezavisne simetrije na pomaka prikazana na Slici 45. koje odaberimo za generalizirane koordinate Q<sub>1</sub> i Q<sub>2</sub>. Q<sub>1</sub> i Q<sub>2</sub> ostaju nepromjenjeni pod djelovanjem operacija simetrije molekule vode.



Slika 45. Simetrije generalizirane koordinate Q<sub>1</sub> i Q<sub>2</sub>

Veza Kartezijevih koordinata estica i novih generaliziranih koordinata lako se nalazi sa Slici 46. koja prikazuje individualne pomake atoma vodika za generalizirane koordinate Q<sub>i</sub> (i = 1,2,3):



Slika 46. Pomaci atoma vodika za generalizirane koordinate  $Q_i$

$$x_1 = -Q_1 \text{ or } Q_3 \sin\alpha; \quad y_1 = Q_2 + Q_3 \cos\alpha; \quad (6.75)$$

$$x_3 = Q_1 \text{ or } Q_3 \sin\alpha; \quad y_3 = Q_2 - Q_3 \cos\alpha. \quad (6.76)$$

Uvjet (6.72) eliminiranja translacije molekule prema (6.75) i (6.76) za koordinate atoma kisika daje:

$$x_2 = -\frac{m}{M}(x_1 + x_3) = 2\frac{m}{M}Q_3 \sin\alpha; \quad y_2 = -\frac{m}{M}(y_1 + y_3) = -2\frac{m}{M}Q_2; \quad (6.77)$$

Sad se kineti ka energiju  $T = \sum_{i=1}^3 \frac{1}{2} m_i (\dot{x}_i^2 + \dot{y}_i^2)$  molekule vode može izraziti u novim generaliziranim koordinatama. Deriviranjem po vremenu izraza (6.75) – (6.77) za kineti ku energiju molekule dobije se:

$$T = \frac{1}{2} \sum_{i,j=1}^3 T_{ij} \dot{Q}_i \dot{Q}_j, \quad (6.78)$$

gdje su jedino tri dijagonalna koeficijenta razli ita od nule:

$$T_{11} = 2m, \quad T_{22} = 2am, \quad T_{33} = 2bm, \quad (6.79)$$

a nove konstante su:

$$a \equiv 1 + 2\frac{m}{M} \quad \text{and} \quad b \equiv 1 + 2\frac{m}{M} \sin^2\alpha. \quad (6.80)$$

Treba izraziti i potencijalnu energiju molekule vode (6.73) u novim generaliziranim koordinatama. Prema (6.74) i (6.75)–(6.77) je:

$$q_1 = -Q_1 \sin\alpha - aQ_2 \cos\alpha - bQ_3; \quad q_2 = -Q_1 \sin\alpha - aQ_2 \cos\alpha + bQ_3. \quad (6.81)$$

Da se na e veza koordinate  $\delta$  i novih generaliziranih koordinata treba razmotriti promjenu kuta  $\alpha$  molekule pri simetri nim pomacima  $Q_1$  i  $Q_2$ . U aproksimaciji malih oscilacija kut  $\alpha$  ostaje nepromjenjen pri infinitezimalnom pomaku  $Q_3$  ó preciznije, promjena potencijalne energije srazmerna je s  $Q_3^4$ .

Ako se pri infinitezimalnom pomaku  $Q_1$  kut  $\alpha$  promijeni za infinitezimalni kut  $\frac{1}{2}$ , koriste i:

$\operatorname{ctg}\alpha = \frac{h}{d}$ , gdje je visina molekule  $h = l \cos\alpha$ , a  $d = l \sin\alpha$  polovica baze molekule, dobija se:

$$\operatorname{ctg}\left(\alpha + \frac{1}{2}\right) - \operatorname{ctg}\alpha = \frac{h}{d - Q_1} - \frac{h}{d} \approx \frac{hQ_1}{d^2} = \frac{Q_1 \cos\alpha}{l \sin^2\alpha},$$

pa je razvojem u Taylorov red:

$$\operatorname{ctg}\left(\alpha + \frac{1}{2}\right) \approx \operatorname{ctg}\alpha - \frac{1}{2\sin^2\alpha}, \text{ te:}$$

$$_1 = -\frac{2}{l} Q_1 \cos\alpha. \quad (6.82)$$

Za infinitezimalni pomak  $Q_2$  je:

$$\operatorname{ctg}\left(\alpha + \frac{2}{2}\right) - \operatorname{ctg}\alpha = \frac{h - Q_2 - 2\frac{m}{M}Q_2}{d} - \frac{h}{d} \approx -\frac{aQ_2}{l \sin\alpha},$$

-to na isti način razvojem u red daje:

$$_2 = \frac{2}{l} a Q_2 \sin\alpha. \quad (6.83)$$

Prema (6.82) i (6.83) je konačno:

$$= _1 + _2 = \frac{2}{l} (-Q_1 \cos\alpha + aQ_2 \sin\alpha). \quad (6.84)$$

Uvrštanje (6.81) i (6.84) u (6.73) za potencijalnu energiju molekule vode u generaliziranim koordinatama  $Q_i$  dobija se:

$$U = \frac{1}{2} \sum_{i,j=1}^3 V_{ij} Q_i Q_j, \quad (6.85)$$

gdje su jedini koeficijenti različiti od nule:

$$V_{11} = 2k \sin^2\alpha + 4k' \cos^2\alpha; \quad V_{22} = 2a^2(k \cos^2\alpha + 2k' \sin^2\alpha); \quad V_{33} = 2b^2k, \\ V_{12} = V_{21} = 2a(k - 2k') \sin\alpha \cos\alpha. \quad (6.86)$$

Jasno je da su generalizirane koordinate  $Q_i$  dobro odabrane otkinji ka energija sadrži samo dijagonalne članove, a u potencijalnoj energiji jedini nedijagonalni elementi različiti od nule su  $V_{12} = V_{21}$ .

Svojstvene frekvencije određuju se iz karakteristike jednadžbe (6.18) koja je za molekulu vode:

$$\begin{vmatrix} V_{11} - w^2 T_{11} & V_{12} & 0 \\ V_{21} & V_{22} - w^2 T_{22} & 0 \\ 0 & 0 & V_{33} - w^2 T_{33} \end{vmatrix} = 0, \quad (6.87)$$

i odmah daje jednu svojstvenu frekvenciju:

$$w_3^2 = \frac{V_{33}}{T_{33}} = b \frac{k}{m} = \left( 1 + 2 \frac{m}{M} \sin^2 \right) \frac{k}{m}. \quad (6.88)$$

Druge dvije svojstvene frekvencije su rješenja jednadžbe:

$$w^4 - w^2 \frac{T_{11}V_{22} + T_{22}V_{11}}{T_{11}T_{22}} + \frac{V_{11}V_{22} - V_{12}^2}{T_{11}T_{22}} = 0, \quad (6.89)$$

gdje je:

$$\frac{T_{11}V_{22} + T_{22}V_{11}}{T_{11}T_{22}} = \frac{ak + 2k'}{m} \cos^2 + \frac{k + 2ak'}{m} \sin^2, \quad (6.90)$$

i

$$\frac{V_{11}V_{22} - V_{12}^2}{T_{11}T_{22}} = 2a \frac{kk'}{m^2}. \quad (6.90')$$

Za numeričko rješavanje zgodnije je rješenja jednadžbe (6.89) kombinirati u par jednadžbi:

$$w_1^2 + w_2^2 = \frac{T_{11}V_{22} + T_{22}V_{11}}{T_{11}T_{22}} = \frac{k}{m} \left( 1 + \frac{2m}{M} \cos^2 \right) + \frac{2k'}{m} \left( 1 + \frac{2m}{M} \sin^2 \right), \quad (6.91)$$

$$w_1^2 w_2^2 = \frac{V_{11}V_{22} - V_{12}^2}{T_{11}T_{22}} = 2 \left( 1 + 2 \frac{m}{M} \right) \frac{kk'}{m^2}, \quad (6.92)$$

u kojima su, uz izraz (6.88), svojstvene frekvencije titraja izražene preko parametara molekule vode  $m$ ,  $M$ ,  $k'$  i  $\alpha$ .

U eksperimentima se puno lakođe mijere frekvencije vibracija i kut  $\alpha$ , pa se konstante harmoničkih sila određuju iz (6.88) i (6.92). Relacija (6.91) se onda koristi za provjeru konzistentnosti i ocjenu valjanosti aproksimacije.

Za molekulu vode je eksperimentalno izmjereno:

$$\frac{w_1}{2 c} = 3652 \text{ cm}^{-1} \quad \frac{w_2}{2 c} = 1595 \text{ cm}^{-1} \quad \frac{w_3}{2 c} = 3756 \text{ cm}^{-1}, \quad (6.93)$$

gdje je brzina svjetlosti u vakuumu  $c = 3 \times 10^8 \text{ ms}^{-1}$ .

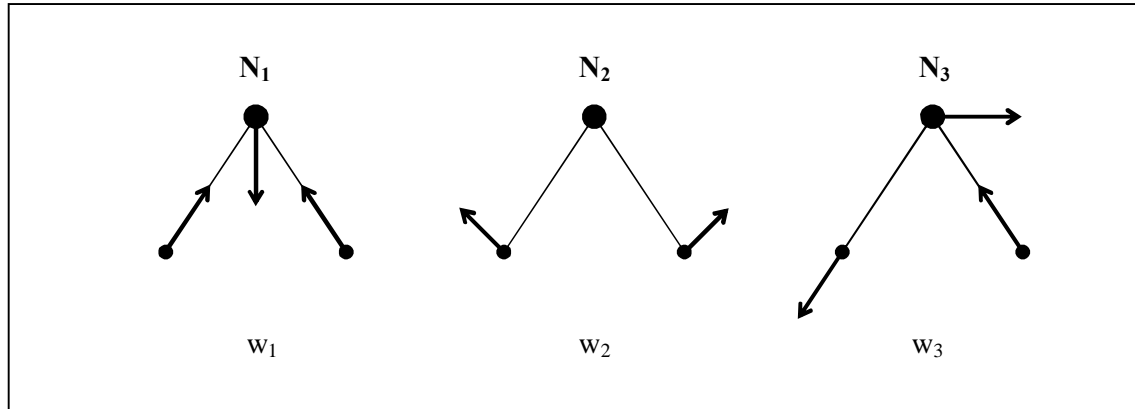
Numeri ke vrijednosti svojstvenih frekvencija (6.93) i kuta  $2\alpha = 104,5^\circ$  uz vrijednosti atomskih masa  $m = 1,00797\text{u}$  i  $M = 15,9994\text{u}$  ( $u = 1,660539 \times 10^{-27} \text{ Kg}$ ) daju konstante sila:

$$k = 775 \frac{\text{N}}{\text{m}}; \quad \frac{k'}{l^2} = 68,7 \frac{\text{N}}{\text{m}}.$$

Kako je efektivna konstanta  $\frac{k'}{l^2}$  za red veli ine manja od  $k$ , kemijske veze u molekuli vode se puno lak-e savijaju (mijenja kut  $\alpha$ ) nego isteflu (mijenja udaljenost  $l$ ). Provjera uvr-tavanjem numeri kih vrijednosti u (6.91) pokazuje da se lijeva i desna strana razlikuju svega za oko 2%, -to se tuma i kao prisutnost make komponente anharmoni ke sile me u atomima.

Normalne koordinate moflemo na i na uobi ajeni na in rje-avaju i karakteristi nu jednadflbu (6.87) i nalaze i svojstvene vektore. Kako kineti ka (6.78) i potencijalna energija (6.86) sadrfle samo kvadratne lanove po  $Q_3$ , jasno je da koordinata  $Q_3 \equiv N_3$  jeste jedan normalni mod titranja molekule vode sa svojstvenom frekvencijom (6.88).

Preostala dva normalna moda osciliranja  $N_1$  i  $N_2$  su linearne kombinacije simetri nih koordinata  $Q_1$  i  $Q_2$ . Dijagonalizacijom matrice potencijalne energije (6.86) za prva dva stupnja slobode mofle se pokazati da normalni mod  $N_1$  predstavlju titranje atoma vodika uzdufl OH veza, dok  $N_2$  predstavlja titraje okomite na pravce OH veza, kao na Slici 47.



Slika 47. Normalni modovi titranja molekule vode  
(pomaci atoma su preuveli ani radi jasno e)

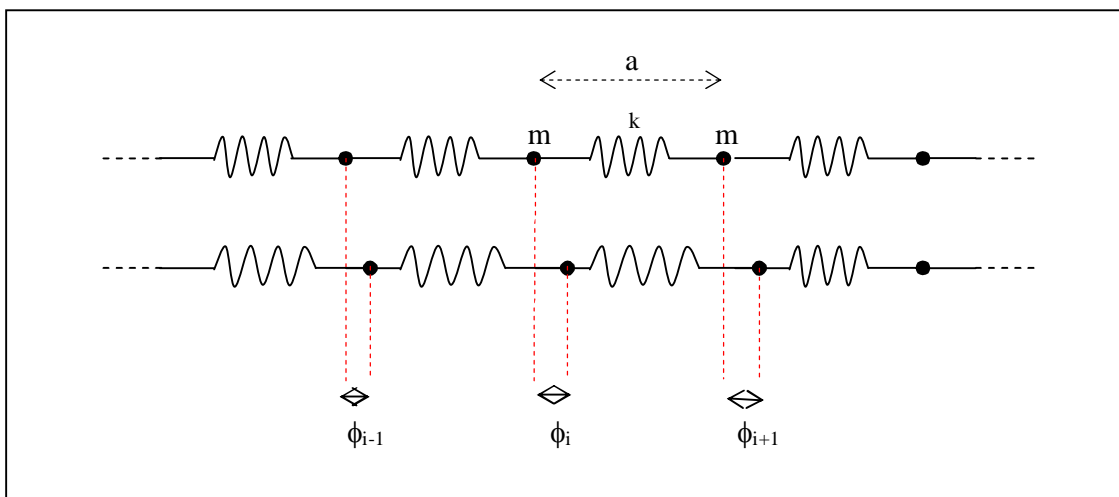
## 7. Mehanika kontinuuma

Do sada smo razmatrali gibanje sustava sa kona no ili prebrojivo mnogo stupnjeva slobode. Problemi gibanja deformabilnih tijela ili fluida zahtijevaju pop enje klasi ne mehanike sustava estica i krutih tijela na mehaniku sustava sa neprebrojivo mnogo stupnjeva slobode gibanja ó mehaniku kontinuuma tj. klasi nu teoriju polja.

Materija je diskretna, a ne kontinuirana. Ultimativno, materija se sastoje od elementarnih estica koje su kvantne, a ne klasi ne estice. Objekti u svemiru su izgra eni od molekula koji se sastoje od atoma sastavljenih od elementarnih estica. Ipak, postoji ogromna skupina problema gibanja razli itih fizikalnih sustava koja se može klasi no razmatrati potpuno zanemaruju i stvarnu komplikiranu molekularnu strukturu tijela koja ine te sustave. Fielimo aproksimativnu klasi nu teoriju koja može opisati svojstva i gibanja materijalnih objekata, ali koja ne zavisi od individualnih svojstava pojedinih estica (molekula). U mehanici kontinuuma svako tijelo smatramo sastavljenim od neprebrojivo mnogo prostorno distribuiranih klasi nih estica. Materiju od koje je tijelo sastavljen smatramo beskona no djeljivom ó kontinuiranom. Svako tijelo smatramo zbrojem individualnih infinitezimalnih 3-dimenzionalnih elemenata materijala pri emu svaki pojedini element tretiramo kao jednu klasi nu esticu. Jasno je da takva teorija može dobro opisati samo šmakroskopskaõ svojstva tijela ó vrijednosti fizikalnih veli ina definiranih na skalama duljina mnogo ve im od dimenzija pojedinih molekula. Npr., o ekujemo da je mehanika kontinuuma dobro opisati prostiranje zvuka (frekvencija 20 - 20000 Hz, tj. valne duljine 17 m ó 1.7 cm) u zraku, ali nikako ne o ekujemo da je isto vrijediti za prostiranje 200 GHz ultrazvuka (valna duljina  $1.7 \times 10^{-9}$  m).

### 7.1 Prijelaz na kontinuirani sustav

Da razumijemo prijelaz sa mehanike sustava estica na mehaniku kontinuuma uzmimo najjednostavniji primjer ó longitudinalne titraje beskona nog jednodimenzionog elestri nog kristala. Smatramo da je taj kontinuirani -tap na injen od diskretnih klasi nih estica mase m spojenih idealnim oprugama konstante k i duljine a bez mase, kao na Slici 48. Svaka estica može titrati duflosi kristala koju smo odabrali za x-os.



Slika 48.

Ovaj problem je oigledno popravljenje problema titranja linearne molekule iz Poglavlja 6.5 i može se rješiti standardnim tretmanom malih oscilacija. Označimo li pomak iz ravnotežnog poloflaja (elongaciju) i-te estice  $\phi_i$ , kinetička energija sustava je

$$T = \frac{1}{2} \sum_i m \dot{\phi}_i^2. \quad (7.1)$$

Potencijalna energija je zbroj elastičnih potencijalnih energija svake opruge

$$U = \frac{1}{2} \sum_i k(\phi_{i+1} - \phi_i)^2. \quad (7.2)$$

pa je Lagrangian sustava

$$L = T - U = \frac{1}{2} \sum_i [m \dot{\phi}_i^2 - k(\phi_{i+1} - \phi_i)^2]. \quad (7.3)$$

Da se jednostavnije načine kontinuum limes uvedimo prvo u Lagrangian ravnotežnu udaljenost estica a koja je ravnotežna duljina opruge

$$L = \frac{1}{2} \sum_i a \left[ \frac{m}{a} \dot{\phi}_i^2 - ka \left( \frac{\phi_{i+1} - \phi_i}{a} \right)^2 \right] = \sum_i a L_i. \quad (7.4)$$

Iz Lagrangiana (7.4) slijede jednadžbe gibanja za svaku generaliziranu koordinatu  $\phi_i$

$$\frac{m}{a} \ddot{\phi}_i - ka \left( \frac{\phi_{i+1} - \phi_i}{a^2} \right) + ka \left( \frac{\phi_i - \phi_{i-1}}{a^2} \right) = 0. \quad (7.5)$$

U kontinuum limesu, kad a i m teži nuli, m/a teži linijskoj gustoći kristala  $\mu$  (masa po jedinici duljine). Prepostavimo da je kristal linearno elastičan, tj. da vrijedi Hookov zakon:  $F = E\varepsilon$  gdje je F sila tenzije, a E je Youngov modul elastičnosti kristala. Za na-jednodimenzionalan relativnu deformaciju (elongacija po jedinici duljine) je  $\varepsilon = \frac{\phi_{i+1} - \phi_i}{a}$ , pa je sila potrebna da se opruga istegne za taj iznos

$$F = k(\phi_{i+1} - \phi_i) = ka \left( \frac{\phi_{i+1} - \phi_i}{a} \right). \quad (7.6)$$

To znači da je  $E = ka$  u kontinuum limesu. Prelazak na kontinuum zahtjeva da indeks šiř koji označava poloflaj estice u lancu zamjenimo kontinuiranom koordinatom x, tako da generalizirana koordinata daje označenje ravnotežnog poloflaja estice kristala u točki x postaje kontinuirana funkcija (polje) koju možemo označiti  $\phi(x)$ . Bolja označka je  $\phi(x,t)$ , jer je polje funkcija nezavisnih prostorno-vremenskih varijabli x i t. Lanovi u (7.4) se onda u kontinuum limesu prirodno generaliziraju na:

$$a \rightarrow dx, \quad \sum_i a \dots \rightarrow \int dx \dots, \quad \dot{\phi}_i \rightarrow \frac{\partial \phi(x)}{\partial t} = \dot{\phi}, \quad \frac{\phi_{i+1} - \phi_i}{a} = \frac{\phi(x+a) - \phi(x)}{a} \rightarrow \frac{\partial \phi}{\partial x}, \quad (7.7)$$

i Lagrangian kontinuiranog jednodimenzionog elastičnog kristala postaje

$$L = \frac{1}{2} \int dx \left[ \mu \left( \frac{\partial \phi}{\partial t} \right)^2 - E \left( \frac{\partial \phi}{\partial x} \right)^2 \right] = \int dx L, \quad (7.8)$$

gdje  $L$  označava gustoću u Lagrangiana.

Prema zadnjoj relaciji u (7.7), drugi i treći lan u Lagrangeovim jednadžbama gibanja (7.5) u kontinuum limesu postaju

$$-\frac{E}{\mu} \left[ \left( \frac{\partial \phi}{\partial x} \right)_x - \left( \frac{\partial \phi}{\partial x} \right)_{x=0} \right] \rightarrow -E \frac{\partial^2 \phi}{\partial x^2},$$

pa Lagrangeova jednadžba elastičnih longitudinalnih deformacija jednodimenzionog kristala postaje parcijalna diferencijalna jednadžba drugog reda o valna jednadžba

$$\mu \frac{\partial^2 \phi}{\partial t^2} - E \frac{\partial^2 \phi}{\partial x^2} = 0 \quad \text{tj.} \quad \frac{\partial^2 \phi}{\partial t^2} - \frac{\mu}{E} \frac{\partial^2 \phi}{\partial x^2} = 0, \quad (7.9)$$

–to daje poznati izraz za brzinu longitudinalnih valova u kristalu

$$v = \sqrt{\frac{E}{\mu}}. \quad (7.10)$$

U prijelazu na kontinuum mehaniku ili teoriju polja najvažnije je to da razumjeti ulogu kontinuirane prostorne koordinate  $x$  estice kristala koja zamjenjuje diskretni indeks šiš (x označava, tj. šimenuje esticu materijala u prostornoj točki i koordinata je x). Prema pravilu  $\phi_i(t) \rightarrow \phi(x,t)$  generalizirana koordinata (elongacija) pridružena estici materijala u točki x u trenutku t je vrijednost skalarnog polja  $\phi(x,t)$  u točki prostora-vremena. To znači da u svakoj teoriji polja generaliziranih koordinata ima koliko i toliko u prostoru-vremenu neprebrojivo mnogo. U slučaju mehanike sustava estica svakom stupnju slobode gibanja pridružuje se jedna generalizirana koordinata  $\phi_i(t)$  kojoj odgovara jedna Lagrangeova jednadžba gibanja (7.5) koja je obično diferencijalna jednadžba drugog reda po vremenu. Za jednodimenzionalni kristal opisan Lagrangianom (7.3) ili (7.4), jednadžbi gibanja ima toliko i estica. U kontinuum limesu, tj. u teoriji polja opisanoj Lagrangianom (7.8), znamo da se kristal sastoji od neprebrojivo mnogo kontinuirano raspore enih estica, ije titranje je određeno samo jednom Lagrangeovom jednadžbom gibanja o valnom jednadžbom (7.9). Jedna parcijalna diferencijalna jednadžba (7.9) je kontinuum limes sustava od neprebrojivo mnogo običnih diferencijalnih jednadžbi (u svakoj točki prostora x po jedna).

Lako je napraviti generalizaciju na tri prostorne dimenzije. Da je kontinuirani kristal bio trodimenzionalan, umjesto (7.8) Lagrangian bi bio volumni integral Lagrangeove gustoće  $L$  (koja se skoro uvijek neprecizno takođe naziva Lagrangianom)

$$L = \int d^3x L. \quad (7.11)$$

Lagrangeova gustoća  $L$  je funkcija polja i njihovih prvih parcijalnih derivacija po prostoru i vremenu po analogiji sa mehanikom sustava estica

$$L = L(q_i, \dot{q}_i, t) \rightarrow L = L(\phi, \partial^\mu \phi, x^\mu), \quad (7.12)$$

gdje indeks  $\mu = 0, 1, 2, 3$  označava prostorno-vremenske koordinate ( $x^0 = ct$ ,  $x^1 = x$ ,  $x^2 = y$ ,  $x^3 = z$ ), a  $\partial^\mu \equiv \frac{\partial}{\partial x^\mu}$  označava prvu parcijalnu derivaciju po  $x^\mu$ . Polje  $\phi$  (ili više polja  $\phi_1, \dots, \phi_n$  u nekom popisu teorije) u (7.12) je po pretpostavci bar dva puta derivabilna funkcija točke u prostoru-vremenu  $x^\mu = (\vec{r}, t)$ , –to se označava kao  $\phi(x^\mu)$  ili jednostavnije  $\phi(x)$ , ali je u (7.12) izostavljeno radi preglednosti izraza.

Kontinuirani fizikalni sustav je onda opisan poljem  $\phi(x^\mu)$  ija svojstva odre uje Lagrangian (gusto a)  $L$  koji kao i u mehanici sustava estica ima kineti ki i potencijalni dio. Na primjer, najjednostavniji Lagrangian u teoriji polja je Lagrangian (gusto a) skalarnog polja  $\phi(x^\mu)$  koji je

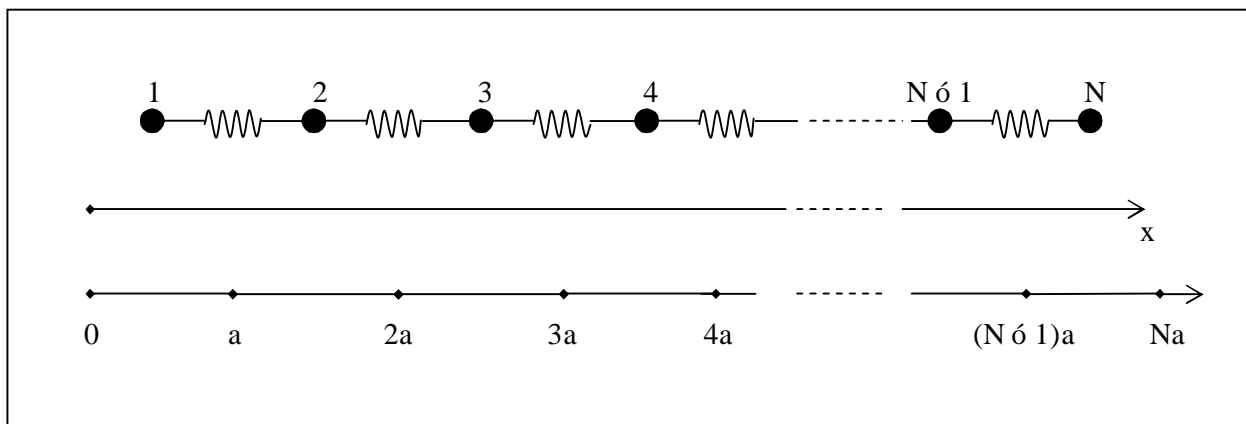
$$L = \frac{1}{2}(\partial^0\phi)^2 - \frac{1}{2}(\partial^1\phi)^2 - \frac{1}{2}(\partial^2\phi)^2 - \frac{1}{2}(\partial^3\phi)^2 - \frac{1}{2}m^2\phi^2. \quad (7.13)$$

Postojanje Lagrangiana polja  $L$  i akcije (djelovanja)  $I(\phi)$  koja je integral Lagrangiana po vremenu  $I = \int dt L = \int d^4x L$ , omogu uju pro-irenje Lagrangeove i Hamiltonove formulacije klasi ne mehanike sustava estica i na kontinuirane sustave, tj. na teoriju polja. U klasi noj fizici najvaflniji primjer teorije polja je svakako Maxwell-ova elektrodinamika koja je ustvari relativisti ki (Lorentz) invarijantna teorija polja.

## 7.2 Lagrangeova formulacija za kontinuirane sustave

Jednostavni primjer jednodimenzionog elasti nog kristala možemo iskoristiti da detaljnije razumijemo prijelaz na kontinuum i kori-tenje Hamiltonova principa  $\delta I = 0$  za dobijanje jednadžbi gibanja teorije polja, kao i ograni enja tako dobijene teorije.

Raznotrimo opet longitudinalne vibracije jednodimenzionog lanca estica mase  $m$  vezanih idealnim oprugama konstante  $k$  i ravnoteftne duljine  $a$ , ali sad uzimimo da je sistem kona an i ima  $N$  estica, to zna i  $N$  stupnjeva slobode gibanja. Generalizirane koordinate su poloflaji  $x_i(t)$  ( $i = 1, 2, \dots, N$ ) svake estice na osi kristala. Izaberimo ishodi-te x-osi tako da je ravnoteftni poloflaj svake estice  $x_i = (i - \frac{1}{2})a$  kao na Slici 49.



Slika 49.

Svaka estica uma samo interakcije sa svojim najblišlim susjedima, tj. na i-tu esticu djeluju elasti ne sile  $F = -\frac{\partial U}{\partial x_i}$  lijeve i desne opruge, osim na prvu i zadnju esticu u lancu na koje djeluje samo po jedna sila. Elasti na potencijalna energija jedne, recimo, prve opruge u lancu je  $U = \frac{1}{2}k(x_2 - x_1 - a)^2$ , pa je Lagrangian sustava

$$L = \sum_{i=1}^N \frac{1}{2}m(\dot{x}_i)^2 - \sum_{i=2}^N \frac{1}{2}k(x_i - x_{i-1} - a)^2. \quad (7.14)$$

Lako je na i Lagrangeove jednadžbe

$$\begin{aligned} m\ddot{x}_1 &= k(x_2 - x_1 - a), \\ m\ddot{x}_i &= k(x_{i+1} - 2x_i + x_{i-1}), \quad (i = 2, 3, \dots, N-1), \\ m\ddot{x}_N &= k(x_{N-1} - x_N + a)k. \end{aligned} \quad (7.15)$$

Iako sustav ima N stupnjeva slobode gibanja, o ekujemo da ima samo N-1 netrivijalnu svojstvenu frekvenciju malih oscilacija (sigurno postoji jedan normalni mod sa svojstvenom frekvencijom  $w = 0$  koji reprezentira translaciju cijelog kristala kao krutog tijela).

Eksplisitno rješenje je (provjeriti)

$$x_i(t) = \left(1 - \frac{1}{2}\right)a + x_0 + v_0t + \sum_{i=1}^{N-1} \alpha_i \cos\left[\left(1 - \frac{1}{2}\right)ak_i\right] \cos(\omega_i t + \varphi_i), \quad (7.16)$$

gdje su  $x_0, v_0, \alpha_i, \omega_i$  ( $i = 1, 2, \dots, N-1$ ) konstante koje se određuju iz početnih uvjeta, a valni vektori  $k_i$  i svojstvene frekvencije  $\omega_i$  su

$$\omega_i^2 = 2\frac{k}{m} [1 - \cos(ak_i)], \quad k_i = \frac{\pi}{Na}. \quad (7.17)$$

Na primjer, za drugu esticu je

$$\frac{m}{k}\ddot{x}_2 = 2\sum_{n=1}^{N-1} [\cos(ak_n) - 1] \cos\left(\frac{\pi}{2}ak_n\right) \alpha_n \cos(\omega_n t + \varphi_n),$$

pa kako vrijedi  $2\cos\left(\frac{\pi}{2}ak_n\right)\cos(ak_n) = \cos\left(\frac{1}{2}ak_n\right) + \cos\left(\frac{5}{2}ak_n\right)$ , odmah se dobije

$$\frac{m}{k}\ddot{x}_2 = x_3 - 2x_2 + x_1.$$

Ovo je šmikroskopski model kristala koji oito zavisi od svojstava i sila na pojedinu esticu kristala. Konačni jednodimenzionalni kristal od N estica vezanih oprugama konstante k ravnotežne duljine a ima N-1 svojstvenu frekvenciju longitudinalnih titraja

$$\omega_n^2 = 2\frac{k}{m} \left[1 - \cos\left(\frac{\pi}{N}n\right)\right], \quad (n = 1, 2, \dots, N-1) \quad (7.18)$$

valnih duljina

$$\lambda_n = \frac{2\pi}{k_n} = \frac{2N}{n}a. \quad (7.19)$$

Eksperimentalno bi se ovaj model mogao provjeriti mjerjenjem brzine zvuka nih valova različitih frekvencija  $v_n = \frac{\omega_n}{k_n}$  u kristalu. Mjerjenje šmikroskopskih svojstava estica kristala (konstante k) u pravilu nije moguće. Pofleljeno je imati aproksimativni šmakroskopski model u kome se pojavljuju samo velike valne koje je lako moguće mjeriti što je kontinuirani model teorije polja.

Ako umjesto N-estimog diskretnog modela fletimo model teorije polja za na-kristal zamislimo da mu je masa kontinuirano rasporena. Prvo moramo diskretni indeks šiři zamjeniti kontinuiranim indeksom koji izima vrijednosti 0 do N. Zatim generalizirane koordinate estica  $x_i(t)$  treba zamjeniti realnim kontinuiranim i derivabilnim poljem  $x(\eta, t)$  za koje znamo da u to kama  $\dot{x} = \left(1 - \frac{1}{2}\right) a$  ima upravo vrijednosti  $x_i(t)$ , tj. vrijedi  $x\left(\left(i - \frac{1}{2}\right) a, t\right) = x_i(t)$ . U kontinuum limesu, kao u (7.7), iz (7.14) dobijamo Lagrangian jednodimenzione teorije polja

$$L = \int_0^{Na} d\eta L, \quad L = \frac{1}{2} \mu \left( \frac{\partial x}{\partial t} \right)^2 - \frac{1}{2} E \left( \frac{\partial x}{\partial \eta} - 1 \right)^2, \quad (7.20)$$

analogan sa (7.8), gdje je Youngov modul elastičnosti  $B = ka$ , a linijska gustoća  $\mu = \rho m$ , gdje je šgustoća  $a$  estica (koncentracija)  $\rho = 1/a$ .

Jednadžbe gibanja teorije polja određene Lagrangianom (7.20) možemo izvesti iz Hamiltonovog (varijacionog) principa minimalnog djelovanja  $\delta I = 0$ . Akcija (djelovanje)  $I(x)$  je

$$I = \int_0^T dt L = \frac{1}{2} \int_0^T dt \int_0^{Na} d\eta \left[ \mu \left( \frac{\partial x}{\partial t} \right)^2 - E \left( \frac{\partial x}{\partial \eta} - 1 \right)^2 \right]. \quad (7.21)$$

Hamiltonov princip  $\delta I(x) = 0$  traži da namemo promjenu akcije  $\delta I$  kad variramo polje  $x(\eta, t) \rightarrow x(\eta, t) + \delta x(\eta, t)$  tako da ostanu zadovoljeni isti rubni (po etni) uvjeti  $\delta x(\eta, 0) = \delta x(\eta, T) = 0$  i zahtijevamo da je ta varijacija nula, to daje

$$\delta I = 0 = \int_0^T dt \int_0^{Na} d\eta \left[ \mu \left( \frac{\partial x}{\partial t} \right) \frac{\partial \delta x}{\partial t} - E \left( \frac{\partial x}{\partial \eta} - 1 \right) \frac{\partial \delta x}{\partial \eta} \right].$$

U gornjem integralu napravimo parcijalnu integraciju po obe nezavisne varijable  $t$  i  $\eta$ , tj.

$$\begin{aligned} \mu \left( \frac{\partial x}{\partial t} \right) \frac{\partial \delta x}{\partial t} &= -\mu \frac{\partial^2 x}{\partial t^2} \delta x + \frac{\partial}{\partial t} \left[ \mu \left( \frac{\partial x}{\partial t} \right) \delta x \right] \quad i \\ -E \left( \frac{\partial x}{\partial \eta} - 1 \right) \frac{\partial \delta x}{\partial \eta} &= E \frac{\partial^2 x}{\partial \eta^2} \delta x - \frac{\partial}{\partial \eta} \left[ E \left( \frac{\partial x}{\partial \eta} - 1 \right) \delta x \right]. \end{aligned}$$

Rubni uvjeti osiguravaju da integral potpune derivacije po vremenu daje nulu

$$\int_0^T dt \frac{\partial}{\partial t} \left[ \mu \left( \frac{\partial x}{\partial t} \right) \delta x \right] = \left[ \mu \left( \frac{\partial x}{\partial t} \right) \delta x \right]_0^T = 0,$$

pa Hamiltonov princip daje

$$0 = - \int_0^T dt \int_0^{Na} d\eta \left\{ \mu \frac{\partial^2 x}{\partial t^2} - E \frac{\partial^2 x}{\partial \eta^2} \right\} \delta x - \int_0^T dt \left[ E \left( \frac{\partial x}{\partial \eta} - 1 \right) \delta x \right]_{\eta=0}^{\eta=Na}. \quad (7.22)$$

Kako je varijacija polja  $\delta x(\eta, t)$  proizvoljna koeficijenti uz  $\delta x$  u (7.22) moraju biti nula, to daje Lagrangeovu jednadžbu gibanja za polje  $x(\eta, t)$  koja je valna jednadžba jednodimenzionalih longitudinalnih valova

$$\frac{\partial^2 x}{\partial \eta^2} - \frac{\mu}{E} \frac{\partial^2 x}{\partial t^2} = 0, \quad 0 < \eta < Na, \quad (7.23)$$

i rubni uvjet na krajevima kristala

$$\frac{\partial x}{\partial \eta} = 1, \quad \eta = 0 \quad \text{i} \quad \eta = Na. \quad (7.24)$$

Rje–enje je (provjeriti)

$$x(\eta, t) = \eta + x_0 + v_0 t + \sum_{n=1}^{\infty} \alpha_n \cos(k_n \eta) \cos(\bar{w}_n t + \varphi_n), \quad (7.25)$$

gdje su valni vektori i svojstvene frekvencije

$$k_n = \frac{\pi n}{Na}, \quad \bar{w}_n^2 = \frac{E}{\mu} k_n^2 = \frac{k}{m} \pi^2 \frac{n^2}{N^2}. \quad (n = 1, 2, \dots) \quad (7.26)$$

Usporedimo ovo rje–enje kontinuiranog modela s rje–enjem šmikroskopskog diskretnog N–esti nog modela

$$x_n(t) = \left( n - \frac{1}{2} \right) a + x_0 + v_0 t + \sum_{n=1}^{N-1} \alpha_n \cos \left[ \left( n - \frac{1}{2} \right) ak_n \right] \cos(\omega_n t + \varphi_n), \quad (7.16)$$

gdje je

$$k_n = \frac{\pi n}{Na}, \quad w_n^2 = 2 \frac{k}{m} [1 - \cos(k_n a)], \quad (n = 1, \dots, N-1). \quad (7.18)$$

Teorija polja (kontinuirani model) uvijek ima bezbroj normalnih modova, dok svaki kona ni sustav uvijek ima kona an N ó 1 broj modova titranja. Odgovaraju i valni vektori imaju iste vrijednosti, ali teorija polja predvi a valove proizvoljno male valne duljine, dok N–esti ni model zahtijeva minimalnu valnu duljinu  $\lambda_{\min} = 2a \frac{N}{N-1} > 2a$  za  $k_{\max} = \frac{\pi N}{a}$ . Kao –to fizikalno i o ekujemo, dva modela se bitno razlikuju na šmikroskopskoj skali, tj. za svojstvene modove titranja ija valna duljina je reda veli ine me u– esti ne udaljenosti a. S druge strane, oba modela daju prakti no identi ne rezultate na šmakroskopskoj skali duljina, tj. za modove titranja valne duljine  $\lambda \gg a$ , –to zna i za niske svojstvene frekvencije.

Sa kolikom ogromnom to no– u teorija polja predvi a iste vrijednosti niskofrekvetnih oscilacija kao i diskretni model najbolje se vidi ako za  $n \ll N$  razvijemo u red  $\cos(k_n a)$  u (7.18)

$$w_n^2 = 2 \frac{k}{m} [1 - \cos(k_n a)] = 2 \frac{k}{m} \left[ 1 - \cos \left( \pi \frac{n}{N} \right) \right] = \frac{k}{m} \left( \pi \frac{n}{N} \right)^2 + O \left[ \left( \pi \frac{n}{N} \right)^4 \right] \cong \bar{w}_n^2, \quad (7.27)$$

jer je za makroskopski komad bilo kojeg realnog materijal u uobi ajenim zemaljskim uvjetima broj estica N bar  $10^8$  po cm duljine.

Ovaj idealizirani i jednostavni primjer dobro ilustrira op i rezultat koji dokazuje da se sa velikom to no– u mofle klasi nom kontinuum mehanikom (teorijom polja) opisati pona–anje realnih (sastavljenih od molekula) objekata, ako nas zanimaju samo vrijednosti fizikalnih veli ina na makroskopskoj skali duljina, dok detalji fizike svakog sustava ultimativno uvijek zahtijevaju kvantnu teoriju.

### 7.3 Jednadžbe gibanja u teoriji polja

Kontinuum teorija uvedena je na primjeru longitudinalnih titraja jedno-dimenzionog kristala iji Lagrangian (7.20) i akcija (7.21) zavise od polja  $x(\vec{r},t)$ . Estica kontinuiranog jednodimenzionog sustava ozna ena je sa  $\vec{r}$  to je njena koordinata, ali u sustavu vezanom za kristal. Vrijednost polja  $x(\vec{r},t)$  onda daje koordinatu u inercijalnom referentnom sustavu (laboratorijskom) estice kristala. U op em slu aju gibanja i deformacija kristala referentni sustav vezan za materijal je neinercijalni. Uvijek je mogu e izbjeg i komplikacije vezane za neinercijalne sustave, ako se teorija formulira (smjenom varijabli, recimo) na ekvivalentan na in pomo u inverznog polja  $(x,t)$  koje daje pomak (deformaciju) estice materijala u to ci  $(x,t)$  prostor-vremena nekog inercijalnog sustava referencije. Teorija polja se u pravilu formulira na ovaj, jednostavniji na in pomo u polja  $\phi(\vec{r},t) = \phi(x)$ .

Budu i da su u teoriji polja nezavisne varijable i poloflaj u prostoru  $\vec{r} = (x,y,z)$  i trenutak u vremenu  $t$ , svi izrazi su znatno jednostavniji ako se koristi 4-dimenzionalna notacija:  $x^\mu = (x^0, \vec{x}) \equiv (ct, x, y, z)$ , gdje gr ki indeksi uzimaju 4 vrijednosti  $\mu = 0, 1, 2, 3$ , a latinski samo 3 prostorne vrijednosti  $i = 1, 2, 3$ . Uvijek se podrazumijeva odgovaraju a sumacija po ponovljenom indeksu (jednom gornjem i jednom donjem). Brzina svjetlosti  $c$  se uvodi u  $x^0 = ct$  da bi sve etri komponente 4-vektora (tenzora prvog reda u etvoro dimenzionalnom prostor-vremenu) bile istih dimenzija. Ovakva notacija je specijalno korisna u relativisti kim (Lorentz invarijantnim) teorijama. Relativisti ka invarijantnost (isti oblik fizikalnih zakona u razli itim inercijalnim sustavima referencije povezanim Lorentz-ovim transformacijama) zahtijeva da se prostorne i vremenske komponente tenzora tretiraju na isti na in. Iako neemo razmatrati relativisti ku mehaniku koristiemo 4-dimenzionu notaciju.

U klasi noj fizici prostor-vrijeme je skup to aka  $x^\mu = (x^0, \vec{x})$  koje tvore 4-dimenzionalni Euklidski prostor  $(R^3 \times R)$ , dok u relativisti koj fizici to ke prostor-vremena tvore 4-dimenzionalni prostor Minkowskog  $M^4$ . Razlika izme u prostora  $R^4$  i  $M^4$  je u njihovoj metri koj strukturi (na inu na koji se mjeri udaljenost to aka), tj. u njihovom metri kom tenzoru  $g^{\mu\nu}$

$$g^{\mu\nu} = g_{\mu\nu} = \begin{bmatrix} 1 & 0 & 0 & 0 \\ 0 & 1 & 0 & 0 \\ 0 & 0 & 1 & 0 \\ 0 & 0 & 0 & 1 \end{bmatrix} - \text{za } R^4; \quad g^{\mu\nu} = g_{\mu\nu} = \begin{bmatrix} 1 & 0 & 0 & 0 \\ 0 & -1 & 0 & 0 \\ 0 & 0 & -1 & 0 \\ 0 & 0 & 0 & -1 \end{bmatrix} - \text{za } M^4. \quad (7.28)$$

Sumaciona konvencija pojednostavljuje izraze kao:  $a^\mu b_\mu = a_\mu b^\mu = g_{\mu\nu} a^\mu b^\nu = \sum_{\mu=0}^3 a_\mu b^\mu$ , ili  $a^i b_i = a_i b^i = \sum_{i=1}^3 a_i b^i$ . Simetri ni metri koj tenzor  $g^{\mu\nu} = g_{\mu\nu}$  spu ta i difle indekse tenzora. Npr. za bilo koji kontravarijantni 4-vektor  $a^\mu$ , postoji odgovaraju i kovarijantni 4-vektor  $a_\mu = g_{\mu\nu} a^\nu$ . U  $R^4$  su i kontravarijantne (gornje) i kovarijantne (donje) komponente tenzora jednake, dok su u  $M^4$  vremenske (nulte) komponente istog, ali prostorne komponente su suprotnog znaka, npr.  $x_\mu = (ct, -x, -y, -z)$ . Za fiziku najvaflnija razlika izme u  $R^4$  i  $M^4$  je u skalarnom produktu dva 4-vektora. Na primjer, kvadrat udaljenosti dvije infinitezimalno bliske to ke prostor-vremena je u 4-dimenzionom Euklidskom prostoru

$$dx^\mu dx_\mu = c^2(dt)^2 + (dx)^2 + (dy)^2 + (dz)^2 = c^2(dt)^2 + (d\vec{r})^2 \quad - u R^4, \quad (7.29)$$

dok je u 4-dimenzionom hiperboli nom prostoru  $M^4$  specijalne teorije relativnosti

$$dx^\mu dx_\mu = c^2(dt)^2 - (dx)^2 - (dy)^2 - (dz)^2 = c^2(dt)^2 - (d\vec{r})^2 \quad - u M^4. \quad (7.30)$$

Formuliranje teorije polja za neko klasi no polje  $\phi(x^\mu)$  polazi od Lagrangiana (gusto e) tog polja  $L$ , koji je kao u (7.12) funkcija polja  $\phi$  i njegovih prvih parcijalnih derivacija  $\partial^\mu\phi$  po prostorno-vremenskim koordinatama  $x^\mu$  –to se ozna ava  $L = L(\phi, \partial^\mu\phi)$ . Najjednostavniji primjer je Lagrangian (7.13) skalarnog polja  $\phi(x)$ , koji sa mofle skra eno zapisati

$$L = \frac{1}{2}(\partial^0\phi)^2 - \frac{1}{2}(\partial^i\phi)(\partial_i\phi) - \frac{1}{2}m^2\phi^2. \quad (7.31)$$

lanovi u Lagrangianu (7.31) koji zavise od derivacija polja po vremenskoj  $(\partial^0\phi)^2$  i po prostornim koordinatama  $(\partial^i\phi)^2$  su suprotnog znaka, –to je posljedica definicije Lagrangiana kao razlike kineti ke i potencijalne energije  $L = T - U$ .

Napomena: U kvantnoj teoriji polja (7.31) je Lagrangian slobodnog kvantnog polja  $\phi(x)$  spina nula i mase  $m$ , na primjer, polja Higgs bozona. Do sada nije poznat ni jedan fizikalni sustav u klasi noj fizici koji bi bio opisan Lagrangianom (7.31). Relativisti ka fizika je op enitija od klasi ne jer vrijedi i u slu ajevima kad brzine nisu zanemarive u odnosu na c. Prednost relativisti ke 4-dimenzionale tenzorske notacije moflemo vidjeti ve i na ovom najjednostavnijem primjeru. Koristimo li etvoro-dimenzionu notaciju (u prostoru  $M^4$ ), zbog  $\partial_0\phi = \partial^0\phi$  i  $\partial_i\phi = -\partial^i\phi$ , prva dva (ustvari etri) lana u Lagrangianu (7.31) skalarnog polja  $\phi(x)$  moflemo jednostavnije zapisati kao jedan lan

$$L(\phi, \partial^\mu\phi) = \frac{1}{2}(\partial_\mu\phi)(\partial^\mu\phi) - \frac{1}{2}m^2\phi^2. \quad (7.32)$$

Kako nas, za sada, zanima klasi na mehanika kontinuuma, tj. klasi na teorija polja, da formule u inimo jednostavnijim u ostaktu ovog poglavlja emo koristiti četvoro-dimenzionu notaciju (u prostoru  $R^4$  klasične fizike) podrazumjevajući sumacionu konvenciju po jednom ponovljenom (bilo gornjem, bilo donjem) indeksu.

Ako fletimo da polje  $\phi(x)$  ima izvore (kao distribucija naboja za elektromagnetsko polje) moramo dozvoliti da Lagrangian eksplicitno zavisi i od koordinata to ke prostor-vremena  $x^\mu$  preko gusto e izvora [npr. gusto a naboja  $\rho(x)$  i struja  $\mathbf{j}(x)$ ], tj.

$$L = L(\phi, \partial^\mu\phi, x^\mu), \quad (7.33)$$

–to kao i u mehanici sustava estica, zna i da sustav (polje  $\phi$ ) nije izoliran jer postoji razmjena energije i impulsa izme u izvora i polja. Na primjer, najjednostavniji izvor za skalarno polje  $\phi(x)$  je neka zadana funkcija  $S(x^\mu)$  tako da Lagrangian umjesto (7.31) ima dodatni lan

$$L(\phi, \partial^\mu\phi, x^\mu) = \frac{1}{2}(\partial^0\phi)^2 - \frac{1}{2}(\partial^i\phi)(\partial_i\phi) - \frac{1}{2}m^2\phi^2 - \phi S. \quad (7.34)$$

Oblik Lagrangiana nije odre en i za svaku pojedinu teoriju polja se posebno bira. Odabir Lagrangiana je rukovo en nekim generalnim principima, kao –to su: zahtjev da je Lagrangian skalar, zahtjev invarijantnosti u odnosu na neke simetrije, odre eni fletjeni limes u analogiji s klasi nom mehanikom sustava estica, jednostavnost, itd. Valjanost tako dobijene teorije polja za opis nekog realnog fizikalnog sustava se onda utvr uje eksperimentalnom provjerom konzervaci teorije.

Integracijom gusto e Lagrangiana  $L$  po nekom regionu prostora  $\Omega$  unutar kojeg je polje  $\phi(x)$  razli ito od nule, kao u (7.11), dobijamo Lagrangian  $L$  teorije polja. Akciju (djelovanje)  $I(\phi)$  polja  $\phi(x)$  definiramo kao integral po vremenu, od nekog po etnog ( $t = 0$ ) do nekog krajnjeg ( $t = T$ ) trenutka, Lagrangiana  $L$  polja, tj.

$$I = \int d^4x L(\phi, \partial^\mu \phi, x^\mu). \quad (7.35)$$

Akcija je integral Lagangiana (gusto e) po nekom 4-dimenzionom regionu prostor-vremena  $\Omega_4$  na ijem rubu polje  $\phi(x)$  i njegove derivacije is ezavaju [ esto se, kao u (7.35), ne ozna avaju granice integracije i podrazumijeva integral po cijelom prostor-vremenu, -to ne mijenja rezultat jer je pod-integralna funkcija nula u svim to kama van regiona  $\Omega_4$ ]. Jasno je da akcija ostaje nepromjenjena ako gusto i Lagrangiana dodamo proizvoljnu 4-divergenciju (totalnu derivaciju):  $L \rightarrow L + \partial^\mu M$ .

Da se dobiju jednadžbe gibanja teorije polja u skladu s Hamiltonovim principom treba odrediti varijaciju akcije i izjedna iti je s nulom. Varijacija akcije  $\delta I$  kad polje infinitezimalno variramo za  $\delta\phi$  je

$$\delta I = \int d^4x \left\{ \frac{\partial L}{\partial \phi} \delta\phi + \frac{\partial L}{\partial (\partial_\mu \phi)} \partial_\mu \delta\phi \right\}.$$

Kao i u primjeru jednodimenzionog kristala, napravimo li parcijalnu integraciju u drugom lanu te iskoristimo rubni uvjet, da je u po etnom i krajnjem trenutku vremena i na rubu regiona  $\Omega$  varijacija polja  $\delta\phi = 0$ , varijacija akcije postaje

$$\delta I = \int d^4x \delta\phi \left\{ \frac{\partial L}{\partial \phi} - \partial_\mu \frac{\partial L}{\partial (\partial_\mu \phi)} \right\} = 0, \quad (7.36)$$

-to, zbog proizvoljnosti varijacije polja  $\delta\phi$ , odmah daje Lagrangeove jednadžbe teorije polja

$$\partial_\mu \frac{\partial L}{\partial (\partial_\mu \phi)} - \frac{\partial L}{\partial \phi} = 0. \quad (7.37)$$

U slu aju da u teoriji imamo vi-e od jednog polja  $\phi_A(x^\mu)$ , zbog nezavisnosti njihovih varijacija, dobili bi po jednu jednadžbu gibanja (7.37) za svako polje, tj.

$$\partial_\mu \frac{\partial L}{\partial (\partial_\mu \phi_A)} - \frac{\partial L}{\partial \phi_A} = 0, \quad A=1,2,\dots \quad (7.38)$$

potpuno analogno generalizaciji sa jednog na vi-e stupnjeva slobode gibanja  $q \rightarrow q_i$  u mehanici sustava estica.

Lako se provjeri da Lagrangian (7.34) skalarnog polja  $\phi(x)$  iji su izvori  $S(x)$  daje jednadžbu gibanja polja

$$(\partial_0 \partial^0 - \partial_k \partial^k + m^2) \phi(x) = -S(x), \quad (7.39)$$

koja se naziva nehomogena (tj. sa izvorima S) Klein-Gordonova jednadžbba i koja je ustvari generalizacija nehomogene valne jednadžbe. Prepišemo li ovu jednadžbu u 3-dimenzionalnoj notaciji (7.39) je

$$\left( \frac{1}{c^2} \frac{\partial^2}{\partial t^2} - \nabla^2 + m^2 \right) \phi(\vec{r}, t) = -S(\vec{r}, t), \quad (7.40)$$

-to je nehomogena valna jednadžbba za  $m = 0$ .

Da vidimo vezu sa elektrostatikom i ilustriramo rješenja Klein-Gordonove jednadžbe na imo njeno najjednostavnije rješenje. Jednostavnosti radi potraffimo stati no rješenje, tj. prepostavimo da izvori S(x) i polje φ(x) ne zavise od vremena. Klein-Gordonova jednadžbba onda postaje

$$(\nabla^2 - m^2) \phi(\vec{r}) = S(\vec{r}). \quad (7.41)$$

Za izvor polja odaberimo najjednostavniji slučaj samo jednog to kastog šnabojaš q koji miruje u nekoj točci prostora  $\vec{r}'$ , tako da je gustoća izvora  $S(\vec{r}) = q \delta(\vec{r} - \vec{r}')$ , pa (7.41) postaje

$$(\nabla^2 - m^2) \phi(\vec{r}) = q \delta(\vec{r} - \vec{r}'). \quad (7.42)$$

Jedino sferno simetrično rješenje jednadžbe (7.42) koje i-činava u beskonačnosti naziva se Yukawa potencijal i predstavlja potencijal estice mase m koji eksponencijalno opada sa udaljenosti u, -to je klasični model za potencijal nuklearnih sila

$$\phi(\vec{r}) = \frac{q e^{-m|\vec{r}-\vec{r}'|}}{4\pi |\vec{r}-\vec{r}'|}. \quad (7.43)$$

Za takve brzo (eksponencijalno) opadajuće sile se kaže da su kratkog doseg a  $\frac{1}{m}$  jer na udaljenosti m od estice intenzitet sile opadne na  $e^{-1} = 0.368$  po etne vrijednosti. Za specijalni slučaj m=0 dobijamo uobičajeni gravitacijski ili električni potencijal koji opada s udaljenosti u od izvora (estice) kao  $|\vec{r}-\vec{r}'|^{-1}$ .

Da se dokazuje da je (7.43) zaista rješenje jednadžbe (7.42) treba izračunati  $\nabla^2 \phi$ . To je najlakše uraditi ako se u potencijalu (7.43) prvo definira pomocna funkcija Ψ kao

$$\phi(\vec{r}) = \frac{q e^{-m|\vec{r}-\vec{r}'|}}{4\pi |\vec{r}-\vec{r}'|} = \frac{\Psi(\vec{r})}{|\vec{r}-\vec{r}'|}, \quad (7.44)$$

te iskoristi formula iz vektorske analize:  $\nabla^2(AB) = A\nabla^2B + B\nabla^2A + 2(\nabla A) \cdot (\nabla B)$  koja vrijedi za proizvoljna skalarna polja A i B. U načinu slučaju je  $A \equiv \Psi$  i  $B \equiv |\vec{r}-\vec{r}'|^{-1}$ .

Dokaz je jednostavan ako se prvo pokaze da vrijedi (pokazati):

$$\nabla \frac{1}{|\vec{r}-\vec{r}'|} = -\frac{\vec{r}-\vec{r}'}{|\vec{r}-\vec{r}'|^3}, \quad \nabla \Psi = -m\Psi \frac{\vec{r}-\vec{r}'}{|\vec{r}-\vec{r}'|}, \quad \nabla^2 \frac{1}{|\vec{r}-\vec{r}'|} = -4\pi \delta(\vec{r}-\vec{r}'),$$

$$\nabla^2 \Psi = \nabla \cdot (\nabla \Psi) = \nabla \cdot \left( -m \Psi \frac{\vec{r} - \vec{r}'}{|\vec{r} - \vec{r}'|} \right) = -m(\nabla \Psi) \cdot \frac{\vec{r} - \vec{r}'}{|\vec{r} - \vec{r}'|} - m\Psi \nabla \cdot \frac{\vec{r} - \vec{r}'}{|\vec{r} - \vec{r}'|},$$

te

$$\nabla \cdot \frac{\vec{r} - \vec{r}'}{|\vec{r} - \vec{r}'|} = \frac{2}{|\vec{r} - \vec{r}'|}, \quad e^{-m|\vec{r} - \vec{r}'|} \delta(\vec{r} - \vec{r}') = \delta(\vec{r} - \vec{r}'),$$

gdje zadnja relacija vrijedi jer je Diracova  $\delta$ -funkcija nula osim ako je  $\vec{r} = \vec{r}'$ .

Da se pokafle da vrijedi  $\nabla^2 \frac{1}{|\vec{r} - \vec{r}'|} = 4\pi \delta(\vec{r} - \vec{r}')$ , najjednostavnije je odabrati sustav sa ishodi-tem u estici, tako da je  $\vec{r}' = \mathbf{0}$ , pa  $|\vec{r} - \vec{r}'|$  postaje  $|\vec{r}| = r$ . Odaberemo li sferne koordinate  $(r, \theta, \phi)$ , Laplacijan  $\nabla^2$  funkcije  $f$  koja zavisi samo od  $r$  je

$$\nabla^2 f = \frac{1}{r^2} \frac{\partial}{\partial r} \left( r^2 \frac{\partial f}{\partial r} \right) + \dots,$$

gdje  $\vec{r}$  označava vektor koji su nula jer sadrži derivacije po kutevima  $\theta$  i  $\phi$ . Za  $f = r^{6/1}$  je  $\nabla^2 r^{6/1} = 0$  za svako  $r \neq 0$ . Ali, za  $r = 0$ , mora biti

$$\lim_{r \rightarrow 0} \left( \nabla^2 \frac{1}{r} \right) = -\infty,$$

to se vidi ako integriramo  $\nabla^2 r^{6/1}$  po volumenu kugle radijusa  $\varepsilon > 0$  sa centrom u ishodištu i iskoristimo teorem o divergenciji:

$$\int d^3x \left( \nabla^2 \frac{1}{r} \right) = \int d^3x \nabla \cdot \nabla \left( \frac{1}{r} \right) = \oint d\vec{s}_e \cdot \nabla \left( \frac{1}{r} \right) = \oint d\vec{s}_e \hat{r} \cdot \left( -\frac{\hat{r}}{r^2} \right) = -4\pi,$$

gdje je  $d\vec{s}_e = r^2 \sin\theta d\theta d\phi$  element površine sfere radijusa  $\varepsilon$ . U limesu kad  $\varepsilon \rightarrow 0$ , dobija se

$$\nabla^2 \frac{1}{|\vec{r}|} = -4\pi \delta(\vec{r}),$$

pa smjenom varijabli  $\vec{r} \rightarrow \vec{r} - \vec{r}'$ , dobijamo  $\nabla^2 \frac{1}{|\vec{r} - \vec{r}'|} = -4\pi \delta(\vec{r} - \vec{r}')$ .

Yukawa potencijal (7.43) pokazuje da je Klein-Gordonova jednadžba (7.39), koja slijedi iz Lagrangiana skalarnog polja (7.34), fizikalno relevantna bar za klasični model opisa nuklearnih interakcija u stvari kom limesu, a u specijalnom slučaju polja bez mase  $m = 0$  može biti model teorije za gravitacijske ili elektromagnetske interakcije.

Do sada smo vidjeli kako se dobijaju jednadžbe gibanja teorije polja, tj. Lagrangeove jednadžbe (7.37) ili (7.38) i fizikalnu relevantnost teorije polja na jednostavnim primjerima jednodimenzionog elastičnog kristala i skalarnog polja koji su Lagrangiani (7.20) i (7.31).

Da bi se dalje razvila fizika teorije polja (mekhanike kontinuma) neophodno je razmotriti o uvanje veličine, tj. konstante gibanja. U cjelokupnoj fizici vrijede osnovni zakoni o uvanju energije, impulsa, angularnog momenta, naboja, itd. pa je neophodno vidjeti kako se oni implementiraju i u teoriju polja.

## 7.4 Očuvane veličine (struje) u teoriji polja

Danas vjerujemo da su svi osnovni zakoni o uvanju u fizici posljedica simetrije kvantne teorije polja koja opisuje najsitnije djeli i materije i elementarne estice od kojih se sastoje svi objekti u svemiru. Teorem Emmi Noether daje vezu kontinuiranih simetrija Lagrangiana (akcije) fizikalnog sustava i njegovih o uvanih veli ina originalno je dokazan upravo u teoriji polja. Iako vrijedi i za sustave estica, Noether teorem ima najve i zna aj u klasi noj i naro ito, u kvantnoj teoriji polja. Veza simetrija teorije polja i zakona o uvanju omogu uje odabir simetri nog Lagrangiana relativisti ke kvantne teorije polja koji osigurava valjanost eksperimentalno otkrivenih zakoni o uvanju.

Noether teorem tvrdi da za svaku grupu kontinuiranih transformacija koje ostavljaju invarijantnim (nepromjenjenog oblika) gusto u Lagrangiana  $L$  teorije polja mora postojati jedna o uvana (bez divergencije, tj. bez izvora) 4-struja  $J(x)$ ,

$$\delta L = 0 \Leftrightarrow \partial^\mu J_\mu = 0, \quad (7.45)$$

takva da je ukupni önabojo Q koji je volumni integral vremenske komponente struje  $J_0(x)$

$$Q(t) = \int d^3x J_0(x), \quad (7.46)$$

o uvana veli ina, tj. vrijedi

$$\frac{\partial}{\partial t} Q(t) = 0. \quad (7.47)$$

Najop enitija formulacija Noether teorema odnosi se na invarijantnost akcije (djelovanja) sustava, koja je ekvivalentna gornjoj formulaciji ako dozvolimo da promjena gusto e Lagrangiana bude totalna derivacija (4-divergencija).

Jednostavnosti radi dokaz izvedimo za slu aj translatorne invarijantnosti teorije polja. Translacijske su transformacije kojima se prelazi u inercijalni sustav referencije ije ishodi-te je u nekoj drugoj to ci prostor-vremena. Trivijalno se vidi da translacijske tvore kontinuiranu grupu transformacija. Lagrangian je invarijantan pri translacijama ako ne zavisi eksplisitno od koordinata  $x^\mu$ , ve samo implicitno preko zavisnosti polja  $\phi(x)$  i njegovih prvih parcijalnih derivacija  $\partial^\mu \phi(x)$ . Dovoljno je razmatrati samo infinitezimalne translacije, jer grupoidnost osigurava da teorem onda vrijedi i za sve kona ne prostorno-vremenske translacije. Pri infinitezimalnoj translaciji prostorno-vremenske koordinate se transformiraju prema

$$x^\mu \rightarrow x'^\mu = x^\mu + \varepsilon^\mu, \quad (7.48)$$

a promjena Lagrangiana do na prvi red po konstantnim infinitezimalnim veli inama  $\varepsilon^\mu$  je

$$\delta L = L' - L = \varepsilon^\mu \frac{\partial L}{\partial x^\mu} = \varepsilon^\mu \partial_\mu L. \quad (7.49)$$

S druge strane, kako  $L$  ne zavisi eksplisitno od  $x^\mu$ , promjena Lagrangiana je i

$$\delta L = \frac{\partial L}{\partial \phi} \delta \phi + \frac{\partial L}{\partial (\partial^\mu \phi)} \delta (\partial^\mu \phi), \quad (7.50)$$

gdje je varijacija polja  $\phi(x)$

$$\delta\phi = \phi(x+\varepsilon) - \phi(x) = \varepsilon^y \frac{\partial\phi}{\partial x^y}. \quad (7.51)$$

Iskoristimo li Lagrangeovu jednadžbu (7.37) da zamijenimo  $\frac{\partial L}{\partial \phi} = \partial^\mu \frac{\partial L}{\partial (\partial^\mu \phi)}$  izraz (7.50) postaje

$$\varepsilon^\mu \frac{\partial L}{\partial x^\mu} = \left( \partial^\mu \frac{\partial L}{\partial (\partial^\mu \phi)} \right) \delta\phi + \frac{\partial L}{\partial (\partial^\mu \phi)} \partial^\mu (\delta\phi) = \partial^\mu \left( \frac{\partial L}{\partial (\partial^\mu \phi)} \delta\phi \right), \quad (7.52)$$

gdje smo iskoristili (7.49) i u zadnjem lanu promjenili redosled deriviranja  $\partial^\mu (\delta\phi) = \delta(\partial^\mu \phi)$ . Koristeći (7.51), zadnji izraz možemo prepisati u sugestivnom obliku

$$0 = \partial^\mu \left\{ -g_{\mu\nu} L + \frac{\partial L}{\partial (\partial^\mu \phi)} \partial_\nu \phi \right\} \varepsilon^\nu, \quad (7.53)$$

–to vrijedi za svaku infinitezimalnu translaciju za  $\varepsilon^\nu$  samo ako vrijedi zakon o uvanju tenzora energije-impulsa  $T_{\mu\nu}(x)$

$$\partial^\mu T_{\mu\nu}(x) = 0, \quad (7.54)$$

koji je po definiciji

$$T_{\mu\nu} = -g_{\mu\nu} L + \frac{\partial L}{\partial (\partial^\mu \phi)} \partial_\nu \phi. \quad (7.55)$$

Ime koje se daje veličini  $T_{\mu\nu}(x)$  ó tenzor energije-impulsa, daje naslutiti da njegove komponente imaju veze sa energijom i impulsom polja  $\phi(x)$ . Izraz (7.55) omogućuje da se komponente  $T_{\mu\nu}(x)$  lako izrađuju putem parcijalnim deriviranjem Lagrangiana polja. Naravno, treba još pokazati da identifikacija (naziv) komponenti tenzora  $T_{\mu\nu}(x)$  sa raznim veličinama kojima se opisuje polje  $\phi(x)$  zaista ima fizikalnog smisla.

Izraz (7.54) je dokaz da:

ako je Lagrangian neke teorije polja  $L = L(\phi, \partial^\mu \phi)$  invarijantan pri prostorno-vremenskim translacijama (ne zavisi eksplicitno od koordinata  $x^\mu$ ) tada je 4-divergencija tenzora energije-impulsa  $T_{\mu\nu}(x)$  polja  $\phi(x)$  jednaka nuli. To je lokalni (koji vrijedi u svakoj točki  $x$ ) oblik zakona o uvanju energije i impulsa za polje  $\phi(x)$ . Pojednostavljeni, to je  $\partial^\mu T_{\mu\nu}(x) = 0$  u svakoj točki prostora-vremena, tenzor  $T_{\mu\nu}(x)$  nema izvora (ni ponora) ni u jednoj točki  $x$ , pa je svuda (i u svim) o uvan.

Izraz (7.54) je specijalni slučaj izraza (7.45). U slučaju invarijantnosti Lagrangiana pri translacijama lokalno o uvana veličina je tenzor drugog reda  $T_{\mu\nu}(x)$ , pa za polje  $\phi(x)$  postoje 4 o uvanne struje, po jedna za nezavisne translacije duž svake od četiri osi prostorno-vremenskog koordinatnog sustava. Te četiri konstante gibanja (za  $\mu = 0$ ), koje su globalno o uvanne fizikalne veličine, međusobno razlikuju indeks  $\nu$ . U skladu s (7.46) četiri o uvana ukupna šabotovač polja  $\phi(x)$  su

$$P_v(t) = \int d^3x T_{0v} = \int d^3x \left[ \frac{\partial L}{\partial(\partial^0 \phi)} \partial_v \phi - g_{0v} L \right], \quad (7.56)$$

koje za  $v = 0$  identificiramo s energijom i tri prostorne komponente ( $v = 1,2,3$ ) impulsata polja  $\phi(x)$ . tri komponente  $T_{0v}(x)$  [prvi redak njegove matri ne reprezentacije] tenzora  $T_{\mu\nu}(x)$  energije-impulsa onda predstavljaju gusto e energije-impulsa polja  $\phi(x)$ , -to pojava naziva tenzora.

Treba jo–dokazati da, u skladu sa (7.47), zaista vrijede tri (globalna) zakona o uvanju koji su zakon o uvanju energije ( $v = 0$ ) i tri zakona o uvanju pojedinih komponenti ukupnog impulsa ( $v = 1,2,3$ ) polja  $\phi(x)$ , tj. da vrijedi

$$\frac{dP_v(t)}{dt} = 0. \quad (7.57)$$

Dokaz je elementarna primjena teorema o divergenciji (Gauss-ovog teorema). Lokalni oblik zakona o uvanju energije-impulsa (7.54) možemo napisati u obliku

$$\partial^0 T_{0v} + \partial^i T_{iv} = 0. \quad (7.58)$$

Ako integriramo gornji izraz po nekom regionu prostora  $\Omega$  na njem rubu polje  $\phi(x)$  pada u nulu, i u prvom lanu zamjenimo redoslijed integracije po  $d^3x$  i derivacije po  $x^0$  odmah dobijamo

$$0 = \frac{d}{dt} P_v(t) = \partial^0 \int d^3x T_{0v} = - \int d^3x \partial^k T_{kv} = - \oint ds_\Omega^k T_{kv}, \quad (7.59)$$

gdje je zadnji lan porinski integral (integral po  $ds_\Omega^k$ ) po rubu regiona  $\Omega$ .  $P_v$  je ukupna energija-impuls polja  $\phi(x)$  u regionu  $\Omega$ .

Ovaj dokaz je možda razumljiviji ako ga eksplisitno napiemo u 3-dimenzionaloj notaciji. Izraz (7.59) je

$$0 = \partial^\mu T_{\mu v} = \frac{\partial T_{0v}}{\partial t} + \frac{\partial T_{1v}}{\partial x} + \frac{\partial T_{2v}}{\partial y} + \frac{\partial T_{3v}}{\partial z} = \frac{\partial T_{0v}}{\partial t} + \nabla \cdot \vec{T}_v, \quad (7.60)$$

gdje su tri prostorne komponente  $T_{iv}$ , koje se nazivaju strujama, oznaene kao 3-vektor  $\vec{T}_v \equiv (T_{1v}, T_{2v}, T_{3v})$ . Takvih 3-vektora ima 4, za  $v = 0,1,2,3$ .

Jednadžbe oblike (7.60) se nazivaju jednadžbama kontinuiteta (ima ih 4) i fizikalnu predstavljaju lokalne (u to ci x) zakone o uvanju po analogiji sa lokalnim oblikom zakona o uvanju električnog naboja u elektrodinamici

$$\frac{\partial \rho}{\partial t} + \nabla \cdot \vec{j} = 0, \quad (7.61)$$

gdje  $\rho(x)$  gusto a naboja, a  $\vec{j}(x)$  gusto a struja. Za jednu nabijenu ćesticu je  $\vec{j} = \rho \vec{v}$ .

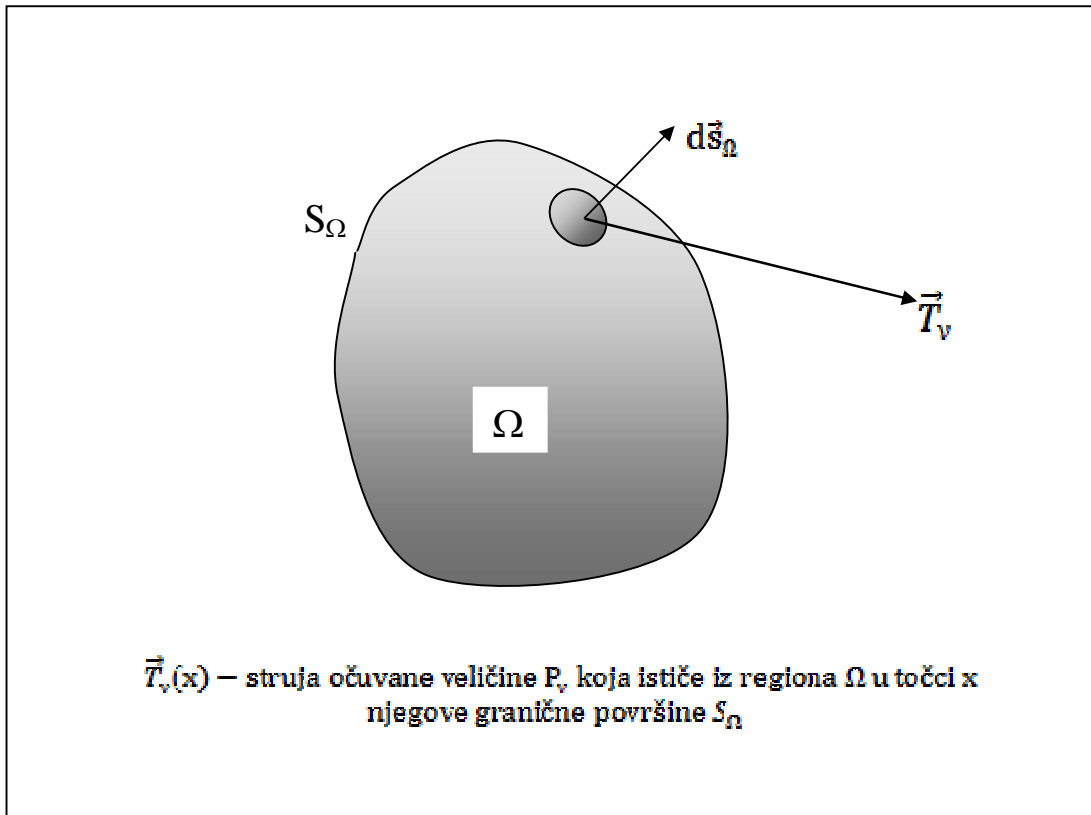
Opravdanost naziva vidimo integriramo li (7.60) po nekom regionu prostora  $\Omega$  na njem rubu je polje  $\phi(x)$  [pa, onda i sve komponente  $T_{\mu\nu}(x)$ ] nula. Ako derivaciju po vremenu izvuemo ispred integrala, dobijamo

$$0 = \int d^3x \frac{\partial T_{0v}}{c \partial t} + \int d^3x \nabla \cdot \vec{T}_v = \frac{\partial P_v}{c \partial t} + \oint d\vec{s}_\Omega \cdot \vec{T}_v, \quad (7.62)$$

tj.

$$-\frac{\partial P_v}{c \partial t} = \oint d\vec{s}_\Omega \cdot \vec{T}_v, \quad (7.63)$$

gdje je  $P_v(t)$  ukupna vrijednost v-te očuvane veličine (energija za  $v = 0$ , k-ta komponenta impulsa za  $k = 1, 2, 3$ ) u regionu  $\Omega$ , a  $\vec{T}_v$  je struja te očuvane veličine koja istječe kroz graničnu površinu  $S_\Omega$  regiona  $\Omega$ , kao na Slici 50. Za  $v = 0$ , izraz (7.63) pokazuje da smanjenje ukupne energije polja u regionu prostora  $\Omega$  mora biti jednako struji (intenzitetu) energije polja koja istječe kroz graničnu površinu regiona  $\Omega$  – to je zakon o uvanju energije polja  $\phi(x)$ .



Slika 50.

Na primjeru prostorno-vremenskih translacija dokazali smo Noether teorem u teoriji polja. Zakoni o uvanju energije i impulsa za polje  $\phi(x)$  mogu se razumjeti kao posljedica injenice da Lagrangian tog polja nije eksplicitna funkcija koordinata  $x^\mu$  (i obrnuto).

Polje  $\phi(x)$  je kontinuirana funkcija i postoji u svim to kama (nekog regionala) prostor-vremena, kao električno polje ili magnetsko polje, na primjer. Onda će i sve veličine kojima opisujemo fiziku nekog sustava biti distribuirane kao kontinuirane funkcije po prostorno-vremenskim to kama i njihova vrijednost u pojedinoj točki  $x$  je gusto a te fizikalne veličine.

Kako je  $g_{00} = 1$ , prema (7.55) ili (7.56) gusto a energije polja  $\phi(x)$  je

$$T_{00} = \frac{\partial L}{\partial(\partial^0\phi)} \partial_0\phi - L, \quad (7.64)$$

a, ukupna energija je

$$E = P_0 = \int d^3x T_{00}. \quad (7.65)$$

Analogno mehanici sustava estica i Hamiltonova formulacija se može pridružiti na teoriju polja. Za svako polje  $\phi_A(x)$  u teoriji, definira se pridruženi moment  $\pi_A(x)$

$$\pi_A = \frac{\partial L}{\partial(\partial^0\phi_A)} = \frac{\partial L}{\partial\dot{\phi}_A}, \quad (7.66)$$

i polje se onda opisuje (gusto a) Hamiltoniana  $H$  koji je po definiciji

$$H = \sum_A \pi_A \dot{\phi}_A - L. \quad (7.67)$$

Ukupni Hamiltonian je  $H = \int d^3x H$ . Izraz (7.64) za gusto a energije polja je upravo gusto a Hamiltoniana  $T_{00} \equiv H$ , pa je Hamiltonian ukupna energija polja  $H = E$ , kao što je treba biti za svaki konzervativni sustav. Ovo je indikacija da smo dobro identificirali  $T_{00}(x)$  kao gusto a energije polja. Lako je vidjeti da je za Lagrangian jednodimenzionog elastika nog kristala (7.8) (gusto a) Hamiltoniana  $T_{00} = H$  zaista zbroj gusto a kinetičke i potencijalne energije polja

$$T_{00} = H = \frac{1}{2}\mu\dot{\phi}^2 + \frac{1}{2}E\left(\frac{\partial\phi}{\partial x}\right)^2, \quad (7.68)$$

a, isto vrijedi i za skalarno polje  $\phi(x)$  iji Lagrangian je (7.31),

$$T_{00} = H = \frac{1}{2}(\partial^0\phi)^2 + \frac{1}{2}(\partial^i\phi)(\partial_i\phi) + \frac{1}{2}m^2\phi. \quad (7.69)$$

Lokalni odlik zakona očuvanja energije za polje  $\phi(x)$  je (7.58) za  $v = 0$ , tj.

$$\partial^0 T_{00} = -\partial^i T_{0i} = -\nabla \cdot \vec{T}_0 = -\frac{\partial T_{10}}{\partial x} - \frac{\partial T_{20}}{\partial y} - \frac{\partial T_{30}}{\partial z}, \quad (7.70)$$

pokazuje da je vremenska promjena gusto a energije polja u nekoj točki jednaka zbroju tri komponente gusto a struje energije koja otiče iz te točke ( $-\frac{\partial T_{10}}{\partial y}$  je gusto a struje energije koja teče duž y-osi).

Na primjer, lako se vidi da je za jednodimenzioni kristal  $T_{10} = -\mu E \dot{\phi} \frac{\partial \phi}{\partial x}$ , -to je brzina toka gusto e energije dufl x-osi, jer je prema (7.6) i (7.7) sila na esticu kristala  $E \frac{\partial \phi}{\partial x}$ .

Potpuno analogno, zbog  $g_{0i} = 0$ , prema (7.56), tri komponente gusto e impulsu  $T_{0i}(x)$  polja  $\phi(x)$  su

$$T_{0i} = \frac{\partial L}{\partial(\partial^0 \phi)} \partial_i \phi = \pi \partial_i \phi, \quad (7.71)$$

pa je i-ta komponenta ukupnog impulsu polja  $P_i(t) = \int d^3x T_{0i}(x)$ . Tri veli ine  $T_{ki}(x)$  su komponente gusto e struja i-te komponente impulsu polja.

Identificirali smo fizikalni smisao svih 16 komponenti  $T_{\mu\nu}(x)$  tenzora energije-impulsa (7.55) polja  $\phi(x)$  opisanog Lagrangianom  $L = L(\phi, \partial^\mu \phi)$  i to:

$$T_{00}(x) \equiv H \text{ gusto a energije polja} = \frac{dE}{d^3x}, \quad T_{0i}(x) \text{ gusto a i-te komponente impulsu} = \frac{dP_i}{d^3x}$$

$$T_{k0}(x) \text{ k-ta komponenta gusto e struje energije} \quad T_{ki}(x) \text{ k-ta komponenta gusto e struje i-te komponente impulsu}$$

O igledno je da komponente tenzora energije-impulsa, tj. 16 veli ina  $T_{\mu\nu}(x)$  kompletno opisuju gusto u i tok energije i impulsu polja  $\phi(x)$  u svim to kama prostor-vremena x. [Naziv tenzor energije-impulsa, a ne tenzor energije i impulsu, dolazi iz relativisti ke fizike koja ujedinjuje energiju E i impuls  $\vec{p}$  u jedan 4-vektor  $\mathbf{p}^\mu \equiv (E, \vec{p})$  u prostoru  $M^4$ , analogan sa  $x^\mu = (t, \vec{r})$ . U prostoru  $M^4$  je  $T_{\mu\nu}(x)$  stvarno tenzor drugog reda].

Na analogan, ali matemati ki komplikiraniji, na in mofle se pokazati veza prostornih rotacija i zakona o uvanja angularnog momenta. Rezultat je da za svako polje postoji antisimetri ni tenzor drugog reda  $M_{ij}(x)$  koji je gusto a angularnog momenta polja

$$M_{ij} = \delta(x_i T_{j0} + x_j T_{i0}), \quad (7.72)$$

tako da je ukupni angularni moment  $M_{ij}(t)$  polja  $\phi(x)$  volumni integral  $M_{ij} = \int d^3x M_{ij}(x)$ . Zakon o uvanja angularnog momenta vrijedi za svako polje iji je tenzor (7.55) energije-impulsa simetri an, -to je skoro uvijek slu aj.

## 7.5 Jednadžbe gibanja u mehanici kontinuuma

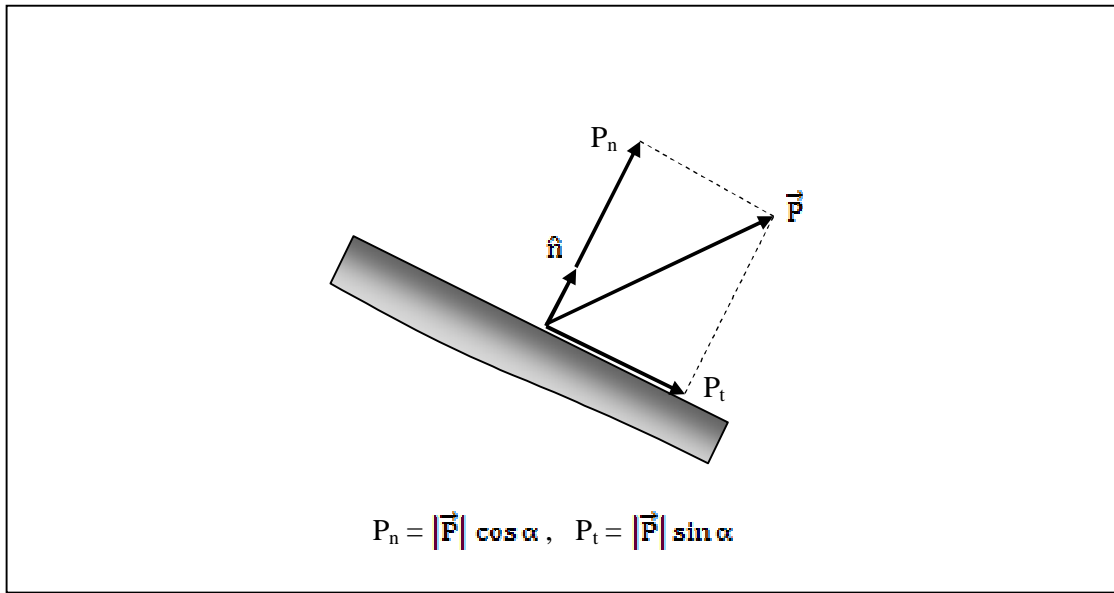
U mehanici kontinuuma se prave modeli za opis fizike različitih materijalnih tijela kao elastičnih ili plastičnih vrstih tijeka, raznih tekućina i plinova, itd. Gustoći tijela može varirati u prostoru i vremenu i opisuje se skalarnim poljem  $\rho(x)$ . Opterećenjem takvih deformabilnih tijela smatramo djelovanje drugih tijela ili ostalog dijela kontinuuma. Opterećenja mogu biti površinska, ako sile djeluju samo na spoljašnju površinu ili volumna, ako sile djeluju na sve djelove tijela. Gustoća  $f(x)$  volumenskih sila koje djeluju na bilo koju točku unutar deformabilnog tijela definira se kao

$$f = \frac{d\vec{F}}{dV} = \lim_{\Delta V \rightarrow 0} \frac{\Delta \vec{F}}{\Delta V},$$

gdje je  $dV = d^3x$  element volumena tijela. Ako element unutarnjih (koje stvaraju drugi djelovi istog tijela) sila  $d\vec{F}$  djeluje na element površine  $ds$  s centrom u točci  $x$  unutar deformabilnog tijela, vektor naprezanja (napona)  $\vec{P}(x)$  u točci  $x$  materijala definira se kao

$$\vec{P} = \frac{d\vec{F}}{ds}.$$

Ako je  $\hat{n}$  jedini vektor normale na element površine  $ds$  u točci  $x$ , tj.  $d\vec{s} = \hat{n} ds$ , vektor naprezanja  $\vec{P}$  u ovom slučaju tvori kut  $\alpha$  s jedinim vektorom elementa površine  $\hat{n}$ , kao na Slici 51.



Slika 51.

Okomita komponenta  $P_n$  naprezanja (normal stress) uzrokuje sile tlaka, a tangencijalna komponenta (shear stress)  $P_t$  uzrokuje sile smicanja na element površine.

U mehanici kontinuuma se devet prostornih komponenti gusto e struja impulsa  $T_{kj}(x)$  tenzora energije-impulsa [9 komponenti 3-dimentionog tenzora] nazivaju stres tenzor (tenzor naprezanja). Stres tenzor potpuno karakterizira svako deformabilno tijelo. Komponente stres tenzora su naprezanja koja mjere komponente unutarnjih sila tlaka i smicanja po jedinici površine koje djeluju na bilo koji element površine unutar deformabilnog tijela.

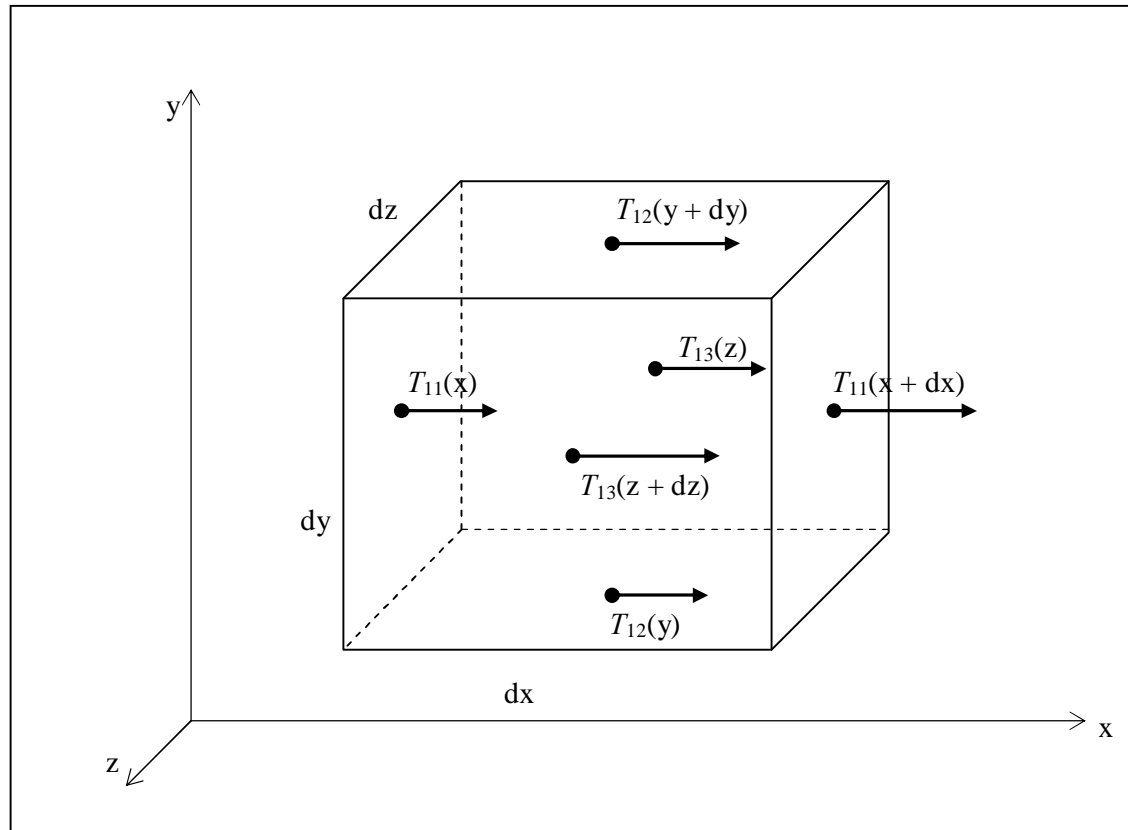
Ako na bilo koji infinitezimalni element površine  $d\vec{s}$  deformabilnog tijela djeluje element sile  $d\vec{F}$  vrijedi

$$d\vec{F} = T \cdot d\vec{s}, \quad (7.73)$$

gdje je  $T(x)$  stres tenzor. Gornju tenzorsku jednadžbu lako je analizirati ako je prepišemo pomoću komponenti. Ako su komponente elementa sile  $d\vec{F} = dF_i \hat{e}_i = \hat{i} dF_1 + \hat{j} dF_2 + \hat{k} dF_3$ , tada (7.73) znači

$$dF_i = T_{ji} ds^j = T_{1i} ds^1 + T_{2i} ds^2 + T_{3i} ds^3. \quad (7.74)$$

Zamislimo infinitezimalni element materijala kao paralelopiped volumena  $d^3x = dx dy dz$  sijeći su strane paralelne koordinatnim plohamama kao na Slici 52.



Slika 52.

Na sredini svake od 6 strana elementarnog paralelopipeda predstavljene su vrijednosti x-komponenti odgovaraju ih gusto a struja impulsa koje stvaraju sile tlaka i smicanja na volumni element deformabilnog tijela unutar paralelopipeda. Ukupna sila na element volumena  $dxdydz$  zavisi od vrijednosti povrinskih sila na sve strane paralelopipeda. X-komponenta sila tlaka na strane paralelopipeda paralelne yz-ravnini je

$$[T_{11}(x + dx) - T_{11}(x)] dydz = \frac{\partial T_{11}}{\partial x} dxdydz, \quad (7.75)$$

dok je x-komponenta sila smicanja na strane paralelne xz-ravnini

$$[T_{12}(y + dy) - T_{12}(y)] dx dz = \frac{\partial T_{12}}{\partial y} dxdydz, \quad (7.76)$$

a, x-komponenta sila smicanja na strane paralelne xy-ravnini je

$$[T_{13}(z + dz) - T_{13}(z)] dx dy = \frac{\partial T_{13}}{\partial z} dxdydz. \quad (7.77)$$

X-komponenta ukupne povrinske sile na svih 6 strana paralelopipeda po jedinici volumena jednaka je

$$\frac{\partial T_{11}}{\partial x} + \frac{\partial T_{12}}{\partial y} + \frac{\partial T_{13}}{\partial z} = \frac{\partial T_{11}^*}{\partial x} + \frac{\partial T_{21}^*}{\partial y} + \frac{\partial T_{31}^*}{\partial z} = \partial^k T_{k1}^* = (\nabla \cdot T^*)_1, \quad (7.78)$$

gdje je  $T^*$  transponirani stres tenzor ( $T^*_{ij} = T_{ji}$ ), a divergencija stres tenzora je

$$\nabla \cdot T = (\partial^k T_{kl}) \hat{e}^l. \quad (7.79)$$

U opem sluaju na elementarni paralelopiped moglo djelovati jo-i volumna sila (kao tefina, na primjer) gusto  $\vec{f}$  (na element mase  $dm = \rho d^3x$  djeluje element sile  $d\vec{F} = \vec{f} d^3x$ , gdje je  $\rho$  gusto a tijela).

II Newtonov zakon kaže da je x-komponenta ukupne sile jednaka prvoj vremenskoj derivaciji x-komponente impulsa, pa za element  $d^3x$  volumena deformabilnog tijela dobijamo jednadžbu gibanja

$$f_x d^3x + \left( \frac{\partial T_{11}^*}{\partial x} + \frac{\partial T_{21}^*}{\partial y} + \frac{\partial T_{31}^*}{\partial z} \right)_x d^3x = \rho \frac{dv_x}{dt} d^3x,$$

tj.

$$f_x + (\nabla \cdot T^*)_x = \rho \frac{dv_x}{dt}, \quad (7.80)$$

-to se moglo zapisati u obliku parcijalne diferencijalne tenzorske jednadžbe koja vrijedi u svakom inercijalnom sustavu referencije

$$\vec{f} + \nabla \cdot T^* = \rho \dot{\vec{v}}. \quad (7.81)$$

Na primjer, u prvoj aproksimaciji voda je idealna tekućina. Za takav materijal gustoća je konstantna (nestlačiva tekućina) i stres tenzor je jednostavno

$$\boldsymbol{T} = \begin{bmatrix} p & 0 & 0 \\ 0 & p & 0 \\ 0 & 0 & p \end{bmatrix}.$$

U takvoj tekućini je prema (7.74)

$$d\mathbf{F}_i = p \delta_{ij} d\mathbf{s}^j = p d\mathbf{s}_i,$$

–to znači da je vektor naprezanja (napona) okomit na svaku površinu tekućine  $\vec{F}(\mathbf{x}) = p \hat{\mathbf{n}}$ , tj. unutar idealne tekućine nema sila smicanja.

Iz ovih naznaka i primjera se vidi da se mehanika sustava estica može proširiti i na mehaniku kontinuma, tj. klasičnu teoriju polja. Detaljnije razmatranje tih teorija prelazi okvire ovog kolegija.

## **Popis rješenih primjera:**

### **2. Lagrangeov formalizam**

<u>Primjer 1.</u> Gibanje estice po sferi radijusa R.	Str. 38
<u>Primjer 2.</u> Gibanje dviju estica spojenih krutim -tapom po horizontalnoj podlozi.	Str. 39
<u>Primjer 3.</u> Kotrljanje diska radijusa R bez klizanja po horizontalnoj podlozi.	Str. 41
<u>Primjer 4.</u> Lorentzova sila	Str. 46
<u>Primjer 5.</u> Lagrangeovi multiplikatori	Str. 47
<u>Primjer 6.</u> Ekvivalentnost Lagrangeove i Newtonove formulacije mehanike.	Str. 49
<u>Primjer 7.</u> Matematičko njihalo	Str. 49
<u>Primjer 8.</u> Cikloidno njihalo	Str. 53

### **3. Hamiltonov formalizam**

<u>Primjer 1.</u> Brahistohrona krivulja (gr. ki: brachys = kratak; chronos = vrijeme, trajanje)	Str. 63
<u>Primjer 2.</u> Hamiltonove jednadžbe za esticu na koju djeluje konzervativna sila.	Str. 72
<u>Primjer 3.</u> Hamiltonian linearne harmonike oscilatora.	Str. 72
<u>Primjer 4.</u> Hamiltonian estice u elektromagnetskom polju.	Str. 73
<u>Primjer 5.</u> Kanonske transformacije	Str. 79
<u>Primjer 6.</u> Poissonove zgrade komponenti angулarnog momenta.	Str. 82
<u>Primjer 7.</u> Hamilton-Jacobieva jednadžba i kvantna mehanika.	Str. 85
<u>Primjer 8.</u> Hamilton-Jacobieva jednadžba za slobodnu esticu i jednodimenzionalni LHO.	Str. 85

### **4. Centralne sile**

<u>Primjer 1.</u> Elastično raspršenje krutih kugli.	Str. 113
<u>Primjer 2.</u> Rutherfordovo raspršenje u pozadinsku hemisferu.	Str. 118

### **5. Gibanje krutog tijela**

<u>Primjer 1.</u> Tenzor inercije homogenog -upljeg valjka.	Str. 126
<u>Primjer 2.</u> Tenzor inercije dvije identične homogene slepljenje kugle.	Str. 127
<u>Primjer 3.</u> Fizikalno njihalo	Str. 128
<u>Primjer 4.</u> Dijagonalizacija tenzora inercije.	Str. 129

<u>Primjer 5.</u> Kotrljanje homogenog -upljeg valjka.	Str. 138
<u>Primjer 6.</u> Slobodno gibanje simetri nog zvrka.	Str. 139
<u>Primjer 7.</u> Slobodno gibanje simetri nog zvrka oko jedne fiksne to ke.	Str. 140
<u>Primjer 8.</u> Gibanje te-kog simetri nog zvrka oko jedne fiksne to ke.	Str. 142

## **6. Male oscilacije**

<u>Primjer 1.</u> Svojstveni problem nedegerirane matrice.	Str. 149
<u>Primjer 2.</u> Svojstveni problem degenerirane matrice.	Str. 151

## Literatura

1. Finkelstein R. J., **Nonrelativistic mechanics**, W. A. Benjamin, 1973
2. Goldstein H., Poole C. & Safko J., **Classical Mechanics**, 3rd edition, Benjamin Cummings, 2002.
3. Halliday D. & Resnick R., **Physics**, 6th edition, John Wiley & Sons, 2001.
4. Jackson J. D., **Classical Electrodynamics**, 3rd edition, John Wiley & Sons, 1998.
5. Landau L. D. & Lifshitz E. M., **Mechanics**, 3th edition, Pergamon Press , 1976.
6. Mu-icki .., **Teorijska mehanika**, Nau na kniga, 1980.
7. Rindler W., **Introduction to Special Relativity**, Oxword University Press, 1982.
8. Scheck F., **Mechanics**, Springer-Verlag, 1990.
9. Supek I., **Teorijska fizika i struktura materije**, 6. izdanje, Teksolska knjiga, 1992.
10. Starzhinskii V. M., **An Advanced Course of Theoretical Mechanics**, Mir Publishers 1982.
11. Tipler P. A. & Llewellyn R. A., **Modern Physics**, 4th edition, W. H. Freeman and Co., 2003.
12. Wachter A. & Hoeber H., **Compendium of Theoretical Physics**, Springer, 2006.
13. Alfirevi I., **Uvod u tenzore i mehaniku kontinuuma**, Golden marketing, 2003.